

التحليل البيوميكانيكي

لحركات جسم الإنسان

(أسسه وتطبيقاته)

إعداد

أ.د. عادل عبد البصير على

٢٠٠٠

إهداء

إلى المهتمين بالميكانيكا الحيوية فى مجال التربية الرياضية

والرياضة . . . من دارسين ومدرسين ومدرسين

إلى نزوجتى وأبنائى

إلى كل من ساهم فى إخراج هذا العمل

إلى حين الوجود

المقدمة

تدرس أبحاث البيوميكانيك الظواهر في المدى الكامل من المستوى الكبير - مثل دراسة حركة الجسم كله أو مقارنة حركات الأطراف لأنواع حيوانات مختلفة - إلى المستوى الدقيق - مثل القوة الأسموزية عبر غشاء الخلية، تدفق عملية التفاعل العصبي العضلي، ونقل المواد الغذائية ومنتجات الهدم في الجسم. ومجال البيوميكانيك بهذا متشعب ويشمل دراسة الفرد ليس فقط في مواقف رياضية، ولكن أيضاً في بيئة العمل (البيوميكانيك المهنية) ومواقف تأهيلية. فمثلاً بعض أخصائي البيوميكانيك يدرسون وظيفة العضلات وحركة المرضى الذين يعانون من شلل مخي بينما الآخرون يبحثون تصميم أجزاء استبدالية تحاكي الحركة الطبيعية لجسم الإنسان.

وحركة السوائل في الجسم خاصة وظيفة القلب ودفع الدم في الشرايين مجال آخر للدراسة، ويتطلب خبرة حسابية وهيدروديناميكية. المتخصصون المهتمين بهذا المجال من البيوميكانيك أيضاً مهتمين بتطوير قلوب وصمامات بديلة مناسبة.

تحليل الطريقة في بيئات الرياضة والعمل مجال جيد للبحث ويهتم به طلاب حركة الإنسان حيث أدى ذلك إلى إرشادات جيدة للأمان في الرفع، وتتابع حركي أمتل وتطور النظريات عن كيف يتم التحكم في حركة الأطراف. أدت المعايير المثلى مثل شمول عضلات أقل، استهلاك طاقة أقل أو كفاءة قصوى، وأداء أقصى إلى تسليط الضوء على كثير من البحوث.

طورت البيوميكانيك بصورة ملحوظة فى الـ ٢٠ سنة الأخيرة، خاصة مع تطور الكمبيوتر رخيص الثمن والسريع والذي سمح لأخصائى البيوميكانيك دراسة الحركات المعقدة التى كانت دراستها فى الأيام الأولى صعبة. كما أن التحسن فى قوة الكمبيوتر سمح لأسئلة جديدة أن تُسأل، فمثلاً، يشمل البحث الأولى وصف حركة الكواكب بينما الآن نقاس وتقدر القوى التى تحكم الحركة وتتابع الأحمال على الجسم. بالإضافة إلى أن التقدم العظيم فى حل الزمن الحقيقى للبيانات أدى إلى انفجار للإمكانات فى هذا المجال.

لذا فإن هذا المرجع يسلط الضوء على حركة جسم الإنسان ولماذا يركز على التحليل البيوميكانيكى لحركات جسم الإنسان؟

وهدفنا الأساسى فى هذا المرجع عرض أسس وتطبيقات التحليل البيوميكانيكى لحركات جسم الإنسان للذين يعملون فى مجال دراسة حركة جسم الإنسان وبخاصة الباحثون فى مجال الأنشطة الرياضية والذين يرغبون فى فهم مفاهيم وخطوط هذا التحليل، وبخاصة المدرس والمدرّب، وطلاب الدراسات العليا ومرحلة البكالوريوس فى مجال التربية الرياضية والرياضة، والذين سيجدون فى هذا الكتاب بغيتهم وسوف يستطيعون الاستفادة من محتوياته.

وقد راعيت أن يحتوى هذا الكتاب على خمس فصول يمكن الاسترشاد بها بحرية.

الفصل الأول : ويعرض تحليل النظم البيوميكانيكية لحركات جسم الإنسان ويشتمل على مفهوم ومبادئ التحليل البيوميكانيكى، نظم البيوميكانيك، القوة والتمثيل البيانى الحر، وينتهى بالمراجع.

أما الفصل الثانى : فيعرض التحليل البيوميكانيكى للمهارات الرياضية ويحتوى على التحليل الزمنى، التحليل البيوكينماتيكى والتحليل البيوكيناتيكى، والتحليل الوصفى، ومراجع الفصل الثانى.

كما يعرض الفصل الثالث : تطور التجهيزات وطرق البحث فى الدراسات البيوميكانيكية، ويشتمل على قياس الإزاحة لأعضاء الجسم، اكتشافات البصريات الإلكترونية، البحث الآلى لصور التليفزيون، النظم المؤسسة على الليزر، التأثير الجانبى لتصوير الصمام الثنائى، تحديد العجلة، النماذج الرياضية ومراجع الفصل الثالث.

ويعرض الفصل الرابع : تطبيقات التحليل البيوميكانيكى ويشتمل على تطبيقات تحليل الأبعاد الثلاثة للهيكل العضلى، تطبيقات فى مجال مقاييس جهد العمل، أنظمة تحليل الحركة المبنية على تصوير الفيديو، دقة ضبط نظم تحليل الفيديو والتصوير السينمائى، تقدير قوى العضلة والمفصل، أساليب الحركة الفطرية لدى الإنسان، موضع مركز الكتلة، ومراجع الفصل الرابع.

كما يعرض الفصل الخامس : مبادئ البحث فى بيوميكانىكا الرياضة، ويحتوى على التخطيط، الدراسة الاستطلاعية، التعليق، التجهيزات، خطأ التجريب، التحليل الاحصائى، نشر النتائج، التقويم، الملخص، مراجع الفصل الخامس.

كما تم تدعيم كل فصل بالرسومات التوضيحية.

وفى النهاية أمل أن يستفيد كل من القارئ والمتخصص فى مجال التحليل البيوميكانىكى لحركة جسم الإنسان من هذا المرجع.

والله ولى التوفيق.....،

المؤلف

أ.د. عادل عبد البصير على

(عام ٢٠٠٠م)

المحتويات

الموضوع	رقم الصفحة
الإهداء.....	
المقدمة.....	أ
قائمة المحتويات.....	هـ
قائمة الجداول.....	ط
قائمة الأشكال.....	ى
الفصل الأول	
تحليل النظم البيوميكانيكية لحركات جسم الإنسان ✓	
أولاً : مفهوم ومبادئ التحليل البيوميكانيكى.....	٢
ثانياً : النظم البيوميكانيكية.....	٣
ثالثاً : القوة والتمثيل البيانى الحر.....	٥
الفصل الثانى	
التحليل البيوميكانيكى للمهارة الرياضية ✓	
أولاً : التحليل الزمنى.....	٢١
ثانياً : التحليل البيوكينماتيكى.....	٢٤
ثالثاً : التحليل البيوكينماتيكى.....	٣٦
رابعاً : التحليل الوصفى.....	٩٦

تابع المحتويات

رقم الصفحة

الموضوع

✓ الفصل الثالث

تطور التجهيزات وطرق البحث في الدراسات البيوميكانيكية

١١٣	أولاً : قياس الإزاحة لأعضاء الجسم.....
١١٥	ثانياً : اكتشافات البصريات الالكترونية.....
١١٧	ثالثاً : البحث الآلى بصورة التليفزيون.....
١١٨	رابعاً : النظم المؤسسة على الليزر.....
١١٩	خامساً : التأثير الجانبى لتصوير الصمام الثنائى.....
١٢١	سادساً : تحديد العجلة.....
١٢٦	سابعاً : النماذج الرياضية.....

الفصل الرابع

تطبيقات التحليل البيوميكانيكى

١٣٩	أولاً : تطبيقات تحليل الأبعاد الثلاثة للهيكل العضلى.....
١٦٩	ثانياً : تطبيقات فى مجال مقاييس جهد العمل.....
١٨٣	ثالثاً : أنظمة تحليل الحركة المبنية على تصوير الفيديو.....
٢٠١	رابعاً : دقة ضبط نظم تحليل الفيديو والتصوير السينمائى.....
٢٠٦	خامساً : تقدير قوى العضلة والمفصل.....
٢٣١	سادساً : أساليب الحركة الفطرية لدى الإنسان.....

تابع المحتويات

الموضوع	رقم الصفحة
سابعاً : موضع مركز الكتلة.....	٢٤٩
ثامناً : تقدير الأتقال الإضافية المستخدمة في تمرينات المنافسة في	٢٤٩
الألعاب التى تستخدم الأدوات الرياضية.....	٢٦٤

الفصل الخامس

مبادئ البحث فى بيوميكانيكية الرياضة

أولاً : التخطيط.....	٢٧٥
ثانياً : الدراسة الاستطلاعية.....	٢٧٦
ثالثاً : الدراسة الأساسية.....	٢٧٧
رابعاً : التعليق.....	٢٧٧
خامساً : التجهيزات.....	٢٧٨
سادساً : خطة التجريب.....	٢٧٩
سابعاً : التحليل الاحصائى.....	٢٨٠
ثامناً : نشر النتائج.....	٢٨٢
تاسعاً : التقويم.....	٢٨٣
عاشراً : الملخص.....	٢٨٤

تابع المحتويات

الموضوع	رقم الصفحة
الملحقات	
ملحق (أ)	٢٨٧
ملحق (ب)	٢٩٥
ملحق (جـ)	٣٠٦
ملحق (د)	٣١٤
ملحق (هـ)	٣٢٥

قائمة الجداول

رقم الجدول	عنوان الجدول	رقم الصفحة
(١-٢)	ملخص الكينماتيكا.....	٢٥
(٢-٢)	حركة مركز ثقل كتلة الجسم خلال العدو.....	٢٧
(٣-٢)	كينماتيكا وكيناتيكا الارتقاء في الوثب العمودي.....	٤٧
(٤-٢)	أهداف المهارات الرياضية.....	٦٧
(٥-٢)	المسافة الأفقية للرمي كدالة لسرعة وارتفاع الانطلاق.....	٧٤
(٦-٢)	مسافة دفع الجلة كدالة للحالات عند الانطلاق.....	٧٨
(٧-٢)	البيانات العضوية لعينة من البالغين الناتجة عن نموذج الحاسب الآلي لهافانان Havanan.....	٨٥
(١-٣)	دراسة مسحية لمعدلات الإطارات المستخدمة في مختلف الدراسات.....	١٢٣
(٢-٣)	نسب أوزان الأجزاء بالنسبة لوزن الجسم كله.....	١٣١
(١-٤)	الحركة (الجرى) Movement (running).....	٢٠٣
(٢-٤)	الأوضاع الثابتة Static points.....	٢٠٤
(٣-٤)	الوزن النسبي لأجزاء جسم الإنسان بالنسبة لوزن الجسم كله.....	٢٥٠
(٤-٤)	الوزن النسبي لأجزاء الجسم المختلفة بالنسبة لوزن الجسم كله.....	٢٥١
(٥-٤)	نسبة أنصاف أقطار مراكز ثقل كتلة كل جزء من أجزاء جسم الإنسان بالنسبة لمحاورها الطولية.....	٢٥٢

قائمة الأشكال

رقم الشكل	عنوان الشكل	رقم الصفحة
(١-١)	لاعب الغطس فى السقوط الحر.....	٦
(٢-١)	التمثيل البيانى الحر لبيان قوى رد الفعل.....	٧
(٣-١)	قوى الشد.....	٩
(٤-١)	التمثيل البيانى للجسم الحر فى حالة فصل أجزاء الجسم.....	١٠
(١-٢)	كرونوجرام خطى لحركة القفز فتحاً على المهر.....	٢٢
(٢-٢)	كرونوجرام دائرى للحركة المتكررة المغلقة فى الجرى.....	٢٤
(٣-٢)	(أ) الحركة الانتقالية فى خط مستقيم، (ب) الحركة الانتقالية فى خط منحنى.....	٢٨
(٤-٢)	أ- الحركة الدورانية حول محور ثابتة خارج الجسم، ب- الحركة الدورانية حول محور داخل الجسم.....	٢٨
(٥-٢)	الحركة العامة.....	٢٩
(٦-٢)	تتابع مركب الاقتراب المستقيم لركل كرة القدم (٦٦) إطار/ثانية).....	٣١
(٧-٢)	العلاقة بين الوضع الزاوى- الزمن لكل من الفخذ والساق فى ركل كرة القدم.....	٣٢
(٨-٢)	العلاقة بين السرعة الزاوية- الزمن للفخذ والساق فى ركل كرة القدم.....	٣٣
(٩-٢)	إزاحة أحد نهاية العضلة بحرية عامة فى مستوى الحركة..	٣٤
(١٠-٢)	عزم الصور الذاتى للجسم النموذجى.....	٣٧

تابع قائمة الأشكال

رقم الشكل	عنوان الشكل	رقم الصفحة
(١١-٢)	إجراءات معملية لدراسة عدم الاستقرار في المركبة	
٤١	الرأسية لقوة رد فعل الأرض.....	
(١٢-٢)	رسم الجسم الحر للارتقاء في الوثب العمودي.....	٤٢
(١٣-٢)	الكينماتيكا والكيناتيكا الرأسية للارتقاء في الوثب العمودي.....	٤٨
(١٤-٢)	الدفع الرأسى خلال الارتقاء.....	٥٠
(١٥-٢)	محصلة القوى العضلية للطرف السفلى النموذجية.....	٥٣
(١٦-٢)	التمثيل البياني الحر للطرف السفلى.....	٥٤
(١٧-٢)	التمثيل البياني الحر للأعضاء الثلاثة للطرف.....	٥٥
(١٨-٢)	إحلال محصلة قوة العضلة بتطابق القوة والإزدواج.....	٥٦
(١٩-٢)	منظور محصلة قوة العضلة في المركبتين الأفقية	
٥٧	والرأسية.....	
(٢٠-٢)	تركيبية مركبات القوة العضلية ورد فعل المفصل مع	
٥٨	مركبات محصلة القوة عند المفصل.....	
(٢١-٢)	قاعدة اشتقاق معادلات الحركة للقدم.....	٦١
(٢٢-٢)	أساس اشتقاق معادلات الحركة لأسفل الرجل.....	٦٣
(٢٣-٢)	محاور دوران الجسم.....	٦٦
(٢٤-٢)	المساهمة الفردية للعضو في كمية الحركة الزاوية الكلية.....	٨٦
(١-٣)	الاكتشاف المستخدم عن طريق Fick لتحديد وضع مركز	
١١٤	ثقل الجسم كله خلال الحركة.....	

تابع قائمة الأشكال

رقم الشكل	عنوان الشكل	رقم الصفحة
(٢-٣)	رسم تخطيطي للبوليجون Polygon.....	١١٧
(٣-٣)	القياس الهيدروليكي لتصوير تأثير الصمام الجانبي الثنائي.	١٢١
(٤-٣)	التمثيل الرياضي للجسم.....	١٢٨
(١-٤)	وضع الرجلين خلال دورة مشى مفردة من اتصال الكعب	
	الأيمن إلى اتصال الكعب الأيمن.....	١٤٢
(٢-٤)	توقيت الارتكاز الفردي والزوجي أثناء دورة واحدة	
	للمشيئة من ملامسة الكعب الأيمن إلى ملامسة الكعب	
	الأيمن.....	١٤٣
(٣-٤)	المصطلحات المستخدمة لوصف وضع القدم على الأرض	١٤٥
(٤-٤)	وضع الرجل اليمنى عند فترات ٤٠ م ث خلال لأكثر من	
	دورة خطوة.....	١٤٥
(٥-٤)	زوايا مفصلي الفخذين (الثني الإيجابي)، الركبة (الثني	
	الإيجابي)، القدم (التباعد والثني الإيجابي) خلال دورة	
	خطوة مفردة.....	١٤٦
(٦-٤)	العزوم الداخلية في الحوض، الركبة، ومفصل الكاحل	
	بالنيوتن. كجم من وزن الجسم. العزوم الإيجابية المولدة	
	من باسقاطات الحوض، باسقاطات الركبة وثانيات الكاحل	
	لبطن القدم.....	١٥١
(٧-٤)	النشاط المثالي لمجموعة العضلات الكبرى خلال دورة	
	المشي.....	١٥١

تابع قائمة الأشكال

رقم الشكل	عنوان الشكل	رقم الصفحة
(٨-٤)	العوامل التي تسهم في حدوث إصابات العمل.....	١٧٠
(٩-٤)	العوامل المفترض أنها تتحكم في حركات الجسم في المهام التكرارية بدرجة كبيرة.....	١٧٢
(١٠-٤)	نظم قياس أوضاع وحركة الرسغ باستخدام مقياس الزوايا (Electrogoniometer).....	١٧٥
(١١-٤)	استخدام التحكم في تحسين الحركة القطنية لكفاية حركات الظهر خلال تكرارات مهمة الرفع في جامعة ولاية أواهيو.....	١٨٦
(١٢-٤)	العوامل التي تساهم في تطور الإصابات المهنية.....	١٨٨
(١٣-٤)	العوامل الفرضية للتحكم في ارتفاع تكرارات حركة الجسم	١٨٨
(١٤-٤)	عرض بطاقة تتابع عملية القرار المستخدمة عندما تعتقد أن أوضاع العمل وحركات الجسم تساهم في إصابات العمل.....	١٩١
(١٥-٤)	نموذج المتعدد الاختلافات المطور لماراس Marras وآخرون (١٩٩٣م) والذي يتوقع مجموعة إصابة الظهر مرتكزاً على متغيرات قياسات حركة الجذع ومنطقة العمل.....	١٩٤
(١٦-٤)	تحليل تحديد قوى العضلة والمفصل الممكن تنفيذها في خطوتين: تحديد القوى، والعزوم بين الأجزاء وتوزيع القوى.....	٢٠٧

تابع قائمة الأشكال

رقم الشكل	عنوان الشكل	رقم الصفحة
(١٧-٤)	مشكلة ديناميكية عكسية.....	٢٠٩
(١٨-٤)	مشكلة القوة الثابتة مع وزن في اليد عندما تكون زاوية الذراع ٣٠ تحت المستوى الأفقى.....	٢١٠
(١٩-٤)	تحديد قوى العضلة على مفصل المرفق مع ٣ مسميات هم ذات الرأسين العضدية (BIC)، العضدية (BRA)، والعضدية الزندية (BRD).....	٢١٥
(٢٠-٤)	الحل البياني لمشكلة المثالية = الأدنى = $y+x2$ ، $2x-$ $y=2$; $x+3y\leq9$; $x\geq0$ المنطقة المظلمة تشير إلى منطقة الحل الممكن للضغوط المتناسبة.....	٢٢٠
(٢١-٤)	الشكل التشريحي للنظام العضلي للكتف والجذع موضحاً به خطوط الشد العضلى.....	٢٣٣
(٢٢-٤)	النماذج القطرية الأولى للذراع والساق.....	٢٣٥
(٢٣-٤)	النماذج القطرية الثانية للذراع والساق.....	٢٣٦
(٢٤-٤)	النماذج القطرية الأولى للأنشطة المتطورة.....	٢٣٨
(٢٥-٤)	أسلوب التدحرج لطفل عمره خمسة أشهر ونصف مستخدماً أسلوب التمدد القطري الثانى للذراع.....	٢٣٩
(٢٦-٤)	أنشطة الحركة المتوالية للوضع المنبطح فى طفل عمره خمسة أشهر ونصف.....	٢٤١
(٢٧-٤)	المراحل المتطورة لحركة الاعتدال.....	٢٤٢

تابع قائمة الأشكال

رقم الشكل	عنوان الشكل	رقم الصفحة
(٢٨-٤)	أساليب الذراع المتطورة فى ركل الكرة لنفس الطفل من ٩ أشهر : ٢ سنة، ومن ٩ أشهر : ٣ سنة.....	٢٤٢
(٢٩-٤)	أساليب الذراع المتطورة فى رمى الكرة لنفس الطفل من ٩ أشهر : ٢ سنة، ومن ٩ أشهر : ٣ سنة.....	٢٤٣
(٣٠-٤)	أساليب متشابهة للحركة الأولى المحورية للذراع مرحلة إنتاج القوة فى الرميات للساعد لطفل عمره ٥ سنوات وأربعة أشهر (A) ولبالغ (B).....	٢٤٤
(٣١-٤)	حركات الذراع المحورية الأولى والتي يمكن ملاحظتها أثناء الجرى (A) وأثناء الوثب الطويل (B).....	٢٤٤
(٣٢-٤)	عناصر الذراع المحورية الثانية والملحوظة فى مراحل إنتاج القوة فى لعبة رمى الرمح (A) وفى لعبة كرة الريشة (B).....	٢٤٥
(٣٣-٤)	مرحلة إنتاج القوة لحركة الذراع الأمامية فى لعبة التنس بالاستفادة من أسلوب الانثناء المحورى الأول للذراع (A) وأثناء حركة الذراع الخلفية مستفيدة من أسلوب التمدد المحورى الأولى (B).....	٢٤٥
(٣٤-٤)	إدماج الأسلوبين الأول والثانى المحورى للذراع فى لعبة الكريكت.....	٢٤٦
(٣٥-٤)	طريقة لوح الإتزان لتحديد مركز ثقل الكتلة.....	٢٥٣

تابع قائمة الأشكال

رقم الشكل	عنوان الشكل	رقم الصفحة
(٣٦-٤)	موضع مركز ثقل كتلة أجزاء الجسم بالنسبة لطول كل جزء.....	٢٥٤
(٣٧-٤)	موضع مركز ثقل كتلة كل جزء من أجزاء الجسم بالنسبة لطول كل جزء.....	٢٥٤
(٣٨-٤)	نظام الإحداثيات الكرتيزية المرجعى لتمييز الاتجاه فى المكان.....	٢٥٦
(٣٩-٤)	تحديد موضع مركز ثقل كتلة نظام مكون من ثلاثة أجزاء.....	٢٥٧

الفصل الأول

تحليل النظم البيوميكانيكية لحركات جسم الإنسان

Biomechanical systems analysis of Human Motion

أولاً : مفهوم ومبادئ التحليل البيوميكانيكى

Biomechanical understandable and fundamental analysis

ثانياً : النظم البيوميكانيكية

Biomechanical systems

ثالثاً : القوة والتمثيل البيانى الحر

Force and free body diagram

الفصل الأول

تحليل النظم البيوميكانيكية

لحركات جسم الإنسان

Biomechanical systems analysis of Human Motion

أولاً : مفهوم ومبادئ التحليل البيوميكانيكى :

Biomechanical understandable and principal analysis

أ. مفهوم التحليل الميكانيكى :

Biomechanical understandable analysis

يقصد بلفظ تحليل فى المجالات المختلفة للمعرفة الإنسانية الوسيلة المنطقية التى يجرى بمقتضاها تناول الظاهرة موضع الدراسة بعد تجزئتها إلى عناصرها الأولية الأساسية المؤلفة لها، حيث تبحث هذه العناصر الأولية كل على حدة تحقيقاً لفهم أعمق للظاهرة ككل.

وانطلاقاً من هذا المفهوم لمدلول تحليل يمكن عند دراسة الحركة الإنسانية أن يكون التحليل تشريحياً أو فسيولوجياً أو كيميائياً أو تربوياً أو ميكانيكياً (١).

ب. مبادئ التحليل البيوميكانيكى :

Biomechanical fundamental analysis

يستوقف نجاح مدرس أو مدربى التربية الرياضية على براعته فى التحليل الوصفى للحركة كما يجب أن يكون الباحث فى الميكانيكا الحيوية قادراً

على إجراء التقويم الوصفى الدقيق للأداء الإنسانى ومن الوجهة التنظيمية والنظرية يمكن تكييف المقدمات المستخدمة فى الميكانيكا الكلاسيكية لاستخدامها فى بحث مشكلات الميكانيكا الحيوية ويعتبر جسم الإنسان كنظام أكثر تعقيداً من مناظره فى مجال الميكانيكا وعلى ذلك يجب تجهيز الأسس الميكانيكية بحيث تعدل طبقاً لطبيعة بيولوجية جسم الإنسان (١٠).

ثانياً: نظم الميكانيكا الحيوية :

Biomechanical systems

إن النظر للإنسان على كونه آلة مجردة، عملية كبيرة يمكن تبسيطها أو تجهيزها، ولكن مع وجود الخصائص البدنية لجسم الإنسان يصبح التحليل الميكانيكى أمر صعب للغاية، وفى هذه الحالة يلجأ الفرد إلى عمل موديل للجسم على أساس التسليم بافتراض صلابة كل جسم من أجزاء الجسم، ويكون الهدف من ذلك تطوير دقة مركبات هذا النظام البيوميكانيكى التى تمكننا من التحليل الوصفى (١٠).

ويعنى اصطلاح (النظم) فى محتوى البيوميكانيك فى مجال الرياضة أنه مركب أو أكثر يجمع ويربط بين أجزاء تشكل فى مجموعها تركيباً كلياً موحد يمكنه من أداء بعض الواجبات المرتبطة بأداء حركة الإنسان أو الرياضة، وربما يشمل الجسم كله كما فى حالة السقوط الحر للاعب القفز أو ربما يحدد بإجراءات قليلة تعتمد على الهدف من التحليل. فمثلاً عند بحث الركل بالقدم، ربما يكون التركيز على حركة أجزاء الرجل عند الاتصال بالكرة وفى حالة

أخرى كالرمى يكون التركيز فى النظام على حركة الجذع وحركة ذراع الرمى ومهما كانت المشكلة الحركية يجب أن تكون حدود النظام محددة والقوة المحركة معروفة (١٠).

ومن أجل تحقيق الهدف من التحليل الميكانيكى يجب أن يعامل اللاعب عملياً كجسم صلب أو أجزاء صلبة أو كنظام الوصلات. ويمكن استخدام المعالجة الجزئية عندما نشخص مطابقة حركة مركز ثقل الكتلة بنظام حركة الجسم كله. فمثلاً فى حالة دراسة مسار قفز اللاعب يكون من الأفضل تجزئة اللاعب كجسم صلب حيث يمكن دراسة فعالية المفصل والعضلات تبعاً لكل عضو من الأعضاء. كما أن جسم الإنسان ككل لا يمكن اعتباره كوحدة صلبة منفردة إلا عندما تكون هناك فرصة لبقاء الأجزاء فى وضع موحد بالنسبة لبعضها البعض فى وضع ثنى الجذع خلال دوران لاعب الغطس. ويعتمد تحقيق دقة أكثر فى التشخيص الميكانيكى لجسم الإنسان على حرية الحركة فى النموذج مهما كان عدد مجموعات وصلات الأجزاء الأصلية المتداخلة فى الحركة.

ويستوقف تعقيد أى عمل لنظام الوصلات على عدد أجزاء هذه الوصلات التى يتكون منها النظام (١٠).

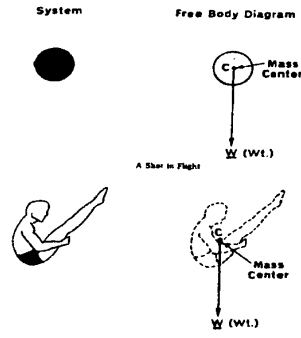
ثالثاً: القوة والتمثيل البياني للجسم الحر

Force and free body diagram

إن تغير حالة حركة أو سكون أى نظام بيوميكانيكى يكون تحت سيطرة تأثير فعل القوى الخارجية. ويكون تحديد مقدار اتجاه ونقطة تأثير هذه القوى مهماً. ولتسهيل هذه العملية يوضع التمثيل البياني للجسم الحر وتمثيل جميع القوى الخارجية المؤثرة على النظام على هذا الرسم البياني للجسم الحر، والتي تبسط برسم مفصل للنظام وتحيط به، ولتصوير أساسيات هذا المدخل للتحليل الميكانيكى نوجز المناقشة على القوى التى تواجه أو تصادف بصفة عامة الرياضة ونفحصها فى أمثلة مختارة وكذا الرسم البياني للجسم الحر وعلاقته بحركة الإنسان (٨)

الوزن : Weight

تؤثر قوة الجاذبية الأرضية على جميع الأجزاء المكونة للجسم بصورة متعادلة، ووزن الجسم هو محصلة هذه القوى الموزعة وموضعها يكون مركز ثقل الجسم ويكون اتجاهها نحو مركز الأرض. ويعرض الشكل (١-١) الرسم البياني للجسم الحر لليلة وللاعب فى السقوط الحر مع التسليم بعدم تأثير قوة احتكاك الهواء وفى كلا الحالتين يوضح السهم اتجاه ونقطة تأثير الوزن. ولا يوجد قوة أخرى خارجية تعمل على ذلك النظام وتؤثر فى الحركة (١).



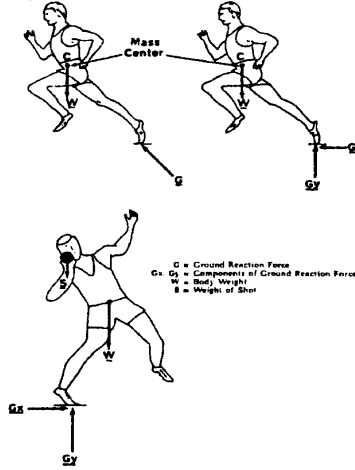
شكل (١-١)

لاعب الغطس في السقوط الحر

قوة رد الفعل : Reaction forces

عندما يكون الجسم كنظام حر الحركة سوف تؤدي أحد أجزائه إلى حركة جزء آخر عكس الاتجاه وهذه لا تؤدي إلى تغير مسار طيران مركز ثقل كتلة الجسم لأن الهواء لا يستطيع توليد مقاومة كافية لإنتاج قوة مضاد (رد فعل) كما في الأرض أو الماء وعلى ذلك فقوة العضلات ليس لها تأثير على مسار مركز ثقل كتلة الجسم في الهواء لأنه لا يكون لهذه القوة رد فعل خارجي أثناء الطيران. أما كون الجسم نظاماً مركباً فعندما يكون مركباً على سطح صلب ثابت يكون تأثير رد الفعل كبيراً. فمن خبرات العداء أن أي قوة رد فعل من الأرض نتيجة مقاومة الأرض لضغط قدمه. والقوة كمية متجهة لها مقدار واتجاه ويمكن تحليلها إلى مركبات يكون مجموع متجهها معادلاً لها. ويكون من المناسب فحص قوة رد فعل الأرض بواسطة مركبتين متعامدين، أحدهما

عمودية أو قائمة الزاوية والأخرى على طول السطح أو مماسية له. وتعرف المركبة المماسية أيضاً بقوة الاحتكاك ودائماً تكون عكس الاتجاه بالنسبة لحركة بين سطحين، وعند ميل القدم لتدفع الأرض لأسفل وللخلف يكون رد فعل الأرض عكس الاتجاه شكل (٢-١) وتبعاً لقانون الحركة الثالث لنيوتن (لكل فعل رد فعل مساوٍ له في المقدار ومضاد له في الاتجاه) يكون نفس تشابه الحال بالنسبة لدفع الجلة قبل التخلص منها، وبعد ذلك ينتهي النظام بالنسبة للاعب وللجلة، ويرى فعل كل من وزن الجلة والجسم رأسياً لأسفل بالنسبة لمركز ثقل الكتلة، ويوضح الشكل (٢-١) المركبات المماسية لرد فعل الأرض عند نقطة الاتصال بين الرجل والأرض (٩).



شكل (٢-١)

التمثيل البياني الحر لبيان قوى رد الفعل

الاحتكاك : Friction

بالرغم من تواجد أنواع متعددة من قوى الاحتكاك فإن الاحتكاك الجاف بقسميه الاستاتيكي والكينتيكي هو النوع الشائع في التحليل الكمي البيوميكانيكي، ويحدث الاحتكاك الثابت في حالة عدم الانزلاق، بينما يحدث الاحتكاك المتحرك عند انزلاق جسمين متصلين.

والاحتكاك هو المركبة المماسية لقوة رد الفعل، وهي تعمل دائماً على طول السطح في اتجاه الحركة النسبية، ويرمز للاحتكاك الثابت بالرمز (S) وللاحتكاك المتحرك بالرمز (K). ومعادلة الاحتكاك الثابت هي :

$$F_S = \phi_S \cdot N$$

أما معادلة الاحتكاك المتحرك فهي :

$$F_K = \phi_K \cdot N$$

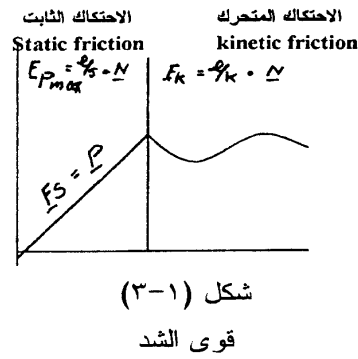
وتعدل المعادلتين على أن قوة الاحتكاك (F) دالة في كل من رد الفعل العمودي للأرض (N) وهو يمثل القوى الضاغطة على السطحين معاً ومعامل الاحتكاك (9) يعتمد على طبيعة الأسطح المتلامسة فالأسطح الجافة يكون معامل احتكاكها أكبر من الأسطح الناعمة أو المزيتة.

وفي حالة الاحتكاك الاستاتيكي توضح المعادلة أقصى قوة مطلوبة قبل حدوث الانزلاق، فالأحذية المصنوعة من المطاط أو الأحذية العادية تزيد من معامل الاحتكاك وبالتالي من أقصى قوة للاحتكاك الاستاتيكي وكنتيجه لذلك تقلل الانزلاق أو تغير الاتجاه أثناء الجري، ومقابض مضارب التنس والجولف

تؤدي نفس الغرض أما الاحتكاك الكيناتيكي فإنه يحدث دائماً في رياضات الشتاء وهو يساوي معامل الاحتكاك مضروباً في المركبة العمودية، وللتوقف لابد من إحداث قوة احتكاك كيناتيكي كبيرة.

Muscular force : القوة العضلية :

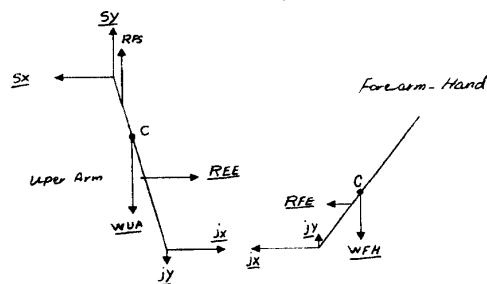
العضلات هي المحرك الداخلي والمسبب العام للحركات الإنسانية الهادفة والقوى الحقيقية والعزم الناتجة من عمل العضلات لا يمكن التنبؤ بها وذلك لتدخل عدد من المؤثرات الفسيولوجية والعناصر الميكانيكية، ويتضمن ذلك العلاقات بين الطول- الوتر- القوى- السرعة (ويلكى Wilkie ١٩٦٨) وكذا موضع العضلة وارتباطها بالمفصل بالإضافة إلى محاور الدوران الخاصة بالمفاصل (٢٦).



$F_s =$	الاحتكاك الثابت
$F_k =$	الاحتكاك المتحرك
$\phi_s =$	معامل الاحتكاك الثابت
$\phi_k =$	معامل الاحتكاك المتحرك
$W =$	الوزن
$p =$	قوة الشد
$N =$	رد الفعل

وقد أصبح من المعروف عملياً الإشارة إلى أن محصلة عزوم القوى التى أنتجتها جميع العضلات لها خاصية تحريك المفصل من جانب لآخر (بيرسون وآخرون. Pearson et al. ١٩٦٣)، (بلاجينهوف Plagenhoef ١٩٩٨)، (شافين Chaffin ١٩٦٩)، (ديلمان Dillman ١٩٧١). (١٩)، (٢٠)، (٥)، (٩)

عندما يعتبر العضو منفصلاً فى حالة راحة الجسم، تصف قوة رد الفعل عند المفصل ومحصلة قوة العضلات كقوة خارجية ويجب توضيحها على الرسم البيانى للجسم الحر واحتوائها فى التحليل ويوضح الشكل (٤-١) العضد والساعد واليد منفصلاً عن المرفق ومفصل الكتف. ويتعادل عمل القوة على الساعد مع عمل القوة عند المرفق وتتساوى فى المقدار وتكون مضادة فى الاتجاه وإذا ثبت مفصل المرفق على حالة يلغى كل من القوتين بعضها فى هذه الحالة ولا يمكن اظهار ذلك بوضوح فى الرسم، ومن أجل التسهيل يكون توضيح محصلة القوة العضلية كسهم منفرد.



شكل (٤-١)

التمثيل البيانى للجسم الحر فى حالة فصل أجزاء الجسم

WFH =	وزن الساعد، واليد
WUA =	وزن العضد
C =	مركز ثقل كتلة العضو
Jx, Jy =	مركبتى قوة رد الفعل عند المرفق
Sx, Sy =	مركبتى قوة رد الفعل عند الكتفين
RFS =	محصلة قوة العضلات العاملة على مفصل الكتفين
RFE =	محصلة قوة العضلات العاملة على مفصل المرفق

الاصطدام : Impact

تكون قوة الاصطدام نتيجة لاصطدام جسمين أو أكثر، وفي الرياضة يحدث الاصطدام عندما تضرب كرة البيسبول بالمضرب أو كرة الجولف بعصا الجولف، وكما يحدث أيضاً فى ضرب سلم الوثب عند الارتقاء فى القفز على الحصان أو الهبوط من الارتداد. ويشير هالى (Hale ١٩٧١) إلى أن التركيز أصبح على بحث قوة الاصطدام لتسببها فى إصابة اللاعبين. وتمثيل قوة الاصطدام على الرسم البياني للجسم الحر يوضع علامة (*) بجانب السهم الممثل لاتجاه الحركة (١٣).

الطفو : Buoyancy

الطفو مهم فى الرياضات المائية وخاصة فى مهارات الكائن الحى وحسب قاعدة أرشميدس Archimedes يتساوى حجم قوة الطفو مع وزن الماء المزاح، ويكون فحص توزيع القوة فى التحليل الميكانيكى بعمل محصلتها رأسياً ولأعلى خلال مركز الطفو والمطابق لمركز كتلة الجسم (١٠).

قوى الموائع : Fluid forces

منافسة السباحين، والمتزلقين، لاعب الدراجات، ولاعبى الرقص على الجليد وجميعهم عملياً تتأثر بقوى الموائع كمقذوفات مثل كرة الجولف، كرة البيسبول، وكرة الرئيسة الطائرة، والرمح. بسبب تعقد ميكانيكية مجال الموائع، يصبح حل هذا النوع من المشاكل بالضبط صعب ومن أجل هذا السبب يكون من الصعب عرض حساب قوى الموائع الصافية الحادثة فى الرياضة.

أيضاً الرياضيين وحركتهم العامة كمقذوفات فى الثبات فى الهواء (أو الماء) من أجل تباين تحليلها ومناقشتها، يكون من المناسب اعتبارها حالة من خلال تدفق المائع. القوة المبذولة حول الجسم أو الشئ عن طريق حركة المائع يمكن أن تحلل إلى مركبتين التى لهما دلالة طبيعية فى التحليل. المركبة الموازية للتدفق ولكن فى اتجاه عكسى تعزز كمقاومة. ويشتمل هذا حمل كلا المقاومة الخارجية للشكل والاحتكاك أو مقاومة الضغط الحادثة عن طريق الضغط العادى على السطح شاميز Shames (١٩٨٢م). المركبة الثانية للقوة تعمل عادة فى اتجاه تدفق المائع وتسمى الرفع. بينما احكام قيم تلك المركبتين صعب تحديده إلا أن كلاهما متناسب مع الناتج التالى :

$$PAV^2$$

حيث أن P كثافة المائع، A = تمثل مساحة الجسم، V = سرعة التدفق. عملياً الأبحاث تستخدم نقص هوائى للمساعدة لتجهيز دليل موضوعى أكثر كفاية لديناميكية الهواء لأوضاع لاعب الانزلاق Raine (١٩٧٠م)، وواثب

الجلید سترومان Strauman (١٩٥٥م)، تانى Tani وأوشى Iuchi (١٩٧١م). بالإضافة إلى تأثير مقاومة الموائع فى مختلف أوضاع السباحة، قدرت قياس القوة المكتسبة لسباحين خلال الماء، كنت Kent وأثا Atha (١٩٧١م).

المراجع

- ١- عادل عبد البصير على : الميكانيكا الحيوية والتكامل بين النظرية والتطبيق فى المجال الرياضى، الطبعة الثانية، مركز الكتاب للنشر، (٦٦، ١٣٤)
- 2- Alt, F. (Ed.) : (1966), Advances in Bioengineering and instrumentation, New York, Plenum Press.
- 3- Briggs, L.J. : (1959), Effect of spin and speed on the lateral deflection (curve) of a baseball and; and the Magnus effect for smooth sheres. Amer. J. Phys., 27, (589-596).
- 4- Brown, R.M. & Counsilman, J.E. : (1971), The role of lift in propelling the swimmer. In J.M. Cooper (Ed.). Selected Topics on Biomechanics. Chicago: Athletic Institute.

- 5- Chaffin, D.B. : (1969), A computerized biomechanical model- development of and use in studying gross body actions. J. Biomech., 2, 429-441.
- 6- Cochran, A. & Stobbs, J. : (1968), The search for perfect swing, Philadelphia, Lippincott.
- 7- Counsilman, J.E. : (1968), The science of swimming. Englewood- Cliffs, N.J.: Prentice-Hall.
- 8- Dempster, W.T. : (1961), Free-body diagrams as an approach to the mechanics of human posture and motion. In F.G. Evans (Ed.), Biomechanical studies of the Musculo-skeletal system. Springfield, Ill.: C.C Thomas.
- 9- Dillman, C.J. : (1971), A kinetic analysis of the recovery leg during spring running. In J.M. Cooper (Ed.), Selected topics on Biomechanics, Chicago: Athletic Institute.

- 10- Doris I., Miller & Richard C. Nelson : (1973), Biomechanics of sport,. A research approach, Lea & Febiger, Philadelphia, (6-15).
- 11- Farell, C. : (1971), Drag of bodies moving through fluids. In J.M. Cooper (Ed.) Selected topics on biomechanis, Chicago: Athletic Institute.
- 12- Francis, J.R.D. : (1969), A textbook of fluid mechanics, 3rd ed., London: Edward Arnold.
- 13- Hale, C.J. : (1971), Significant trends and complex barriers in the engineering of protective sports equipmet. Mater. Res. Stand., 11, (8-12).
- 14- Kent, M.R. & Atha, J. : (1971), Selected critical transient body positions in breast stroke and their influence upon water resistance. In L. Lewillie and J.P. Clarys (Eds.). Biomechanics in Swimming Brussels: Universite Liber de Bruxelles.

- 15- McMillan, R. : (1961), For curlers only. Roundel, 13, (11-14).
- 16- Meriam, J.L. : (1966a), Statics, New York, Wiley.
- 17- ————— : (1966b), Dynamics, New York, Wiley.
- 18- Outwater, J.O. : (1970), One the friction of skis, Med. Sci. Sports, 2, (231-234).
- 19- Pearson, J.R.; : (1963), Dynamic analysis of the
McGinley, D.R. & upper extremity: planar motions.
Butzel, L.M. Hum. Factors, 5, (59-70).
- 20- Plagenhoef, S. : (1968), computer programs for
obtaining kinetic data on human
movement, J. Biomech., 1 (221-
234).
- 21- Raine, A.E. : (1970), Aerodynamics of skiing, Sci. J., 6, (26-30).
- 22- Shane, I.H. : (1967), Eengineering mechanics-
statics and dynamis, 2nd ed.,
Englewood Cliffs, N.J.: Prentice-
Hall.

- 23- _____ : (1962), Mechanics of fluids. New
York: McGraw Hill.
- 24- Tani, I. & _____ : (1971), Flight-mechanical investi-
Iuchi, M. gation of ski jumping. In Tokyo:
Hitachi.
- 25- Tricker, R.A. & _____ : (1967), The science of movement.
Tricker, B.J.K. New York: American Elsevier.
- 26- Wilkie, D.R. : (1968), Muscle, New York: St.
Martin's Press.
- 27- Williams, M. & _____ : (1962), Biomechanics of human
Lissener, H.R. motion, Philadelphia: W.B.
Saunders

الفصل الثاني

التحليل البيوميكانيكي للمهارة الرياضية

The biomechanics analysis of the sport skill

أولاً : التحليل الزمني Temporal analysis

ثانياً : التحليل البيوكينماتيكي The biokinematic analysis

ثالثاً : التحليل البيوكيناتيكي The biokinetic analysis

رابعاً : التحليل الوصفي Description analysis

الفصل الثاني

التحليل البيوميكانيكى للمهارة الرياضية

The biomechanics analysis of the sport skill

ينبغي أن تقرر قبل بداية التحليل الحركى أو البيوميكانيكى الهدف منه، والاتجاه العام والغرض الأساسى له، فمثلاً إذا اقتصر الواجب الرئيسى للبحث على توصيف شكل الحركة فى مسابقة ما، وعلى التركيب الكينماتيكى لها وجب أن يشتمل التحليل البيوميكانيكى على الطرق التى تتيح إمكانية تعيين الخصائص الكينماتيكية لهذه الحركة، ثم يجرى بعد ذلك تحليل العلاقات الارتباطية بينها والذى يتحقق من خلاله الوحدة الكلية المتكاملة- النظرة الشمولية- لهذه المهارة الرياضية، بينما يؤدى اقتصار الواجب الرئيسى للبحث على تحديد الأسباب الميكانيكية لهذه المهارة أو تلك ومدى ارتباط ذلك بفاعلية المسابقة الرياضية، إلى ضرورة أن يقوم التحليل البيوميكانيكى على استخدام إمكانية تحديد الخصائص البيوميكانيكية للمهارة قيد الدراسة.

ويجب التنويه إلى أن التحليل البيوميكانيكى ليس له نسق أو نمط جامد حيث يرتبط إلى حد كبير بظروف إجراءه، وبمدى توافر الأجهزة والمعدات اللازمة له... وهكذا، ورغم ذلك فإنه يمكن إجراء التحليل البيوميكانيكى وفق مخطط نموذجى مقترح يتضمن القواعد الأساسية التى تحدد الطابع العام لعمل الباحث، ونقترح النموذج التخطيطى التالى :

نموذج تخطيطى للتحليل البيوميكانيكى للمهارة الرياضية :

Schemdactical model of biomechanics sport skill analysis

- ١- تحديد تسمية دقيقة للمهارة الرياضية وفقاً للمصطلحات المتبعة فى المجال الرياضى التخصصى.
- ٢- وضع هدف أو أهداف محددة للتحليل البيوميكانيكى.
- ٣- اختيار طرق البحث وأجهزة القياس اللازمة لحل مختلف واجبات الدراسة.
- ٤- الكشف عن الارتباطات والعلاقات الداخلية بين الخصائص المنفردة للمهارة فى حدود الأهداف السابق تحديدها عن طريق استخدام الطرق الاحصائية.
- ٥- صياغة الاستخلاصات المناسبة حول تقويم المهارة الرياضية موضع الدراسة ووضع التوصيات، وفقاً لنتائج التحليل البيوميكانيكى السابق إجراؤها.

التحليل البيوديناميكى للمهارة الرياضية :

Biodynamic analysis of sport skill

توصف المراجع البيوميكانيكية الديناميكا على أنها تهتم بالفرد فى الحركة وربما أيضاً امتدت لتشمل الأدوات التى يتعامل معها باليد أو يقذفها. وربما نفحص ديناميكية المهارات الرياضية من نقطة الوقوف فى ثلاثة مستويات. المستوى الأول التحليل الزمنى Temporal analysis الذى ينقسم إلى الزمن أو ايقاع المظاهر المختلفة للأداء. والمستوى الثانى أى تحليل كينماتيكي Kinematic analysis يركز على المسار الهندسى للحركة دون

وضع القوى فى الاعتبار. ويشتمل هذا المستوى على الإزاحة displacement، السرعة velocity، العجلة acceleration. والمستوى الثالث والأخير أى تحليل كيناتيكي Kinetic analysis يركز على دراسة تبادل القوى من بداية الحركة حتى الوقوف. الكيناتيكا هى أكثر تفصيلاً لثلاث مستويات وتتطلب فهم أكثر لمبادئ الميكانيكا (عادل ١٩٨٤/١٩٨٣)، (عادل ١٩٩٨م)، (٢)، (٣)، ميلر Miller (١٩٨٣م) (٣٢).

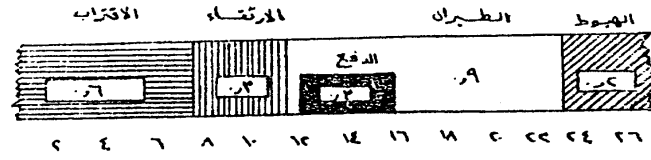
أولاً : التحليل الزمنى : Temporal analysis

الخطوة الأولى فى خطوات بحث القواعد الميكانيكية للمهارات الحركية هى ادراك توالى زمن مكونات الحركة. فمثلاً فى كل من: الجرى، التحليل الزمنى يشتمل على تحديد زمن الارتكاز وزمن الطيران، وفى القفز فى الجمباز يشتمل على فترة دوام الطيران الأول، والاتصال بالحصان والطيران الثانى والهبوط، وفى السباحة يشتمل على الزمن اللازم لإعادة التغطية، التحكم فى المراحل الرئيسة للضربة. عادة جميع المهارات الرياضية يمكن تقسيمها إلى نفس المكونات وهى ذات فعالية عملياً عند ربطها بالأداء. يمكن استخدام هذا النوع من التحليل فى الربط فى التصوير السينمائى أو بالفيديو حيث عدد إطارات الفيلم تتطلب لاتمامها اعطاء فترة حركة يمكن حفظها فى زمن محدد. يجب الاعتناء بالتأكيد على التعرف على دقة وموضوعية البيانات. التأكيد على دقة تفاصيل تحديد عمليات بحث بدأ وإتمام مكونات ومتطلبات الحركة.

ربما التحليل الزمني يؤدي إلى بحث الأسئلة المتعددة المهمة لكلا المهنيين في الرياضة والباحثين، مثل كيف يؤثر زمن المهارة عن طريق سرعة الأداء؟ وعن طريق التعب؟ وحجم الجسم. كيف يكون كبير القصور الذاتي للفرد في المهارات للاعبى القمة؟ قبل التثبيت؟ كيف يغيرون التعليم والتجريب؟ هل تغيرت الأجهزة الرياضية أو أثرت الأدوات الرياضية على الإيقاع الحركى الكلى للمهارة؟ الاهتمام بتأثير زمن المهارة وارتباطه بالمشاكل جعله يوضح أن هذا المستوى البحثى له قيمته بالنسبة للمدرس والمدرّب وبالإضافة إلى أنه يعد الأساس لتوالى التحليل الكينماتيكي والكيناتيكي للحركة.

ويستبح استخدام فيلم الفيديو المصور إعداد رسوم بيانية لطول أزمنة الفترات المكونة للحركة سواء كان العرض البياني على شكل الكرونوجرام الخطى أو الدائرى.

ويتم تحديد فترة الكرونوجرام الخطى من خلال رسم شريحة مستقيمة تتناسب فى طولها مع عدد صور الفيلم المقابلة لهذه الفترة من الحركة موضع الدراسة كما فى شكل (١-٢).



شكل (١-٢)

كرونوجرام خطى لحركة القفز فتحاً على المهر

بينما يتحدد الطول الزمني للفترة في الكرونوجرام الدائري بقياس طول القوس على محيط الدائرة الذي يتناسب مع عدد الصور المقابلة لهذه الفترة الزمنية من الحركة قيد الدراسة كما في شكل (٢-٢). ويفضل استخدام الكرونوجرام الدائري في عرض التقسيم الزمني لفترات الحركة المتكررة المغلقة مثل الجرى. ويتطلب ذلك تقسيم محيط الدائرة إلى أقواس ذات مسافات متساوية تتطابق في عددها مع عدد الصور - ويرمز لها بالرمز (N) - الخاصة بالحركة المرصودة كما يتطلب إيجاد نصف قطر الدائرة باستخدام العلاقة التالية :

$$r = \frac{I}{2\pi}$$

حيث I = طول محيط الدائرة بالسنتيمترات، $\pi = 3.14$ ط وهو مقدار ثابت يساوى ٣,١٤.

فمثلاً : إذا كانت الدورة المغلقة للحركة تستغرق ١٩ صورة ينبغي أن يكون طول محيط الدائرة ١٩سم. وبذلك يمكن إيجاد نصف قطر الدائرة (r) كما يلي :

$$r = \frac{I}{2\pi} = \frac{19}{2 \times 3.14} = \frac{19}{6.28} = 3.0 \text{cm}$$



شكل (٢-٢)

كروونوجرام دائري للحركة المتكررة المغلقة في الجرى

ثانياً : التحليل البيوكينماتيكي : The biokinematic analysis :

الكينماتيكا أحد قسمي الديناميكا وهي تهتم بدراسة وصف الحركة باستخدام مفاهيم الإزاحة Displacement (التغير في الوضع)، السرعة Velocity، العجلة Acceleration بدون النظر في مسببات الحركة.

ويعرض الجدول (١-٢) ملخص لرموز وقواعد العلاقات الكينماتيكية لأنواع المهارات الرياضية أو ترجمة حركة الجسم إلى مصطلحات إذا طبقت الطرائق الميكانيكية في التحليل.

جدول (١-٢)
ملخص الكينماتيكا

البيانات	الخطية	الزاوية
الوضع - الموضع المتعلق بالإطار المرجعي المنفرد	$R(x,y,z)$ تمثل متجه الوضع بين نقطة الأصل للنظام الإحداثي لنقطة المنفردة - ويعبر عنها عادة كما يلي $r = xi + yj + zk$ (inches, feet, meters...)	θ (degrees, radians, revolutions)
الإزاحة - التغير في الوضع	$S = \Delta r$ (inches, feet, meters)	$\Delta\theta$ (degres, radius, revolutions)
السرعة - التغير في الإزاحة بالنسبة للزمن	$V_{ave} = \frac{\Delta r}{\Delta t} = V = \frac{dr}{dt}$ (Fet./sec., mph, m./sec.,....)	$\omega_{ave} = \frac{\Delta\theta}{\Delta t} = \omega = \frac{d\theta}{dt}$ (deg/sec, rad/sec, rpm,...)
العجلة - التغير في السرعة بالنسبة للزمن	$a_{ave} = \frac{\Delta v}{\Delta t} = a = \frac{da}{dt}$ (ft./sec.sec, m/sec.sec.,...)	$\alpha_{ave} = \frac{\Delta\omega}{\Delta t} = \frac{d\omega}{dt}$ (deg./sec.sec, rad/sec.sec,...)

بينما نوظف المبادئ المتشابهة في حساب كلا البيانات الخطية والزاوية، سوف يدرك الباحث أن الإزاحة الخطية، السرعة والعجلة تعزز الحركة جزئياً أو لنقطة خاصة على جسم صلب. وفي الجانب الآخر الإزاحة الزاوية والسرعة الزاوية والعجلة الزاوية هي نفسها بالنسبة لجميع الخطوط

على الجسم الصلب، كذلك يطبقوا على الجسم الصلب كوحدة متكاملة. ويلاحظ أنه عملياً لا يمكن تجريب الحركة الزاوية بسبب إهمال كتلتها.

وعندما تحدد السرعة أو العجلة بالقسمة على الزمن الفترى، تكون نتيجة ذلك الحصول على السرعة المتوسطة التى نسلم بأنها حدثت عند منتصف الزمن الفترى. وبناء على ذلك فإن المعادلة :

$$V = \frac{\Delta r}{\Delta t}, \quad \omega = \frac{\Delta \theta}{\Delta t}$$

تمثل السرعة الخطية والسرعة الزاوية على التوالى بينما المعادلة:

$$a = \frac{\Delta v}{\Delta t}, \quad \alpha = \frac{\Delta \omega}{\Delta t}$$

تشير إلى العجلة الخطية، والعجلة الزاوية على التوالى. فمثلاً تبعاً للمراحل النهائية الافتراضية للعدد والتى فيها الحركة الأفقية لمركز ثقل كتلة اللاعب فحصت فى الجدول (٢-٢). حسبت الفترة الزمنية الصغيرة (Δt) البيئية المتعاقبة للسرعات والعجلات الأفقية من أول ثانية حتى $t = 10$ ث. لذا السرعة المتوسطة خلال المرحلة بين الثانية ٩، والثانية ١٠ تكون ٣٥ قدم/ث. وتأثيرها عند الزمن $t (9,5)$ ث. عند استكمال السباق، كذلك، السرعة النهائية (٣٣ قدم/ث) حسبت بعد ٠,٦ ث فترة زمنية، النقطة المتوسطة التى تؤدى عند الزمن $t (10,3)$ ، ولذا العجلة النهائية تكون :

$$a_x = \frac{\Delta v_x}{\Delta t} = \frac{33 - 35}{10.3 - 9.5} = -2.5 \text{ Ft./sec./sec.}$$

يمكن أن تكون السرعة والعجلة لحظية وهذه الحالة تقابلنا عندما يكون فرق الزمن المحسوب صغيراً جداً أو يقترب من الصفر ويتطلب ذلك دراسة السرعات اللحظية والتي يمكن الحصول عليها باستخدام المعادلة التالية :

$$V = \lim_{\Delta t \rightarrow 0} \frac{\Delta r}{\Delta t} = \frac{dr}{dt}, \quad \omega = \lim_{\Delta t \rightarrow 0} \frac{\Delta \theta}{\Delta t} = \frac{d\theta}{dt}$$

$$a = \lim_{\Delta t \rightarrow 0} \frac{\Delta v}{\Delta t} = \frac{dv}{dt}, \quad \alpha = \lim_{\Delta t \rightarrow 0} \frac{\Delta \omega}{\Delta t} = \frac{d\omega}{dt}$$

تمثل القيم اللحظية التي تحدث عند اللحظة الزمنية المحسوبة.

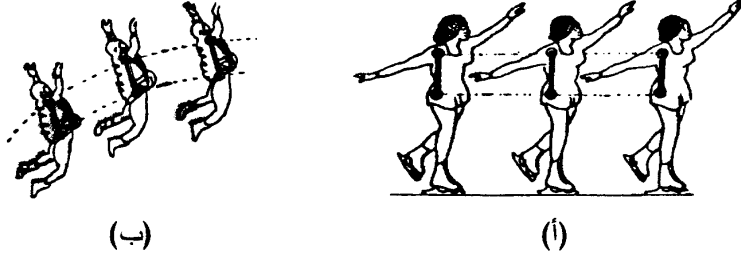
جدول (٢-٢)

حركة مركز ثقل كتلة الجسم خلال العدو

الزمن (ثانية)	الوضع (قدم)	فرق المسافة الأفقية (قدم)	السرعة الأفقية (قدم/ثانية)	فرق السرعة الأفقية (قدم/ثانية)	العجلة الأفقية (قدم/ثانية/ثانية)
٥	١٠٩	٣٢	٣٢		
٦	١٤١	٣٤	٣٤	٢	٢
٧	١٧٥	٣٥	٣٥	١	١
٨	٢٦٠	٣٥	٣٥	٠	٠
٩	٢٤٥	٣٥	٣٥	٠	٠
١٠	٢٨٠	٢٠	٣٣	٢-	٢,٥-
١٠,٦	٣٠٠				

تقسيم الحركة : Classification of motion :

ربما يمكن تقسيم حركة الإنسان كانتقال، ودوران، وحركة عامة أو حركة في الفضاء. والأخيرة تمثل الحالة العامة وأول الثلاث تقسيمات حالات خاصة بسيطة للحركة العامة في الفضاء.



شكل (٢-٣)

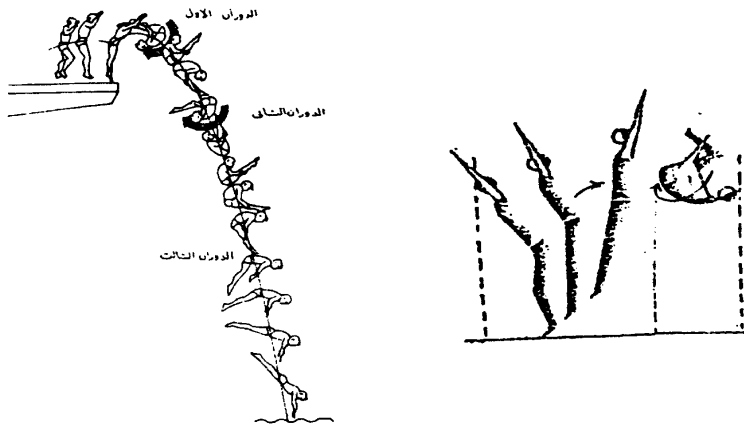
(أ) الحركة الانتقالية في خط مستقيم، (ب) الحركة الانتقالية في خط منحنى



شكل (٢-٤)

أ- الحركة الدورانية حول محور ثابتة خارج الجسم،

ب- الحركة الدورانية حول محور داخل الجسم



شكل (٢-٥)

الحركة العامة

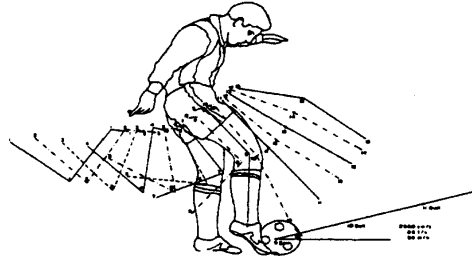
الحركة الانتقالية هي الحركة التي لا تحتوى على إزاحة زاوية للجسم خلال أى فترة زمنية. لذلك جميع أجزاء الجسم لها نفس العجلة اللحظية شكل (٢-٣). والحركة الدورانية ترسم فيها أى نقطة من الجسم دائرة أو قوس من دائرة حول محور داخل أو خارج الجسم فى نفس الاتجاه وفى نفس اللحظة كما فى شكل (٢-٤). والحركة العامة أو الحركة العامة فى الفراغ، هى خليط من الحركة الانتقالية والحركة الدورانية حيث تتم فيها الحركة الدائرية حول محور الدوران وفى نفس الوقت ينتقل الجسم. وهذا النوع من الحركات شائع حدوثه فى النشاط الرياضى خاصة فى المهارات التى يدور فيها الجسم حول أحد محاوره وفى نفس الوقت ينتقل الجسم كما يحدث خلال الدورة الهوائية

المستكورة الخلفية المزدوجة على الأرض فى الجمباز، أو دورتين هوائيتين منحنيين أماميتين فى الغطس، شكل (٢-٥).

إن المراجع البيوميكانيكية عادة تشير إلى حركة مركز ثقل كتلة الجسم على أنها الحركة الانتقالية للجسم. لذا ارتقاء الوثاب أو السرعة الأفقية للعداء حسبت من تغيرات الأوضاع لمركز ثقل كتلة الجسم مقسومة على مراحل الزمن الخاصة. فى تلك اللحظات، اللاعب عومل رياضياً كأجزاء وسلم بأن حركته يمكن وصفها عن طريق دراسة كينماتيكا مركز ثقل كتلة الجسم. وبالمثل، الأداة الرياضية فى الطيران اعتبرت كأجزاء من أجل غرض التحليل الحركى. ويجب الوضع فى الاعتبار أن السرعات الخطية كميات موجهة. فمثلاً يجب أن تمتلك وحدات عامة للقيمة ويجب تعمل فى نفس الاتجاه إذا جمعت جبرياً. نفس التعليق على تطبيق الإزاحات والعجلات. كذلك فى حالة المستوى مألوف وضوح تلك المتجهات فى المركبتين x , y . هذا التشكيل المستفرد للإطار المرجعى المتعامد ملائم لأن متجه الوزن يمكن أن يكون موازى للمحور y . بالإضافة إلى أنه عندما تهمل مقاومة الهواء سقوط الأجسام الحرة عجلتها عملياً متساوية وتعمل نحو الجاذبية فى الاتجاه الرأسى أو فى الاتجاه y وبعجلة مقدارها صفر فى الاتجاه الأفقى أو اتجاه x . بعد عمل جميع الحسابات الضرورية باستخدام المركبتين المتعامدتين، يمكن تحديد متجه المحصلة المشير لكل من القيمة والاتجاه.

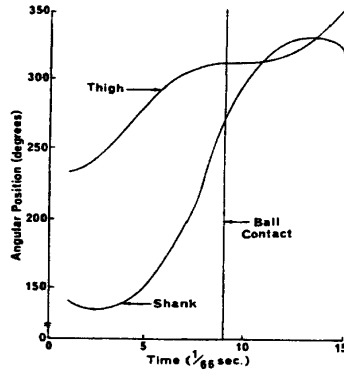
التركيب المشترك لجسم الإنسان، الذى ربما يمثل ميكانيكياً كنظام حلقى لحركة الأعضاء الصلبة حول محور الدوران خلال المفاصل، يحتم

التركيز على الوضع الزاوى وسرعة وعجلة الأطراف. فى أى تحليل، من المفيد تسجيل العلاقة بين وضع وزمن الأعضاء المختلفة على الرسم البيانى. عندما يتشابه عمل خريطة السرعات الزاوية، والعجلات الزاوية، أهمية قواعد الأطراف فى المهارة وتداخلها ربما تكون أكثر وضوحاً وإدراكاً وتفسيراً. نأخذ مثلاً ضرب كرة القدم بأداء الاقتراب المستقيم عن طريق لاعب ماهر. يمكن قياس تتابع أوضاع الساق والفخذ من أحد مركب تتابعات بلاجنهوف Plagenhoef (١٩٩٦م)، شكل (٦-٢)، وعندئذ تُرسم كدالة بالنسبة للزمن. شكل (٧-٢) (٤٢).



شكل (٦-٢)

تتابع مركب الاقتراب المستقيم لركل كرة القدم (٦٦ إطار/ثانية)
(عن بلاجنهوف (١٩٧١م))



شكل (٧-٢)

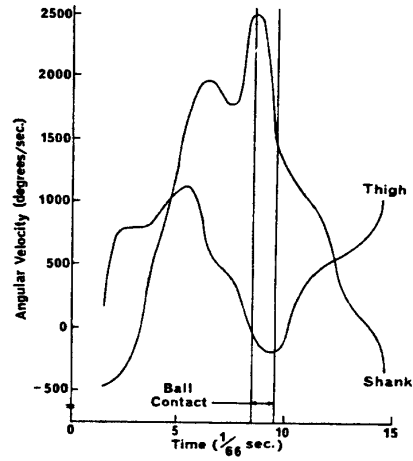
العلاقة بين الوضع الزاوي- الزمن لكل من الفخذ والساق في ركل كرة القدم

لإقلال تأثير القياس والخطأ التجريبي حول تتابع اختلاف الدالتين، يمكن تهذيب البيانات باستخدام إما الطريقة اليدوية أو تكتنيات التوافق. من تلك العلاقات، نحسب السرعة الزاوية لكل من العضوين شكل (٨-٢). تمهيد منحني السرعة الزاوية- الزمن ربما أيضاً يؤدي كأساس لدراسة العجلة الزاوية.

يشير الاعتناء بتحليل تلك المنحنيات إلى فكرة عامة حول الحركة الزاوية للأطراف في الأداء. توضع الأسئلة التالية في الاعتبار :

ما هي الاختلافات في السرعة الزاوية بين مجموعات أعضاء الجسم؟ هل العضو البعيد يبقى متسارع عند الاتصال بالكرة أو هل تظل سرعته ثابتة؟ ما هي قيم السرعات الزاوية والعجلات الزاوية خلال مدى الحركة حتى اتمام

الاتصال بالكرة؟ الإجابة على تلك الأسئلة وأسئلة أخرى مرتبطة بمعدل دوران أعضاء الجسم، وكذلك عدم تجهيز الوصف الكلى الميكانيكى للمهارة.

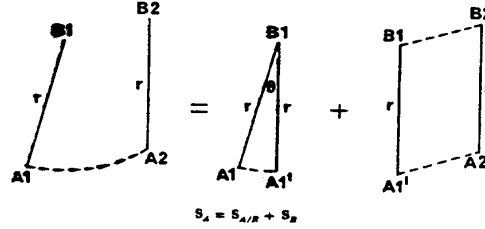


شكل (٨-٢)

العلاقة بين السرعة الزاوية- الزمن للفخذ والساق فى ركل كرة القدم

يجب أن يدمج التحليل الميكانيكى كلا الحركتين الخطية والدورانية للأطراف. ففي حالة ركل كرة القدم، السرعة الخطية المطلقة فى الخطوة عند الاتصال بالكرة ليست فقط الوظيفة للسرعة الزاوية للفخذ والساق ولكن أيضاً للسرعة الخطية للجسم ككل. نفس الحالة يمكن التركيز عليها فى الإزاحة والعجلة. وكذلك فى الإمكان حساب الإزاحة الخطية والسرعة والعجلة لأى نقطة على أى عضو للجسم من البيانات الكمية الأساسية لوصف ميكانيكا الأداء.

باعتبار العضو الصلب مثل بالمتجه r بالنهاية الأولى للوضع A والأخرى للوضع B . عندما يتحرك هذا العضو، الإزاحة المطلقة لوضع A تكون معادلة للإزاحة النسبية لوضع A مع اتصالها بـ B (افترض أن عزم B ثابت وأن الجسم يدور حولها) + الإزاحة المطلقة لـ B . هذه العلاقة تعرض في الشكل (٩-٢) ويمكن صياغتها كما يلي :



شكل (٩-٢)

إزاحة أحد نهاية العضو بحرية عامة في مستوى الحركة

$$S_A = S_{A/B} + S_B$$

حيث أن مقدار الإزاحة الخطية النسبية

$$r * \Delta\theta = S_{A/B}$$

في حالة سرعة A الخطية :

$$V_A = V_{A/B} + V_B$$

حيث أن السرعة الخطية النسبية $V_{A/B} = r \times \omega$ مع مقدار $r * \omega$ واتجاهها

عند الزاوية القائمة للعضو. بالمثل عجلة A الخطية المطلقة تحدد من العلاقة:

$$a_A = a_{A/B} + a_B$$

يمكن تقسيم العجلة النسبية إلى العجلة العادية ومركبة العجلة المماسية.

$$A_{A/B} = (a_{A/B})_n + (a_{A/B})_t \\ = \omega \times (\omega \times r) + \alpha \cdot r$$

المركبة العادية قيمتها $\omega \cdot r^2$ وتتجه من A نحو B. وهى تكون مرتبطة بمعدل زمن تغير اتجاه السرعة. المركبة المماسية تعكس التغير فى مقدار السرعة بارتباطها بالزمن. ويكون مقدارها $\alpha \cdot r$ واتجاهها يكون مماس لمسار A.

تلك العلاقات يمكن امتدادها لحركة عضوين أو أكثر فى نفس المستوى. التحليل فى حالة تعدد حركة العضو عامة يبدأ عند نهاية العضو الذى عرفت سرعته المطلقة. القدم تتفطح على الأرض أو اليد تظل قابضة على استناد ثابت ليعطى مثلاً ملائماً لبداية النقاط حيث تكون السرعة صفر عند سطح الاتصال. إذا عُرف تطابق طول العضو، والوضع والسرعة والزاوية، السرعة الخطية المطلقة للنهاية الأخرى للطرف يمكن تحديدها. وبنفس معلومات الأعضاء بالضبط يمكن إجراء التحليل من أحد الأعضاء إلى التالى.

يمكن الحصول على القيمة التقريبية المطلقة للبارامترات الخطية الكينماتيكية لأى نقطة على أى عضو للجسم عن طريق التسليم بأن حركة النقطة المنفردة بين وضعين متتاليين تكون فى خط مستقيم. عندئذ يمكن استخدام المعادلة :

$$V = \frac{\Delta r}{\Delta t}, \quad a = \frac{\Delta v}{\Delta t}$$

بشرط أن معدل العينة يكون بكفاية عالية، والخطأ الناتج عن ذلك التبسيط سوف يكون غير دال احصائياً.

ثالثاً : التحليل البيوكيناتيكي The biokinetics analysis

الكيناتيكا فرع من فروع الديناميكا تهتم بوصف مسببات الحركة (القوى). وهى أعلى مستوى تحليل ميكانيكى ويزيد أهميتها تعقيداً حركة الإنسان فى الرياضة. بسبب تعقيدات بحث طبيعة جسم الإنسان، قليل من الباحثين فى التربية الرياضية قاموا بدراسة وضع التحليل الكيناتيكي. عادة هذا المظهر الديناميكي يتم تبسيطه. ويعامل اللاعب مستقلاً كأنه نظام حلقى. نادراً ما تعبر المراجع عن مفهوم القصور الذاتى مترجماً إلى اصطلاحات كمية. ويجب اتخاذ مدخل دقيق جداً فى كلا الأبحاث التجريبية والحسابات النظرية لو أردنا فهم أكثر لإتمام مساهمة التحليل الكيناتيكي.

١- الكتلة وعزم القصور الذاتى : Mass and moment of inertia

بينما تهتم الكيناتيكي بصفة مبدئية بتأثير القوى، فإنها تهتم أيضاً ببارامترات الكتلة وعزم القصور الذاتى. والكتلة وعزم القصور الذاتى لا تتغير بالنسبة للأجسام الصلبة وتمثل مقاومة للعجلة الخطية والزاوية على التوالي. يتطلب التحليل الكيناتيكي لنظام الحركة الخطية أى معلومات عن كتلة النظام بينما يجب معرفة الكتلة وعزم القصور الذاتى عندما نبحث دوران الحركة فى مستوى عام، والحركة فى الفضاء.

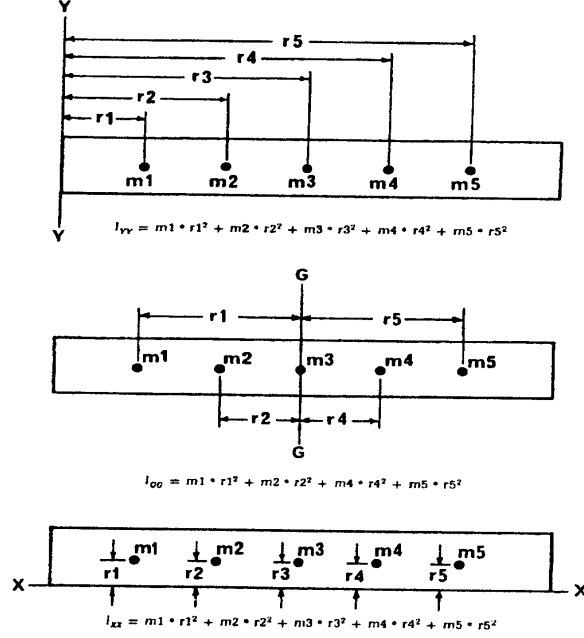
يحدد عزم القصور الذاتى بالاصطلاحات الرياضية كما يلى :

$$\sum_{i=1}^{l=n} m_i * r_i^2 \text{ or } \int r^2 dm$$

حيث أن m_i ، dm تمثل أحد جسيمات كتلة تتحرك حركة دورانية، r ،

r_i تمثل المسافة العمودية بين كتلة الجسم والمحور العمودى للدوران.

يعرض الشكل (١٠-٢) أن أى قيم تشير إلى عزم القصور الذاتى ليس لها أى معنى بدون تحديد المحور الخاص بها. لذلك أى جسم صلب له عدد من عزوم القصور الذاتى غير محدودة، واحد لكل من المحاور التى يمكن رسمها خلال الكتلة أو مركز المفصل. إذا كان الجسم له ثلاث محاور متماثلة، اصطلح على أن تلك المحاور هى المحاور الأساسية لعزوم القصور الذاتى للجسم.



شكل (١٠-٢)

عزم الصور الذاتى للجسم النموذجى

التبديل الموضوعى للقيم فى الأمثلة المعطاة فى الشكل (٢-١٠) سوف يصور حقيقة أن أصغر عزم قصور ذاتى لأى واحد من مجموعات المحاور الموازى سوف يكون عزم القصور الذاتى حول أى محور يمر بمركز ثقل الكتلة. وهى أيضاً يمكن تعرض أن عزم القصور الذاتى فيما يتعلق بأى محاور موازية للمحور المار بمركز ثقل الكتلة تكون معادلة لعزم القصور الذاتى حول المحور الأخير مضافاً إليه ناتج الكتلة ومربع المسافة العمودية بين المحورين المتوازيين (مسافة الانتقال) شكل (٢-١٠). هذه العلاقة، تعرف بنظرية المحاور المتوازية، وهى تطبق غالباً على أجزاء جسم الإنسان.

استخدام التعليق على أهمية عزم القصور الذاتى يتوقف على نصف قطر الدوران (K). حقيقة حساب عزم القصور الذاتى يجب عمله بعد معرفة حقيقة إمكانية تحديد نصف قطر الدوران.

$$K = \sqrt{\frac{I}{m}}$$

$$I = m k^2$$

أيضاً المعادلة لم تحفظ كوجود طبيعى، ربما k حدد كمسافة من محور الدوران إلى أى نقطة افتراضية حيث أن تركيز الكتلة الكلية للجسم سوف تمتلك نفس عزم القصور الذاتى كالأذى يحدث فى حالة التوزيع الأصى (دريلىز Drillis وكونتينى Contini) (١٩٦٦م) (١٤). سيكون التأكيد على أن نصف قطر الدوران لا يمكن استخدام تبديله بالمسافة من محور الدوران إلى مركز ثقل كتلة الجسم. والمسافتين منفصلتين فى تواجدهما تماماً.

٢- مدخل عام للتحليل الكيناتيكي :

اختيار أفضل إعداد لمدخل حل مشاكل الكيناتيكا المنفردة يكون أهم مفتاح لنجاح البحث. مبدئياً نتبع ثلاث خطوات عند محاولة تحديد أفضل الطرق هي :

أ- يجب أن يكون تحديد النظام قيد البحث بعناية. هل النظام يشمل جسم اللاعب كله؟ هل هناك أداة رياضية مساعدة كعصا الهوكي أو الجولف يتضمنها النظام؟ هل هناك رغبة في أن يقتصر التحليل على طرف أو طرفين فقط؟

بناء على هذه القواعد، سوف يقسم النظام كجسيم صلب (كأجزاء صلبة صغيرة) أو نظام حلقى. كل صنف سوف يتأثر بتعاقب اختيار محاولات الحركة.

ب- يجب المطابقة والإشارة إلى جميع القوى الخارجية التي تعمل على النظام على الرسم للجسم الحر. سوف تخصص نقاط تطبيقها وخطوط عملها. عند هذه المرحلة، ننصح بتحديد كلا القوى المعروفة وغير المعروفة والمسافات في المشكلة قيد البحث. ربما يتطلب الإفراط في تعدد المجاهيل إعادة تحديد النظام أو المشكلة.

ج- أخيراً، يجب أن نعطي اهتمامنا لطبيعة الحركة كأساس لاختيار الطريقة الخاصة للتحليل. حيث أن كثير من القوى الخارجية غير معبرة على الاستقرار خلال أداء المهارة، ربما يكون من المرغوب فيه فحص قيمها واتجاهها عند لحظة خاصة خلال مراحل الحركة.

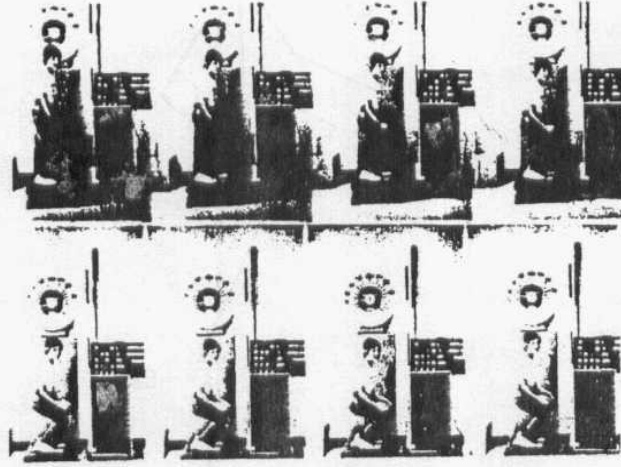
مدخل القوة - الكتلة - العجلة سيكون مناسباً من أجل التحليل اللحظى للقوى موضع الاهتمام. عندما يكون ملائماً بحث عمل القوى لإتمام مسافة خاصة، عندئذ اشتقاق معادلات الحركة من مبادئ الشغل - الطاقة ربما يستخدم. بمعنى آخر العلاقات بين الدفع، وكمية الحركة ملائمة من أجل تحليل عمل القوى خلال إعطاء مراحل زمنية ويجب أن تستخدم فى جميع حالات الارتداد. تطبيق هذا المدخل العام للتحليل الكيناتيكي فى المشاكل البيوميكانيكية نوضحها فى الأمثلة التالية :

١- رد فعل قوة الأرض : Ground reaction force

فى جميع الأنشطة الرياضية يتحرك اللاعب فوق الأرض عن طريق رد فعل الأرض عند بعض الزمن خلال الأداء. المركبة المماسية لهذه القوة تؤدي إلى الاحتكاك الضرورى من أجل الحركة بينما المركبة العادية تكون مستقلة وهامة فى الحصول على الارتفاع اللازم. مثلاً لارتداد كرة السلة، وحائط صد الكرة الطائرة، والوثب لأعلى أو فجوة الرقص. أيضاً، منصة القوى هى أفضل نوع أداة لبحث تموج هذه القوة، وأيضاً يمكن استخدام نوعية جيدة من ميزان الوزن لتقدير المركبة الأفقية خلال حصر الحركات، مثل ثنى الركبتين أو رفع الذراعين.

يعرض الشكل (١١-٢) تمرين معمل على الميزان. استخدم لتسجيل إزاحة مركز ثقل كتلة جسم الفرد (تقريباً بواسطة نقطة على المقعدة) والمقدار المحدود الرأسى لقوة رد فعل الأرض بينما استخدم كل تمرين لتقديم مفاهيم

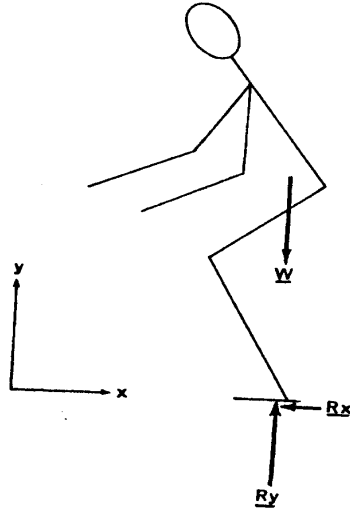
أساس تتوع قوة رد الفعل كان جهاز ميزان الوزن غير ملائم لدراسة طبيعة الحركة المميزة بالسرعة (المتفجرة).



شكل (١١-٢)

إجراءات معملية لدراسة عدم الاستقرار في المركبة الرأسية لقوة رد فعل الأرض

الحركة الأعدادية للوثب العمودي من الوقوف تمثل المجموعة العامة لتوليد رد فعل الأرض استجابة لحركة الجذع والأطراف. من أجل التحليل الكيناتيكي لهذه الحركة، يحدد الجسم كنظام للوثب. هذه حالة خاصة يهمل فيها الدوران بدون أى خطأ حقيقى فى الحسابات. ومع ذلك، ربما مثل النظام كجسيم (مركز الكتلة) خلال الكتلة يعادل جسم الفرد. رسم الجسم الحر فى الشكل (١٢-٢) يشير إلى أن وزن الجسم يعمل عمودياً لأسفل من مركز الكتلة. منصة القوة التى يقف عليها الوثاب تبذل قوة رد الفعل التى يمكن ظهورها كمركبة رأسية (عادية) ومركبة أفقية (مماسية).



شكل (١٢-٢)

رسم الجسم الحر للارتقاء فى الوثب العمودى

بالنسبة لفحص قيم القوى فى النقاط المتتالية خلال الارتقاء الأفضل
اتمامها عن طريق تطبيق قانون نيوتن التالى (طريقة القوة - الكتلة - العجلة).

عند بذل القوة على مستوى منفرد، تصبح معادلة الحركة كما يلى :

$$\begin{aligned} \Sigma F_x &= m a_x, & \Sigma F_y &= m a_y \\ R_x &= m a_x, & R_y - w &= m a_y \end{aligned}$$

حيث أن x, y تمثل متجهات المركبة على التوالى، a = عجلة مركز

ثقل كتلة جسم الواصل، m = كتلة الجسم التى تظل ثابتة، R_x , R_y تشير إلى
المركبتين الأفقية والرأسية لقوة رد الفعل، w = وزن اللاعب.

حيث أن الارتفاع هو الهدف الأول في هذا المثال سوف ينصب التركيز التفصيلي على الاتجاه الرأسى للارتفاع.

يمكن إعادة صياغة معادلة الحركة لاستخلاص المركبة الرأسية لقوة رد الفعل (R_y) كما يلي :

$$\begin{aligned}\Sigma F_y &= m a_y \\ R_y - W &= m a_y \\ R_y &= m a_y + W\end{aligned}$$

نتيجة للعلاقة الموضحة في الفحص السابق يتضح أن قيمة قوة رد الفعل الرأسية (R_y) سوف تكون أقل من وزن الجسم إذا كانت محصلة عجلة الوائث سالبة. وتكون قوة رد الفعل أكبر من وزن الجسم إذا كانت محصلة عجلة الوائث موجبة. وفي حالة ما إذا كانت محصلة عجلة الوائث صفر، فإن قوة رد فعل الوائث الرأسية تعادل وزن الجسم. لذا فإن القوة، الكتلة، والعجلة تحدد حركة مركز ثقل كتلة الجسم عند النقط المخصصة بالضبط.

مثال :

عندما تكون قوة رد الفعل الرأسية للوائث مقدارها ١٩٠٠ نيوتن ووزنه ٧٠٠ نيوتن، أثبت أن عجلة مركز ثقل كتلته عند هذه اللحظة ١,٧٠ متر/ثانية/ثانية.

الحل :

أولاً : يجب تحويل الوزن بالنيوتن إلى الوزن بالكيلوجرام. متر/ثانية/ثانية

$$\therefore 700 \text{ نيوتن} = \frac{700}{10} = 70 \text{ كجم.م/ث}^2$$

$$\therefore \text{الكتلة} = \frac{9.81 \times 70}{9.81} = 70 \text{ كجم}$$

ثانياً : تحول قوة رد الفعل الرأسية من النيوتن إلى كجم.م/ث²

$$\therefore 1900 \text{ نيوتن} = \frac{1900}{10} = 190 \text{ كجم.م/ث}^2$$

$$R_y = W + m a_y$$

$$\therefore R_y = 70 + 70 a_y$$

$$\therefore 190 = 70 + 70 a_y$$

$$\therefore 190 - 70 = 70 a_y$$

$$\therefore 120 = 70 a_y$$

$$\therefore a_y = \frac{120}{70} = 1.7 \text{ m/sec.}^2$$

الجدول (٣-٢) والشكل (١٣-٢) يوضحان معلومات عن كينماتيكية

وكينماتيكية الارتقاء في الوثب العمودي. حسابات سرعة وعجلة مركز ثقل كتلة

جسم الوثاب الذي يزن ١٤٤ رطل، وقوة رد فعل الأرض المساعدة مُمنجت

بعد تجهيز البيانات التجريبية المختلفة التبصر بالمهارة (جيررش Gerrish

(١٩٣٤م) (٣٤). مبدئياً، للإعداد للوثب يتسارع الجسم لأسفل بالتركيز على

الاتجاه السالب. كنتيجة قوة رد الفعل الرأسية تقع تحت وزن الجسم. بينما تظل

الحركة لأسفل، كإشارة إلى قيم الوضع والسرعات السالبة، وبدء الجسم في التسارع إيجابياً. تعكس هذه العجلة الموجبة قوة رد الفعل الرأسية التي تفوق وزن الفرد. إذا تمت القياسات والحسابات عند تكرار أكثر من فترات زمنية بيئية، يجب التنبيه لأن أقصى سرعة سالبة تتزامن مع قوة رد الفعل الرأسية المتكافئة مع وزن الجسم. إذن تزيد السرعة لتقترب من القيمة الإيجابية القصوى قبل الارتقاء. مع ذلك يبدأ تباطؤ الجسم بالضبط قبل ترك الأرض كنتيجة تناقص سرعات الأطراف. عندما يصبح الواثب حراً في الهواء، يكون هدفاً لتأثير قوة واحدة فقط، قوة وزن جسمه. وبالتعبية R_y تكون صفر، تظل عجلة مركز كتلته ثابتة وسالبة وتعمل نحو الجاذبية ويستمر تناقص سرعته.

عجلة مركز ثقل كتلة الواثب هي محصلة عجالات جميع أعضاء الجسم المنفردة. لذا :

$$ma = m_1a_1 + m_2a_2 + m_3a_3 + \dots + m_na_n$$

$$a = \frac{m_1a_1}{m} + \frac{m_2a_2}{m} + \frac{m_3a_3}{m} + \dots + \frac{m_na_n}{m}$$

حيث تمثل m_1, \dots, m_n كتل الأعضاء، a_1, \dots, a_n تشير إلى عجالات مراكز كتلها على التوالي. يتضح أن مساهمة كل عضو في العجلة الكلية تكون متناسبة مع كل من الكتلة والعجلة لمركز الكتلة العضوية. لفهم العلاقة المتداخلة وتأثير الأجزاء المتباينة للجسم خلال المرحلة الاعدادية للوثب، سوف يراعى أن العجلة لكل عضو منفصلة ومرتبطة بالحركة كلها.

بالإضافة إلى فحص قيم القوى ومحصلة حركة الواثب عند النقاط المتتالية في الزمن، من المهم بحث التغير في كمية حركته التي يحدث خلال الارتقاء. عندما تعمل القوة خلال فترة زمنية (الدفع)، تسبب التغير في كمية الحركة وتعرف بكمية الحركة momentum. في هذه اللحظة الخاصة التي يعامل فيها الواثب كنقطة للكتلة، ربما يقتصر التحليل على التركيز على الدفع الخطي، كمية الحركة الخطية. علاقة الدفع الخطي - وكمية الحركة اشتقت من قانون الحركة الثاني لنيوتن :

$$\Sigma F = a m$$

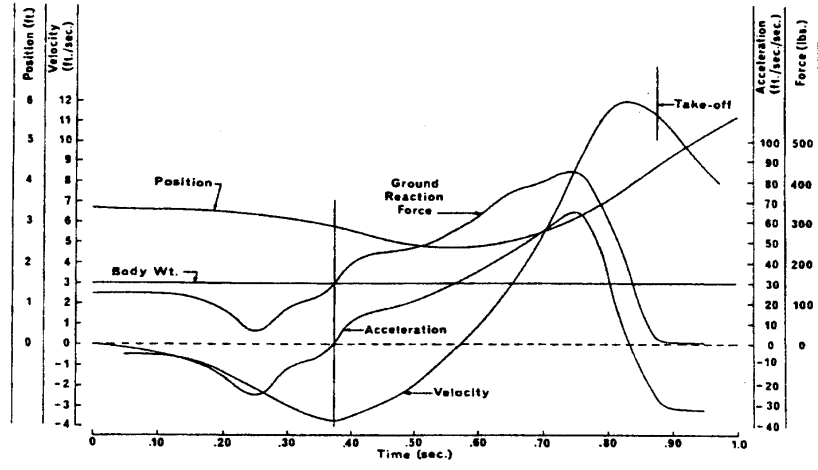
$$\Sigma F = \frac{mdv}{dt}$$

$$\int F dt = \int \frac{mdv \cdot dt}{dt}$$

جدول (٢-٣)

كينماتيكا و كيناتيكا الارتقاء فى الونثب العمودى

الزمن (ثانية)	الوضع (قدم)	الإزاحة (قدم)	السرعة (قدم/ثانية)	التغير فى السرعة (قدم/ثانية)	المجلة (قدم/ثانية ^٢)	رد فعل القوة (رطل)	التعليق
صفر	٣,٤٠	٠,٠١-	٠,٢٠-				
٠,٠٥	٣,٣٩	٠,٠٢-	٠,٤٠-	٠,٢٠-	٤,٠٠-	١٢٦	تزايد
٠,١٠	٣,٣٧	٠,٠٣-	٠,٦٠-	٠,٢٠-	٤,٠٠-	١٢٦	
٠,١٥	٣,٣٤	٠,٠٥-	١,٠٠-	٠,٤٠-	٨,٠٠-	١٠٨	عجلة
٠,٢٠	٣,٢٩	٠,٠٨	١,٦٠-	٠,٦٠-	١٢,٠٠-	٩٠	سالية
٠,٢٥	٣,٢١	٠,١٤-	٢,٨٠-	١,٢٠-	٢٤,٠٠-	٣٦	
٠,٣٠	٣,٠٧	٠,١٧-	٣,٤٠-	٠,٦٠-	١٢,٠٠-	٩٠	نقص
٠,٣٥	٢,٩٠	٠,١٩-	٣,٨٠-	٠,٤٠-	٨,٠٠-	١٠٨	أقل
٠,٤٠	٢,٧١	٠,١٦-	٣,٢٠-	٠,٦٠	١٢,٠٠	١٩٨	سرعة
٠,٤٥	٣,٥٥	٠,١٢-	٢,٤٠-	٠,٨٠	١٦,٠٠	٢١٦	
٠,٥٠	٢,٤٣	٠,٠٧-	١,٤٠-	١,٠٠	٢٠,٠٠	٢٣٤	تزايد
٠,٥٥	٢,٣٦	٠,٠٠	٠,٠٠	١,٤٠	٢٨,٠٠	٢٧٠	
٠,٦٠	٢,٣٦	٠,٠٩	١,٨٠	١,٨٠	٣٦,٠٠	٣٠٦	عجلة
٠,٦٥	٢,٤٥	٠,٢٢	٤,٤٠	٢,٦٠	٥٢,٠٠	٣٧٨	موجبة
٠,٧٠	٢,٦٧	٠,٣٦	٧,٢٠	٢,٨٠	٥٦,٠٠	٣٩٦	
٠,٧٥	٣,٠٣	٠,٥٢	١٠,٤٠	٣,٢٠	٦٤,٠٠	٤٣٢	
٠,٨٠	٣,٥٥	٠,٦٠	١٢,٠٠	١,٦٠	٣٢,٠٠	٢٨٨	تناقص
٠,٨٥	٤,١٥	٠,٥٧	١١,٤٠	٠,٦٠-	١٢,٠٠-	٩٠	الارتقاء
٠,٩٠	٤,٧٢	٠,٤٩	٩,٨٠	١,٦٠-	٣٢,٠٠-	.	
٠,٩٥	٥,٢١	٠,٤١	٨,٢٠	١,٦٠-	٣٢,٠٠-	.	عجلة
١,٠٠	٥,٦٢					.	سالية



شكل (١٣-٢)

الكينماتيكا والكيناتيكا الرأسية للارتقاء في الوثب العمودي

$$\begin{aligned} \int_{t_i}^{t_F} F dt &= \int_{t_i}^{t_F} \frac{mdv \cdot dt}{dt} \\ &= m (V_F - V_i) \\ &= \Delta m \cdot V \end{aligned}$$

كذلك، الدفع الخطي $\left(\int_{t_i}^{t_F} F dt \right)$ يكون دائماً متعادل مع التغير في كمية

الحركة الخطية (ΔmV) . الرمز F يشتمل على جميع القوى العاملة في النظام. يمكننا حل البعد المشترك العمودي على المحاور لأجل فحص التغير في

الاتجاهات الخاصة لكمية الحركة. يعرض المثال الحالى، الاتجاهات الأفقية والأكثر استقلالية، الرأسية المرتبطة، وبالتالي :

$$\Sigma F_x = R_x$$

$$\int_{t_i}^{t_F} R_x dt = m(V_F - V_i)$$

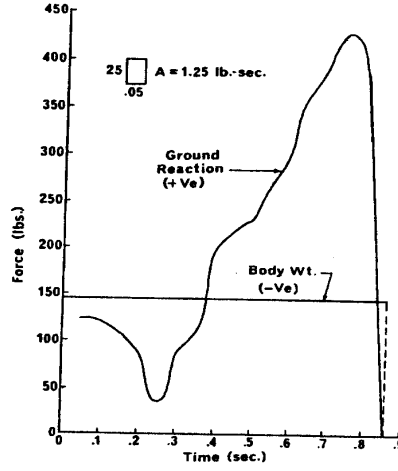
$$\Sigma F_y = R - W$$

$$\int_{t_i}^{t_F} (R_y - W) dt = m(F_{y_F} - F_{y_i})$$

$$\int_{t_i}^{t_F} R_y dt - \int_{t_i}^{t_F} W dt = m(F_{y_F} - F_{y_i})$$

يعادل دفع كل قوة المساحة تحت منحنى القوة- الزمن. يعرض الشكل (١٤-٢) القوى الرأسية ومركبات القوة الفعالة على الواثب خلال ٠,٨٦٥ ثانية اللازمة للارتفاع. عند ثبات الوزن، المساحة تحت منحناء تكون على شكل مستطيل قاعدته ٠,٨٦٥ ثانية وارتفاعه ١٤٤ رطل وناتج الدفع ١٢٤,٥٦ رطل/ثانية. مع ذلك قوة تموج قوة رد الفعل الرأسية تكون استجابة لعجلة أعضاء الجسم المنفردة. المساحة تحت المنحنى ربما تحدد باستخدام مقياس السطوح Planimeter. بالتعاقب يمكن تقسيمها إلى مربعات صغيرة أو مستطيلات بأحجام مناسبة. تلك المساحات الصغيرة تجمع لتعطي تقدير الدفع. أسفل منحنى القوة الرأسية (R_y) - الزمن فى المثال الحالى، تساوى حوالى ١٤٣ مربعاً (القاعدة ٠,٠٥ ثانية، الارتفاع ٢٥ رطل) والتي كل منها تمثل ١,٢٥ رطل. ثانية. ويشير هذا إلى أن الدفع الرأسى يساوى ١٧٨,٧٥

رطل.ثانية خلال الفترة الزمنية البينية الخاصة. تلك القيم تقوم مقام العلاقة بين الدفع الخطى وكمية الحركة وتوضيح السرعة الرأسية لمركز ثقل كتلة الواشب عند الارتقاء.



شكل (١٤-٢)

الدفع الرأسى خلال الارتقاء

$$\int_0^{0.865} R_y dt - \int_0^{0.865} W dt = m(F_{y_F} - F_{y_i})$$

$$178.75 - 124.56 = \frac{144}{32} (F_{y_F} - 0)$$

$$F_{y_F} = \frac{54.19 \times 32}{144} = 12.04 \text{ Ft/sec.}$$

هذا أحسن انسجام لحساب القيم من إزاحة مركز ثقل الكتلة.

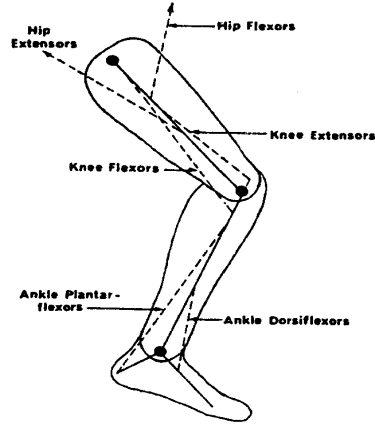
للإنجاز المؤثر لسرعة الارتقاء، يجب أن يكون الواثب قادراً على توليد الدفع الأساسى من قوة رد فعل الأرض. هذه القوة تتباين مباشرة مع عجلة الأعضاء المنفردة. لذلك، لتحسين أكبر مركبة رأسية موجبة لرد الفعل، يجب تطابق أكبر عجلة لأسفل للجذع والأطراف. درس رامى Ramey (١٩٧٢م) (٤١) الدفع فى الوثب الطويل، وأوضح أن المد السريع القوى للرجل أدى إلى المساهمة الرئيسية فى الدفع الرأسى. نظرياً أى زيادة فى قوة رد فعل الدفع يمكن اتمامها بأحد الأمرين إما عن طريق زيادة قيمة القوة أو زمن تأثيرها. إذا قلت الفترة الزمنية البينية، يجب أن يظهر بناء قوة رد الفعل مبكر فى الارتقاء أكبر وأسرع وأعلى من أجل الحصول على تكافؤ المساحة تحت منحنى القوة- الزمن.

عزم القوة العضلية Muscle torque

معرفة فعالية العضلات وقدرتها على البدء والسيطرة على جميع حركات أعضاء الجسم ربما يمكن الحصول عليها عن طريق التحليل الكينماتيكي. لذا، من أجل معظم الأغراض العملية، يكون فى الإمكان، تحديد قيمة واتجاه قوى العضلات منفصلة فى أى حالة ديناميكية. بسبب الفروق الفردية فى التركيب التشريحي، وضع اتصال العضلات بالعظام بالضبط غير نموذجى. بالإضافة إلى، لو كل عضلة عوملت مستقلة فى التحليل الميكانيكى، عدد المجهولات سوف تفوق معادلات الحركة، ويجعل ذلك المشكلة عويصة. من أجل تلك الأسباب، بدفعنا الحديث إلى نمذجت محصلة القوة العضلية (شكل (٢-١٥)) ودراسة محصلة عزوم القوة العضلية التى تولدها.

طرق القوة - الكتلة - العجلة لاشتقاق معادلات الحركة للأجسام الصلب ربما تستخدم لتحديد قيم تلك العزوم عند اللحظات المتتالية في الحركة. بالتبعية، مجموعة تباينها كدوال بالنسبة للزمن ربما بحثت بارتباطها بكميائيات الحركة.

وصف ديلمان Dillman (١٩٧١م) (١١) تلك الأسس في دراسة كينائيات استعادة وضع الرجل في الجري السريع. مثل الطرف السفلي كنظام من ثلاث أجسام صلبة متشابهة وركز على فردية كل منها في تتابع التحليل الذي بدء بالقدم وتدرج إلى الساق والفخذ. الأشكال من (٢-١٥) إلى (٢-٢٠) توضح التمثيل البياني الحر لاتجاهات أوزانها العضوية عمودية لأسفل من مراكز كتلتها على التوالي، ومثلت قوة رد فعل المفصل بالمركبتين الأفقية والرأسية، ومحصلة القوة العضلية عبر كل مفصل. والمحصلة هي مجموعة متجه جميع القوى العضلية المنفردة، كل من المشتركة وغير المشتركة التي تعمل على المفصل المعين. سوف تتسبب محصلة القوى العضلية في إحداث عزم دوران يطابق عزوم جميع القوى الأصلية المكونة له.



شكل (١٥-٢)

محصلة القوى العضلية للطرف السفلى النموذجية

- لإنجاز مشتملات التمثيل البياني الحر للجسم، ولتسهيل تتابع عملية الحساب وتحليل البيانات، يجب اتخاذ الإجراءات التالية :
- ١- خطوط عمل القوى المتجهة لأعلى وإلى اليمين تكون موجبة، بينما التي اتجهت لأسفل أو لليسار تكون سالبة.
 - ٢- اعتبار الدوران مع عكس عقرب الساعة موجب counterclockwise . الدوران مع عقرب الساعة سالب clockwise .
 - ٣- جميع الزوايا المنسوبة للمحور الأفقي الأيمن تبدأ بصفر.
 - ٤- مركبات محصلة القوة ومحصلة عزوم دوران القوة العضلية عند الطرف القريب proximal end للعضو توضح على التمثيل البياني

الحر للجسم بإشارة موجبة بينما تلك التى عند الطرف البعيد
distal end للعضو تمثل على التمثيل البياني الحر للجسم بإشارة
سالبة.

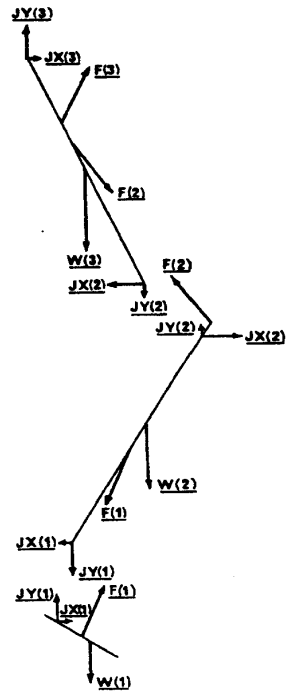
٥- الرموز المستخدمة تشتمل على :

- W(i) Segment weight وزن العضو
 $J_x(i), J_y(i)$ S and y components of joint reaction force المركبات x, y لقوة رد فعل المفصل
F(i) Resultant muscle force محصلة القوى العضلية



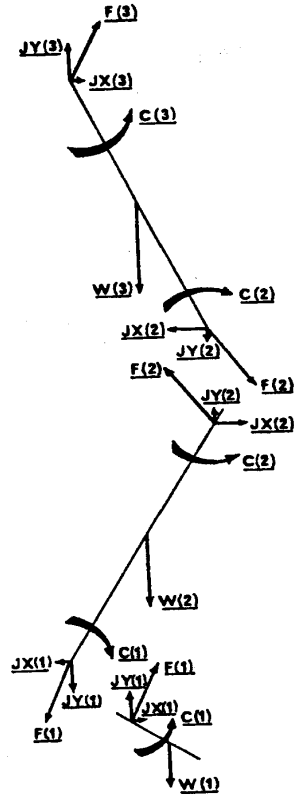
شكل (١٦-٢)

التمثيل البياني الحر للطرف السفلى



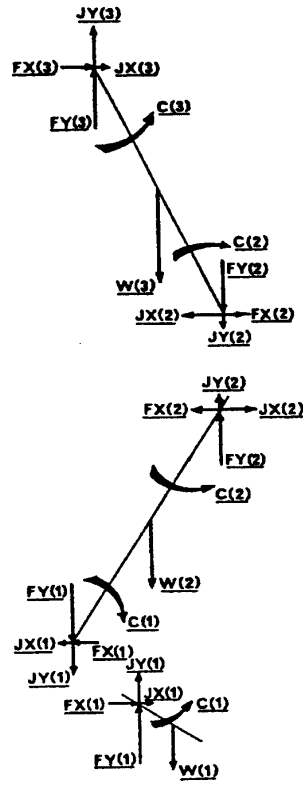
شكل (١٧-٢)

التمثيل البياني الحر للأعضاء الثلاثة للطرف



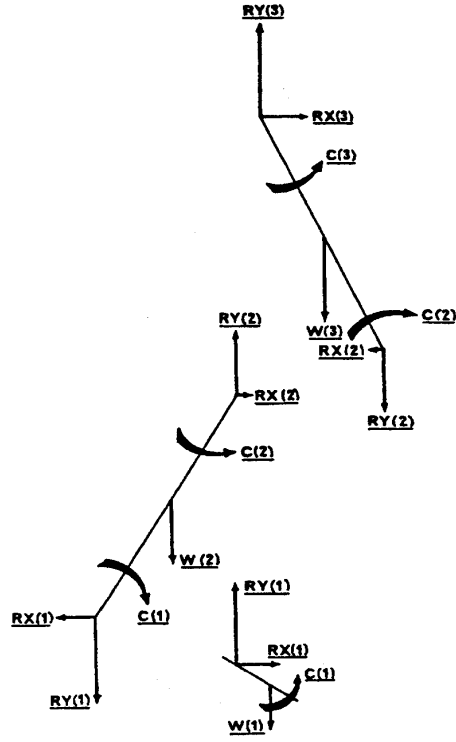
شكل (٢-١٨)

إحلال محصلة قوة العضلة بتطابق القوة والإزدواج



شكل (٢-١٩)

منظور محصلة قوة العضلة في المركبتين الأفقية والرأسية



شكل (٢-٢٠)

تركيبية مركبات القوة العضلية ورد فعل المفصل مع
مركبات محصلة القوة عند المفصل

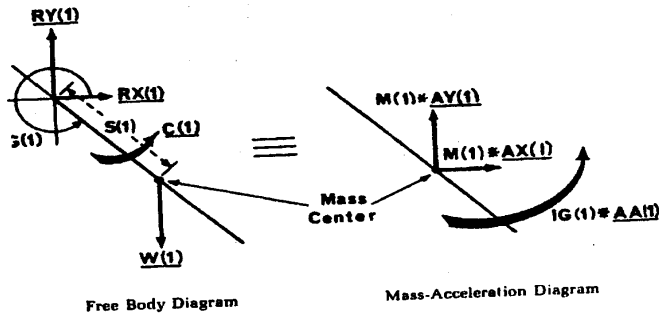
- $F_x(i), F_y(i)$ X and y components of resultant force
(مركبة محصلة القوة x, y)
- $C(i)$ Force couple generated by resultant muscle force
إزدواج القوة المتولد عن طريق قوة العضلة
- $R_x(i), R_y(i)$ X,y components of combined resultant force and joint reaction forces
y, x مركبتى تركيبة محصلة قوة العضلة ورد فعل المفصل

حيث أن $i=1$ ارتباط ١، ٣ بمعانى المتغيرات الخاصة بالأعضاء أو المفاصل مع توضيح أن (١) القدم أو رسغ القدم، (٢) أسفل الرجل أو الركبة، (٣) الفخذ أو مفصل المقعدة.

سلم بأنه عند إعادة مرور موضع الرجل تكون حددت المستوى المنفرد، ويمكن اشتقاق ثلاث معادلات حركة بجمع القوى فى اتجاهين متعامدين وجمع عزوم القوة حول النقطة المعطاة. كثير من تلك المتغيرات فى التحليل الميكانيكى تشتمل على الأوزان العضوية، وعزوم القصور الذاتى، مواضع مركز الكتلة، وأطوال الطرف والعجلات الخطية والزاوية ويمكن تحديدها إما عن طريق التصوير بالفيديو أو بتقديرها من الدراسات السابقة. مع ذلك، تبقى خمس مجاهيل فى التمثيل البيانى لقدم الجسم الحر هى: مقدار، اتجاه قوة رد فعل المفصل، ومقدار، اتجاه ونقطة تطبيق محصلة قوة العضلة. يمكن استخدام المعالجة الرياضية بتجميع تلك المجاهيل فى عدد أكثر سهولة. محصلة قوة العضلة يمكن إعادة وضعها بقوة تعادل المقدار والاتجاه عند مركز

المفصل والإزدواج المطابق للدوران المتأثر بالقوى الأصلية حول المفصل كما فى شكل (٢-١٨). من أجل التبسيط، ربما تنقل قوة العضلية بتوضيحها بالمركبتين الأفقية والرأسية بالمقدار المناسب كما فى شكل (٢-١٩). أكثر من ذلك، ربما مركبتى قوة العضلة جمعت مع قوة رد فعل المفصل شكل (٢-٢٠). إذن، يمكن انقاص عدد المجاهيل فى التمثيل البيانى للجسم الحر إلى ثلاثة بالضبط هى: محصلة عزوم القوة العضلية، ومقدار واتجاه ربط القوة العضلية وقوة رد الفعل عند المفصل. بنفس الأسلوب بالضبط يمكن أن يكون العمل فى التمثيل البيانى للجسم الحر لأسفل الرجل والفخذ.

فى تطبيق طريقة القوة- الكتلة- العجلة لاشتقاق معادلات الحركة، يعدل نظام التمثيل البيانى الحر للجسم إلى تمثيل بيانى للكتلة- العجلة كما فى شكل (٢-٢١) حيث أن كلاهما له نفس المحصلة (ميريم Meriam (١٩٦٦م)) (٣١). يعرض التمثيل البيانى للكتلة- العجلة العجلة الخطية لمركز الكتلة (عادة تكون فى شكل مركبة) مضروبة فى الكتلة العضوية فمثلاً يعادل الإزدواج ناتج عزم القصور الذاتى للعضو حول المحور المار بمركز كتلته والمتعامد مع مستوى الحركة والعجلة الزاوية للعضو. بينما يمكن عمل الإزدواج فى أى مكان فى مستوى الحركة، فهو عادة يرسم حول مركز الكتلة.



التمثيل البياني للكتلة - العجلة التمثيل البياني للجسم الحر

شكل (٢-٢١)

قاعدة اشتقاق معادلات الحركة للقدم

المعادلات الثلاثة للحركة لحركة القدم إذن نحصل عليها عن طريق ما

يلى :

١- جمع القوى في الاتجاه الأفقى ويعدل وضعها إلى أزمنة الكتلة العضوية للعجلة الأفقية لمركز الكتلة

$$R_x(1) = M(1) * A_x(1)$$

٢- جمع القوى في الاتجاه الرأسى وتعديل وضعها إلى أزمنة الكتلة العضوية للعجلة الرأسية لمركز الكتلة

$$R_y(1) - W(1) = M(1) * A_y(1)$$

٣- جمع عزوم القوة حول مركز الكتلة وتعديل وضعها إلى ناتج عزم القصور الذاتى للعضو بالنسبة إلى مركز كتلتها والعجلة الزاوية للعضو

$$C(1) + R_x(1) * S(1) * \sin(\text{Ang}(1)) - R_y(1) * S(1) * \cos(\text{Ang}(1)) = IG(1) * AA(1)$$

حيث أن $R_x(1)$, $R_y(1)$ مركبتى محصلة القوة العضلية وقوة رد الفعل عند مفصل رسغ القدم، $M(1)$, $W(1)$ = كتلة ووزن القدم على التوالي، $A_x(1)$, $A_y(1)$ = مركبتى العجلة الخطية لمركز كتلة القدم، $C(1)$ = عزم محصلة القوة العضلية أو الازدواج عند القدم، $S(1)$ = المسافة من المفصل القريب إلى مركز كتلة القدم، $AA(1)$ = العجلة الزاوية للقدم، وغالباً يرمز لها بالحرف اليونانى ألفا (α) ، $Ang(1)$ = زاوية القدم مع اليمين الأفقى فى اتجاه عقرب الساعة وتقاس عند مفصل رسغ القدم، $IG(1)$ عزم القصور الذاتى للقدم حول مركز كتلتها أو مركز الجاذبية.

إن معادلة العزم ربما فى بعض الأحيان يعبر عنها كما يلى :

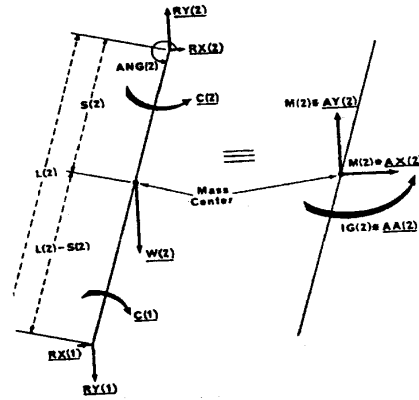
$$\Sigma M_0 = I \alpha$$

عادة هذه العلاقة تطبق فقط فى حالات خاصة التى فيها (o) هى النقطة الثابتة أو مركز كتلة الجسم الصلب. والمدخل الأكثر تعميمًا الذى لا يتطلب تلك الحالات الخاصة ربما يستخدم. يمكن جمع العزوم حول أى نقطة على التمثيل البيانى للجسم الحر وتعديل المجموعة إلى مجموع العزوم حول نفس النقطة على التمثيل البيانى للكتلة- العجلة. اصطلاحات القوى- الكتلة- العجلة التى خطوط عملها لا تمر خلال النقطة المختارة تمتلك تأثير دورانى حول هذه النقطة. فمثلاً سوف يمكن جمع العزوم المتطابقة حول مفصل رسغ القدم باستخدام المعادلة التالية :

$$C(1) - W(1) * S(1) * \cos(Ang(1)) = IG(1) * AA(1) + M(1) * A_y(1) * S(1) * \cos(Ang(1)) - M(1) * A_x(1) * S(1) * \sin(Ang(1))$$

حيث تتساوى مشتقات معادلة العزم.

التدقيق فى الفحص شكل (٢-٢٠) يوحى بأن قوة رد الفعل، محصلة قوة العضلية و/أو محصلة عزم العضلة على الجانب الآخر للمفصل تتعادل فى المقدار وتتضاد فى الاتجاه. إذا ارتبط القدم، وأسفل الرجل والفخذ معاً فى أى مرحلة من مراحل التحليل، سوف تلغى قوة العضلة والمفصل عند رسغ القدم كل منها الأخرى وسوف لا يظهر توضيحها فى المعادلات: ومع ذلك، قيم $C(1)$ ، $R_x(1)$ ، $R_y(1)$ المحددة من معادلات الحركة للقدم يمكن تبديلها إلى علاقة القوة- الكتلة - العجلة لأسفل الرجل. بالمثل يكن استخدام $C(1)$ ، $R_x(2)$ ، $R_y(2)$ من أسفل الرجل فى معادلات الحركة من أجل الفخذ. كذلك سوف تحول كل اشتقاق لمعادلات الحركة إلى مسلمات حيث تعبر العضلات فقط مفصل واحد أو حيث يمكن اعتبار اندلاج القوة بمفصلين جدير بالاهمال فى التحليل.



شكل (٢-٢٢)

أساس اشتقاق معادلات الحركة لأسفل الرجل

فى اشتقاق معادلات الحركة لأسفل الرجل والفخذ، نفس المبادئ والمتغيرات المناسبة توظف مع إضافة طول العضو (L). المعادلات الثلاثة لأسفل الرجل يتم الحصول عليها عن طريق ما يلى : (شكل (٢-٢٣))

١- جميع القوى فى الاتجاه الأفقى :

$$R_x(2) - R_x(1) = M(2) * A_x(2)$$

٢- جمع القوى فى الاتجاه الرأسى

$$-R_y(1) + R_y(2) - W(2) = M(2) * A_y(2)$$

٣- جمع عزوم القوة حول مركز كتلة العضو

$$-C(1) + C(2) + R_x(1) * (L(2) - S(2)) * \sin(\text{Ang}(2)) - R_y(1) * (L(2) - S(2)) * \cos(\text{Ang}(2)) - R_y(2) * S(2) * \cos(\text{Ang}(2)) + R_x(2) * S(2) * \sin(\text{Ang}(2)) = IG(2) * AA(2)$$

يمكن تطوير المعادلات الثلاث للحركة من أجل الفخذ بطريقة مشابهة. عندما تحل تلك المعادلات لمركبتى محصلة القوة $R_x(i)$, $R_y(i)$ وازدواج محصلة العضلة $C(i)$ ، إلى إشارة موجبة يتضح أن المتجه المستقل اتجه فى الاتجاه الصحيح الموضح على التمثيل البيانى للجسم الحر بينما أى علامة سالبة تعنى أن المتجه يؤثر فى الاتجاه المضاد.

استفاد ديلمان Dillman (١٩٧٠م) (٧٠) من تلك المبادئ للقوة- الكتلة- العجلة فى تحديد قيم محصلة عزوم القوة العضلية عند مفاصل القدم، الركبة والمقعدة. من خلال تلك البيانات ومعلومات كينماتيكا الطرف السفلى، تمكن من تحديد نموذج لمجال مجموعة نشاط العضلة المسئولة عن حركة

تغطية الرجل في الجرى السريع. كما قام باحثون آخرون مثل ايلفتمان Elftman (١٩٤٠م) (١٦)، بيرسون ومساعدته Pearson and his associates (١٩٦٣م) (٣٧)، وبلاجنهوف Plagenhoef (١٩٦٦م) (٤٠)، (١٩٧١م) (٣٨) أيضاً باستخدام هذا المدخل لدراسة ديناميكا أداء جسم الإنسان.

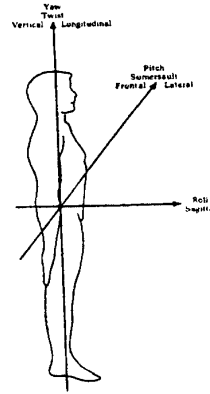
٢. حالات السقوط الحر : Free fall conditions

في الرياضة، لا استثناء للمؤدى أو أدواته الرياضية عند التجريب في حالة عدم الارتكاز أو السقوط الحر. بعض تلك الأنشطة، التي تشمل الجولف Golf، التنس Tennis، الريشة الطائرة Badminton، والوثب على الجليد sky Jumping تتفقد بتأثير مقاومة الهواء.

والسبب الآخر مثل تلك المسجلة في الجدول (٢-٤) يمكن فيها التغاضي عن مقاومة الهواء، وعلى ذلك يكون عملية تسهيل ميكانيكية التحليل جديرة بالاهتمام. علاوة على ذلك المناقشة في هذا الفصل سوف تكون ضيقة بمقدار محدود للسقوط الحر في المهارات الرياضية التي يمكن أن يكون إهمال مقاومة الهواء فيها مسلم به.

ربما يقسم أداء أى مهارة في حالة عدم الارتكاز كحركة مستوى عام أو كحركة فضاء عامة. لذا، يمكن أن يكون التحليل باصطلاحات انتقال مركز كتلة اللاعب وحركة دوران الجسم وأجزائه. لو أن الحركة في أى حيز مكاني طبيعي، ربما تشمل مركبات الانتقال الثلاثة على : مركبة في الاتجاه الرأسى

ومركبتان فى المستوى الأفقى فى حالة تعامد كل منهما على الأخرى. الدوران بطريقة مماثلة اصطلح على أنه حول أى محور رأسى Vertical axis أو محور طولى Longitudinal axes للجسم كما حول محورين أفقيين، اللذين عادة يتطابقان مع المستوى الجبهى Frontal plane، والمستوى السهمى Sagittal plane للجسم. فى الرياضة، الدورانات حول المحورين الطولى أو الرأسى مألوف حدوثها كاللف والدورة الهوائية شكل (٢-٢٣). فى اصطلاحات الفضاء، الثلاث محاور توضح الانحراف عن الخط المستقيم Yaw، الانحدار pitch، الدوران roll على التوالى. أيضاً الهدف الأساسى لأى مهارة ربما يكون انجاز أقصى قيمة لأحد تلك المركبات الستة مثل الارتفاع فى التصويب بالوثب، وهى أكثر تعميماً فى البحث عن التركيب الأنسب لمحورين أو أكثر كما فى حالة الدورة الهوائية مع اللف.



شكل (٢-٢٣)

محاور دوران الجسم

جدول (٢-٤)

أهداف المهارات الرياضية

الدوران		الانتقال			
اللف	الدورة الهوائية	المسافة الأفقية	الارتفاع		
				Basketball	كرة السلة
			***	Jump shot	التصويب بالوثب
			***	Rebound	الارتداد
		*	***	Pass interception	التمريرة البينية
		**		Dance	الرقص
			**	Leap	الفجوة
				Field events	مسابقات الميدان
*	*	*	***	High jump	الوثب العالي
		***	*	Long jump	الوثب الطويل
		***	*	Triple jump	الوثب الثلاثي
*	*		***	Pole vault	القفز بالزانة
		***	**	Shot put	دفع الجلة
		***	**	Hummer throw	رمى المطرقة
				Figure skating	الأنزلاق
***		*	***	Jumps	الوثبات
				Gymnastics	الجمباز
	***	*	**	Somersault	الدورات الهوائية
***	**	*	**	Twisting somersault	الدورات الهوائية مع اللف

تابع جدول (٢-٤)

الدوران		الانتقال			
اللف	الدورة الهوائية	المسافة الأفقية	الارتفاع		
		**	***	Leaps	الفجوات
*	**	**	**	Vaults	القفزات
				Springboard diving	الغطس من السلم المتحرك
	*	*	***	Nontwisting dives	الغطسات بدون لف
	***	*	**	Somersault	الدورات الهوائية
***	**	*	**	Twisting somersault	الدورات الهوائية مع اللف
				Trampolins	الترمبولين
			***	Bouncing	الارتداد
	***		**	Somersaults	الدورات الهوائية
***	**		**	Twisting somersaults	الدورات الهوائية باللف
				Volleyball	الكرة الطائرة
			***	Block	حائط الصد
		*	***	Spike	الارسال الخاطف

تشير علامة النجمة إلى أقل موضوعية لأهمية المدى (*) حتى أكبر أهمية (***)

ويكون أكثر عمومية البحث عن أنسب تركيبة لاثنتين أو أكثر كما في حالة الدورة الهوائية.

متابعة مسار المقذوف عن طريق مركز كتلة الجسم خلال السقوط الحر تكون دالة لتطبيق القوة قبل انطلاق الكتلة. لإنجاز أقصى انتقال خلال مرحلة السقوط الحر يجب أن تمر قوة كبيرة خلال مركز كتلة الجسم. القوة التى خط عملها يمر بأحد جانبي مركز الكتلة تولد دوران وأيضاً انتقال. المسافة الأكبر للقوة من مركز الكتلة سيكون تأثير عزم دورانها الأكبر.

عند التسليم بإهمال مقاومة الهواء، تكون القوة المؤثرة على الجسم فى حالة عدم الارتكاز هى وزن الجسم، الذى يتجه عمودياً لأسفل (فى اتجاه z) من مركز كتلته. عندئذ لا تؤثر القوى أفقياً على الجسم، ومحصلتها تكون صفر فى الاتجاه (الأفقى) (x, y). وبالتالي السرعة الأفقية الذى قذف بها الجسم تظل بدون تغيير.

$$\begin{array}{ll}
 \Sigma F_x = m a_x & \Sigma F_y = m a_y \\
 0 = m a_x & 0 = m a_y \\
 a_x = 0 & a_y = 0 \\
 v_x = \int a_x dt & v_y = \int a_y dt \\
 = a_x t + c & a_y t + c \\
 v_{x,i} = v_x, 0 = t & \text{عندما} \quad v_{y,i} = S_x, 0 = t \\
 v_{x,i} = v_x, & V_{y,i} = C, \\
 v_{x,i} = C, & V_{y,i} = v_y \\
 v_{x,i} = v_x &
 \end{array}$$

حيث أن x, y تشير إلى المركبتين الأفقيتين المتعامدتين، i = القيمة الابتدائية، t, dt تشير إلى الزمن، c = ثابت التكامل. ويستمر التكامل

$$\begin{aligned} S_x &= \int v_x dt \\ &= \int v_{xi} dt \\ &= v_{xi} t + c \end{aligned}$$

$$S_{xi} = S_x, 0 = t \text{ عندما}$$

$$\begin{aligned} S_y &= \int v_y dt \\ &= \int v_{yi} dt \\ &= v_{yi} t + c \end{aligned}$$

$$S_{yi} = S_y, 0 = t \text{ عندما}$$

حيث أن S تمثل الإزاحة، V تشير إلى السرعة. كما موضح بالمعادلات المركبتين الأفقيتين للسرعة لا تتغير طالما الجسم في الهواء. ومع ذلك يمتلك الجسم نهاية لزمن خلال تواجده في الهواء. ويحدد هذا عن طريق قيمة القوة الرأسية التي قذف بها. لحظة تواجد الجسم حراً في الهواء، يجذب الجسم للخلف نحو الأرض عن طريق جذب الجاذبية الأرضية. ونتيجة لهذه القوة اكتساب عجلة ثابتة لكل أجزاء الجسم مقدارها -32.2 قدم/ثانية/ثانية أو ٩.٨١ م/ث^٢.

$$\Sigma F_z = m a_z$$

$$-W = \frac{W}{g} a_z$$

$$a_z = -g = -32.2 \text{ Ft./sec/sec}$$

$$\begin{aligned} v_z &= \int a_z dt \\ &= a_z t + C \end{aligned}$$

$$v_{zi} = v_z, 0 = t \text{ عندما}$$

$$C = v_{zi}$$

$$V_z = a_z t + v_{zi}$$

$$\begin{aligned} S_z &= \int v_{zi} dt \\ &= \int (a_z t + v_{zi}) dt \end{aligned}$$

$$S_z = \frac{1}{2} a_z t^2 + v_{zi} t + C$$

$$S_x i = S_x, 0 = t \text{ عندما}$$

$$C = S_z i$$

$$S_z = \frac{1}{2} a_z t^2 + v_z i t + S_z i$$

هذه المعادلات تجهز من أجل تحديد مركبات السرعة أو الإزاحة للسقوط الحر للجسم عند أى نقطة فى زمن تدبير قيم إزاحتها وسرعتها عند لحظة قذفها المعروفة. ويمكن حساب محصلتها أيضاً من العلاقة التالية :

$$S = \sqrt{S_x^2 + S_y^2 + S_z^2} \quad V = \sqrt{V_x^2 + V_y^2 + V_z^2}$$

يستخدم أيضاً انتقال مركز الكتلة مبدئياً فى التحليل الكينماتيكي، بمجرد اشتقاق المعادلات تتحول المشكلة إلى أحد المشاكل الكينماتيكية. لذلك، ليس من الضرورة معرفة قيم القوى التى يمكن أن تنتبأ بخصائص مسار المقذوف، من الرؤية العملية للنقطة، يعنى هذا أن مسار مركز نقطة المؤدى يتأسس عند الارتقاء. بمجرد كسر الاتصال مع سطح الاتصال، لا يمكنه تعديل مسار قذفه إلا أنه ربما يستطيع تحريك أعضاء جسمه بالنسبة لمركز كتلته. بناء على ذلك، حركة المشى فى الهواء Hitch kick لوائب الوثب الطويل لا تبدل مسار مركز كتلته وأيضاً تتضمن سيطرته على دوران الجسم. بالمثل لاعب الترمبولين الذى يبدأ الدورة الهوائية بسرعة أفقية زائدة ربما يهبط على الأرض بالرغم من أى شدة لهياج دورانه الذى ربما يفعلها فى الهواء.

إن ما هى أنسب زاوية لقذف اللاعب أو أدواته الرياضية؟ الجواب ليس سهلاً لظهور الاعتبار الأكثر أهمية. وهو هدف الأداء، هل هو انجاز ارتفاع، مسافة، دوران، الدقة، أو بعض تشكيلة من اثنين أو أكثر من تلك العوامل؟

عندما يكون الهدف أقصى إراحة عمودية للجسم أو أقصى زمن فى الهواء، كما فى حالة حائط الصد فى الكرة الطائرة أو الارتداد فى كرة السلة سوف تكون قوة رد فعل الأرض الأكبر والممكنة متجهة عمودية لأعلى خلال مركز الكتلة. إذا كانت المسافة الأفقية هى المقررة كما فى دفع الجلة أو الوثب الطويل، خط عمل القوة مرة أخرى يمر تماماً بمركز كتلة المقذوف بقدر الإمكان. فى هذه الحالة كلا مركبتى القوة الأفقية والرأسية يجب أن تتطلب زمن كافى فى الهواء يسمح بعدم إعاقه الحركة الأفقية.

إذا كان مستوى المقذوف فى نفس مستوى الهبوط استطاع المؤدى توليد قيم قوة متماثلة من خلال مدى مسار حركته. عندئذ زاوية القذف ٤٥° سوف تتجز أكبر مساحة أفقية. ومع ذلك تقابلنا فى الرياضة حالة أخرى يكون فيها مستوى القذف عادة أعلى من مستوى الهبوط وهذا يؤكد انخفاض زاوية القذف. وأكثر من ذلك يكون الجسم غير قادر على تطبيق مستويات قوة متعادلة عند كل زوايا القذف. عند زيادة الزاوية بالنسبة للمستوى الأفقى، يجب إضافة عمل لتغطية مقاومة الوزن. نتيجة لذلك المهمة تصبح أكثر صعوبة.

تميل جميع تلك العوامل لتأييد اقلل زاوية القذف أقل بكثير من ٤٥°. لذلك، عند تقدير أنسب زاوية قذف لأداء معين، يجب التفكير فى الهدف المعطى للنشاط، تباين القوة العضلية من خلال مدى الحركة، وارتفاع القذف بالنسبة لمستوى الهبوط. يجب أيضاً الأخذ فى الاعتبار مقاومة الهواء أو الماء عند الحساب إذا كان لها تأثير فى المخرجات.

يعرض الجدولين (٥-٢)، (٦-٢) نتائج طيران الرمي كدالة لارتفاع الانطلاق وقيمة واتجاه سرعته عند الانطلاق. أنجزت السرعة الأفقية في كل حالة وحسبت من معادلات الحركة الجزئية في السقوط الحر المشتقة في أول هذا الفصل. مسابقة دفع الجلة أيضاً تمثل أحد أبسط أمثلة السقوط الحر في الرياضة، الفحص الدقيق للبيانات سوف يزود المدرس والمدرّب ببعض المعلومات المفيدة.

من عرض الحسابات النظرية، ظهرت حسابات خاصة أجيّزت. أولاً، ارتفاع الرمي عند الانطلاق يرتبط مباشرة بالمسافة الأفقية المنجزة للجلة. إذا استخدمت سرعات القذف الواقعية، عند القذف من ارتفاع ٨ أقدام من الأرض سوف ينتقل المقذوف واحد قدم أكثر من المقذوف المماثل له الذي قذف من ارتفاع سبعة أقدام.

جدول (٢-٥)

المسافة الأفقية للرمى كدالة لسرعة وارتفاع الانطلاق

مسافة الرمي كدالة بالنسبة لارتفاع الانطلاق					سرعة الانطلاق			
٨	٧,٥	٧,٠ (قدم)	٦,٥	٦	الزاوية (°)	الرأسية	الأفقية (قدم/ث)	المحصلة
٣٠,٦٣	٣٠,١٧	٢٩,٧٠	٢٩,٢١	٢٨,٧٢	٣٠,٠٠	١٤,٠٠	٢٤,٢٥	٢٨
٣٠,٧٩	٣٠,٣٤	٢٩,٨٨	٢٩,٤١	٢٨,٩٢	٣١,٠٠	١٤,٤٢	٢٤,٠٠	٢٨
٣٠,٩٤	٣٠,٥٠	٣٠,٠٤	٢٩,٥٨	٢٩,١٠	٣٢,٠٠	١٤,٨٤	٢٣,٧٥	٢٨
٣١,٠٦	٣٠,٦٣	٣٠,٣١	٢٩,٧٣	٢٩,٢٧	٣٣,٠٠	١٥,٢٥	٢٣,٤٨	٢٨
٣١,١٧	٣٠,٧٤	٣٠,٤٠	٢٩,٨٦	٢٩,٤٠	٣٤,٠٠	١٥,٦٦	٢٣,٢١	٢٨
٣١,٢٥	٣٠,٨٣	٣٠,٤٨	٢٩,٩٧	٢٩,٥٢	٣٥,٠٠	١٦,٠٦	٢٢,٩٤	٢٨
٣١,٣٠	٣٠,٨٩	٣٠,٥٣	٣٠,٠٥	٢٩,٦١	٣٦,٠٠	١٦,٤٦	٢٢,٦٥	٢٨
٣١,٣٣	٣٠,٩٣	٣٠,٥٥	٣٠,١١	٢٩,٦٨	٣٧,٠٠	١٦,٨٥	٢٢,٣٦	٢٨
٣١,٣٤	٣٠,٩٥	٣٠,٥٥	٣٠,١٤	٢٩,٧٣	٣٨,٠٠	١٧,٢٤	٢٢,٠٦	٢٨
٣١,٣٣	٣٠,٩٤	٣٠,٥٣	٣٠,١٦	٢٩,٧٥	٣٩,٠٠	١٧,٦٢	٢١,٧٦	٢٨
٣١,٢٩	٣٠,٩١	٣٠,٤٨	٣٠,١٤	٢٩,٧٤	٤٠,٠٠	١٨,٠٠	٢١,٤٥	٢٨
٣١,٢٢	٣٠,٨٥	٣٠,٤١	٣٠,١٠	٢٩,٧١	٤١,٠٠	١٨,٣٧	٢١,١٣	٢٨
٣١,١٣	٠٧٧.	٣٠,٣٠	٣٠,٠٣	٢٩,٦٦	٤٢,٠٠	١٨,٧٤	٢٠,٨١	٢٨
٣١,٠١	٣٠,٦٦	٣٠,١٨	٢٩,٩٤	٢٩,٥٧	٤٣,٠٠	١٩,١٠	٢٠,٤٨	٢٨
٣٠,٨٦	٣٠,٥٢	٣٠,٠٢	٢٩,٨٢	٢٩,٤٩	٤٤,٠٠	١٩,٤٥	٢٠,١٤	٢٨
٣٠,٦٩	٣٠,٣٦	٣٠,٨٤	٢٩,٦٨	٢٩,٣٣	٤٥,٠٠	١٩,٨٠	١٩,٨٠	٢٨
٣٠,٥٠	٣٠,١٧	٢٩,٦٤	٢٩,٥١	٢٩,١٧	٤٦,٠٠	٢٠,١٤	١٩,٤٥	٢٨
٣٠,٢٧	٢٩,٩٦	٢٩,٤٠	٢٩,٣١	٢٨,٩٨	٤٧,٠٠	٢٠,٤٨	١٩,١٠	٢٨
٣٠,٠٢	٢٩,٧٢	٢٩,١٤	٢٩,٠٩	٢٨,٧٦	٤٨,٠٠	٢٠,٨١	١٨,٧٤	٢٨
٢٩,٧٥	٢٩,٤٥	٢٩,١٤	٢٨,٨٤	٢٨,٥٢	٤٩,٠٠	٢١,١٣	١٨,٣٧	٢٨
٢٩,٤٤	٢٩,١٥	٢٨,٨٦	٢٨,٥٦	٢٨,٢٥	٥٠,٠٠	٢١,٤٥	١٨,٠٠	٢٨

تابع جدول (٥-٢)

مسافة الرمي كدالة بالنسبة لارتفاع الانطلاق					سرعة الانطلاق			
٨	٧,٥	٧,٠ (قدم)	٦,٥	٦	الزاوية (°)	الرأسية	الأفقية (قدم/ث)	المحصلة
٣٢,٣٢	٣١,٨٥	٣١,٣٦	٣٠,٨٧	٣٠,٣٦	٣٠,٠٠	١٤,٥٠	٢٥,١١	٢٩
٣٢,٥١	٣٢,٠٤	٣١,٥٧	٣١,٠٩	٣٠,٥٩	٣١,٠٠	١٤,٩٤	٢٤,٨٦	٢٩
٣٢,٦٧	٣٢,٢٢	٣١,٧٦	٣١,٢٨	٣٠,٧٩	٣٢,٠٠	١٥,٣٧	٢٤,٥٩	٢٩
٣٢,٨٢	٣٢,٣٧	٣١,٩٢	٣١,٤٥	٣٠,٩٨	٣٣,٠٠	١٥,٧٩	٢٤,٣٢	٢٩
٣٢,٩٤	٣٢,٥٠	٣٢,٠٦	٣١,٦٠	٣١,١٣	٣٤,٠٠	١٦,٢٢	٢٤,٠٤	٢٩
٣٣,٠٣	٣٢,٦١	٣٢,١٧	٣١,٧٢	٣١,٢٧	٣٥,٠٠	١٦,٦٣	٢٣,٧٦	٢٩
٣٣,١٠	٣٢,٦٨	٣٢,٢٦	٣١,٨٢	٣١,٣٨	٣٦,٠٠	١٧,٠٥	٢٣,٤٨	٢٩
٣٣,١٥	٣٢,٧٤	٣٢,٣٢	٣١,٩٠	٣١,٤٦	٣٧,٠٠	١٧,٤٥	٢٣,١٦	٢٩
٣٣,١٧	٣٢,٧٧	٣٢,٣٦	٣١,٩٤	٣١,٥٢	٣٨,٠٠	١٧,٨٥	٢٢,٨٥	٢٩
٣٣,١٦	٣٢,٧٧	٣٢,٣٧	٣١,٩٨	٣١,٥٥	٣٩,٠٠	١٨,٢٥	٢٢,٥٤	٢٩
٣٣,١٢	٣٢,٧٤	٣٢,٣٥	٣١,٩٦	٣١,٥٥	٤٠,٠٠	١٨,٦٤	٢٢,٢٢	٢٩
٣٣,٠٦	٣٢,٦٩	٣٢,٣١	٣١,٩٢	٣١,٥٣	٤١,٠٠	١٩,٠٣	٢١,٨٩	٢٩
٣٣,٩٧	٣٢,٦١	٣٢,٢٤	٣١,٨٦	٣١,٤٧	٤٢,٠٠	١٩,٤٠	٢١,٥٥	٢٩
٣٣,٨٦	٣٢,٥٠	٣٢,١٤	٣١,٧٧	٣١,٣٩	٤٣,٠٠	١٩,٧٨	٢١,٢١	٢٩
٣٢,٧١	٣٢,٣٧	٣٢,٠١	٣١,٦٥	٣١,٢٩	٤٤,٠٠	٢٠,١٥	٢٠,٨٦	٢٩
٣٢,٥٤	٣٢,٢٠	٣١,٨٦	٣١,٥١	٣١,١٥	٤٥,٠٠	٢٠,٥١	٢٠,٥١	٢٩
٣٢,٣٤	٣٢,٠١	٣١,٦٧	٣١,٣٣	٣٠,٩٨	٤٦,٠٠	٢٠,٨٦	٢٠,١٥	٢٩
٣٢,١١	٣١,٧٩	٣١,٤٦	٣١,١٣	٣٠,٧٩	٤٧,٠٠	٢١,٢١	١٩,٧٨	٢٩
٣١,٨٥	٣١,٥٤	٣١,٢٢	٣٠,٩٠	٣٠,٥٧	٤٨,٠٠	٢١,٢٥	١٩,٤٠	٢٩
٣١,٥٦	٣١,٢٦	٣٠,٩٣	٣٠,٦٣	٣٠,٣١	٤٩,٠٠	٢١,٨٩	١٩,٠٣	٢٩
٣١,٢٥	٣٠,٩٥	٣٠,٦٥	٣٠,٣٤	٣٠,٠٣	٥٠,٠٠	٢٢,٢٢	١٨,٦٤	٢٩

تابع جدول (٥-٢)

مسافة الرمي كدالة بالنسبة لارتفاع الانطلاق					سرعة الانطلاق			
٨	٧,٥	٧,٠ (قدم)	٦,٥	٦	الزاوية (°)	الرأسية	الأفقية (قدم/ث)	المحصلة
٤٥,٤٨	٤٤,٩٣	٤٤,٣٨	٤٣,٨١	٤٣,٢٣	٣٠,٠٠	١٨,٠٠	٣١,١٨	٣٦
٤٥,٨٦	٤٥,٣٢	٤٤,٧٨	٤٤,٢٣	٤٣,٦٦	٣١,٠٠	١٨,٥٤	٣٠,٨٦	٣٦
٤٦,٢٠	٤٥,٦٦	٤٥,١٥	٤٤,٦١	٤٤,٠٦	٣٢,٠٠	١٩,٠٨	٣٠,٥٣	٣٦
٤٦,٥١	٤٦,٠٠	٤٥,٤٨	٤٤,٩٦	٤٤,٤٢	٣٣,٠٠	١٩,٦١	٣٠,١٩	٣٦
٤٦,٧٨	٤٦,٢٨	٤٥,٧٨	٤٥,٢٦	٤٤,٧٤	٣٤,٠٠	٢٠,١٣	٢٩,٨٥	٣٦
٤٧,٠١	٤٦,٥٣	٤٦,٠٣	٤٥,٥٣	٤٥,١٢	٣٥,٠٠	٢٠,٦٥	٢٩,٤٩	٣٦
٤٧,٢١	٤٦,٧٣	٤٦,٢٥	٤٥,٧٦	٤٥,٢٦	٣٦,٠٠	٢١,١٦	٢٩,١٢	٣٦
٤٧,٣٦	٤٦,٠٠	٤٦,٤٣	٤٥,٩٥	٤٥,٤٦	٣٧,٠٠	٢١,٦٧	٢٨,٧٥	٣٦
٤٧,٤٨	٤٧,٠٢	٤٦,٥٧	٤٦,١٠	٤٥,٦٣	٣٨,٠٠	٢٢,١٦	٢٨,٣٧	٣٦
٤٧,٥٥	٤٧,١١	٤٦,٦٦	٤٦,٢١	٤٥,٧٥	٣٩,٠٠	٢٢,٦٦	٢٧,٩٨	٣٦
٤٧,٥٦	٤٧,١٥	٤٦,٧٢	٤٦,٢٧	٤٥,٨٢	٤٠,٠٠	٢٣,١٤	٢٧,٥٨	٣٦
٤٧,٥٧	٤٧,١٥	٤٦,٧٣	٤٦,٢٩	٤٥,٨٦	٤١,٠٠	٢٣,٦٢	٢٧,١٧	٣٦
٤٧,٥١	٤٧,١١	٤٦,٦٩	٤٦,٢٧	٤٥,٨٥	٤٢,٠٠	٢٤,٠٩	٢٦,٧٥	٣٦
٤٧,٤١	٤٧,٠٢	٤٦,٦٢	٤٦,٢١	٤٥,٧٩	٤٣,٠٠	٢٤,٥٥	٢٦,٣٣	٣٦
٤٧,٢٧	٤٦,٨٩	٤٦,٤٩	٤٦,١٠	٤٥,٦٩	٤٤,٠٠	٢٥,٠١	٢٥,٩٠	٣٦
٤٧,٠٩	٤٦,٧١	٤٦,٣٣	٤٥,٩٤	٤٥,٥٥	٤٥,٠٠	٢٥,٤٦	٢٥,٤٦	٣٦
٤٦,٨٦	٤٦,٤٩	٤٦,١٢	٤٥,٧٤	٤٥,٣٦	٤٦,٠٠	٢٥,٩٠	٢٥,٠١	٣٦
٤٦,٥٨	٤٦,٢٣	٤٥,٨٦	٤٥,٥٠	٤٥,١٣	٤٧,٠٠	٢٦,٣٣	٢٤,٥٥	٣٦
٤٦,٢٦	٤٥,٩٢	٤٥,٥٦	٤٥,٢١	٤٤,٨٥	٤٨,٠٠	٢٦,٧٥	٢٤,٠٩	٣٦
٤٥,٩٠	٤٥,٥٦	٤٥,٢٢	٤٤,٨٨	٤٤,٥٣	٤٩,٠٠	٢٧,١٧	٢٣,٦٣	٣٦
٤٥,٤٩	٤٥,١٦	٤٤,٨٣	٤٤,٥٠	٤٤,١٦	٥٠,٠٠	٢٧,٥٨	٢٣,١٤	٣٦

تابع جدول (٥-٢)

مسافة الرمي كدالة بالنسبة لارتفاع الانطلاق					سرعة الانطلاق			
المحصلة	الأفقية (قدم/ث)	الراسية	الزاوية (°)	٦	٦,٥	٧,٠ (قدم)	٧,٥	٨
٣٧	٣٢,٠٤	١٨,٥٠	٣٠,٠٠	٤٥,٢٧	٤٥,٦٦	٤٦,٤٣	٤٧,٠٠	٤٧,٥٥
٣٧	٣١,٧٢	١٩,٠٦	٣١,٠٠	٤٥,٧٤	٤٦,٣١	٤٦,٨٧	٤٧,٤٢	٤٧,٩٥
٣٧	٣١,٣٨	١٩,٦١	٣٢,٠٠	٤٦,١٦	٤٦,٧٢	٤٧,٢٧	٤٧,٨١	٤٨,٣٣
٣٧	٣١,٠٣	٢٠,١٥	٣٣,٠٠	٤٦,٥٥	٤٧,٠٩	٤٧,٦٣	٤٨,١٥	٤٨,٦٧
٣٧	٣٠,٦٧	٢٠,٦٩	٣٤,٠٠	٤٦,٩٠	٤٧,٤٣	٤٧,٩٥	٤٨,٤٦	٤٨,٩٧
٣٧	٣٠,٣١	٢١,٢٢	٣٥,٠٠	٤٧,٢٠	٤٧,٧٢	٤٨,٢٣	٤٨,٧٣	٤٩,٢٢
٣٧	٢٩,٩٣	٢١,٧٥	٣٦,٠٠	٤٧,٤٧	٤٧,٩٧	٤٨,٤٧	٤٨,٩٦	٤٩,٤٤
٣٧	٢٩,٥٥	٢٢,٢٧	٣٧,٠٠	٤٧,٦٩	٤٦,١٨	٤٨,٦٧	٤٩,١٥	٤٩,٦١
٣٧	٢٩,١٦	٢٢,٧٨	٣٨,٠٠	٤٧,٨٧	٤٨,٣٥	٤٨,٨٢	٤٩,٢٩	٤٩,٧٤
٣٧	٢٨,٧٥	٢٣,٢٨	٣٩,٠٠	٤٨,٠١	٤٨,٤٧	٤٨,٩٣	٤٩,٣٩	٤٩,٨٣
٣٧	٢٨,٣٤	٢٣,٧٨	٤٠,٠٠	٤٨,٠٩	٤٨,٥٥	٤٩,٠٠	٤٩,٤٤	٤٩,٨٧
٣٧	٢٧,٩٢	٢٤,٢٧	٤١,٠٠	٤٨,١٤	٤٨,٥٨	٤٩,٠٢	٤٩,٤٥	٤٩,٨٧
٣٧	٢٧,٥٠	٢٤,٧٦	٤٢,٠٠	٤٨,١٤	٤٨,٥٧	٤٨,٩٩	٤٩,٤١	٤٩,٨٢
٣٧	٢٧,٠٦	٢٥,٢٣	٤٣,٠٠	٤٨,٠٩	٤٨,٥١	٤٨,٩٢	٤٩,٣٣	٤٩,٧٣
٣٧	٢٦,٦٢	٢٥,٧٠	٤٤,٠٠	٤٧,٩٩	٤٨,٤٠	٤٨,٨٠	٤٩,٢٠	٤٩,٥٩
٣٧	٢٦,١٦	٢٦,١٦	٤٥,٠٠	٤٧,٨٥	٤٨,٢٤	٤٨,٩٣	٤٩,٠٢	٤٩,٤٠
٣٧	٢٥,٧٠	٢٦,٦٢	٤٦,٠٠	٤٧,٦٦	٤٨,٠٤	٤٨,٤٢	٤٨,٨٠	٤٩,١٧
٣٧	٢٥,٢٣	٢٧,٠٦	٤٧,٠٠	٤٧,٤٢	٤٧,٧٩	٤٨,١٦	٤٨,٥٢	٤٨,٨٨
٣٧	٢٤,٧٦	٢٧,٥٠	٤٨,٠٠	٤٧,١٣	٤٧,٤٩	٤٧,٨٥	٤٨,٢١	٤٨,٥٦
٣٧	٢٤,٢٧	٢٧,٩٢	٤٩,٠٠	٤٦,٧٩	٤٧,١٥	٤٧,٥٠	٤٧,٨٥	٤٨,١٨
٣٧	٢٣,٧٨	٢٨,٣٤	٥٠,٠٠	٤٦,٤١	٤٦,٧٦	٤٧,٠٩	٤٧,٤٣	٤٧,٧٦

جدول (٦-٢)

مسافة دفع الجلة كدالة للحالات عند الانطلاق

ارتفاع الانطلاق						محصلة سرعة الانطلاق (قدم/ث)
٨ أقدام		٧ أقدام		أقدام		
المسافة (قدم)	أنسبة زاوية (°)	المسافة (قدم)	أنسبة زاوية (°)	المسافة (قدم)	أنسبة زاوية (°)	
٢٧,٨٧	٣٧	٢٧,١٠	٣٨-٣٧	٢٦,٣٢	٣٩-٣٨	٢٦
٣١,٣٤	٣٨	٣٠,٥٥	٣٩-٣٨	٢٩,٧٥	٣٩	٢٨
٣٥,٠٥	٣٩	٣٤,٢٤	٣٩	٣٣,٤٢	٤٠	٣٠
٣٨,٩٩	٣٩	٣٨,١٦	٤٠	٣٧,٣٢	٤١-٤٠	٣٢
٤٣,١٦	٤٠-٣٩	٤٢,٣٢	٤٠,٤١	٤١,٤٧	٤١	٣٤
٤٧,٥٨	٤٠	٤٦,٧٣	٤١	٤٥,٨٦	٤١	٣٦
٥٢,٢٣	٤١-٤٠	٥١,٣٧	٤١	٥٠,٤٩	٤٢	٣٨
٥٧,١٣	٤١	٥٦,٢٦	٤١,٤٢	٥٥,٣٦	٤٢	٤٠
٦٢,٢٧	٤١	٦١,٣٨	٤٢	٦٠,٤٨	٤٢	٤٢
٦٧,٦٥	٤٢	٦٦,٧٦	٤٢	٦٥,٨٥	٤٢	٤٤
٧٣,٢٨	٤٢	٧٢,٣٧	٤٢	٧١,٤٦	٤٣	٤٦

بالمثل، تقريباً تتقدم الجلة ٢ قدم أكثر من الجلة بارتفاع انطلاق ٦ قدم.
وهذه الاختلافات تعطى دافع الجلة الأطول ميزة عن نظيره الأقصر (فى حالة
تساوى المتغيرات الأخرى).

ثانياً، أنسب زاوية قذف تقريباً مقدارها ٤١-٤٢° بالنسبة للمستوى الأفقى. يتصف المؤدى الردى بصغر سرعات انطلاقه، وبانخفاض أنسب زاوية انطلاق عن أفضل لاعبى القمة فى الجلة. بالإضافة إلى أن المؤدون بأعلى نقطة انطلاق أيضاً ينجزون أكبر مسافة أفقية من زاوية القذف المنخفضة عن اللاعبين المستخدمين نقطة انطلاق منخفضة. أخيراً قيمة سرعة الانطلاق هامة جداً لانجاح الأداء. وفى الحقيقة كل تقويم سريع للبيانات يشير إلى أن سرعة الانطلاق العامل الأكثر أهمية. بناء على ذلك فى التدريب زيادة سرعة الانطلاق سوف يركز عليها كلية إذا كانت تؤدي عند أعلى نقطة انطلاق وأنسب زاوية انطلاق (ميلر Miller ١٩٧٣ م) (٣٢).

المتحرك من مرحلة الانتقال إلى الدوران هى الخطوة التالية فى أى تحليل كينماتيكى. بمجرد كون المؤدى حراً فى الهواء ليس فقط يثبت مساره وإنما أيضاً كمية حركته الزاوية بالنسبة لمركز الكتل. فيما يلى يكون الشرح عن طريق المبدأ الذى يقرر أن كمية الحركة الزاوية بالنسبة لمركز الكتلة تظل ثابتة إلا أن هناك تماثل لدفع الدوران حول مركز الكتلة. يحدث دفع دوران القوة (F) حول أى محور يمر خلال النقطة (O) كما يلى :

$$(AI)_0 = \int r \times F dt$$

حيث يتضح أن عزم الدفع الخطى :

$$LI = \int F dt$$

الرمز r يشير إلى المسافة بين وضع متجه محور المفصل وخط عمل القوة F فى حالة خاصة حيث النقطة (0) هى مركز الكتلة (g) للجسم الصلب،

ويكون دفع الدوران Angular impulse متعادل مع التغيير فى كمية الحركة الدورانية Angular momentum (H) وبناء على ذلك :

فى لحظة السقوط الحر حيث تكون مقاومة الهواء مهملة، القوة التى تعمل على النظام هى وزنه. وتطبق خلال مركز الكتلة ولا يمكنها امتلاك دفع بالنسبة للكتلة. ومع ذلك لا يمكن حدوث أى تغيير فى كمية الحركة الزاوية بينما هذه الحالة قائمة. ويعنى ذلك أن كمية الحركة الزاوية التى أسسها اللاعب عند الارتقاء تظل ثابتة خلال مرحلة طيران أدائه. من أجل النظام المركب من عدة حلقات مثل جسم الإنسان، ربما هناك يمكن حدوث تغير بالنسبة لكمية الحركة الزاوية للأعضاء منفردة ولكن محصلة كمية الحركة الزاوية للنظام كله لا تتغير.

كمية الحركة الزاوية أو عزم كمية الحركة فى بعض الأحيان تشير إلى مسمى كمى للحركة الزاوية. كمية الحركة الزاوية كمية الحركة الزاوية لكتلة جسيم (m_i) حول المحور المار بنقطة (0) يعبر عنه كما يلى :

$$H_0 = r_i \times m_i v_i$$

حيث يتضح كمية الحركة الخطية، $m_i v_i = G$. كمية الحركة الزاوية للجسم الصلب هى مجموع عزوم كمية الحركة الخطية لجميع الجسيمات المركب منها. عندما الجسم الصلب يتحرك فى مستوى حركة، وقيمة حركته الزاوية تكون :

$$H_0 = I_g \omega + m r_g d$$

حيث أن H_0 = كمية الحركة الزاوية بالنسبة للنقطة 0

I_g = عزم القصور الذاتي للجسم بالنسبة لمركز الكتلة

v_g = سرعة مركز الكتلة

ω = السرعة الزاوية للجسم

d = المسافة العمودية من النقطة 0 حتى متجه V_g ، m الكتلة

متجه كمية الحركة الزاوية يكون عادة مع مستوى الحركة في الاتجاه

المشار إليه في قاعدة اليد اليمنى. عندما تكون (0) نقطة ثابتة، تنتج كمية

الحركة الزاوية العلاقة التالية :

$$\begin{aligned} H_0 &= I_g \omega + m v_g d \\ &= (I_0 - m d^2) \omega + m (\omega d) d \\ &= I_0 \omega - m \omega d^2 + m \omega d^2 \\ &= I_0 \omega \end{aligned}$$

وبالمثل، لو أن (0) هي مركز الكتلة

$$\begin{aligned} H_g &= I_g \omega + m v_g d \\ &= I_g \omega + m v_g O \\ &= I_g \omega \end{aligned}$$

عند إظهار مستوى التحليل في الحقيقة من الممكن التفكير في أن الجسم

مجموعة من أوضاع جسيمات صلبة خلال مرحلة عدم الارتكاز في المهارة.

حيث أن كمية الحركة الزاوية تبقى ثابتة بالنسبة لمركز الكتلة.

$$H_g = I_g \omega = m k_g^2 \omega = a \text{ constant}$$

حيث تمثل k نصف قطر الدوران. ويمكن صياغة هذه المعادلة بسهولة

إلى :

$$k^2 \omega = a \text{ constant}$$

بسبب عدم تغير كتلة الجسم خلال مراحل الحركة أى زيادة فى نصف قطر الدوران يسبب تناقص مطابق له فى السرعة الزاوية للجسم والعكس صحيح. ويلاحظ عامة أن لاعب الجمباز يدور أسرع فى وضع التكور عن وضع الجسم المستقيم وبالمثل، لأداء الوثب مع الدوران المتعدد كما فى الدوران حول محورين مزدوجين يجب أن يكون شكل المتزحلق فى وضع مستقيم مع اقتراب الذراعين والرجل الحرة تماماً للجسم بقدر المستطاع لاقبال نصف الدوران بالنسبة للمحور الطولى. لذا يستطيع اللاعب التحكم فى معدل الدوران (السرعة الزاوية) عن طريق مساهمة كتلة جسمه حول مركز الكتلة. تظل كمية الحركة الزاوية الكلية حول المحور المار بمركز الكتلة مع ذلك كما هى.

التحليل الكينماتيكي الأكثر دقة يبنى على مبادئ كمية الحركة لمعاملة جسم الإنسان كنظام حلقى. إن تعقيد العلاقة هى إيجابية وظيفة عدد الأعضاء، وهى تكون غير مناسبة لتمثيل الجسم بالبساطة الممكنة، وعلى سبيل المثال، إذا بقيت الرجلان مستقيمتين ومضمومتين خلال الأداء، يمكن معاملتهما كعضو منفرد فضلاً عن الست حلقات المنفردة. بالإضافة إلى أن الجذع والرأس ربما أحياناً تعتبر جسم صلب واحد. إذا اعتبر المؤدى كنظام (S) ومثل عن طريق أربعة أعضاء صلبة كما يلى: الرأس - والجذع (Bi)، الرجلين (B₂)، الذراع

الأيسر (B₃)، والذراع الأيمن (B₄)، وكمية حركته الزاوية (H) بالنسبة لمركز

كتلته (CS) تحسب كمية حركته الزاوية كما يلي :

$$H^{S/CS} = H^{B_1/C_1} + H^{B_2/C_2} + H^{B_3/C_3} + H^{B_4/C_4} + H^{C_1/CS} + H^{C_2/CS} + H^{C_3/CS} + H^{C_4/CS}$$

الأربع مصطلحات على الجانب الأيمن للمعادلة تمثل كمية الحركة الزاوية (Iω) لكل جسم صلب بالنسبة إلى مركز كتلته. في حالة خاصة، تلك المصطلحات اعتبرت كثلاث مركبات متعامدة لكمية الحركة الزاوية حول المحاور الأساسية للعضو. الأربع اصطلاحات النهائية في علاقة كمية الحركة الزاوية الكلية تشير إلى كمية الحركة الخطية لكل من مركز الكتلة العضوية بالنسبة إلى مركز الكتلة للنظام كله. (سميث Smith وكان Kane (١٩٦٧م) (٤٣)، ميلر Miller (١٩٧٠م) (٣٣).

لذا، كمية الحركة الزاوية لكل عضو بالإضافة إلى كمية الحركة الخطية لكل مركز كتلة عضوية تساهم في كمية الحركة الزاوية الكلية للجسم. نظراً لثبات كمية الحركة الزاوية خلال مرحلة عدم الاتصال للمهارة، تبديل حركة عضو ينعكس تأثيرها على حركة الأعضاء الأخرى. كما في شكل (٢-٢٤). إذا ترك واثب الوثب الطويل لوحة الارتقاء بالافراط في كمية الحركة الزاوية فإن توجيه دورته الهوائية يكون للأمام لأداء المشى في الهواء. لو مساهمة كمية الحركة الزاوية بواسطة تعادل الأطراف لكمية الحركة الزاوية الكلية الحادثة عند الارتقاء، الرأس والجذع سوف يمتلكا سرعة زاوية صفر وتظل ثابتة في وضع الارتقاء. عند توليد الأطراف كمية حركة زاوية أكثر من

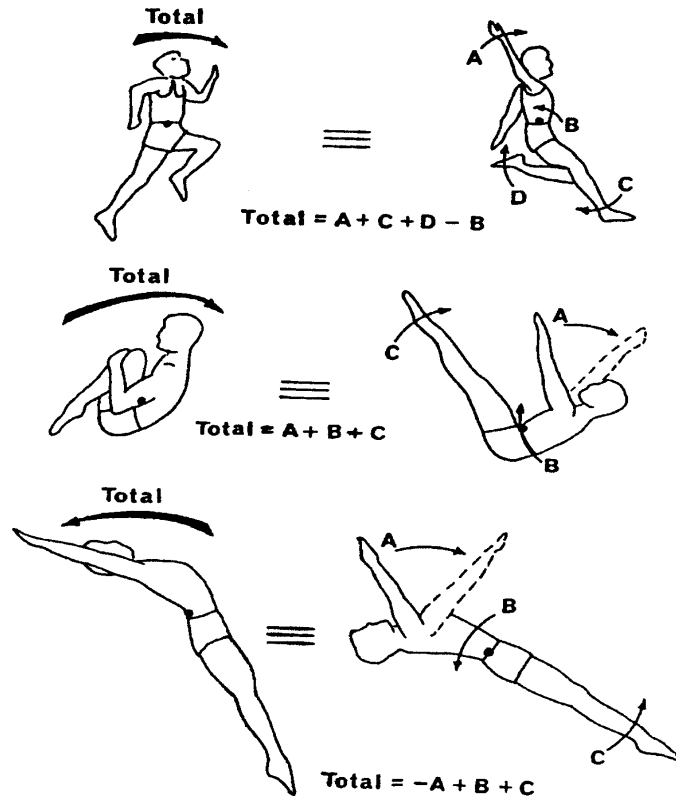
كمية الحركة الزاوية الكلية المؤسسة في البداية، إذن سوف يأخذ الجذع الكمية المناسبة للسرعة الزاوية السالبة أو الدوران الخلفى لدرجة يحفظ بها ثبات كمية الحركة الزاوية للجسم كله. بالمثل، أداء لاعب الغطس الدورة الهوائية المزدوجة والنصف المكورة المعكوسة والذي يجهز للدخول في الماء عن طريق مرجحة ذراعيه مستقيمتين للخلف أعلى رأسه في اتجاه اللف لتحقيق بطئ دوران جذعه ورجلاتيه. هذه الحركة لا تزيد فقط عزم القصور الذاتى بالنسبة لمحورى الدوران ولكن تستخدم في رفع بعض كمية الحركة الكلية للجسم وكذلك هناك تنقص القيمة لثبات الأعضاء. بالنسبة لأداء لاعب الترمبولين الدورة الهوائية المستقيمة الخلفية يترك الترمبولين مع مد ذراعيه أعلى رأسه وبالتدريج يجذبهما لأسفل جانباً في اتجاه عكس اتجاه دوران جسمه. حركة الذراع هذه تنتج زيادة السرعة الزاوية للجذع والرجلين بسبب أنها تقل مقاومة الدوران الزاوى. وهى أيضاً تنتج كمية حركة زاوية سالبة التى يجب استغلالها في زيادة كمية الحركة الزاوية الموجبة المتبقية للجسم. بناء على ذلك يصبح اتمام الدورة الهوائية أسهل. التأثير على الحركة والوضع للأعضاء الفردية حول ركود الجسم في حالة السقوط الحر تكون مع ذلك معتمدة على الاصطلاحات في علاقة كمية الحركة الزاوية للنظام الحلقى. القيم النسبية للكتل العضوية وعزوم القصور الذاتى تشير في الجدول (٢-٧) إلى فقط التحليل الكمي الكيناتيكي، كذلك يمكن أن يجهز بيانات خاصة بالتأثير المنفرد على الحركة حول الأداء الكلى للمهارة.

جدول (٧-٢)

البيانات العضوية لعينة من البالغين الناتجة عن

نموذج الحاسب الآلى لهافانان Havanan

العضو	الوزن (بالرطل)	الكتلة (بالسلوج)	الطول (بالياردة)	مبدأ عزم القصور الذاتي (سلوج . ياردة . ياردة)		
				I_z	I_y	I_x
الرأس	١٢,١٠	٠,٣٨	١٢,٨٢	١,٨٨	٤,٠٣	٤,٠٣
أعلى الجذع	١٦,٩٨	٠,٥٣	٦,٠٠	٧,٠٥	٣,٨٢	٦,٤٠
أسفل الجذع	٥٥,٨٥	١,٧٣	١٦,٧٦	٢٥,١٢	٤٨,٢٩	٥٨,٠٣
اليدين	١,١٣	٠,٠٤	٣,٥٤	٠,٠٤	٠,٠٤	٠,٠٤
أعلى الذراع	٤,٧٣	٠,١٥	١٢,١٠	٠,٢٤	١,٩٠	١,٩٠
أسفل الذراع	٢,٨٥	٠,٠٩	١٠,٠١	٠,٠٩	٠,٧٥	٠,٧٥
الفخذ	١٥,٥٦	٠,٤٨	١١,٦٦	٢,١٤	٦,٢٤	٦,٢٤
أسفل الرجل	٧,٥٦	٠,٢٣	١٥,٥٩	٠,٤١	٤,٩٤	٤,٩٤
القدم	٢,٣١	٠,٠٧	١٠,٢٠	٠,٠٦	٠,٦٢	٠,٦٢



شكل (٢-٢٤)

المساهمة الفردية للعضو في كمية الحركة الزاوية الكلية

المراجع

- ١- جيرد هوخموث : (١٩٧٨م)، الميكانيكا الحيوية وطرق البحث العلمى للحركات الرياضية، ترجمة كمال عبد الحميد، دار المعارف، (٢٧-٣٣، ٣٤-٥٧).
- ٢- عادل عبد البصير على : (١٩٨٣م/١٩٨٤م)، الميكانيكا الحيوية، التقويم والقياس التحليلى فى الأداء البدنى، الجهاز المركزى للكتب الجامعية والمدرسية والوسائل التعليمية، (٢٧-٦٧).
- ٣- _____ : (١٩٩٨م)، الميكانيكا الحيوية والتكامل بين النظرية والتطبيق فى المجال الرياضى، الطبعة الثانية، (١٨٥=٢٠٩)
- 4- Atwater, A.E. : (1970), Movement characteristic of overarm throw: a kinematic analysis of men and women performers: Unpublish Docoral Dissertation, University of Wisconish.
- 5- Batterman, C. : (1968), The techniques of springboard diving, Cambridge,. Mass: MIT Press.

- 6- Carlsoo, S. : (1967), A kinetic analysis of golf swing, J. Sport Med., 7 (76-82).
- 7- Cavanga G.A., : (1971), The mechanics of sprint
Kamarck, L. & running, J. Physiol., (London), 217
Mazzoleni, S. (709-721).
- 8- Cavagana, G.A., : (1965), A high speed motion
Margaria, R. & picture analysis of the work
Arcelli, E. performed in sprint running, Res.
Film, 5, (309-319).
- 9- Cavagana, G.A., : (1964), Mechanical work in
Saibene, F.P., & running, J. Appl. Physiol., 19,
Margaria, R. (249-256).
- 10- Chapman, S.J. : (1968), Catching a basketball,
Amer. J. Phys., 36 (868-870).
- 11- Dillman, C.J. : (1971), A kinetic analysis of the
recovery leg during spring running. In
J.M. Cooper (Ed.), Selected topics on
Biomechanics, Chicago: Athletic
Institute.

- 12- ————— : (1970), Muscular torque patterns of leg during the recovery phase of sprint running. Unpublished doctoral dissertation, Pennsylvania State University.
- 13- Dillman, C.J. & Nelson, R.C. : (1968), The mechanical energy transformations of pole vaulting with a fiberglass pole, J. Biomech., 1, (176-183).
- 14- Drillis, R. & Contini, R. : (1966), Body segment parameters, School of engineering and science, New York University, (PB 174 945; Tech. Rpt. No. 1166.03).
- 15- Evaes, G. : (1969), Diving- The Mechanics of springboard and firmboard techniques, London: Kaye & Ward.
- 16- Elftman, H. : (1940), The work done by msucles in locomotion, Amer. J. Physiol., 125. (357-366).

- 17- Elftman, H. : (1939a), The function of muscles in locomotion. Amer. J. Physiol., 125, 357-366.
- 18- ————— : (1939b), Forces and energy changes in the leg during walking, Amer. Physiol. 125, 339-356.
- 19- Falize, I.J.L., : (1969), Analysis de l'impulsion
Lucassen, J.R. & dans le saut en hauteur sand elan,
Hunebelle, G. Kinanthropologie, 1, (25-43).
- 20- Fenn, W.O. : (1930a), Work against gravity and work due to velocity changes in running, Amer. J. Physiol., 93 (433-402).
- 21- ————— : (1930b), Frictional and kinetic factors in the work of sprint running, Amer. J. Physiol., 92 (583-611).
- 22- Gerrish, P.H. : (1934), A dynamic analysis of the standing vertical jump, New York, Columbia University.

- 23- Hanavan, E.P. : (1964), A mechanical model of the human body, Wright-Patterson AFB, Ohio, (AMRL-TR, 64-102).
- 24- Hay, J.G. : (1971), Mechanical energy relationships in vaulting with a fiberglass pole, Ergonomics, 14, (437-448).
- 25- ————— : (1967), An investigation of mechanical efficiency in two styles of high jumping, unpublished doctoral dissertation, University of Iowa.
- 26- Hunebelle, G. & : (1971), Relations between Damoiseu, J. performance in high jump and graph of impulsion, paper presented at the third international seminar on biomechanics, Rome.
- 27- Jorgensen, T. : (1970), On the dynamics of the swing of a golf club, Amer. J. Phys., 38 (644-651).

- 28- Kirkpatrick, P. : (1963), Batting the ball, Amer. J. Phys., 31, (606-613)
- 29- Kuhlow, A. : (1971), Analysis moderner Hocksprungtechniken- ein beitrag zur speziellen bewegungslehre der leibesubunge, Berlin bartels & wrnitz.
- 30- Magel, J.R. : (1970), Propelling force measured during Tethered swimming in the four competitive swimming styles. Res. Q. Amer. Heath Phys. Ed., 41, (68-74).
- 31- Meriam, J.L. : (1966), Dynamics, New York, Wiley.
- 32- Miller, D.I. & Nelson, R.C. : (1973), Biomechanics of sport, a research approach, Lea & Febiger, Philadelphia, (39-85).
- 33- Miller, D.I. : (1970), A computer simulation model of the airborne phase of diving, unpublished doctoral dissertation, Pennsylvania state University.

- 34- Murraray, M.P., : (1967), Center of gravity, center of
Seireg, A. & pressure and supportive forces
Scholz, R.G. during human activities. J. Appl.
Physiol., 23 (831-838).
- 35- Offebacher, E.L. : (1970), Physics and the vertical jump.
Amer. J. Phys., 38 (829-836).
- 36- Payne, A.H., : (1968), The use of a force platform
Slater, W.J. & in the study of athletic activities. a
Telford, T. preliminary investigation. Ergono-
mics, 71, (123-143).
- 37- Pearson, J.R., : (1963), A dynamic analysis of the
McGinley, D.R. & upper extremity: planar motions.
Butzel, L.M. Hun. Factors, 5, (59-70).
- 38- Plagenhoef, S. : (1971), Patterns of human motion- a
cinematographic analysis, Engelwood
Cliffs, N.J.: Prentice-Hall.
- 39- ————— : (1962), An analysis of the
kinematics and kinetics of selected
symmetrical body actions,
unpublished doctoral dissertation,
University of Michigan.

- 40- ————— : (1966), Methods for obtaining kinetic data to analyze human motion. Res. Q. Asso. Health. Phys. Ed., 37 (103-112).
- 41- Ramey, M.R. : (1977), Effective use of force plates for long jump studies, Res. Q. Amer. Assoc. Health. Phys. Ed, 43 (247-252).
- 42- ————— : (1970), Force relationships of the running long jump, Med. Sci. Sports, 2, (146-151).
- 43- Shames, J.H. : (1967), Engineering mechanics-statics and dynamics, 2nd ed.. Englewood Cliffs, N.J.: Prentice-Hall.
- 44- Sinning, W.E. & Forsyth, H.L. : (1970), Lower limb actions while running at different velocities. Med. Sci. Sports, 2, (28-34).
- 45- Smith, P.G. & Kane, T.R. : (1967), The reorientation of a human being in free fall. Division of engineering mechanics, Stanford University, Tech. Rpt. No. 171.

- 46- Williams, D. : (1967), The dynamics of the golf swing, Quart. J. Mech. Appl. Math., 20 (247-264).

رابعاً : التحليل الوصفي : Description analysis

التحليل الكيفي للمهارة الرياضية عبارة عن مدخل وصفي لتفسير الحركات ذات الأداء الخاص ومن المهم أن تكون نتائج هذا التحليل مبنية على مبادئ الميكانيكا الحيوية أو الاحتياجات الطبيعية للأداء والإتقان في الوصف المهاري ينعكس على ملاحظة ما سوف يحدث وليس ما تم أو ما توضح باريت (Barrett ١٩٧٩م) (١٣) وفيما يلي سوف نناقش التحليل الوصفي من خلال الجزئين التاليين :

الجزء الأول : سوف يفسر ويشرح مرحلة ما قبل التخطيط، ومرحلة الملاحظة للتحليل الوصفي، وبمراجعة نفس الشئ في الدراسات النظرية مثل التخطيط المرئي والطريقة الموجودة به.

الجزء الثاني : سوف يشرح طريقة سينلي (Senley ١٩٦٧م) (١٧) للمستويات المهارية، حيث يحتوى هذا الفصل على التعليم وكيفية استطاعة المدرب أن يصحح أى خطأ يلاحظ في أداء المستوى المهاري للاعب.

التخطيط لملاحظة المهارة : Planning for skill observation

حديثاً تعطى الدراسة النظرية للملاحظة كإنتباه درجة كبيرة من الاهتمام لتدريس المهارة التي على درجة كبيرة من الأهمية. وبالرغم من أن التدريب الرياضى يحتوى على كثير من المهارات المختلفة عن التعلم The learning، إلا أن الأسس المستخدمة لتعليم اللاعب هي نفسها المتاحة لتعليم التلاميذ المهارات الرياضية، فمسئوليات المدرب

كمعلم لا يستطيع أن يتغاضى عنها، والموضوع العام المذكور في كثير من المراجع النظرية هو أن التخطيط أساس الملاحظة الفعالة والتحليل.

وضع باريت (١٩٨٣م) (٥) نموذجاً للتعليم والملاحظة يركز على

ثلاثة عناصر هي :

- أ- الملاحظة Observation
- ب- تفسير المعلومات من خلال الملاحظة Interpretation
- ج- إصدار القرار.

بدون التخطيط وملاحظة النواحي الفنية للمهارة، فإن فاعلية التدريس يجب أن تخضع للمساءلة. إن إجراءات المحاولة والخطأ لتطوير المهارة من المحتمل أن تأخذ مكان القرارات والتحليل المبني على الأسس العملية.

ما قبل التخطيط : Pre-planning

الخطوة الأولى First step :

قبل التخطيط لملاحظة المهارة والتحليل يمكن التنفيذ باستخدام الخطوات الأساسية التالية :

- الخطوة الأولى للتحليل الوصفي للمهارة :

تحديد المهارة التي يجب ملاحظتها: يمكن أن تظهر الكثير من المشاكل المتعلقة بالإحساس أثناء الملاحظة المهارية السريعة (المركبة)، حيث أن بعض الأداءات التي تحدث بسرعة لا تستطيع العين أن تدرك حركتها إطلاقاً ولغة

الأداء هي أن تكون قوى الملاحظة. فالشخص الأكثر خبرة هو الأكثر إحساساً حتى في الملاحظات المعقدة. كثير من خبراء المدربين لابد وأن يختاروا مهارات فردية أو أجزاء من مهارة أداء أو اتصال يحتوى على تغيرات في الوضع أو الأداء. في الأداء المعقد أو السريع، سوف يركز المدرب على جزء واحد من الجسم ليتأكد من حصوله على المعلومات الصحيحة من خلال الرؤية الجيدة. إن تعريف المهارة يعتمد على نمط أو النموذج الأول للحركة الذي سوف يساعد المدرب على إيضاح هذه التفاصيل والتي يجب أن تؤكد بوضوح، كما أن وصف المهارة لابد وأن يكون في تعريف بسيط إن أمكن.

مثال :

الدورة الهوائية الخلفية المستقيمة Backward somersault straight

على الأرض يمكن تعريفها كما يلي: وثب من الرجلين يؤدي إلى دوران الجسم لأعلى وللخلف حول المحور العرضي مع استقامة الجسم.

هذا التعريف سوف يقود المدرب إلى النظر في هذه الحركات التي سوف تساهم غالباً في التنفيذ الناجح لمتغيرات الأداء. وهذه الأفعال يمكن أن تعرف بأنها الملامح الحاسمة للمهارة (The critical features of skill)، فهذه الملامح الحاسمة أو الحرجة هي الأعمال التي لها أكبر تأثير إيجابي على محصلة الأداء، وتعريف الدورة الهوائية الخلفية المستقيمة، قسم إلى ثلاثة مراحل حاسمة.

والتنظيم مهم جداً مثل التعرف على الحركات. فلو أن هناك خطأ رآه المدرب لحظة المرحلة الحاسمة كالوثب، أثناء الملاحظة للأداء المهارى فعلى المدرب إدراك أن استمرارية الملاحظة للأداء لن تمكنه من الحصول على معلومات أكثر أهمية من ذلك الخطأ. أما إذا لم توجد أخطاء لوحظت فى حركة الوثب فالتركيز لابد أن ينتقل إلى الملاحظات التالية للملاحح الحاسمة للدوران. هذه العملية تستمر خلال المهارة.

يجب ألا يعتمد تقويم الأداء أو التكنيك على الملاحظة الفردية للمهارة. فتفاصيل المهارة لا تدخل فى الاعتبار إلا إذا كان النموذج الكلى وربما الحركة تؤدي مطابقة لمستوى مقبول أو متحسن من الأداء لبعض الرياضيين فكثير من الاهتمام بالتفاصيل مبكراً فى العملية التعليمية أو تقويم المستوى فوق قدرة اللاعب سيؤدي بالتأكيد إلى الاحباط وتأخير اكتساب المهارة. إن التفسير الدقيق للأعمال المتعلقة بالملاحح الحاسمة سيحدد نجاح عملية التقويم وصنع القرار مع الأخذ فى الاعتبار تصحيح الأخطاء.

إن أهمية كل من الملاحح الحاسمة لأداء هذه المهارة يتحقق بتحديد المبادئ الميكانيكية اللازمة لفهم العمل. إن المعرفة بالأسس البيوميكانيكية تساعد المدرب فى اختيار الملاحح الحاسمة الملائمة وتقدير تنفيذها الصحيح خلال أداء المهارة.

ويجب تحديد وفهم المبادئ البيوميكانيكية بكل من الملامح الحاسمة أثناء أداء المهارة والتي يمكن اكتشافها عن طريق المدرب الذى يستطيع التركيز على الأعمال التى يجب القيام بها لضمان التنفيذ السليم.

وعادة ما تعتبر الاختلافات بين الأداء المتوقع والأداء الفعلى أخطاء، وعلى أى الأحوال فإن هذا صحيح فقط فى حالة أن يكون المدرب قد خطط من قبل للملاحظة وحدد مقدماً المستوى المناسب للأداء الرياضى مع مراعاة أن توقع مستويات أداء عالية عن قدرة اللاعب يشير إلى نقص فى التخطيط المسبق للمدرب ونقص فهم الملامح الحاسمة لأداء المهارة.

وهناك اعتبار آخر فى مرحلة ما قبل التخطيط وهو تحديد العوامل التى تعوق الأداء، وهذه العوامل المعوقة يمكن تحديدها لكل لاعب ممكن أن يمتلك قوة ومرونة أقل من الحد الأمثل. وهذا يمكن أن يدفع اللاعب إلى أداء عمل معين بطريقة ما لتعويض نقص التطور البدنى. ويعتبر أيضاً مواصفات الأجهزة والأدوات والملاعب وقواعد التنافس من العوامل المعوقة.

الخطوة الثانية : Second step

الخطوة الثانية فى التخطيط للملاحظة هى تحديد المكان الذى يمكن منع رؤية الأداء فيجب القيام بالملاحظة من عدد من النقاط المميزة للحصول على أكبر قدر من المعلومات عن الأداء.

- ويشير هاي Hay وريد Red (١٩٨٢م) (١٢) عن ديانا Diana إلى عدة نقاط يجب وضعها في الاعتبار عند اختيار أماكن الملاحظة هي :
- أ- أحسن مكان هو الذي يتيح للمدرب ملاحظة كل الحركات في مهارة معينة وهو عادة ما يكون عمودياً على اتجاه الحركة وفي مواجهة نقطة الاهتمام الأولى.
- ب- إذا كان الأداء الملاحظ يحدث في مسافة كبيرة من القفز والهبوط فعلى المدرب أن يتخذ موقفاً في منتصف مسافة الحركة وذلك ليرى كل الأداء وذلك بأقل حركة من العين والرأس. وتعتبر أساليب المسح أكثر فائدة عندما تكون الحركة أكبر من خط الرؤية وذلك أفضل من متابعة العين لتسلسل الحركة.
- ج- عندما تزيد سرعة الحركة يجب زيادة المسافة بين المؤدى والمراقب، ويتم تدريب المحكمين على ملاحظة الأداء وذلك بالتركيز على الجوانب الخاصة بالتنفيذ.

تقويم وتقديم المهارة :

يشتمل ترتيب الأخطاء على أن تزيل من الاعتبار أى أخطاء تبدوا كأنها صنعت نتيجة خطأ سابق في تنفيذ المهارة. وبالنظر إلى سبب الأخطاء الملحوظة والتعامل مع المشكلة الأولية سوف يوفر الوقت والجهد ويمنع الاحباط من تصحيح خطأ ينبع في أى مكان، أيضاً الالتزام بالوقت هام في اكتساب المهارات وتطويرها. فيجب على المدرب أن يصدر أحكاماً مقبولة بالنسبة لكمية الوقت اللازم لتعليم مهارة معينة بطريقة جيدة تكفى لوضعها في

المسابقة فيما بعد. كما يجب أن يكون القرار هو ذلك الذى يمكن فيه عمل أكبر
تحسن لأداء المهارة فى الوقت المتاح.

بغض النظر عن القدرة الكلية للاعب، فإن تعلم مهارة بدنية هى عملية
يمكن أن تقسم إلى أربع مستويات من التقدم المهارى هى :

- ١- قبل التحكم.
- ٢- التحكم.
- ٣- الآلية.
- ٤- التقدم.

كمية المعلومات الموجودة والتفاصيل المشتملة عليها، يجب أن تختلف
(تتغير) طبقاً لمستوى التقدم المهارى للمتعلم، ويجب على المدربين أن يقيموا
(يحددوا) هذا المستوى لكل لاعب ولكل مهارة.

يختلف الرياضيون فى مقدرتهم على أداء المهارات، فلاعب الجمناز
مثلاً عادة ذو أداء عالى فى الوقت نفسه يسهل تعليمه المهارات وتكون النتيجة
دقيقة. ويتقدم عندما تحدث نتائج أخرى شاقة وعبارات صعبة فى المهارة.

ويستند تقويم المهارة على قرب المدرب من المتعلم فى نفس الوقت.
إن تقويم المهارة ومستوياتها لا يتحدد بواسطة عمر المتعلم فى اختبار سابق
حدث فى الحركات. يجب ادراك نوعية (خصوصيات) وأداء عموميات هذه
المستويات والمواصفات. إن كمية الوقت التى تمر بواسطة كل المستويات
تستند إلى الشخص المتعلم، ويمر كل الرياضيين على كل مرحلة بسرعة
وبإيضاح قليل وصعب. ويحصل كل الرياضيين على مرحلة خاصة فى

المرحلة الطويلة فى الوقت بعد فهم العوامل المسببة للسهولة بواسطة المدرب .
فى هذه الحالة يحصل اللاعب على كمية كبيرة من التشجيع والتدعيم .

Pre-control : ما قبل التحكم

يكون مستوى التحكم السابق فى تقدم المهارة مرحلة هامة عندما يقوم المتعلم بمهام أداء جديد ويشخص بمدى قدرة المتعلم إما على التحكم الشعورى (الإحساس) أو الحركة الخارجية المعتمدة .

إن الأداء الناجح يعتمد عادة على استخدام النموذج الحركى الصحيح .
وتكرار الأداء المتتابع تجربة ناجحة سوف تستمر حتى تصبح هادفة ،
ومحاولات كثيرة ربما تحدث قبل أن يحدث الأداء السليم . سوف يزيد الفهم العلمى لتوقع الأداء فى هذه المرحلة ولكن يعتمد هذا على النضج وخبرة المتعلم . سوف يجتاز بعض المتعلمين هذه المرحلة بسرعة بينما البعض الآخر سيبقى لمراحل طويلة من الوقت . والتغير البسيط فى إدراك الحركة الأساسية للمهارة أو الوسط المحيط الذى تؤدى فيه يمكن أن يتسبب فى دخول المتعلم فى هذه المرحلة .

مثال : على لاعب الجمباز :

إن تغيير إدراك الحركة الأساسية ربما يظهر عند أداء المهارة يوصلها بأخرى حيث يكون اللاعب قادراً على أداء الدورة الهوائية الخلفية المتكورة فى وقت ما إلا أنه يجد هبوط فى عناصر مستوى الأداء ، بالتدريج يتعلم وصل المهارة جديدة وبعد ذلك يدخل فى مرحلة التحكم السابقة .

كما أن التغيير فى بيئة الأداء يمكن ملاحظته فى حالة اللاعب المتقدم فى الجمباز عند أداء مهارة ما، وعلى أى حال عندما تحاول لاعبة الجمباز تنفيذ العجلة على عارضة التوازن فإن الأداء المهارى ينخفض بتوقف نقطة حيث تحدد الملاحظة أن المهارة قد علمت بصعوبة، لوجود ربود فعل طبيعية عند تعلم المهارات الطبيعية أو عند حدوث تغيير نتيجة تداخل مهارات سابقة مكتسبة.

إن تقويم أداء اللاعبين الملاحظ فى مرحلة ما قبل التحكم يجب أن يحدد بالنسبة للنمط الحركى للمهارة الكلية. وعلى المدربين تدعيم الحركات الصحيحة ولكن لا يجب عمل أى تغيير فى الأداء، لأن اللاعب ما زال مضطراً إلى تطوير معلومات عقلية أو حركية كافية عن المهارة لفهم ماذا يقصد المدرب فى الممارسة. كما يجب على المدربين فى مرحلة قبل التحكم تحديد ملاحظاتهم لتصحيح الأداء فى المرحلة الحاسمة.

- التفكير ضرورى للتقدم فى هذه المرحلة للمتعلم.
- التنفيذ المسبق المجزأ للحركة يسهل التعلم الكلى للمهارة.

كما أن التغذية الراجعة يجب ان تبرز النواحي الإيجابية لأداء التعلم. وذلك طبقاً لرأى هوفمان Hoffman (١٩٧٧م) (١٤) الذى أشار فيه إلى أن أهم متغير فى التغذية الراجعة التحكم فى الأداء والتعلم كتعليمات للنتائج وأن شكل هذه التعليمات يمكن أن يختلف ولكن فى حالة ما إذا كانت التغذية الراجعة

ذات علاقة بالجوانب الإيجابية للأداء وبعيدة عن الجوانب السلبية حيث يحدث التعلم بصورة أسرع.

٢- التحكم : Control

من لحظة قدرة المتعلم على تفهم أساسيات المهارة وقدرته على تكرارها بصورة منتظمة، فإنه يعتبر قد وصل إلى مرحلة مستوى سيطرة الاحتراف، وأداء المهارة في مستوى السيطرة يتميز بنجاح منتظم في تأدية المهارة في شكل عام منتظم.

وتفهم اللاعب للمهارة يجعله مسيطراً على جسمه ومن أهم العناصر المميزة للاعب في مرحلة التحكم هي التركيز الشديد جرهام وآخرون Graham et al. (١٩٨٠م) (١١)، ويتم الأداء نتيجة مجموعة من التفكير والتنفيذ. والتنفيذ ليس عملاً أوتوماتيكياً يعد ولكن سيتحطم بسهولة لو حدث أى تغير في الشكل أو المناخ أو أى تحركات أخرى.

عند التعامل مع اللاعب في مستوى السيطرة يجب على المدرب أن يقوى الحركات الصحيحة لهذا العمل المنتظم. ويجب أن توجه إشارات وملاحظات المدرب إلى الكلمات المفتاحية والأجزاء الحاسمة للحركة وسيكون هذا عامل مساعد جداً للمتعلم حتى يصبح أكثر فهماً واستيعاباً للمهارة. ولا يجب أن يضاف أى شئ جديد للمهارة في هذه المرحلة لأن المتعلم لم يصل بعد إلى مستوى من المهارة يسمح له بإضافات أو تعديلات جديدة.

٣- آلية الأداء : Automatic equation

أما مستوى الآلية فهو المستوى الذى عنده يستطيع اللاعب تأدية الحركات الأساسية للمهارة بطريقة آلية وعندها يحتاج إلى كمية أقل من التركيز لتنفيذ المهارة، وعند مستوى عالى من الآلية يكون الأداء تقريباً كاملاً. وعند بداية هذا المستوى قد لا يحتاج اللاعب إلى تكرار الملاحظات حيث أنه فى هذه الحالة أو المرحلة يستطيع أن يدرك أنه أخطأ بنفسه وسوف يقوم بتصحيح الخطأ من نفسه فى المحاولة التالية بدون تنبيه من المدرب. يستطيع المدرب فى هذه المرحلة أيضاً التنبيه إلى التفاصيل الصغيرة للمهارة مثل وضع الجسم والتوقيت والقوة المستخدمة وليس فى الشكل العام للمهارة ومهمة المدرب فى هذه المرحلة هو التوجيه إلى الأشياء الجيدة والإيجابية فى المهارة مع الأخطاء إن وجدت أيضاً. ويمكن إضافة بعض المهارات فى هذه المرحلة مثل تغيير وضع الدخول أو وضع الخروج بطريقة سهلة مع إضافة أشياء للروتين المتبع. وقد يكون اللاعب احترف مهارة معينة على جهاز العقلة ولكنه لا يستطيع تنفيذها بنفس المستوى على جهاز المتوازيين أو على جهاز الحلق. وتنفيذ المهارة فى هذه المرحلة لا يستوجب بالضرورة ظهوره فى صورة متألفة ولكن بمستوى كفاءة يكفى لمستوى متوسط من المنافسة.

٤- التقدم المهارى : Proficiency

المرحلة النهائية للتقدم العملى للمهارة ليس من الضرورة أن يصل إليه كل لاعب فى كل المهارات. ولكن فقط القمم الدولية من المتنافسين هم الذين سيصلون إلى هذه النوعية من الأداء فى كل مهارات أدائه. ولكن معظم

اللاعبين سيصلون إلى هذا المستوى فى بعض المهارات بمستوى عالى جداً من الإتقان وتنفيذه فى مواقف وطرق مختلفة.

التغير المفاجئ فى البيئة أو المكان يمكن التغلب عليه بسهولة دون أى تأثير على تنفيذ المهارة. ولايتأثر اللاعب فى المستوى بأى مؤثرات خارجية.

ويصل اللاعب إلى هذا المستوى بتحقيق بتطور جسمانى مطلوب لكل عنصر عند مستوى التحكم أو التعامل. ويمكن التغلب على مشكلة المرونة بالقوة والعكس صحيح. ويصل هؤلاء اللاعبون إلى أعلى مستوى لهم بسرعة أكبر من توقعاتهم. ومن أهم أسباب التعرف على الأخطاء وتصليحها هى التعرف على نواحى نقص الإمكانيات الجسمانية اللازمة لتنفيذ المهارات الممكنة، ويجب على المدرب أن يدرك أهمية ملاحظة وتحليل الاحتياجات الجسمانية مثل ما يحدث مع الأشياء الحركية التكنيكية. إن إهمال أى من النواحى الجسمانية والتكنيكية لن يساعد على الوصول إلى النتائج المطلوبة.

الخلاصة :

إن التحليل النوعى للمهارة من أهم الأدوات للمدرب الذى عن طريقه يستطيع تقويم الأداء وتعليم مهارات جديدة للاعب. وعملية الإعداد المهارى ستساعد المدرب على التعرف على أهم الجوانب المتضمنة لتنفيذ المهارة. ومعرفة النواحى الحاسمة فى المهارة ستعطى المدرب أهم المعلومات عن أداء المهارة. والإعداد للتخطيط سيساعد المدرب على التركيز على مفاتيح الأداء

المختلفة وذلك سيوفر الوقت والجهد وسيصل باللاعب لأدق الملاحظات على أدائه. هذا ويمكن استخدام التحليل النوعي (الوصفي) على كل المستويات والمدرّب الذي يخطط ويعلم ويفهم المستويات المختلفة للاعب سوف يكون أكثر كفاءة.

المراجع

- ١- عادل عبد البصير على : (١٩٩٧م)، الميكانيكا الحيوية في تكنيك الحركات الرياضية، المؤلف، كلية التربية الرياضية ببورسعيد، (١٦٩-١٨٣).
- 2- Arnold, R.K. : (1978), Optimizing skill learning, match the environment, JOPER 49(9).
- 3- Barrett, K.R. : (1979), Observations for teaching and coaching, Journal of Physical education, Recreation, and Dance. 50(1), (23-25).
- 4- Barrett, K.R. : (1979), Observation of movement for teachers: a synthesis and implications, Motor skills: Theory into practice, 3(2), (67-76).

- 5- _____ : (1983), A hypothetic model of observation as a teaching skill. The Journal of teaching in physical education, 34(1), (22-31).
- 6- Bedingfield, E.W. & McPherson : (1964), Biomechanics: qualitative analysis, (Videotape). Edmonton: University of Alberta.
- 7- Cooper, J.M.m Adrian, M. & Glassow, R.B. : (1989), Kinesiology, St. Louis, C.V. Mosby.
- 8- Daniels, D.B. & Winter, W.G. : (1983), Integrating basic movements: an approach to teaching physical skills, the Runner, 80(4), (10-13).
- 9- Daniels, D.B. : (1985), Taking a closer look at errors, Unpublished article.
- 10- Gangstead, S.K. & Beveridge, S.K. : (1984), The implementation and evaluation of a methodological approach to qualitative sport skill analysis instruction, the Journal of teaching in physical education, 3(2). (6-70).

- 11- Graham, G., : (1980), Children moving: a
Holthale, S.A., reflective approach to teaching
McEwen, T. & physical education, Palo Alta:
Parker, M. Mayfield Publishing.
- 12- Hay J.G. & : (1982), The anatomical and
Reid, J.G. mechanical bases of human motion.
Englewood-Cliffs, Prentice-Hall.
- 13- Hensley, L.D. : (1983), Biomechanical analysis.
Journal of physical education.
Recreation and dance, . 54(8),(21-23).
- 14- Hoffman, S.J. : (1977), Observing and reporting an
learner responses: the teacher as a
reliable feedback agent.
NAPECW/NCPEAM proceedings,
(153-130).
- 15- Kreighbaum, E., & : (1985), Biomechanics: A qualitative
Barthels, K.M. approach for studying human
movement, Minneapolis: Burgess
Publishing.

- 16- Norman, R.W. : (1975), Biomechanics for the community coach. J. Physic. Ed. and Recre., 46(3), 49-52.
- 17- Stenley, S. : (1969), Physical education: a movement orientation, Toronto: McGraw-Hill.

الفصل الثالث

التطور الحديث فى التجهيزات وطرق البحث فى الدراسات البيوميكانيكية

Recent advances in instrumentation and methodology
of biomechanical studies

أولاً : مقياس الإزاحة لأعضاء الجسم

Measurement of the displacement of body segments

ثانياً : اكتشافات البصريات الالكترونية

Optoelectronic devices

ثالثاً : البحث الآلى بصورة التليفزيون

Automatic scanning of television image

رابعاً : النظم المؤسسية على الليزر

Laser- based systems

خامساً : التأثير الجانبى لتصوير الصمام الثنائى

The later photo effect of diodes

سادساً : تحديد العجلة

Determination of acceleration

سابعاً : النماذج الرياضية

Mathematical models

الفصل الثالث

التطور الحديث فى التجهيزات وطرق البحث فى الدراسات البيوميكانيكية

Recent advances in instrumentation and methodology
of biomechanical studies

تهدف هذه الدراسة المرجعية إلى (١) فحص تحديث العمليات فى مجالات محددة لاستخدام التجهيزات والإجراءات التى عممت فى معظم مجالات الدراسة البيوميكانيكية، (٢) ما هى النتيجة الطبيعية للهدف الأول، وتكهنها باتجاهات المستقبل وسوف يكون هذا نتيجة مباشرة لتمائل المجالات سواء كانت راكدة أو بطيئة، (٣) رد الفعل الفلسفى إلى حد ما الذى يدور حول الهدف وتؤكد التجارب البيوميكانيكية.

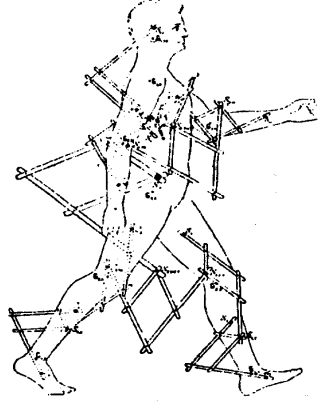
وحيث أننى لست مهندساً أستطيع أن أبذل جهداً حول إثارة موضوع استخدام التجهيزات وأمل فى النهاية على الأقل أن أثير الجدل حولها.

أولاً : مقياس الإزاحة لأعضاء الجسم :

Measurement of the displacement of body segments

فى بعض الأحيان لا يعد مبدأ هاماً الرجوع إلى القاعدة الأولى لكيلفين Kelvin للتجهيزات، أقر كل من جيدز Geddes، وباكير Baker (١٩٦٨م) (١٧) أن تجهيز المقياس يجب أن لا يعدل النشاط المقاس بأى حال من الأحوال.

ولتوضيح ذلك نضرب المثال التالي، تخيل أحد الأفراد أن التجربة في الشكل (١-٣) تعرض تعارض تام لهذا المبدئ. منذ ٧٠ عاماً تقريباً فاجاً فيك Fick وضع هذا المفحوص، والذي خدع الفرد بربطه بقاعدة كيلفين، وهو بالضبط مثل نفس الوضع الآن حيث يمتلك تكتيك ممتاز لتحديد موضع مركز الجاذبية والذي يمثل لقاعدة كيلفين، ولكن ظل تحت البحث من أجل طرق أخرى تؤدي إلى تكتيك أفضل - التي تكون بلا شك التصوير السينمائي.



شكل (١-٣)

الاكتشاف المستخدم عن طريق Fick لتحديد وضع
مركز ثقل الجسم كله خلال الحركة

ربما يكون التصوير السينمائي بالسرعات العالية أكثر استخداماً كأداة في الأبحاث البيوميكانيكية وليس هناك أي تساؤل على أنه يمكن أن يكون أداة قياس صادقة ذات فاعلية ونافعة ومحكمة. كذلك ليس هناك شك على كونه

مكلف، على نحو نظام (الغلق والتشغيل) مع التغذية الراجعة للمفحوص، وأخيراً تكنيك مفيد لمتابعة بيانات الإزاحة ولا ينفىها. والنقطة الأخيرة ربما تكون العامل الذى يحسن معظم مدى جميع التجارب البيوميكانيكية.

وعلى سبيل المثال نحن لم نرى على الإطلاق التجربة التى فيها تذبذب رأسى لمركز ثقل الجاذبية خلال الجرى أو المشى عند اعطاء السرعة المنتجة كنموذج متوسط من خمس دورات بحدود ثقة ثابتة. من أجل حدود إجراءات بحوثنا نحن نسمح لأنفسنا بالمرونة تجريبياً عند العمل فى مجالات أخرى لا تجاز لنا. نأخذ مثلاً الحديث عن فسيولوجية الأعصاب Neurophysiology، من الصعب تصور الورقة الدراسية التى تبنى على الاستجابة لإثارة مفردة بدون حساب المتوسط العابر لمثيرات متعددة ولا عجب إذن من أن العديد من الباحثين، منهم مارى Mary كرس انتباهه نحو تبادل الطرق من أجل التسجيل المباشر للحركة.

ثانياً : اكتشافات البصريات الالكترونية : Optoelectric devices

الجهود الأكبر فى البحث والتطوير من أجل تكنيكات لتحل محل التصوير السينمائي كانت فى مجال الاكتشافات البصرية الالكترونية. يمكن تحديد أربعة أنواع رئيسية لهذه الاكتشافات: (١) جينوميتر الاستقطاب الضوئى Polarized light goniometry، (٢) البحث الآلى للتليفزيون Automatic scanning of television، (٣) النظم المؤسسة على الليزر Laser-based system، (٤) الاكتشافات المستخدمة لتأثير الصمامات الثنائية الضوئية الجانبية.

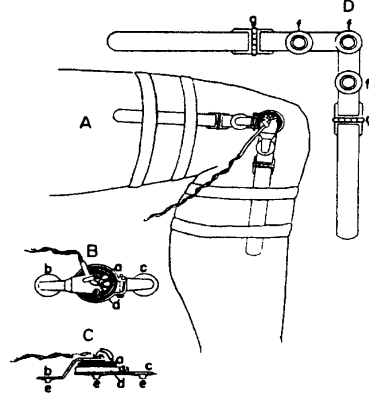
(١) الجنيوميتر الضوئي : Polarized light goniometry

التقرير الأول عن جراف (Grue ١٩٦٩م)، والتقارير المتتالية عن ريد (Reed)، وريونولز (Reynolds ١٩٦٩م) وميتشيلسون (Mitchelson ١٩٧٣م)، عن فنية الجنيوميتر الضوئي الذى أصبح معروفاً كمصطلح بولجون (Polgon) يفيد فى قياس الزوايا. المجال الذى فيه الهدف المتحرك يضاء عن طريق مستوى الاستقطاب الضوئي شكل (٣-٢) الناتج بواسطة مسار الضوء المواد من مصدر D-C من خلال منقى الاستقطاب الضوئي ويركز عن طريق مستوى عاكس الصورة للعدسات- ولم يعرض فى الشكل. كل منقى ضوئي مكون من زوج من الخلايا الضوئية المتماثل مغطى بواسطة انسياب منقى استقطاب، ولكن مع تعامد محور المنقيين كل واحد على الآخر، يدور مستوى مصدر المستقطب الضوئي بسرعة زاوية ثابتة، كل دورة كاملة تولد ومضة مرجعية من الخلية الضوئية بالقرب من مكان القرص الدائر. الزمن من إثارة هذه الومضة إلى اللحظة عندما كلا الخليتين تتعادل إضاءتهما يمكن تحويلها إلى مقياس زاوى. عندما تكون السرعة الزاوية للقرص معروفة. الخصوصيات الخطية المعطاة عن طريق الباحثين مداها من ٠,١٦ إلى ١,٦ فى المائة من FSD عندما مستويات القرص الدائر وانسياب غطاء المقوم يكونان متوازيين. منذ ظهورها منذ حوالى ستة سنين، أبحاث قليلة تمت لتقدم هذا التكنيك الجديد الهام للقياس الزاوى. ومع ذلك منذ الاكتشافات حتى الآن ممكن انتشارها وربما يكون مؤشراً لفاعليتها فى المستقبل عن طريق اتساع الاختيارات.

ثالثاً : البحث الآلي لصورة التلفيزيون :

Automatic scanning of television image

فى السنوات الماضية تقدم بسرعة التحليل الآلى للصورة ومقدرة العاملين فى المجالات المختلفة مثل علم أمراض الخلية Pathology cell ونظم السلاح الآلية السابقة المتجهة نحو التحليل. وينتر Winter، وجرينلو Greenlaw وهوبسون Hobson (١٩٧٢م) وضعوا نظام التلفيزيون والحاسب الآلى الذى له وجود تطبيقي فى المجموعة العلاجية من أجل التحليل الكينماتيكي للخطوة وينتر وآخرون Winter et al. (١٩٧٤م). التنسيق الأقصى لشريط تسجيل الفيديو لأى شئ مقاس قطر علاقته ٤سم وصنع عند معدل ٦٠ مجال فى الثانية من كاميرا متحركة ببطاقة تتابع. الحصة لكل مجال الذى فيه تخرج بصورة الشئ رقمت على التوالى.



شكل (٢-٣)

رسم تخطيطى للبوليجون Polygon (عن Mitchelson (١٩٧٣م))

والنتائج فى المصفوفة المزدوجة ٩٦×٩٦- طور التحليل عن طريق متوسط الإحداثيات x, y لكل ٠,١ ث فى العرض والوضع المطلق فى لمستويين الفراغين المنجز عن طريق عمل الإحداثيين لعلامات الطرف منسوبة إلى العلامات الخارجية الثابتة. أيضاً البحث الآلى للفيلم السينمائى حاول فيه كل من كازفاد Kasvand، ميلنر Milner، رابلى Rapley (١٩٧١م)، التقدم فى شريط الفيديو لم يبدد وكانت العودة حول الزمن سريعة، الذى جعلها نموذج من أجل البيئة الخارجية العلاجية.

ومع ذلك، التقدم الفنى فى التلفزيون الذى بدأ من هذا الوسط، نفس التحليل، الخطية والبيانات، معدلات الحصول عليها كما فى الفيلم السينمائى، طور بطئها وتبدد غلول الحصول عليها (١٦).

رابعاً : النظم المؤسسة على الليزر : Laser- based systems

تقارير ميتشليسون Mitchelson (١٩٧٥م) عن مفاهيم تصميم الاكتشاف المؤسس على الليزر التى سماها CODA (التصوير الضوئى الديناميكى الأنثروبوميترى المتعامد) Cartesian Optoelectronic Dynamic Anthropometric. أوضاع حقن الجاليوم والزرنيخ بالليزر أدى إلى احساس حركة الهدف عن طريق المكشافات المشتملة على تنظيمات تصوير الصمام الثنائى المغطى بالوير الرمادى الغطاء البصرى. استخدمت الاسطوانات البصرية فى الثلاث مكشافات من حيث الحل النظرى ١ : ٤,٠٠٠ بدفع الإحداثيات فى الثلاث اتجاهات. حيث أنه حتى الآن لم تكتشف الحقيقة،

يمكن تحديد الأداء إذا تمكن التصميم من مقابلة خصوصية الوسط القادر المفيد
فى بحث الميكانيكا الحيوية (١٦).

خامساً : تصوير تأثير الصمام الجانبى الثانى :

The lateral photo effect of Diodes

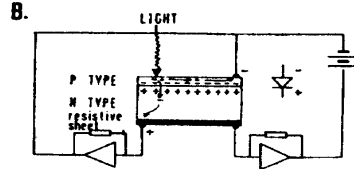
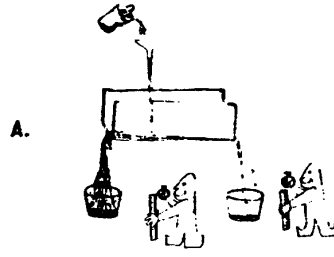
إن امتلاك التطور فى الطبيعة النووية أدى إلى تكيف الطرق الفنية،
ليندهولم Lindholm (١٩٧٤م) وصف اكتشاف جديد للبصريات الالكترونية
من أجل قياس الإزاحة التى سماها Delspot. بينما كانت تفاصيل تكنيك
ليندهولم ناقصة، عرض ولترينج Woltring (١٩٧٤م) مناقشة شاملة لأشكال
متباينة لقياس الزمن الحقيقى لتسليط ضوء الوضع ومن عمله أخذت معظم
المناقشات المتتابعة.

والحديث عن الهيدروليك للتأثير الجانبى الضوئى، وإعادة الرسم عن
ولترينج Woltring فى الشكل (٣-٣أ) يشير إلى أن اعتماداً على الوضع
الجانبى لسقوط الماء، اختلافات معدلات التدفق سوف تضبط عن طريق
استخدامين عن طريق مقارنة تُظهر أنهم قادرين على تحديد وضع الماء
الساقط. ويكون هذا مبدئياً مختلفاً من عملية الصمام الثنائى العادى إلى التيار
الكلى المتدفق المقاس عبر وصل ال-P-n، حيث فى مثل هذه الحالة الاختلاف
بين التيار الخالص عكس نهايات نفس الخط المركز فيه. التمثيل المبسط
الحقيقى للصمام الثنائى فى اتجاه واحد (شكل ٣-٣ب)، يشير إلى انحراف
عكس التوصيل وبالإضافة إلى غطاء مقاومة المادة أسفل نوع الطبقة n. تخليق

الصور الساقطة الكترونياً- عمق الخط عند سطح نوع مادة p. يرتد الالكترون عبر انحراف عكس التوصيل ويظهر كتيار متدفق فى نهاية طرفى العرض. الاختلاف فى التيار المتدفق من الوصلتين على صفحة المقاومة تكون على مستوى واحد مرتبطة بوضع سقوط الضوء.

الخصائص الفردية المناسبة للوضع تكون إذن مناسبة للاستخدام المباشر أو للتحليل. يمكن تحقيق الوضوح للتيار بين ١ : ٥٠٠ ، ١ : ١٠٠٠.

يتضح من هذه الدراسة المسحية المختصرة للاكتشافات البصرية الالكترونية Optoelectric devices أن المجال متسع لأى فرد لتطوير دقة الاكتشافات البصرية الالكترونية، فى هذا الجو، غالباً الحكم على العمل صعب بسبب السرعة التى معها ربما تتغير الخصوصيات وبسبب الخوف من شراء النموذج الأسمى المكتشف. من الضروري عند هذه الحالة المبكرة لتصنيع كل اكتشاف ننصح بتحسين الدقة الخاصة بتلك النظم لدرجة أن المجهريون يمكنهم تحديد قيمة الأداء وثبات تباين النظم. يبدو أن تشابه بعض مكونات نظم البصريات الالكترونية أخيراً سوف تحل محل كاميرة السينما بخاصة فى الدراسات العملية حيث أن إحراز مصادر الحساسية الصغيرة سوف لا تكون مفيدة. وأخيراً نوع الاكتشاف بالضبط الذى سوف لا يحسن يكون أكثر عرضة للتبديل ويبقى أكثر عرضة للتساؤل.



شكل (٣-٣)

القياس الهيدروليكي لتصوير تأثير الصمام الجانبي الثنائي

سادساً : تحديد العجلة : Determination of acceleration

المشكلة المستمرة في إجراءات البحث في الميكانيكا الحيوية هي تحديد العجلة الخطية والعجلة الزاوية لأعضاء جسم الإنسان من بيانات الإزاحة-الزمن.

نحن نقيس الحركات غالباً بالتركيز فقط على تجهيز المسار من أجل حساب العجلات وبالتالي القوى والعزوم. تكرار استخدام هذا المسار أيضاً، شكوك في قواعده النظرية.

المجالات المتعددة للتخليق والمصاحبة لعمليات التهذيب ربما تظل أضعف حلقات سلسلة التطبيق لتحليل حركة جسم الإنسان. سيكون من الصعب إيجاد محلل عددي يتغاضى عن عملية عددية مزدوجة التفاضل مع كمية معلومات صغيرة التى يُمكننا من توفير ما يتعلق بخصائص الإشارة وخصائص التشويش الذى يعرض دائماً. تطلب الحالة فى بعض المواقف القياسية المشابهة تصميم هندسى كهربى معين لمستقبل من أجل إشارة راديو معينة بدون إبلاغه بتكرار النقل. وأعتقد أن هذا مجال آخر حيث يوجد قصور فى العملية ولذلك أيضاً نستخدم تكنيكات بدون أى قاعدة نظرية وبالطريقة التى لم تجاز فى مجالات علمية أخرى (١٦).

هناك سؤالين أساسيين يجب أن نستوضحهما عندما نستخدم بيانات الإزاحة- الزمن من أى مصدر من أجل توالى التحليل العددي. وهذين السؤالين هما :

- ١- كيف سيكون معدل سرعة العينة ؟
- ٢- أى تكنيكات للتهذيب والتفاضل سوف تستخدم ؟

دراسة مسحية لمعدلات الإطارات المستخدمة في مختلف الدراسات

الباحث	السنة	الغرض	سرعة الإطار (الصور في الثانية)
ايلفتمان Elfitman	(١٩٣٩م)	كيناتيكا الجرى	*٣٣
بيرنشتاين Bernstein	(١٩٦٧م)	بيوديناميكا الجرى	١٩٠-٦٠
بريزلير و فرانكل Bresler & Frankel	(١٩٥٠م)	كيناتيكا المشى	٤٠
موريس Morrison	(١٩٧٠م)	كيناتيكا الحركة	٥٠
بلاجنهوف Plagenhoef	(١٩٧١م)	الحركة العامة للجسم	٦٠
رامى Ramey	(١٩٧٣م)	كمية الحركة الزاوية (الوثب الطويل)	٥٠
ميلير Miller	(١٩٧٠م)	كمية الحركة الزاوية (الغطس)	*٣٣
ايريل Ariel	(١٩٧٤م)	قوة مفصل الركبة	*١٦

تشير العلامة * إلى أن معدل جمع البيانات كان أسرع ولكن لم يستخدم كل إطار من أجل التحليل.

ليس من العدل القول أن الإجابة على كلا السؤالين نحصل عليها من قاعدة إتمام التحكم عن طريق معظم الباحثين في الميكانيكا الحيوية. توضح الدراسة المسحية المعروضة في الجدول (٣-١) أن هناك تباين في معدلات العينات حيث أن المدى من ١٦ كادر/ث.

استخدم فى دراسة اريل (١٩٧٤م) لحساب القوى عند مفصل الركبة خلال الجلوس على أربع إلى أكثر من ١٩٠ كادر/ث المستخدمة فى دراسة بيرنشتاين Bernstein (١٩٦٧م) لدراسة قوى رد فعل الأرض فى المشى. إعادة تمثيل استمرار البيانات عن طريق فصل العتبات حفظ عن طريق نظرية العينة لشانون Shannon، حيث تخص ما عرف كمعدل نيكويست Nyquist، التكرار الأدنى للعينة يمكن حدوثه إذا أعيد تركيب الإشارة الأصلية من فصل العينات. لتحديد هذا التكرار الأدنى من الضرورى معرفة اتساع الشويط الذى يحتوى على معظم التكرار الهام لمركبات الإشارة. يجب أن يكون عمل المحاولة عند تحديد الأنواع المتباينة للحركات فى مصطلحات التكرار الطيفى لدرجة أن أكثر تكوين لاختيار معدلات البيانات المكتسبة يمكن عمله. عزل الأمثلة يعمل على احياء المرجع، على سبيل المثال أشار وينتر وآخرون Winter et al. (١٩٧٤م) إلى أن نسبة ٩٩,٧% من إشارة القدرة لعلامة كعب القدم خلال الخطوة العادية كانت تحت التوافق الثامن فى الدورة ١,٤ ثانية تقريباً. وسوف تُبنى أكثر البيانات لهذه الحالة على تأسيس مناقشة معدل الكادر. المجال الثانى لتهديب وتفاضل البيانات يكون، لو أى شئ، أكثر تحكماً من معدل اختيار الكادر. تستخدم ثلاث طرق شائعة تشتمل على :

(أ) الملاءمة لأقل مربع منفرد متعدد الحدود لكل نقاط البيانات الممكنة عن بلاجيهورف Plagenhoef (١٩٧١م) وعمل المشتقات التحليلية للمنحنى الحاصلين عليه.

(ب) المطابقة المنطقية مثل تكنيك شريحة المكعب.

(ج) متوسط الوزن الحركى أو طريقة التهديب الرقمية.

عن لانستروز (١٩٥٧م)، ويلكوك Wilcock، وكيرزير Kirsner)
(١٩٦٩م)، بيزاك Pezzack، نورمان Norman، وينتر Winter (١٩٧٥م).
من المهم مع تعدد المطابقة الفردية تحقيق أن اختيار درجة التعدد تقريباً
مباشرة ترتب المدى حيث ربما لا يكون بالقدر الكافي على تكوين منحني
العجلة- الزمن. مبدئياً هذه النقطة ربما يبدو أهملت عن طريق كثير من
الباحثين. عموماً، سيظهر أن متوسط الحركة والمطابقة المنطقية للتجزئة مدخل
لحل أصغر تركيبات لبيانات الإزاحة، بدون استخدام التعدد غير الواقعي لأعلى
درجة. ويظل هناك خطورة لزيادة التهذيب كطريقة ويلكوك وكيرزير
(١٩٦٩م) كنموذج لذلك. النقطة - تسعة لثاني مشتقة للمنقى على سبيل المثال،
كذلك النقطة 3-dB تقريباً عند 3-4Hz عند معدل إطار ٥٠ إطار في الثانية.

بناء على ما سبق تظهر الحاجة إلى الانتباه في مجال التهذيب
والمفاضلة المستخدم للمعلومات الأولية تبعاً لخصائص واحصائية خواص خطأ
القياس أو التشويش. ميكانيكية نظرية وسائل الاتصال تعرض كيف يمكن أن
يكون تباين بيانات التشويش. محدودة في المنقى الرقمي لتحسين التنبؤ بعملية
التهذيب موريس (١٩٦٩م). وسوف يعود هذا على تحسين التنبؤ بالعجلة ويقود
إلى تقديرات أفضل للقوة.

سابعا : النمادج الرياضية : Mathematical models

مع الزيادة العريضة لاستخدام الحسوب الرقوى فى أبحاث الميكانيكية الحيوية، أصبح فى الإمكان إجراء حسابات متعددة لبيانات أجزاء الجسم بسرعة وبدقة.

قدرات الحسوب امتلكت كذلك الاقتصاد فى تطور النمادج الرياضية للجسم. خصائص كل نموذج توظف أى عدد لتبسيط المسلمات تبعاً لتركيب ووظيفة الجسم. عادة المفاصل اعتبرت عديمة الاحتكاك وغضروفية. اراحة الدم والأنسجة الرخوية لم تلاحظ كأجزاء وتم التسليم بأنها أجسام صلبة متجانسة لبساطة شكلها الهندسى. اليدين والقدمين وصفوا كأعضاء منفردة. نتيجة لمناقشة دراسات كل من براون Brown وفيشر Fischer (١٨٨٩م)، فيشر (١٩٠٦م) (١٠)، وديمبستر Dempester (١٩٥٥بم) (٧). تم استنباط بيانات عن نسب كتل الأجزاء. وزن الجسم بارتباطه بمجموعة القياسات الأنثروبومترية لفرد جهزت بمعلومات ضرورية لتحديد أطوال الأعضاء، وأعراضها وكتلها. من أجل تبسيط الشكل الهندسى لأجزاء الجسم وجعلها مثالية، أصبحت العمليات الرياضية لتحديد مركز ثقل كتلة الجسم وعزوم القصور الذاتى الأساسية تسير نحو التقدم.

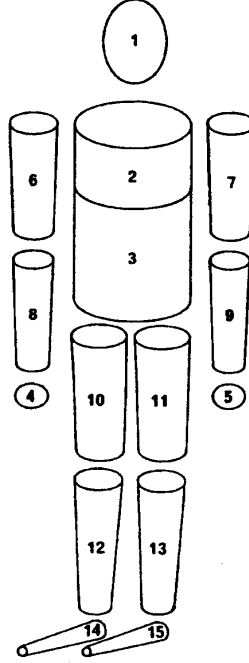
أول محاولة لوصف اصطلاح نمذجة الجسم تمت عن طريق كولوبكى Kulwicki وشلى Schlei (١٩٦٢م) (١٣). وتكون نمذجة الجسم من ستة اسطوانات دائرية تمثل الذراعين arms، الرجلين legs، والجذع torso.

البارميترات العضوية التي تم الحصول عليها من دراسة ديمبستر (١٩٥٥م)، ٥٠% من البيانات من مسح ١٩٥٠ شخص أمريكي والمعلومات من قسم الأنثروبولوجي لمكتبة أكاديمية أبحاث الفضاء لقاعدة القوة الجوية برايت باترستون. مع ذلك، النموذج لم يكن مؤكد دقته ولكن طور ليناسب الرجال بنسب مختلفة.

دراسة ويتست Whitestt (١٩٦٣م) (٢٢) للخصائص الديناميكية للرجال في حالة تساوى قوة الجاذبية صفر. النموذج الرياضى لجسم يتكون من ١٤ وصلة صلبة، وأعضاء متجانسة لها أشكال هندسية بسيطة. اعتبر أن النموذج معلق بالمفاصل وامتلك ٢٤ درجة حرية. حدد بارثير Barter (١٩٥٧م) (١) معادلات انحدار كتل كل الأعضاء فيما عدا الرأس والجذع بينما بيانات ديمبستر (١٩٥٥م) وظفت من أحل متوسط الكثافات العضوية كمثال لموضع مراكز الكتلة للطرف العلوى والسفلى للذراعين والرجلين، ومركز كتلة الأعضاء الأخرى حدد بنصف المسافة لمحاورها الطولية للقياسات الأساسية الخاصة للأبعاد العضوية للأفراد.

حدد ويتست نسبة مساهمة اصطلاح الوضع والانتقال في عزم القصور الذاتى للأعضاء حول محورها المار بمركز كتلة الجسم ووجد اصطلاح الوضع مهمل بالنسبة لليدين والقدمين والساعدين. تبعاً لهذه القواعد، ركب نظام مبسط لتحديد عزم القصور الذاتى للجسم كله والذى أهمل التغيرات في مصطلح الوضع للسنة أعضاء هذا فضلاً عن اشتماله فقط لاصطلاح انتقاله، ولم يعطى صدق تجريبي للنموذج.

اكتشف هانافان Hanavan (١٩٦٤م) (١١) نموذج لحساب ١٥ عضو للجسم. الرأس كسطح بيضاوى مفرغ، أعلى وأسفل الجذع كاسطوانة بيضاوية مستقيمة واليدين شكل مستدير صلب كما فى شكل (٣-٤). وباقى أعضاء الجسم اسطوانات مخروطية قائمة. حدد ٢٥ مستوى للقياسات الأنثروبومترية الضرورية للأطوال والأقطار الفردية العينة.



شكل (٣-٤)

التمثيل الرياضى للجسم (عن النموذج الرياضى للجسم لهانافان)

وظف بارتير (١٩٥٧م) معادلات انحدار تقريبية لكل الأعضاء استخدم هانافان المعلومات عن الكتل، والأبعاد، والخصائص الهندسية للأعضاء النمذجية (المثالية) لحساب عزوم القصور الذاتى لها وموضع مركز ثقل الكتلة لها أيضاً. النموذج خصص ليشمل أبعاد أى فرد يمكن استخدامها كمدخلات فى البرنامج ومطابقة للبيانات المحسوبة لعضو الجسم.

حيث أن الموضوعية الرئيسية لهانافان كانت لتحديد خصائص القصور الذاتى للجسم كله فى أوضاع متنوعة ومختلفة، برنامج الحاسب الآلى الخاص به لم يخرج بيانات فردية عن الأعضاء. مع ذلك هذه المعلومات يمكن الحصول عليها عن طريق تدوير النظام الذى يحسب تلك البارامترات وادماج تناسق حالات المدخلات والمخرجات. فى الإمكان إجراء تعديلات أخرى أيضاً.

قام هانافان بإجراء مقارنة نتائج الحاسب الآلى بتلك التى حصل عليها تجريبياً من ٦٦ فرد سانتس وآخرون. Santsch et al. (١٩٦٣م) (١٨) للحصول على صدق نموذج. واستخلص أنه بصفة عامة، التنبؤ بموضع مركز ثقل كتلة الجسم كله من خلال ٠,٧ ياردة من القيم التجريبية، مع خصوصية المطابقة الحسنة المحفوظة بين الإحداثيات الرأسية. ظهرت أكبر التناقضات فى نتائج اليدين والقدمين فى القصور الذاتى. ومع ذلك هذا التناقض تأثيره غير مؤثر فى الحسابات حيث أن عزمها تقريباً صغير عندما يقارن بعزوم الأعضاء الأخرى بالإضافة إلى أن كلا اليدين والقدمين، مصطلح

الانتقال في المحور الموازي نظرياً مسلم به أكثر دلالة احصائياً من فعل مصطلح الأوضاع. في المتوسط، التنبؤ بعزم القصور من خلال ١٠% للمعيار. مبادئ نموذج هانافان اتسع بحث تطبيقها كمعوقات عن طريق مناقشتها في الدراسات بواسطة ماك كرانك McCrank وسيجير Seger (١٩٦٤م)، وسميث Smith وكانى Kane (١٩٦٧م) (٢٠)، ريدل Riddle وكانى Kane (١٩٦٨م) (١٧)، شير Scher وكانى (١٩٦٩م) (١٩)، وميلر Miller (١٩٧٠م) (١٦).

سنة (١٩٦٥م) تيير Tieber وليندموث Lindemuth (٢١) أدمجوا تعديلات متعددة على نموذج هانافان محاولين تحسين معوقات دقته. استخدموا مجموعة جديدة من معادلات الانحدار من أجل تقدير وزن العضو، كما في الجدول (٢-٣). تلك التصورات زادت متطلبات المدخلات عن طريق إضافة السن وأكثر من قياسين للمقاييس الجسمية إلى أصل اشتراطات الخمسة وعشرون لهانافان.

التمثيل النموذجي الرياضى للجسم كله يكون نافعاً تقريباً لاتفاق الدراسات مع التحليل الكيناتيكي للرياضة. ويملك التمثيل النموذجي الرياضى ميزة تجعله قادراً على تحديد الخصائص البيوميكانيكية لجميع الأعضاء مبنية على قياسات أنثروبومترية قليلة وسهل الحصول عليها من الفرد. وهو أيضاً يؤدي إلى سرعة ودقة طرائق الحسابات الضرورية للأداء. هذا التكنيك لتقدير بارامترات أعضاء الجسم نفذ عملياً على عدد كبير من الأفراد وأمكن اتخاذ

الإجراءات المتعلقة بعزم القصور الذاتي غير الممكنة من المصادر الأخرى. الحقيقة أن علاقات توزيع الكتلة المكتشفة من نسبة عينة صغيرة من الجثث يجب حفظها في الذاكرة. الدراسات الحديثة لكلاوسير Clauser ومساعديه (١٩٦٩م) (٥) ساعدت بمعلومات كثيرة عن نسب تلك الكتلة العضوية وعن مواضع مركز ثقل الكتلة. ونتوقع في المستقبل أن النماذج سوف تدمج تلك البيانات جيداً مع المعلومات الأخرى لهذه الحقيقة حيث تصبح تكرارها في البحث متاح.

جدول (٢-٣)

نسب أوزان الأجزاء بالنسبة لوزن الجسم كله

وزن العضو (Ib)	العضو
٠,٢٨ وزن الجسم (W) - ٦,٣٥٤	الرأس
٠,٥٥٢ - W ٦,٤١٨	الجذع
٠,٠٥٩ + W ٠,٨٦٢	العضدين
٠,٠٢٦ + W ٠,٨٥	الساعدين
٠,٠٠٩ + W ٠,٥٣	اليدين
٠,٢٣٩ + W ٤,٨٤٤	الفخذين
٠,٠٦٧ + W ٢,٨٤٦	الساقين
٠,٠١٦ + W ١,٨٢٦	القدمين

References المراجع

- 1- Barter, J.T. (1957), Estimation of the mass of body segments, Wright-Patterson Air Force Base, Ohio, (WADC TR 57-260).
- 2- Bernstein, J. : (1954), Calculation of the body surface area by photogrametry, Scand. J. Clin., Lab. Invest., 6, 322-324.
- 3- Braune, W., and Fischer, D. : (1889), uber den schwerpunkt des wienschlichen korpers mit rucksicht auf die ausrustung des deutschen lanfanteristen, Abh. D, Math, Phys. C./ d. D. Sachs, Gesselsch, der Wiss, 26, 561-572.
- 4- Clauser, C.E. et al. : (1972), Anthropometry of Air force women, Wright-Patterson, Air Force Base, Ohio, (AMRL-TDR, 72-5).

- 5- Clauser, C.E., : (1969), Weight, volume, and
McConville, J.T., center of mass of segments of the
And Young, J.W. human body, Wright-Patterson Air
Force Base, Ohio, (AMRL TDR,
69-70).
- 6- Dempster, W.T. : (1961), Free body diagrams as an
approach to the mechanics of
human posture and motion. In E.G.
Evans (Ed.), Biomechanical
studies of the musculo-skeletal
systems, Sprungfield, III, C.C.
Thomas.
- 7- _____ : (1955a), Space requirements of the
seated operation, Wright-Patterson,
Air Force Base, Ohio, (WADC TR
55-159).
- 8- _____ : (1955b), The anthropometry of
body action, Ann. N.Y. Acad. Sci.,
63, 559-585.

- 9- Dempster, W.T., Sherr, L.A., and Priest, I.G. : (1964), Conversion scales for estimating humeral and femoral length and the lengths of functional segments in the limbs of American Caucasoid Males. Hum., Bio., 36, 246-202.
- 10- Fischer, O. : (1906), Theoretische Grundlagen fur eine mechanik der lebenden korper nit speziellen anwendungen auf den menschen sowie auf eenige, beweguns vorgange un maschinen, Leipzig: Tuebner.
- 11- Hanavan, E.P. : (1964), A mathematical model of the human body, Wright-Patterson Air force base, Ohio, (AMRL-TR 54-102).
- 12- Harless, E. : (1962), The static moments of the component masses of the human body, Wright-Patterson Air Force Base, FTD, TT 61-295).

- 13- Kulwicki, P.V., : (1962), Weightless man: self rotation
And Schlei, E.J. techniques, Wright-Patterson Air
Force Base, Ohio, (AMRL-TDR, 62-
129).
- 14- Matsui, H. : (1958), A new method to determine the
center of gravity of a human body by
somatometry: Taiku no Kagakush.
Japanese.
- 15- McCrank, J.M. and : (1964), Torque free rotational
Seger, D.R. dynamics of a variable- configuration
body (Application to weightless
man), Wright-Patterson Air Force
Base, Ohio.
- 16- Miller, D.I. : (1970), A computer simulation model
of the airborne phase of diving.
unpublished doctoral dissertation.
Pennsylvania State University.
- 17- Riddle, C. and : (1968), Reorientation of the human
Kane, T.R. body by means of arm motion.
division of engineering mechanics.
Stanford University, (Tech. Rpt. No.
182).

- 18- Santschi, W.R., : (1963), Moments of inertia and
DuBois, J. and centers of gravity of the living human
Omoto, C. body, Wright-Patterson Air Force
Base, Ohio, (AMRL-TDR, 63-36).
- 19- Scher, M.P. and : (1969), Alteration of the state of a
Kane, T.R. human being in free ball, division of
applied mechanics, Stanford
University, (Tech. Rpt. No., 198).
- 20- Smith, P.G. and : (1967), Reorientation of a human
Kane, T.R. being in free ball, division of
engineering mechanics, Stanford
University, (Tech. Rpt. No., 171).
- 21- Tieber, J.A. and : (1965), An analysis of the inertia
Lindemuth, R.W. properties and performance of the
astronaut maneuvering system.
Wright-Patterson Airforce Base, Ohio
(AMRL-TR 65-216).
- 22- Whitset, C.E. : (1963), Some dynamic response
characteristics of weightless man,
Wright-Patterson Airforce Base,
Ohio, (AMRL-TDR 63-18).

الفصل الرابع

تطبيقات التحليل البيوميكانيكى

Application of Biomechanical Analysis

أولاً : تطبيقات تحليل الأبعاد الثلاثة للهيكل العظمى

Musculoskeletal applications of three dimensional analysis

ثانياً : تطبيقات فى مجال مقاييس جهد العمل

Application in ergonomics

ثالثاً : أنظمة تحليل الحركة المبنية على تصوير الفيديو

Video based of motion analysis systems

رابعاً : دقة ضبط نظم تحليل الفيديو والتصوير السينمائى

Precision and accuracy of video and cinfilm digitalizing system

خامساً : تقدير قوى العضلة والمفصل

Estimation of muscle and joint forces

سادساً : أساليب الحركة الفطرية لدى الإنسان

Inherent movement pattern in man

سابعاً : موضع مركز الكتلة

Mass center location

ثامناً : تقدير الأثقال الإضافية المستخدمة فى تمارين المنافسة التى تستخدم

الأدوات الرياضية

Estimation of additional weights used in competitive exercises which use sports instruments

الفصل الرابع

تطبيقات التحليل البيوميكانيكى

Application of Biomechanical Analysis

معظم الأبحاث الحديثة فى القياس البيولوجى للأبعاد الثلاثة تطبيقاتها العملية قليلة. بالرغم أن آمال المؤلفين فى تطوير مجال الطب التشخيصى ربما يتوقف على نتيجة طرق قياسها ويتل Whittle (١٩٨٧م) (٣٦) من حسن الحظ أن هذه الحالة تغيرت الآن، وهناك مكاسب للتشخيص الطبى غير قابلة للجدل ومتوقع زيادة عدد التطبيقات النافعة فى مجالات الطب التشخيصى فى المستقبل.

لقد كان عالم الطب التشخيصى بطيئاً فى التعرف على فوائد القياس ثلاثى الأبعاد لعدة أسباب. ولعل من أهم هذه الأسباب أن كثير من المتخصصين فى الطب التشخيصى بعيدين كل البعد عن العملية التكنيكية وربما يكونون متخوفين منها. كذلك فإن التكلفة العليا للنظم التحليلية الحديثة أيضاً أعانت الكثير ممن يرغبون فى التعرف على الاستخدام الطبى التشخيصى العلاجى للمعطيات البيوميكانيكية.

تم إحراز معظم التقدم فى مراكز حيث يوجد نشاط تعاونى بين المهندسين القادرين على إجراء القياسات وحساب النتائج، وبين الأطباء التشخيصيين القادرين على تطبيق المعطيات الناتجة على الحالات المرضية.

وليس السجل التسميى الذى أظهر أكبر استفادة عملية من قياس الأبعاد الثلاثة هو تحليل طريقة المشى، وبخاصة عند تطبيقها على التشخيص التفاضلى والتخطيط العلاجى للشلل الدماغى (المخى). هذا الفصل رؤية لهذا التطبيق، كتطبيقات فى الجراحة الترقيعية، والجراحات التقويمية، وحركة الأطراف العلوية وحركة العمود الفقرى، والحركات المفصلية الميكانيكية والأنشطة الرياضية.

تحليل المشى : Gait analysis

بعد أكثر من ١٠٠ عام فى تطوير تكنيك المشى أصبح تحليل المشى يمتلك وسائل اكلينيكية نافعة الآن.

يمكن أن يودى التحليل الكينماتيكى والكيناتيكي لتكنيك الأبعاد الثلاثة إلى وصف التعديلات البيوميكانيكية العيارية والعلاجية Pathological للمشى، ولكن تظل الأجهزة والأدوات باهظة التكاليف. حيث أن مثل هذه التجهيزات غير ممكنة يبقى استخدام أبسط الطرق للحصول على المعلومات عن المتغير الإكلينيكي قائماً جامعة نيويورك New York Univ. (١٩٨٠م). نشرت مراجع لتحليل المشى عن طريق فيوجان Vaughan، بيزير Besser، سوزمان Sussman، باوشير Bowsher (١٩٩٢م) (٣١)، وكتب مؤلف عن نفس الموضوع عن طريق ويتل (١٩٩١م) (٣٧).

المشية العادية : Normal gait

هناك الكثير مما نشر حول المشية العادية أكثر مما نشر عنه موضوع المشية الباثولوجية أو المرضية الجديدة بالاهتمام الشديد. ومع ذلك، فإن هناك سببين مناسبين لدراسة المشية العادية وهما إيجاد أساس لفهم المشية المرضية وتوفير بيانات معيارية يمكن في مقابلها الحكم على البيانات المرضية. ورغم احتواء الكتابات العلمية على الكثير من البيانات عن الأشخاص العاديين إلا أنها في الغالب تتعلق بالإجراءات الأكثر بساطة مثل المعايير العامة للمشية، وتوقيت دور المشية، وزوايا المفصل المستوية السهمية (Murray, 1974)، والمعدلات العادية لم يتم تحديدها بالكامل بعد بالنسبة لبعض القياسات الأكثر تعقيداً والتي لا يمكن الحصول عليها مباشرة مثل زوايا المفاصل التي تتحرك محاورها بالتناسب مع مستوى التدرج في المشية أو عزم المفصل أو تحميلات الجهد على الطرف. ولأن كثير من المعايير القياسية تتنوع حسب نوع وعمر وطول الشخص وحسب سرعة المشى فقد يلزم قياس المئات من الأشخاص لتحديد المعدل العادي والطبيعي بشكل ملائم.

وصف نمط المشية : Gait pattern description

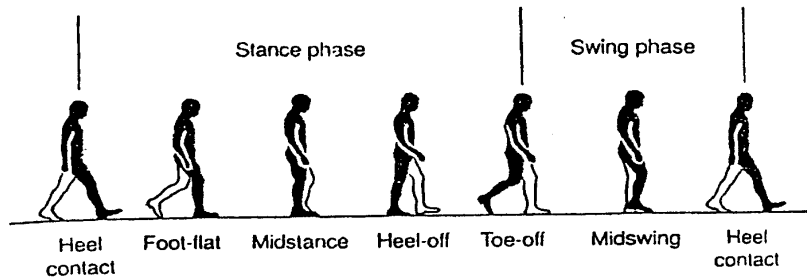
بدأت التحليلات العلمية للمشية بالقياسات الفوتوغرافية التي أجراها كل من Marey & Muybridge عام ١٨٧٠م. وقد سيطر التصوير السينمائي على هذا الموضوع لمدة مائة عام حتى تم تقديم الأنظمة العلمية للأجهزة الالكترونية البصرية لأول مرة في السبعينات. وبالرغم من غلاء أسعار أنظمة

الحاسبات المرئية الحديثة، إلا أن دقتها وسرعتها وملامتها جعلت منها الآن أداة القياس المعيارية فى معظم جهات تحليل المشية.

وتشتمل الدراسات العلمية للمشية تحديد عدد من الأحداث التى تقع أثناء دورة المشية والتى تعرف بأنها الفترة الزمنية الفاصلة بين أى من الأحداث التكرارية للمشى، وبتحديد أكثر بين ملامسة إحدى القدمين للأرض وملامسة نفس القدم للأرض مرة أخرى. وتنقسم دورة المشى لكل قدم إلى مرحلة الاستناد (وذلك عندما تكون القدم على الأرض) ومرحلة المرجحة (عندما لا تكون كذلك- أنظر الشكل (٤-١)). وفى الشخص العادى تبدأ مرحلة الاستناد عندما يلامس الكعب الأرض، ويتبع ذلك انبساط القدم عندما تنزل بقية القدم على الأرض. والوقت الذى تجتاز فيه قدم مرحلة المرجحة قدم مرحلة الاستناد يسمى منتصف الاستناد. ويتبع هذا رفع الكعب عندما يرتفع الكعب عن الأرض وتتلقى القدم الأمامية وزن الجسم. وتنتهى مرحلة الاستناد عند رفع أصابع القدم عن الأرض عندما تترك بقية القدم الأرض. وتنقسم مرحلة المرجحة إلى مرحلة اسراع ومرحلة ابطاء مع أرجحة وسط توازى الاستناد الوسطى وهى الوقت الذى يكون فيه القدمين جنباً إلى جنب. والوصف الأشمل للمشى العادى هو هذا الذى أعطاه كل من Inman و Ralston و todd (١٩٨١م) (١١) كما تم وصف دورة المشية أيضاً بشئ من التفصيل من قبل Whittle (١٩٩١م) (٣٧)، و Perry (١٩٩٢) (٢٣). ولأن القدم تكون على الأرض لفترة أطول منها فى الهواء يكون هناك تداخل بين مراحل الاستناد على الناحيتين- وقت الارتكاز المزدوج عندما يكون كلا القدمين على الأرض فى نفس الوقت (شكل

(٢-٤). ووقت الارتكاز الفردي لقدم واحدة وهو الوقت الذي تكون فيه هذه القدم فقط على الأرض - أثناء مرحلة المرجحة للقدم الأخرى.

ومن العمر الذي يبدأ فيه المشى ينضج نمط المشية سريعاً في البداية ثم يزداد ببطء حتى يتم الوصول إلى نمط البلوغ في عمر أربع سنوات، ومن هذا العمر فصاعداً تحدث تغيرات في طول ومسافة الخطوة وإيقاعها والتي تكون مرتبطة بالنمو، ولكن يكون هناك تغييراً قليلاً في النمط الضمني أو الأساسي. أما في سن الكبر فيكون هناك إبطاء في المشية، ولكن معظم التغيرات الملحوظة تكون مرتبطة بسرعة المشى أكثر من ارتباطها بأي حالات شاذة محددة للشيخوخة. وعموماً، فإن حدوث الأمراض المؤثرة في المشية يصبح أعلى كثيراً مع تقدم العمر، ومن ثم يمشى كثير من الأشخاص المسنين بطريقة غير عادية.



شكل (١-٤)

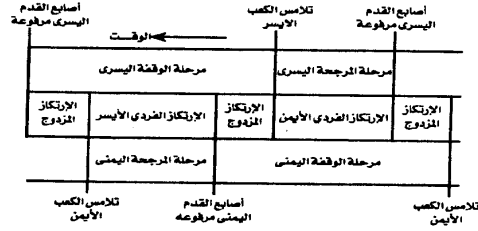
وضع الرجلين خلال دورة مشى مفردة من اتصال الكعب الأيمن إلى اتصال الكعب الأيمن

المعايير العامة للمشية وزوايا المفصل :

General gait parameters and joint angles

تحدد الأوضاع المتتالية للقدم على الأرض عدداً من معايير المشية، شكل (٣-٤) وتسمى عدد الخطوات المنفصلة التي تجرى في فترة زمنية معينة (نموذجياً دقيقة واحدة) بالإيقاع أو إيقاع الخطوة. والمسافة التي يتحركها الجسم ككل للأمام في زمن محدد يمكن استخدامها لحساب سرعة المشى Walking velocity.

وطول الخطوة هي المسافة التي تتقدم بها كل قدم على التعاقب أمام القدم الأخرى وإضافة طول خطوتين معاً يحدد طول اتساع الخطوة وهي المسافة التي تتحرك بها إحدى القدمين للأمام أثناء دورة المشية. أما المعايير الأخرى لوضع القدم فهي قاعدة المشى وهي المسافة جنباً إلى جنب بين خط القدمين وزاوية أصابع القدم للخارج (أو أقل شيوفاً، أصابع القدم للداخل)، والتي تقاس بين خط الوسط للقدم واتجاه المشى.



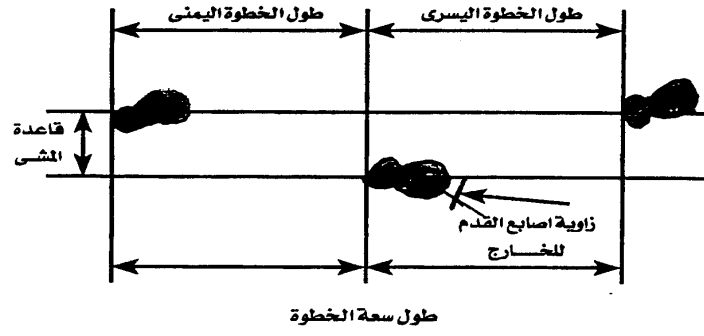
شكل (٣-٤)

توقيت الارتكاز الفردي والزوجي أثناء دورة واحدة للمشية من ملامسة الكعب الأيمن إلى ملامسة الكعب الأيمن

إذا تم استعمال مسجل علامات مناسب للقدمين وتوفرت برامج الكمبيوتر اللازمة فإن الأنظمة الكينماتية يمكنها قياس العديد من خواص دورة المشية بتتبع حركات الجذع والقدمين، ويتضمن مثل هذا القياس المعايير العامة للمشية (الإيقاع، طول سعة الخطوة، والسرعة، وقاعدة المشى، وزاوية أصابع القدم للخارج، وتوقيت مراحل الارتكاز الفردية والزوجية، وتوقيت إحداث انبساط القدم والكعب).

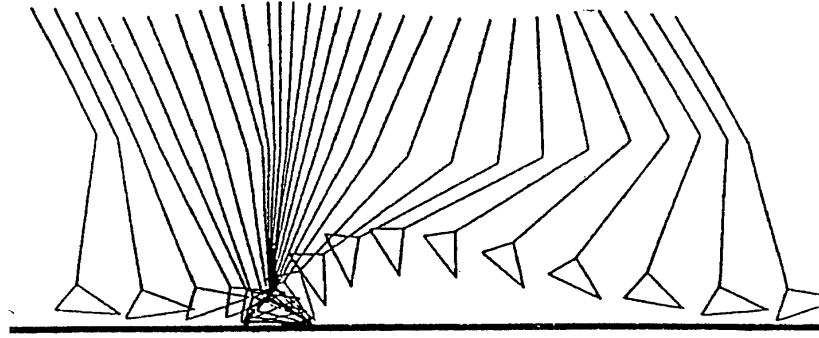
بداية، تم استخدام الأنظمة الكينماتية ثلاثية الأبعاد أساساً لإنتاج رسوم تخطيطية شكلية لأوضاع الأطراف أثناء المشى شكل (٤-٤). ورغم أنه مناسب بصرياً، إلا أن هذا النوع من العرض يعد ذو فوائد محدودة في تفسير نتائج تحليل المشية. والأكثر استخداماً هو تحديد مواقع المفاصل والمعايير الأخرى المرتبطة بوظيفة العضلات والمفاصل وقياسها قياساً ثلاثي الأبعاد عن طريق الأنظمة الكينماتية ثلاثية الأبعاد وكذا قياس زوايا الحركة. والمعدل الأكبر للحركة يحدث في المستوى السهمي، وتكون البيانات الناتجة من هذا المستوى هي الأكثر استخداماً شكل (٤-٥) ولكن كل من المستوى الجبهي والمستعرض قد تكون لحركتهما أهمية خاصة في دراسة المشية المرضية. ومن سوء الحظ أن تعريفات حركة المفصل ثلاثية الأبعاد (الثني والمد، الابتعاد والاقتراب عن المركز، والدوران الداخلي والخارجي) تعد غير دقيقة بالمصطلح العلمي ومن ثم يصعب أو يستحيل التوفيق التام بينها وبين دورانات المفاصل المقاسة بالقياس ثلاثي الأبعاد. وبالرغم من العديد من المحاولات

لابتكار أنظمة للمحاور تتفق مع الاصطلاحات الإكلينيكية فإن هناك اتفاق قليل على كيفية تحقيق ذلك على الوجه الأمثل.



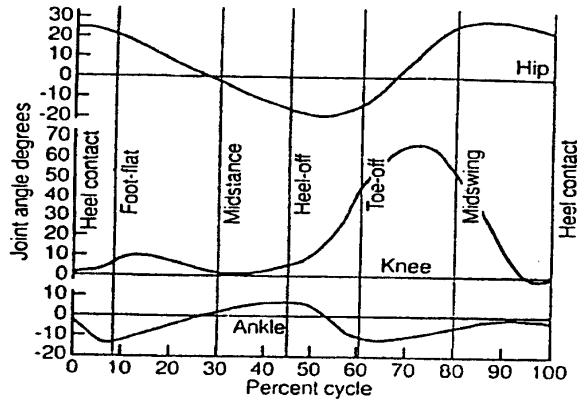
شكل (٣-٤)

المصطلحات المستخدمة لوصف وضع القدم على الأرض



شكل (٤-٤)

وضع الرجل اليمنى عند فترات ٤٠م ث خلال أكثر من دورة خطوة



شكل (٤-٥)

زوايا مفصلي الفخذين (الثنى الإيجابي)، الركبة (الثنى الإيجابي)،
لقدم التباعد والثنى الإيجابي خلال دورة خطوة منفردة

محصلة قوى العضلات الداخلية العضوية وعزومها :

Intersegmental resultant forces and moments

يعطى النظام الكينماتيكي فقط جزء من البيانات المطلوبة للتحليل البيوميكانيكي التفصيلي لحركة الإنسان، أما المعلومات الأخرى المطلوبة لقياس القوى العضلية فتنوفرها الأنظمة الحركية (الكينتيكية). ويتكون ذلك على العموم من درجة أو أكثر للقوة تقاس قوة رد فعل الأرض أثناء المشي والأنشطة الأخرى. فإذا تم استخدام كل من الأنظمة الكينتيكية والكينماتيكية فإن البيانات ثلاثية الأبعاد المحصلة يمكنها توفير مادة ادخال للنماذج الرياضية لاستنتاج عزم المفصل وقوى المفصل وتفاصيل انتقال الطاقة بين قطاعات

الصرف وقد ثبت أن قياسات القوى والعزوم والطاقة ذات قيمة كأدوات للبحث كما أظهرت أيضاً قيمتها في ظروف إكلينيكية عديدة.

ويوضح الشكل (٤-٦) العزم الداخلى للقوة المولدة حول مفاصل الفخذ والركبة والكاحل فى المستوى السهمى أثناء المشى. ولا يتضمن وجود عزم داخلى بالضرورة تقلصاً عضلياً لأن العزم الداخلى قد يتولد أيضاً عن طريق أبينية غير فعالة كالأربطة وعموماً فإن مضاعفة عزم القوة بالسرعة الزاوية حول المفصل يعطى الجهد المتولد أو الممتص والذى يرتبط مباشرة بشكل أكبر بالنشاط العضلى ونقص الطاقة.

إن الصياغة الرياضية يمكن أن تعطى تقييماً لقوى المفصل، ولكن فى معظم الحالات، يوجد حالة عدم تحديد إلى حد استحالة استنتاج حل دقيق للعدد الكبير من المعادلات المتزامنة المتضمنة. ومن ثم يكون من الضرورى وضع افتراضات توضيحية قد تكون أو لا تكون صحيحة. فعلى سبيل المثال قد يفترض أن هناك وضع مثالى أو عدم وجود تقلص للعضلات المقاومة، ففي بعض الحالات يمكن أن يقل عدم التيقن هذا بشأن أنشطة العضلات على سبيل المثال عن طريق التسجيل الكهربائى للانقباضات والاسترخاءات العضلية لتحديد ما إذا كانت عضلة معينة تنقبض.

وبالرغم من تركيز دراسة ميكانيكيات الأطراف على المستوى السهمى إلا أنه يوجد الآن تأكيد متزايد بأنه من أجل عمق صورة كاملة فإنه لابد من إجراء قياسات ثلاثية الأبعاد فى الركبة مثلاً يوجد تحميل تفاضلى بين الأجزاء

الوسطى والأجزاء الجانبية التي تعتمد إلى حد كبير على عزم الركبة في المستوى الجبهي. كما أن مدى إمكانية تخفيف أعراض التهاب الشرياني عن طريق استئصال جزء من عظم الساق يمكن التنبؤ به الآن عن طريق إجراء القياسات ثلاثية الأبعاد لزاوية وعزم المفصل.

نشاط العضلات : Muscle activity

رغم أنه ليس قياساً ثلاثي الأبعاد، إلا أن هناك جانب هام من جوانب تحليل المشية، خاصة من الناحية الإكلينيكية، وهو قياس النشاط الكهربائي للعضلات بواسطة التسجيل الكهربائي للانقباضات والاسترخاءات (EMG). ويوضح الشكل (٤-٧) النشاط النموذجي لست مجموعات عضلية أثناء دورة المشي تم تسجيلها كهربائياً. وتستطيع معظم أجهزة تحليل المشية ثلاثية الأبعاد تسجيل بيانات التسجيل الكهربائي للانقباضات والاسترخاءات العضلية عن طريق محول يحول البيانات المتناظرة إلى بيانات رقمية. ويتم بطبيعة الحال تسجيل بيانات التسجيل الكهربائي للانقباضات والاسترخاءات العضلية بتردد اختباري أعلى من البيانات الكينماتيكية. كما يجب أن تكون برامج الكمبيوتر التحليلية قادرة على التعامل مع هذا ومزامنة كلا النوعين من البيانات.

ويتطلب أكثر أشكال التسجيل الكهربائي العضلي الدقيق ادخال سلك رفيع داخل العضلة لقياسها مما يستبعد في الغالب التدخل من أى مصادر أخرى للنشاط الكهربائي. ومع ذلك فإن هذا يعد شيئاً غير مريح خاصة عند وجود كثير من الحركات العضلية كما هو الحال في المشي. ومن ثم فإنه يكون الأكثر اعتياداً لتحليل المشية استخدام الأقطاب الكهربائية السطحية الأقل دقة

ولكن أكثرها راحة، إلا إذا كانت هناك ضرورة معينة للتفاصيل التي يوفرها مقاييس السلك الرفيع.

أحد عيوب التسجيل الكهربائي للانقباضات والانبساطات العضلية هي أنه شبه كمي فقط. فالعضلات قادرة على إحداث توتر عندما تقصر (انقباض متمركز) أو تحتفظ بطولها (انقباض ثابت أو أيسومتري) أو تطول (انقباض بوليوميترى) وتختلف العلاقة بين النشاط الكهربائي والتوتر العضلي بالنسبة لهذه الأنواع الثلاثة من الانقباضات كما أنها لا تتماشى خطياً مع النزعة المغناطيسية التخلفية المحددة بعلامات وتتفاوت مع تاريخ انقباض العضلة الحديث. ولقد أجريت عدة محاولات على مدى السنوات لتحديد علاقة قوة التسجيل الكهربائي للانقباضات والانبساطات العضلية ولكن ثبت استحالتها إلا تحت ظروف معملية صناعية شديدة. من ناحية أخرى، يفيد التسجيل الكهربائي للانقباضات والانبساطات العضلية في تحليل المشية لتقديم تفسير لهذه الحالات غير السوية في المشية والتي يتم ملاحظتها بالأنظمة الكينماتيكية. وفي نهاية الأمر تكون العضلات هي المسؤولة عن المشية، كما أن فحص التسجيل الكهربائي للانقباضات والانبساطات العضلية يجعل من الممكن تحديد "الأنماط الحركية المدانة" في المشية المرضية (Winter, 1985). (٣٩)

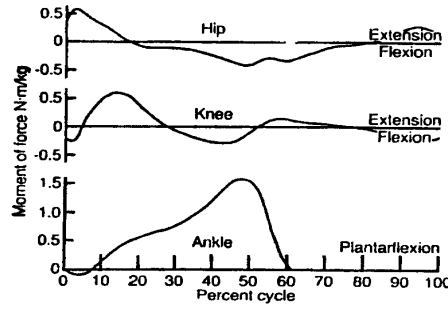
العمل، الطاقة، القدرة : Work, Energy and power

أحد السمات الكبرى لكثير من المشيات المرضية هي أنها غير كافية بخصوص استهلاك الطاقة وتسبب تعب سريع للمريض، ويعتبر تحليل استهلاك الطاقة المشمول في المشى هو قياس معتاد في كثير من معامل

المشى، ونقصه يستخدم كمؤشر للعلاج الناجح (واترز، لانسفور، بيرى، بيرد، Waters, Lunsford, Perry & Byrd (١٩٨٨م) (٣٤).

الوسائل المعتادة لقياس استهلاك الطاقة هي بتجميع هواء الزفير، باستخدام قناع وجه أو قطعة فم، وحساب الأكسجين المستخدم وثانى أكسيد الكربون خلال نشاط مفترض. ونظرياً يمكن عمل نوع من القياس باستخدام تجميع لنظام كينماتيكي - كيناتيكي، وحساب التغيرات فى الطاقة فى كل جزء من الجسم خلال دورة مشى. هذه الحسابات (العمل الخارجى المحسوب) أيضاً يتطلب مركز الجاذبية، وعزوم القصور الذاتى لأجزاء الجسم. مع ذلك ليس هناك تناسب مباشر بين النشاط الأيضى والبدنى. وتستخدم العضلات طاقة إيضية حتى عند أداء انقباض لامركزي، والمصطلح البدنى له عمل سلبي. ولهذا السبب، فنتائج التحليل من غير المحتمل أن تتناسب بدقة مع قياسات الغاز فى الزفير، لكنه يعطى بيانات إكلينيكية مفيدة (جاج، فابيان، هيكس، مان Gage, Fabian, Hicks, Man (١٩٨٤م) (٧).

ربما تكون القيمة الأكبر لتحليل التغيرات فى الطاقة للأطراف خلال المشى. دورة المشى الطبيعية كافية جداً فى استخدام الطاقة، بسبب أن عدد الأمثليات وتبادل الطاقة بين الأجزاء. فى المشية غير الطبيعية، هذه العمليات تبطئ، والسبب فى زيادة استهلاك الطاقة الكلية يمكن أن يعود للتغيرات التى تحدث فى الأطراف.



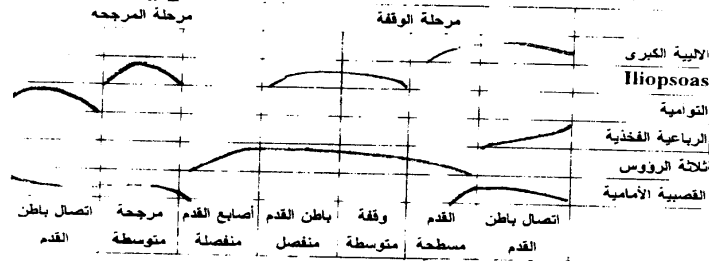
شكل (٤-٦)

العروم الداخلية في الحوض، الركبة، ومفصل الكاحل بالنيوتن. كجم من
ورر الجسم. العروم الإيجابية المولدة من باسطات الحوض،
باسطات الركبة وثانويات الكاحل ليطن القدم

المشية المرضية Pathological gait

دراسة المشية المرضية تتم لعدد من الأسباب والأهم منها هو صنع

القرار، التقويم والبحث العلمي.



شكل (٤-٧)

النشاط المثالي لمجموعة العضلات الكبرى خلال دورة المشي

صنع القرار الإكلينيكي Clinical decision making

كل صناعة القرارات الإكلينيكية، أيا كانت تشمل اضطراب في المشي أو لا، تعتمد على ٣ أنواع من المعلومات- وصف لطبيعة وتاريخ المشكلة (من مقابلة مع المريض أو راعيه)، فحص إكلينيكي يركز على مناطق محتمل نائرها، وعمل اختبارات معملية أو بحوث خاصة. في هذا النص، تحليل المشية يجب أن يفكر فيه على أنه بحث خاص، والنتائج تعتبر مع التاريخ والفحص بالإضافة لأي نوع بحثي آخر تم عمله مثل أشعة اكس أو كيمياء الدم (روز Rose (١٩٨٣م) (٢٥)، تحليل المشية ممكن خصوصاً في عمل قرارات للعلاج، بسبب أن يعطى معلومات عن العيب الحركي الذي يقع تحته العيب في المشية المرئي.

الشلل المخي Cerebral palsy : أحد أكثر التطبيقات الإكلينيكية لتحليل المشي في الحاضر في تخطيط العلاج للأطفال المتأثرين بالشلل المخي.

الضربة المخية Stroke : المنظومة الإكلينيكية التي تسمى ضربة تنتج عن ضرر بالمخ يحدث بعد قطع توصيل الدم للمخ. غالباً يشمل صعوبة مع المشي (بيرى Perry (١٩٦٩م) (٢١)، نتيجته شلل يؤثر على جانب من الجسم (شلل نصفي أو ضعف نصفي). بالرغم من أن تحليل المشية لم يظهر بوضوح فائدة في علاج الضربة، عدد من الدراسات البحثية يقترح تقويم دقيق لاضطراب المشي ربما يحسن عملية صنع القرار ويؤدي إلى تحسن في نتائج العلاج.

التعب الزائد **Excessive fatigue** : فى المشية الطبيعية، الجسم يستخدم طرق مختلفة (محددات المشية) لتقليل استهلاك الطاقة (اينمان Inman et al. (١٩٨١م) (١١)، ساندرو، اينمان وايبيرهارت Sounder, Inman & Eberhart (١٩٥٣م) (٢٦).

- ١- دوران الحوض Pelvic rotation.
- ٢- ثنى الحوض Pelvic tilt.
- ٣- ثنى الركبة فى مرحلة الوقفة knee flexion in stance phase.
- ٤- طريقة الكاحل Ankle mechanism.
- ٥- طريقة القدم Foot mechanism.
- ٦- إزاحة جانبية للجسم Lateral displacement of the body.

فى المشية المرضية، هذه الطرق غالباً تتكسر، مؤدية إلى زيادة استهلاك الطاقة وتعب أكثر سرعة. تحليل المشية ربما تكتشف الفقد لهذه الطرق، وتدريب المشية ربما يحاول استعادتها.

الشلل الرعاش **Parkinsonism** : العلاج الطبى للشلل الرعاش شهد تطور حديث مع اكتشاف علاج ل-دوبا. بسبب أنه من السهل وضع الجرعة المناسبة للمريض، المشية تستخدم لمراقبة أداء المريض لى نحصل على تضبيب للجرعة (كلينرمان، دوبس، ويلر، ليتمان، نيكولسون Klenerman, Dobbs, Weller, Leeman & Nicholson (١٩٨٨م) (١٣).

حالات تقويم الأعضاء Orthopaedic conditions : تحليل المشية ربما

يكون مفيد في علاج حالات تقويم الأعضاء. عندما يكون المريض عنده التهاب بالمفصل يؤثر على عدة مفاصل ومن المفروض حدوث عدة تغييرات للمفاصل فليس من الواضح أى مفصل نبدأ به. الألم أو نقص وظيفة المفصل غالباً تسبب تغير في نمط المشية، التي بدورها تضع ثعب على المفصل الثاني. لو المفصل الثاني تم استبداله قبل الأول غير العامل، ربما يوجد فرصة فشل مبكر، نتيجة العكس في البيئة الميكانيكية. تحليل المشية تستخدم لاكتشاف هذا النوع من التأثير وتشير إلى الترتيب الأمثل لاستبدال المفصل (روز (١٩٨٣م) (٢٥). حالات تقويم الأعضاء أخرى ربما تفيد من التقويم قبل العملية بتحليل المشية هي التهاب المفصل بدون مضاعفات في الركبة. إعادة تركيب المفصل بوسائل مثل تنظيف عالي للقضية يعطي راحة للأعراض وربما يؤخر لسنوات الحاجة لاستبدال المفصل. تحليل المشية الذي يركز على زاوية الركبة والعزم حول المحور الرأسى يعطي مؤشر جيد للنتائج المحتملة للعملية (برودرموز، أندرياشى، جالانتى (١٩٨٥م) (٢٤)، وانج، كو، أندرياشى، وجالانتى (١٩٩٠م) (٣٣).

التقييم والتوثيق : Assessment and Documentation

تحليل المشية غالباً يستخدم في تقويم وتوثيق الحالة الحالية للمريض، حتى عندما تكون البيانات لا تستخدم مباشرة كجزء من صنع القرار

الكلينيكي، مثل هذا التقويم ربما يؤدي فقط مرة، أو يؤدي بتكرار لمراقبة التغيرات بعد فترة من الزمن.

التقويم لمرة واحدة ربما يفيد لتأكيد وظيفة. كمثال، ربما تستخدم للتمييز بين نشاط غير كافى وزيادة نشاط فى ثلاثة الرؤوس الكعبية فى طفل يمشى مع قدم موجه للأرض. قوة ونشاط هذه العضلات خلال المشى ربما ترأقب من حالتها عندما تختبر يدوياً وتحليل المشية ربما يتم لعمل تشخيص دقيق. القياس لقدرة العضلة خصوصاً مفيد فى هذا النوع من الدراسة. تحليل المشية لمرة مفردة ربما أيضاً يستخدم لتأكيد أنه لا يوجد عيوب أخرى بالمشية التى ربما تفقد فى خلال فحص الكلينيكي آخر.

تحليل المشية المتكرر لنهاية فترة من الزمن ربما يكون ذو قيمة فى طريقتين - أما توثيق المسار الطبيعى لمرض أو مراقبة تأثيرات العلاج. أياً كانت حالة المريض تتحسن أو تسوء، الدليل الغرضى على معدل التغير يساعد الطبيب فى اعطاء مؤشر تحسن، الذى ربما يساعد فى خطة العلاج أو يشير إلى مرحلة خاصة فى الحالة عندما يمكن الوصول لها. كمثال، تحليل المشية ربما يعد تقدير للمدة قبل أن يصبح الطفل المصاب بضمور عضلات دوشين غير قادر على المشى أو ربما يعطى فكرة للنتائج النهائى لفرد يستشفى من شلل نتيجة إصابة بالحبل الشوكى.

عندما تستخدم لمراقبة تأثيرات العلاج، تحليل المشية يعد وسيلة دقيقة غرضية لقياس الوظيفة، التى ربما تكون ذات قيمة فى الشلل الرعاش أو فى

تقرير إذا كان العلاج بمضادات الالتهاب غير الستيرويدية للتحكم فى الروماتويد المفصل فى مريض. ربما أيضاً يستخدم قبل أو بعد إجراء جراحى لقياس مدى فائدة الجراحة.

المقاضاة هى منطقة أخرى يتم فيها تحليل المشية ربما تعمل اسهام هام (ويتل (١٩٩١م) (٣٧). بإمداد بيانات غرضية، يمكن إزالة بعض الغموض فى أسباب الإصابة، عندما تتأثر قدرة الفرد على المشى. ربما يكون ذو قيمة فى توضيح الإهمال من ممارس عام بتسجيل حالة المريض قبل العلاج والتأكد من أن أفضل المعلومات الممكنة تم أخذها فى الاعتبار عند التخطيط للعلاج.

البحث : Research

التأثير الأكبر لتحليل المشية على الممارسة الإكلينيكية فى البحث. التطبيقات البحثية لتحليل المشية يقع فى صنفين - إكلينيكي وأساسى.

البحث الإكلينيكي : Clinical research

البحث الإكلينيكي مصمم للإجابة عن أسئلة عن عمليات المرض أو طرق العلاج التى يمكن توقعها لتقود مباشر إلى تحسن فى العلاج. يوجد بوضوح تداخل بين استخدام تحليل المشية فى الممارسة الإكلينيكية وفى استخدامهما فى البحث الطبى، بالرغم من أنه فى الحالة الأولى المريض الذى يبحث مشيته ربما يتوقع أن يستفيد مباشرة بينما فى الحالة الثانية فقط المرضى المستقبليين سوف يستفيدوا. سمات تحليل المشية التى تكون ذات قيمة كأداة بحثية غرضية وقدرتها على قياس الأشياء التى يمكن أن يحس بها المريض أو

يراهنا الملاحظ. تحليل المشية ربما يكون ذو قيمة خاصة في إمداد دليل لتأكيد أو رفض فعالية دواء معين. أحيانا، تحليل المشية سوف يفشل في إظهار إذا كان فائدة أو نقص من شكل علاجي معين، بسبب أن القدرة الاحصائية غير الكافية والدقة في التجربة. البديل، درجة التحدى العضلى الهيكلى ربما يكون غير كافى لعمل تمييز. كمثال، بخصوص الاستخدام لحماية مفاصل خلال نشاطات رياضية، تحليل المشية ربما يكون غير قادر على توضيح أو رفض أى فائدة من هذه الأجهزة.

البحث الأساسى : Fundamental research

البحث العلمى يختلف عن البحث فى أنه ينفذ بيانات واضحة للفوائد التى تنتج. وطرق القياس الكينماتيكي والكيناتيكي ثلاثى الأبعاد تنتج طرق بحثية قوية فى مجالات عديدة للبحث. بالرغم من أن التعامل معروف عن عملية المشى، إلا أن ذلك استمر بالأخص عن طريق المهتمين بالتحكم الحركى، وهناك الكثير بخصوص توافق العضلات التى تعمل فى دورة المشى واستجابة النظام. فى النمذجة الحسابية البيوميكانيكية للعضلات، العظام، والمفاصل مازال يتطلب بيانات مدخل كينماتيكي وكيناتيكي والنماذج تسمح بالتوقعات التى يمكن تجميع بياناتها أكثر. بالإضافة لكون قيمة البحث والقياس ثلاثى الأبعاد يستخدم فى البحث على مدى من النشاطات شاملاً نشاطات جسم الإنسان وحركة العمود الفقرى.

الأجزاء المخلقة والوسائل المساعدة العظمية :

Prosthetics and Orthotics

فى تصميم واختيار الأطراف الصناعية، قياس ثلاثى الأبعاد دقيق يعطى قيمة كبيرة فى ثلاث مناطق حيوية- تصميم الحق (وبنى وبيرجس (١٩٨٩م) (٢)، ميكانيزم القدم (واجنير، سينكو، وسوزان (١٩٨٧م) (٣٢)، وميكانيزم الركبة (روز (١٩٨١م) (٢٥).

الوسائل المساعدة هى مدعّمات خارجية لأجزاء من الجسم، وهى تمتعت بنجاح أقل من الأطراف الصناعية، والقياس ثلاث الأبعاد يستخدم لتحديد هذا القصور (ليهمان، برايس، دى لاتور (١٩٨٧م) (١٥)، بيرى (١٩٧٤م) (٢٢).

الأطراف العلوية : Upper limbs

يستخدم نظام قياس ثلاثى الأبعاد لدراسة الطرف العلوى والسفلى. حركة الطرف العلوى لها اهتمام خاص فى التأهيل، عندما تسوء الوظيفة فى الذراع تجعل من الممكن للفرد أن يودى بعض النشاطات الضرورية للعلاج والحياة اليومية فى استعادة الوظائف المفقودة. الدراسات تتم على مضاعفات الحركة، مثل مفصل الكتف واللوح (اينجين (١٩٨٧م) (٦). بسبب أن حركات الأطراف العلوية غالباً ما تكون صغيرة ولدراستها يستخدم أجهزة الكتروميكانيكية بسيطة مثل التمثيل البيانى المجسم (جرو وهاريس (١٩٧٩م) (١٠).

العمود الفقري : Spine

فى التطبيقات العضلية الهيكلية للقياس ثلاثى الأبعاد تصنف دراسة العمود الفقري فى تحليل حركة المشى فى المرتبة الثانية فى الأهمية. منطقتى التركيز الكبيرتين هما الشكل الخلفى (والذى يكون القاء الضوء عليه خارج موضوعنا)، وحركة العمود الفقري (بارنياپور Parniapour، نوردين Nordin، كاهانوفيتس Kahanovits (١٩٨٨م) ، ثورستون Thurston، هويتل Whittle، ستوكس Stokes (١٩٨١م)).

ميكانيكيات المفصل : Joint Mechanics

قياس ثلاثى الأبعاد يتم استخدامه لدراسة علم الحركة لمفاصل طبيعية تحت ظروف حمل مختلفة، كل فى إعداد منفصل وفى الحياة. مع ذلك، القياس لحركة المفصل باستخدام علامات الجلد غير دقيقة، ودراسات قليلة تم أداءها والتي فيها غرس ابر فى عظام مجاورة (جريجيرسون Gregerson، لوكاس Lucas (١٩٦٧م) (٩)، لافورتون Lafortune وكفانه Cavanga (١٩٨٥م) (١٤)). نوع آخر من القياس ثلاثى الأبعاد لوظيفة المفصل هو فحص طبي بأداة وفيه حركة الأطراف تراقب بينما الباحث يضع المفاصل فى مدى حركة (شتاينر Steiner، براون Brown وزارينس Zarins (١٩٩٠م) (٢٨)).

المعلومات البيوميكانيكية التفصيلية المعطاة فى أنظمة قياس ثلاثية الأبعاد والنمذجة الحسابية المرتبطة لها تأثير كبير على تصميم المفاصل الصناعية (روز Rose (١٩٨٣م) (١٤)). نظام القياس البيوميكانيكى ثلاثى

الأبعاد أيضاً يستخدم لدراسة البيوميكانيكا فى الحياة فى أشياء صناعية مختلفة وإجراءات جراحية (جيفرسون Jefferson، ويتل Whittle (١٩٨٩م) (١٢).

الملخص :

تحليل المشية، باستخدام نظم قياس كينماتيكي وكيناتيكي، الآن تضع طرق لها أهمية كبرى فى العلاج الطبى لظروف خاصة، خصوصاً الشلل المعى. كل من تحليل المشية وأنواع أخرى من القياس ثلاثى الأبعاد ظهرت كأداة قيمة لكل من البحث الطبى والأساسى على تنوع من الاضطرابات العضلية الهيكلية.

المراجع :

- 1- Basmajian, J.V. : (1974), Muscles alive: Their function revealed by electromyography. Baltimore, Williams & Wilkins.
- 2- Boone, D.A. & Burgess, E.M. : (1989), Automated fabrication of mobility aids: clinical demonstrations of the UCL computer-aided socket design system. Journal of prosthetics and Orthotics, 1, 187-190.

- 3- Bresler, B. & : (1950), The forces and moments in
 Frankel, J.P. the leg during level walking.
 American Sociert of Mechanical
 Enigneers Transactions, 72, 27-36.
- 4- Cavagna, G.A. & : (1966), Mechanics of walking,
 Margaria, R. Journal of applied physiology, 21,
 271-278.
- 5- Cunha, U.V. : (1988), Differential diagnosis of
 gait disorders in the elderly.
 Geriatrics, 43, 33-42.
- 6- Engin, A.E. & : (1987), On the biomechanics of the
 Peindl, R.D. human shoulder complex-1:
 Kinematics for determination of the
 shoulder complex sinus. Journal of
 biomechanics, 20, 103-117.
- 7- Gage, J.R., Fabian, : (1984), Pre- and post-operative
 D. Hicks, R., & gait paralysis in patients with
 Tashman, S. spastic diplegia: A preliminary
 report. Journal of Pediatric
 Orthopedis, 4, 715-725.

- 8- Goodfellow, J. & O'Connor, J. : (1978), The mechanics of the knee and prothesis design. Journal of Bone & joint surgery, 60B, 358-369.
- 9- Gregerson, G.G., & Lucas, D.B. : (1967), An in vivo study of the axial rotation of the human thoracolumbar spine. Journal of Bone & Joint Surgery, 49A, 247-262.
- 10- Grew, N.D., & Harris, J.D. : (1979), A method of studying human body shape and movement- The "vector stereograph". Engineering in Medicine, 8, 115-118.
- 11- Inman, V.T., Ralston, H.J. & Todd, F. : (1981), Human walking. Baltimore, Williams & Wilkins.
- 12- Jefferson, R.J. & Whittle, M.W. : (1989), Biomechanical assessment of unicompartamental knee arthroplasty, total condylar arthroplasty, and tibial osteotomy. Clinical biomechanics, 4, 232-242.

- 13- Klenerman, L., : (1988), Bringing gait analysis out
Dobbs, R.J. Weller, of the laboratory and into the
C., Leeman, A.L. & clinic. *Age & Ageing*, 17, 397-400.
Nicholson, P.W.
- 14- Lafortune, M.A. & : (1985), The measurement of normal
Cavanagh, P.R. knee joint motion during walking using
intracortical pins. In M. Whittle & D.
Harris (Eds.), *Biomechanical
measurement in orthopaedic practice*
(pp.234-243). Oxford, Clarendon Press.
- 15- Lehman, J.F., : (1987), Gait abnormalities in
Condon, S.M., hemiplegia: their correction by
Price, R. ankle-foot orthoses. *Archives of
& deLateur, B.J. Physical Medicine &
Rehabilitation*, 68, 763-771.
- 16- Murray, M.P. : (1967), Gait as a total pattern of
movement. *American Journal of
Physical Medicine*, 46, 290, 333.
- 17- Murrar, M.P., : (1969), Walking patterns in
Kory, R.C. & healthy old men. *Journal of
Clarkson, B.H. Gerontology*, 24, 169-178.

- 18- Murray, M.P., : (1983), Gait patterns in above knee-
Mollinger, L.A., amputee patients: hydraulic swing
Sepic, S.B., control Vs. constant-friction knee
Gardner, G.M. & components. Archives of Physical
Linder, M.T. Medicine & Rehabilitation, 64, 339-
345.
New York University (1986). Lower
limb Orthotics, New York:
Prosthetics and Orthotics. NYU
Postgraduate Medical School.
- 19- Parnianpour, M., : (1988), The triaxial coupling of
Nordin, M. & torque generation of trunk muscles
Khanovits, N. during isometric exertions and the
effect of fatiguing isoinertial
movements on the motor output and
movement patterns. Spine, 13, 982-
992.
- 20- Paul, J.P. : (1966), Forces transmitted by joints
in the human body, Proceedings of
the Institute of Mechanical Engineers.
181, 8-15.

- 21- Perry, J. : (1969), The mechanics of walking in hemiplegia. Clinical orthopaedics & Related research, 63, 23-31.
- 22- ————— : (1974), Kinesiology of lower extremity bracing. Clinical orthopaedics & related research, 102, 18-31.
- 23- ————— : (1992), Gait analysis: Normal and pathological fnction. Thorofare, NJ: Slack.
- 24- Prodromos, C.C., : (1985), A relationship between gait
Andriacchi, T.P. & and clinical changes following high
Galante, J.O. tibial osteotomy. Journal of Bone & Joint Surgery, 67A, 1188-1194.
- 25- Rose, G.K. : (1983), Clinical gait assessment: A personal view. Journal of Medical Engineering & Technology, 7, 273-279.
- 26- Saunders, J.B.D.M. : (1953), The major determinants in
Inman, V.T. & normal and pathological gait. Journal
Eberhart, H.S. of Bone & Joint Surgery, 35A, 543-558.

- 27- Shiavi, R. : (1985), Electromyographic patterns in adult locomotion: A comprehensive review. *Journal of Rehabilitative research & Development*, 22, 85-98.
- 28- Steiner, M.E., : (1990), Measurement of
Brown, C. & anteroposterior displacement of the
Zarins, B. knee: A comparison of the results with instrumented devices and clinical examination, *Journal of Bone & Joint Surgery*, 72A, 1307-1315.
- 29- Sutherland, D.H., : (1988), The development of
Olshen, R.A., Biden, mature walking, London: McKeith
E.N. & Wyatt, M.P. Press.
- 30- Thurston, A.J., : (1991), Spinal and pelvic movement
Whittle, M.W., & during walking- A new method of
Stokes, L.A.F. study. *Engineering in Medicine*. 10.
219-222.
- 31- Vaughan, C.L., : (1992), Biomechanics of human
Besser, M.P., gait: An electronic bibliography.
Sussman, M.D. & Champaign, IL: Human Kinetics.
Bowsher, K.A.

- 32- Wagner, J., Seinko, : (1987), Motion analysis of SACH
S., & Susan, T. vs, flex foot in moderately active
below-knee amputees, Clinical
Prosthetics & Orthotics, 11, 55-62.
- 33- Wang, J.W., Kuo, : (1990), The influence of walking
K.N., Andriacchi, mechanics and proximal of tibial
T.P. & Galante, osteotomy, Journal of Bone &
J.O. Joint Surgery, 72A, 905-909.
- 34- Waters, R.L., : (1988), Energy-speed relationship of
Lunsford, B.R., walking: standard tables, Journal of
Perry, J., & Byrd, R. Orthopedic research, 6, 215-222.
- 35- Whittle, M.W. : (1982), Calibration and performance
of a three-dimensional television
system for kinematic analysis. Journal
of Biomechanis, 15, 185-196.
- 36- ————— : (1987), Gait analysis- its usefulness
or otherwise British Journal of
Rheumatology, 26, (Abs), 86.
- 37- ————— : (1991), Gait analysis: an introduction.
Oxford: Butterworth-Heinemann.

- 38- Winter, D.A., : (1976), Analyssi of instanteous
Quanburry, A.O., & energy of normal gait, Journal of
Reimer, G.D. Biomechanics, 9, 253-257.
- 39- Winter, D.A. : (1985), Concerning the scientific basis
for the diagnosis of pathological gait and
for rehabilitation protocols.
Physiotherapy Canada, 37, 245-252.
- 40- ————— : (1987), The biomechanics and motor
control of human gait, Waterloo, ON:
University of Waterloo Press.

ثانياً : تطبيقات فى مجال مقاييس جهد العمل :

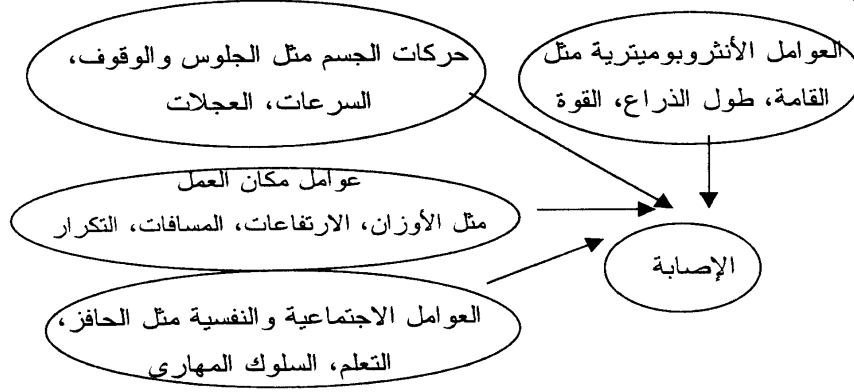
Applications in ergonomics

إن المبادئ المذكورة فى الفصول السابقة يمكن أيضاً تطبيقها على مجال مقاييس جهد العمل الصناعى. والمصطلح "أرجونوميكس" مشتق من الكلمات اليونانية "إرجون" أى العمل و"توموس" أى مجموعة قوانين. وبتحديد أكثر، فإن كلمة "أرجونوميكس" تشير إلى دراسة العمل من خلال تطبيق المبادئ أو القوانين الميكانيكية. والغرض من فهم طريقة مقياس جهد العمل هو التعايش البنى الأفضل بين الناس وبيئتهم. ورغم أن ذلك يشتمل على جوانب أخرى مثل الضوضاء والإضاءة والتهوية إلا أن جهود قياس جهد العمل الحالية فى نطاق البيئات الصناعية تركز على متطلبات الأداء الميكانيكى الحيوى والإدراكى. وخلاصة القول أن الهدف من برنامج مقاييس جهد العمل الصناعى يمكن صياغته بدقة على أنه تقليل الإصابات العضليهيكلية المهنية من حيث حدوثها وتكلفتها.

ومع الارتفاع المتزايد فى تكلفة الرعاية الصحية الملاحظة فى العشر سنوات الأخيرة فقد بدأت معظم الصناعات فى التركيز على الوسائل التى يمكن عن طريقها احتواء هذه التكلفة، فاستخدمت عدة صناعات برامج لإدارة وتدبر العجز لسرعة إعادة المستخدمين إلى قدرة منتجة بعد الإصابة. وعموماً، فإن الطريقة الفعالة أكثر فى التكلفة تكون من خلال الطب الوقائى، والغرض من مقاييس جهد العمل هو تصميم مكان وأساليب للعمل لا ينتج عنها إصابات. ويتم تطبيق ذلك مثالياً أثناء التصميم الأولى لمكان العمل. وفى بيئات العمل

الحالية فإن من حدوث إصابات العمل يجب أن يتحقق بصفة أساسية عن طريق التغييرات في تصميم العمل وطرق العمل.

وهناك عدة عوامل في الكتابات التي تتناول العلوم الوبائية يبدو أنها تسهم بقوة في حدوث الإصابات العضليهيكلية في بيئة العمل. هذه العوامل الموضحة في الشكل ٨-٤ تتضمن حركات الجسم، وعوامل مكان العمل، والعوامل الأنثروبومترية، والعوامل النفسية الاجتماعية. وعلى سبيل المثال، فإن عوامل مكان العمل تتضمن العديد من المتغيرات التي يتم قياسها عن طريق تقديرات تقليدية لمقاييس جهد العمل مثل الأوزان التي يتم رفعها، وعدد مرات الرفع، والارتفاع الذي يتم منه الرفع ومعدل التكرار، والمسافات التي يتم بلوغها.



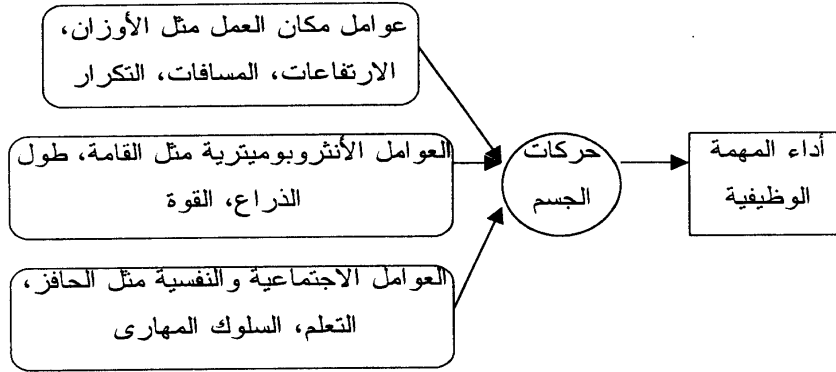
شكل (٨-٤)

العوامل التي تسهم في حدوث إصابات العمل

إن الضغوط على حركات الإنسان في كثير من بيئات العمل تحددها أماكن العمل. هذا يعني أن مهمة معينة بطبيعة تصميمها تؤدي إلى قيام الفرد بأداء سلسلة متوافقة من الحركات. وتحت هذه الظروف حيث تؤدي التغييرات في بيئة العمل إلى تغيير في الحركات اللازمة لإتمام المهمة فإن النموذج في الشكل (٩-٤) قد يكون الأكثر استخداماً. وفي هذا الوضع تعتبر دراسة الحركات شئ محوري لتقويم الجهد العضلي. ويجب تحليل الوظائف التي تكون المهام فيها غير متكررة والحركات متنوعة إلى حد بعيد من حيث العوامل الأخرى في الشكل (٨-٤) والتي قد تكون مسئولة عن إحصاءات الإصابة. ويتركز موضوع هذا الفصل على تحليل أماكن العمل حيث تعد الحركات وتغييرات حركة الجلوس والوقوف عنصراً لا يتجزأ في أداء المهمة الوظيفية.

فعندما تقوم متطلبات الجلوس والوقوف لمكان العمل بتحريك الجسم من وضع جلوس منتصب ومسترخ تتزايد الأحمال الداخلية على العضلات والمفاصل. وينتج ذلك عن الزيادة في مسافة عزم الذراع الأفقية في مركز الجاذبية لأحد الأطراف أو الجذع إلى محور دوران المفصل المتطابق. لذلك فإن الانحرافات في أوضاع الجلوس الثابتة دون استخدام حمل داخلي تتطلب زيادة في القوة العضلية اللازمة لحفظ توازن الجلسة. وعند النظر إلى الجسم باعتباره مجموعة من الروافع والوصلات الميكانيكية فإنه يصبح من الواضح أن الجهاز العضليهيكل عموماً يعمل بعائق ميكانيكي (١). وبتعبير آخر، فإن العضلات تعمل على أذرع روافع صغيرة جداً متصلة بنقطة استخدام الأحمال الداخلية أو مركز كتلة أجزاء الجسم المتناظرة. ونتيجة لذلك، تكون العضلات

هى المصدر الأول للتحميل الميكانيكى على مفاصل الجسم. وتحت الظروف التى تتطلب حركة الجسم يكون هذا الوضع مؤكداً، وتتولد قوى عضلية إضافية يجب أن تكون كبيرة بما يكفى للتغلب على القصور الذاتى لأجزاء الجسم والاسراع بتحويل أعضاء الجسم إلى حركة.



شكل (٩-٤)

العوامل المفترض أنها تتحكم فى حركات الجسم
فى المهام التكرارية بدرجة كبيرة

ويتم استخدام عضلات إضافية للإمداد بقوة لأغراض التحكم فى الحركات وانهاؤها. وعندما تكون الحركات تكرارية بدرجة كبيرة فإن هذا التحميل الميكانيكى المتكرر يتعلق ببداية اضطرابات رضوض تراكمية (١).

وتمثل الرضوض التراكمية الاستهلاك والتمزق للتركيب للجهاز الهيكلى العضلى. وعلى العكس من ذلك، فإن الإصابة بهجوم مفاجئ يشار إليه عادة على أنها إصابة رضية حادة ويتم مناقشتها عادة بلغة الإصابات والوقاية. وفى الرضوض التراكمية يصبح تركيب الجسم مؤلم بشكل متزايد على مدار الوقت إما من خلال الحركة التكرارية أو استخدام القوة التكرارية. وفى مآل الأمر فإن هذه العملية تؤدى إلى العجز، ومن ثم إلى قلق الإجهاد العضلى.

وتسمح الأساليب التكنيكية الحالية بقياس حركة الإنسان بأخذ عينات كثيرة من خواص الحركة المفصلية التى تعتبر هامة فى تحليلات الجهد العضلى واختبار هذه العنيتات. والشئ المعقد فى هذه التحليلات يعتمد على المفصل أو المفاصل ذات الاهتمام. فعلى سبيل المثال هناك محور رئيسى فى مفاصل الركبة والكوع عموماً يحدث حوله الدوران. ومع ذلك فإن الحركة فى مفاصل أخرى أكثر تعقيداً كالرسغ أو الكتف أو الظهر تحدث حول محورين أو أكثر. لذلك فعند القيام بالقياس ثلاثى الأبعاد للجهد العضلى والتى تتضمن حركات مفصلية فإن نقطة التعقيد سوف تعتمد فى جزء منها على المفاصل التى يتم رصد حركتها.

وعند أداء تحليلات الجهد العضلى هناك خواص حركية عديدة يجب وضعها فى الاعتبار. هذه الخواص لا تشمل فقط وضع المفصل وإنما تشمل أيضاً (أ) معدل الدوران، (ب) السرعة التى يدور بها المفصل، (ج) نسبة التغير فى سرعة المفصل. ويسعى هذا الفصل إلى نقل مميزات وعيوب الأساليب الفنية المتاحة لقياس حركة مفاصل الجسم فى مكان العمل.

ورغم أن تقويم حركة الجسم المطلوب لمهمة معينة يجب أن يعزز عملية التقييم الوظيفي فإن الحركات تعد جانباً واحداً من جوانب تقويم الجهد العضلي. ولذلك يقوم هذا الفصل أيضاً بوصف تكامل الحركة مع ذكر المعطيات التي تصف الجوانب الأخرى لقياسات الجهد العضلي. ويناقش فصل آخر كيفية استخدام هذه المعطيات في حدوث الأعراض الطارئة للجهد العضلي. وأخيراً، يتم شرح حدود معطيات الحركة المجردة (الكينماتيكية) في تفسير تحليل الجهد العضلي.

١- الأساليب الفنية للقياس : Measuring techniques

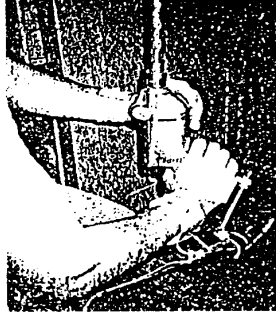
رغم ظهور أنواع عديدة من الأنظمة لقياس مقدار الحركة ثلاثية الأبعاد، إلا أن هناك نوعين من أجهزة القياس شائعة الاستخدام في مكان العمل وهي: مقياس الزوايا الميكانيكي الكهربائي (الجونيوميتر) وأنظمة تحليل الحركة باستخدام أجهزة الفيديو، ويناقش هذا الجزء كل من هذه الأنظمة من حيث مبادئها الأساسية وأجهزة الكمبيوتر المساندة واللازمة لجمع البيانات وبعض الاعتبارات عند تركيب الأجهزة في موقع العمل.

مقياس الزوايا الميكانيكي الكهربائي (الجونيوميتر) :

Electromechanical goniometers

إن أجهزة رصد الحركة التي تستخدم الأجهزة الكهربائية لرصد التغيرات في الحركة يطلق عليها بصفة عامة مقاييس الزوايا الميكانيكية الكهربائية (الجونيوميتر). وتوجد أنواع مختلفة كثيرة من أجهزة قياس الزوايا الكهربائية، ولكن أبسط هذه الأجهزة تستخدم مقاييس فرق الجهد الكهربائية (أو

أجهزة الاستشعار أو الإحساس) بواقع جهاز لكل محور دوران وذلك قياس زوايا دوران المفصل فيما يتعلق بوضع مقارن. وتحدث التغييرات في زوايا المفصل تغييرات في مقاومة مقياس فرق الجهد، والذي يحدث بدوره تغييرات في الجهدية الكهربائية الناتجة. وعن طريق معايرة الجهد الكهربى الناتج مقابل زوايا الدوران المعروفة فإن الإشارة من مقياس فرق الجهد يمكن استخدامها لقياس الأوضاع المفصلية في المستويات المعينة. ولأن الجوانب التركيبية لمفاصل الجسم يختلف كل منها عن الآخر فسوف يختلف تصميم مقياس الزوايا حسب المفصل المطلوب دراسته. وتتطلب كافة التصميمات أن توضع مقاييس الزوايا بدقة فوق محور دوران المفصل. وتثبت أجهزة الرصد عادة في المكان باستخدام أحزمة وأشرطة مصممة خصيصاً. ويوضح الشكل (١٠-٤) نظام قياس أوضاع وحركة الرسغ باستخدام مقياس الزوايا.



شكل (١٠-٤)

نظم قياس أوضاع وحركة الرسغ باستخدام مقياس الزوايا
(Electrogoniometer)

٢. متطلبات مكونات أجهزة الكمبيوتر لجمع بيانات مقياس الزوايا :

Hardware requirement for goniometer data collection

فى موقع جمع البيانات تعمل الأجهزة عادة ببطاريات صغيرة خفيفة الوزن. هذه البطاريات توفر الجهد الكهربائى عبر مقاييس فرق الجهد. ويتم تغذية الإشارات من كل مقياس لفرق الجهد عن طريق كابل إلى محول رقمى (جهاز كمبيوتر قياسى) ثم إلى جهاز كمبيوتر شخصى. ويجب أن يكون جهاز الكمبيوتر والمحول الرقمى القياسى قادرين على أخذ عينات بيانية تتراوح بين ٦٠ و ٣٠٠ عينة فى الثانية. وتعتمد النسبة المختارة على السرعة القصوى التى يمكن أن يدور بها المفصل الذى يتم رصده. فعلى سبيل المثال، يجب أخذ عينة الرسغ بمعدل ٣٠٠ هرتز فى حين يمكن وصف حركة الجذع بشكل مناسب باستخدام نسب أخذ عينات بمعدل ١٠٠ هرتز أو حتى أقل.

وحسب ما هو متبع يتم نقل البيانات من جهاز القياس إلى كمبيوتر جمع البيانات عن طريق كابل على أن يكون هذا الكابل طويلاً بما يكفى للسماح للمختبر بحرية الحركة.

وفيما عدا ذلك، يمكن استخدام نظام القياس اللاسلكى عن بعد لنقل البيانات ويتم تحليل البيانات التى تم جمعها بواسطة برامج كمبيوتر مناسبة فى موقع معالجة البيانات. ويستخدم بعض الباحثين أجهزة تسجيل محمولة والتى يمكن أن تفى بموضوعات البحث على مدار فترة الاختبار. ورغم أن هذه الطريقة مريحة وغير مكلفة إلا أنها لا تسمح بالتدقيقات اللحظية لنوعية البيانات أثناء الاختبار أو بالتقويم المباشر لمكونات المهمة.

٣. متطلبات التركيب لأجهزة قياس الزوايا الكهربائية :

Setup requirements for electrogoniometer

الاختبار في موقع العمل : Testing the work site

تحتاج معظم أجهزة قياس الزوايا الكهربائية إلى اختبار معايرة قبل الاستخدام وذلك للتأكد من أن العلاقة بين الجهد الكهربى (الفولطية) وزاوية دوران المفصل ضمن حدود المعايرة التى وضعها المصنع عند التركيب. ويتم عادة تزويد جهاز المعايرة بمقياس الزوايا لأداء هذه المهمة. ويتطلب وضع الجهاز على الشخص المطلوب دراسته وجود شخص مدرب يستطيع تحديد مكان المفصل من معالم تشريحية. وإذا تم استخدام القياس اللاسلكى عن بعد لنقل البيانات عندئذ يجب وضع هوائيات (قرون استشعار) لاسلكية بشكل صحيح حول العامل وذلك لخفض التشويش الكهربائى وزيادة قوة الإشارة.

٤. قواعد أنظمة تحليل الحركة بالفيديو :

Video-based motion analysis systems

يتطلب التحليل ثلاثى الأبعاد للحركة القائم على أساليب التصوير المرئى (الفيديو) استخدام عدد ٢ كاميرا على الأقل لالتقاط مشاهد مختلفة لحركة الجسم. وتتطلب معظم الأنظمة وضع مسجلات علامات باعثة للضوء أو عاكسة للضوء على المعالم المحددة مثل مركز دوران المفصل. والأنظمة الأخرى لا تستخدم مسجلات للعلامات ولكنها تتطلب من المستخدم تحديد مفاصل الجسم يدوياً أثناء تحليل البيانات.

ولقد تم ابتكار نظم العد الحسائية التى تسمح بالتحليل ثلاثى الأبعاد بتعيين أماكن اختيارية للكاميرا. وقد يتم استخدام كاميرات إضافية عندما يكون من المتوقع أن يتحرك الجسم خارج معاينة الكاميرات الرئيسية. ويجب أن تكون الكاميرات متزامنة بحيث يمكن تنسيق الصور مع بعضها البعض عند إعادة التشغيل بعد عملية التسجيل.

ويتم تحليل البيانات الداخلة للفيديو من كل كاميرا على حدة ثم يتم إخراج صورة مركبة عن طريق ضم المدخلات المتزامنة للفيديو. وبعد ذلك يتم إخراج وضع زاوى للمفصل من الصورة المركبة فيما يختص بمفصل أو موضع محدد داخل الجسم. ويمكن رصد حركات مفصلية عديدة فى آن واحد بشرط أن تكون جميع المفاصل محل البحث فى نطاق معاينة الكاميرات.

٤. متطلبات مركبات أجهزة الكمبيوتر فى موقع العمل :

Hardware requirements at the work site

فى موقع العمل، يتم استخدام عدد ٢ كاميرا أو أكثر مع أجهزة تسجيل فيديو لجمع المعلومات المرئية، ويتطلب الأمر استخدام مزامن لضمان تزامن الكاميرات. والطريقة البسيطة تكون باستخدام إشارة سمعية أو ضوئية لبدء جمع البيانات. ويجب أن تكون الكاميرات مزودة بزووم حتى يمكن ضبط مجال الرؤية لزيادة حجم مسجل العلامات (بينما يتم الاستمرار فى معاينة الشخص موضوع الدراسة). وأخيراً، فإن استخدام حوامل ثابتة للكاميرات يعد شيئاً ضرورياً لتوفير صور ثابتة خالية من حركة الكاميرا.

ويعتبر استخدام مسجلات العلامات الباعثة للضوء (النشطة) أو العاكسة للضوء (غير النشطة) بميزة جعل الشخص موضوع الدراسة متحرراً من الأسلاك المعوقة. ومع ذلك فإن التفاوت بين مسجلات العلامات وبين الإضاءة الخلفية يجب الحفاظ عليه وغالباً ما يحدد الضوء المحيط ما نوع مسجل العلامات الممكن استخدامه ويصبح من الضروري ضبط حدة إضاءة مسجل العلامات للحفاظ على التفاوت المناسب. أما التفاوت الضعيف فإنه يحدث إشارات كاذبة أو تشويش عند معالجة البيانات المرئية.

٥. متطلبات التركيب للأنظمة القائمة على الفيديو (الصور المرئية) في موقع العمل :

Setup requirements for video-based systems at the work site

يجب أن يكون موقع العمل المطلوب تقديره قد تم تقييمه بشكل شامل فيما يتعلق بعوائق معاينة كل كاميرا. وعموماً فإنه يجب إبعاد أى أشياء غير ضرورية تحيط بالمختبر. ويجب وضع مسجلات العلامات على الشخص محل الدراسة فوق كل مركز دوران مفصلي. وبقدر الإمكان فإنه يجب ضبط ظروف الإضاءة إلى مستويات تساعد على تقوية التفاوت مسجلات العلامات والخلفية. (ومسجلات العلامات السالبة يمكن تركيز الضوء عليها باستخدام الإضاءة الموجهة). كما يجب أخذ قياسات موقع العمل للسماح بتدريج الصورة المرئية.

٦- اختصار بيانات حركة المفصل : Joint motion data reduction

عند استخدام مقاييس الزوايا الميكانيكية الكهربائية يكون وضع المفصل متاحاً بسهولة في شكل جهد كهربى (فولطيات). وفى أول الأمر يتم استخدام بيانات المعايرة للحصول على الإزاحة الزاوية للمفصل. بعد ذلك يتم حساب السرعات والعجلات اللحظية إما باستخدام التفاضل العدى أو وسائل الانتقال الأخرى.

وفى أنظمة تحليل الحركة القائمة على الصورة المرئية يمكن الحصول على بيانات وضع المفصل فقط بعد معالجة كل شريط فيديو وتوحيد المشاكل متعددة الكاميرات. وقد يتطلب ذلك قدر كبير من الوقت حسب المهمة التى يتم أداؤها. كما يختلف القدر الزمنى للمعالجة ويتوقف ذلك على ما إذا كانت المفاصل قد تم الإشارة إليها بمسجلات العلامات أو تم تحديد موضعها يدوياً أثناء تحليل الصور المرئية. (التحديد اليدوى لمراكز لأماكن المفاصل يستهلك عادة وقتاً أطول من طرق مسجلات العلامات النشطة أو السالبة). ويتم توحيد البيانات للحصول على الصورة المركبة وعلى أوضاع المفاصل فى نظام التنسيق ثلاثى الأبعاد. وحالما يتم الحصول على بيانات وضع المفصل يكون حساب السرعة والتعجيل سريعاً نسبياً.

٧. مميزات وعيوب الجينوميتر وأسس أنظمة الفيديو :

Advantages and disadvantages of goniometer and video-base systems

لكل من هاتين الطريقتين البديلتين قيودها المعينة والتي يجب وضعها في الاعتبار عند اختيار وسيلة لتقييم الجهد العضلي. ويمكن التغلب على بعض هذه القيود عن طريق اختيار أو التحكم في المتغيرات في بيئة جمع البيانات، أما القيود الأخرى فالتحكم فيها أكثر صعوبة.

٨. الأنظمة القائمة على مقياس الزوايا :

Goniometer-based systems

تعتبر أنظمة مقياس الزوايا مفيدة في دراسة حركات المفصل الواحد وتعد عموماً أكثر دقة من الأنظمة القائمة على استخدام الصور المرئية. وباستخدام نظام القياس عن بعد أو كابل طويل لنقل البيانات يكون من الممكن تسجيل الحركات حتى عندما يتحكم على المختبر أداء مهام في مواقع عمل مختلفة. ولأن الأجهزة تبقى مع الشخص فإن يكون من السهل رصد الحركات في أماكن يصعب فيها وضع الكاميرا. علاوة على ذلك، فإنه ليس من الضروري إعادة ترتيب مكان العمل لاستيعاب نظام مقياس الزوايا، ويعتبر زمن التركيب بالنسبة لمقاييس الزوايا أقل من نظم تحليل الحركة باستخدام الفيديو. ويمكن الحصول على خواص حركة المفصل مثل الوضع والسرعة والعجلة بسهولة في موقع العمل نفسه. ويعد ذلك بمثابة استفادة هائلة عندما يقوم الشخص بتوفير تقييمات لقياس الزوايا في موقع العمل.

وتتطلب مقاييس الزوايا وضع دقيق بحيث تتبع محاورها محور المفصل بشكل متطابق. ومن ثم يتم عادة ربطها بأحزمة أو تثبيتها بأشرطة من فوق المفصل، الشيء الذى قد يفرض قيوداً على حركة المفصل. وهذا يعد مصدر محتمل لعدم الحياد فى بيانات الحركة التى يتم جمعها بواسطة مقاييس الزوايا. إن التثبيت القوى مطلوب لتجنب الحركات التى يصطنعها الشخص. كما يجب أن نولى اهتماماً لمنع أى قلاقل بدنية غير ضرورية قد تنشأ عن ارتداء الشخص للجهاز.

وهناك مفاصل معينة يفضل قياسها بمقاييس الزوايا عن قياسها بالوسائل التى تستخدم الصور المرئية. فعلى سبيل المثال، عند رصد حركات الرسغ من المحتمل أن تعوق حركة اليد مسجلات العلامات المستخدمة فى نظام الصور المرئية. وعموماً فإن كل مفصل فى الجسم يتطلب مقاييس زوايا مصممة خصيصاً. ويتطلب ذلك فى الغالب تصميمات معقدة لرصد الدورانات حول المحاور اللازمة. فعلى سبيل المثال، يمثل استكشاف كافة محاور الدوران فى الكتف مشكلة صعبة لتصميم أنظمة مقاييس الزوايا.

ثالثاً : أنظمة تحليل الحركة المبنية على تصوير الفيديو :

Video-based motion analysis systems

نظم الجنيوميتر غير المتشابهة التي تلاحظ مفصل واحد فقط عند أى زمن، وأنظمة تحليل الحركة المبنية على تصوير الفيديو يمكنها ملاحظة مفاصل مختلفة فى وقت واحد. وهذه ميزة خاصة عند دراسة حركة الجسم كله. وتعتبر ميزة إضافية للأنظمة المبنية على التصوير بالفيديو، خصوصاً التي تستخدم العلامات السلبية، وهي التي ينتج عنها الاستنتاج فى مهام الحركة.

ويتطلب نظام التصوير بالفيديو وضع علامات صغيرة فقط بينما فى طرق استخدام الجنيوميتر الأقراص الصلبة لتجميع البيانات يجب أن توصل بالشخص، وبالتالي يزيد ذلك مقاومة الحركة أو الثقل الذى يؤثر فى تعميم الجنيوميتر.

وأنظمة تحليل الفيديو لها ميزة إضافية فى قدرتها على وضع صور الحركة فى صور فيديو. وفعل هذه التمثيلات مفيدة فى اظهار مشاكل حركية فى قوة العمل. ويشتمل تصوير الفيديو على أشياء أخرى غير مكان العمل وهي غير ممكنة مع الجنيوميتر، بدون الكاميرا التي تستخدم فى تواصل الجنيوميتر.

ويوجد عدة عيوب فى استخدام التصوير بالفيديو. الأول منها هو تطلبه لعدة كاميرات ومكان متسع كافى لمتابعة الحركة وأيضاً بينات العمل المتحكم فيها مع مناطق مفتوحة أكثر مناسبة للتصوير عن الأماكن المجهزة. والحركات قد تعوق بعض العلامات على الأقل من كاميرا واحدة. وهناك صعوبات أكبر قد تنشأ لو أن المؤدى يؤدى مهام فى محطات متنوعة. ففى مثل هذه الظروف نجد أنه عند إعادة توجيه الكاميرات يكون ذلك مضيقاً للوقت وصعب. وللتحدث بواقعية، إن تحليل الحركة بالفيديو أفضل فى الظروف العملية، وذلك طالما البيئة المحيطة بالفرد تحت تحكم الباحث.

وتسمح العلامات السلبية أو العاكسة للضوء للفرد بحركة حرة ولكنها تضع صعوبة فى تصوير الفيديو. وأن ظروف الإضاءة فى أماكن التصوير نادراً ما تكون تحت تحكم الباحث. وعامة يوجد تنسيق ردى بين العلامات والخلفية المحيطة. برامج تحليل الفيديو غير قادرة على تمييز العلامات من الخلفية بدون مستويات تنسيق مناسبة. والسطوح العاكسة فى بيئة العمل ربما تولد إشارات مشوشة والتي تتعارض مع التى تأتى من العلامات وحتى مع إضاءة مناسبة.

وأغلب أنظمة تحليل الفيديو تحلل البيانات التى سرعتها ١٢٠ هيرتز، مع أن كثير من دوران المفاصل بسرعات أكبر من ١٢٠ درجة/ثانية، ويكون الحل من النظام أقل نسبياً من الجنيوميتر، والذى فيه تكرار العينة يتحكم فيه جهاز A/D ويمكن تنويعه إلى تردد عدة كيلوهرتز.

وعيب آخر فى التحليل بالفديو هو زمن معالجة البيانات الذى ربما يكون عدة ساعات خلال الحصول على بيانات دورانات المفاصل ثلاثية الأبعاد. فى حين يتطلب الجنيوميتر عامة وقت أقل (دقائق قليلة) لمعالجة البيانات.

وفى النهاية، نجد أن العاملين غالباً يشتت انتباههم ويختل لوجود كاميرات الفيديو. واستخدام كاميرات الفيديو ربما يولد قابلية أقل مع التقويم الحركى. وأكثر من ذلك ربما البيانات المجمعة تكون أقل تمثيلاً للطريقة التى يودى بها المهام فى الطبيعة.

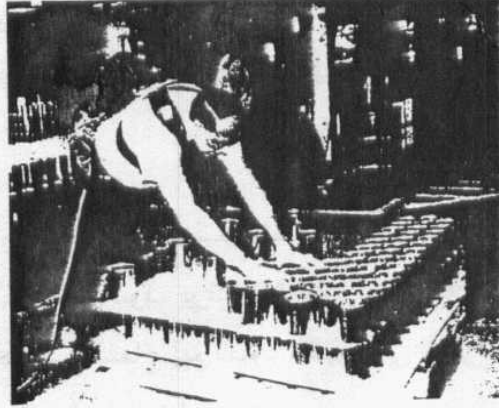
١ - اهتمامات حول الحصول على تقويمات حركية دقيقة من خلال أجهزة متابعة الحركة :

Concerns about obtaining accurate ergonomic assessment with motion detection device

يعتبر تحديد مكونات دورة العمل موضوع حيوى فى تقويم الحركة، حتى فى بيانات الحركة المتكررة. يجب أولاً على المحلل الحركى أن يعرف ويحدد الواجبات الطبيعية. وغالباً نجد أن الملاحظة النظرية للواجب الحركى تشير إلى أى المهام تؤثر على الجزء من الجسم محور الاهتمام. ومن ثم فمن الضرورى أن نطور عينة ممثلة للنشاطات المرتبطة بمهمة خاصة.

فمثلاً: عند رفع الفرد لشيء، نجد أن القياسات يجب أن تجمع من المدى الكامل ومسافات الوصول للعمل. كما فى شكل (٤-١١). مع بيانات الحركة

هذه الأبعاد لموقع العمل - خصوصاً مدى رفع الحمل، وتقدير حركة الذراع بالمفاصل محور الاهتمام، وارتفاع العمل، تكرار كل مهمة- يجب تسجيل ملاحظات عنها.



شكل (١١-٤)

استخدام التحكم في تحسين الحركة القطنية لكفاية حركات الظهر خلال تكرارات مهمة الرفع في جامعة ولاية أوهايو

ويرفع هذا سلسلة عدد المحاولات المطلوبة لوصف نشاط العمل. وعامة كلما زاد التنوع في الحركة كلما زادت عدد المحاولات المطلوبة. وللتبسيط، المهام المتكررة على الأقل من ٥ مرات إلى ١٠ مرات يجب أن تجمع. مع ذلك لو التنوع في المهمة (مثل رفع الأثقال لمستويات مختلفة). عندئذ يجب الحصول على تعدد العينات من كل مستوى، من خلال على الأقل من ٥-١٠ ملاحظات في المستوى. يمكن حساب المتوسط الحسابي والانحراف المعياري لكل من المتغيرات التي درست. الانحرافات المعيارية كافية في

الملاحظات ومتوسط العديد من الملاحظات خلال المستوى يقلل الخطأ في المتوسط لكل مستوى. لذا أجعل المجموعات الأساسية أكثر ظهوراً.

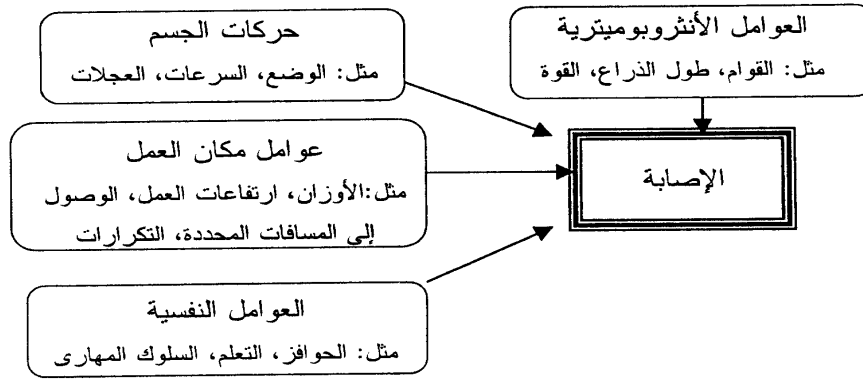
كلما أمكن الأداء الفردي للمؤدى بالعينة لنفس الوظيفة يحدد أهمية التغيرات بين التوظيف (الاستخدام). هذه التغيرات في الحركات ، كالتغيرات حول الأبعاد الأنثروبومترية يجب وضعها في الاعتبار عندما نحسن الحلول الحركية.

تعتمد فترة دوام عملية تجميع البيانات على دورة الزمن الخاصة بالمهام. الأشخاص سوف يرتدون الجهاز المتمكك لفترة قصيرة قبل تجميع البيانات الحقيقية للسماح لهم للتعود للظهور في جهاز الفيديو أو الإحساس بنظام الجنيوميتر والظهور كمفحوص.

٢. ترجمة وتكامل البيانات من مصادر متعددة :

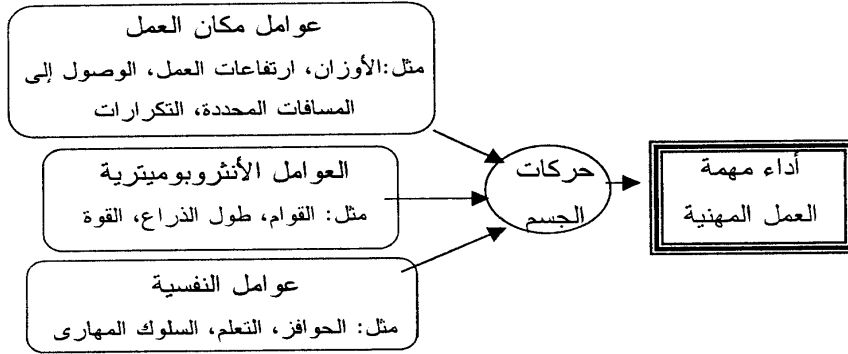
Interpretation and Integration of data from multiple sources

حيث أن تجميع البيانات خلال تقويم الحركة تحصل عليها من مصادر مختلفة، والمحلل يواجه بمهمة تكامل البيانات لتحديد المهام المسؤولة عن أخطاء الحركة. وهذه تجمع في عوامل يعرضها شكل (٤-١٢)، ويجب أن تراجع لتجنب مساهمتها في مشكلة البحث. وتعتمد مساهمة حركات المفصل على نوع العمل المؤدى. فمثلاً لو المهمة ثابتة، نجد أن بيانات الوضع تكون مهمة فقط ومع ذلك في المهام الديناميكية نجد أن مكونات الحركة ذات الرتبة الأعلى تكون مهمة مثل السرعة والعجلة، شكل (٤-١٣).



شكل (١٢-٤)

العوامل التي تساهم في تطور الإصابات المهنية



شكل (١٣-٤)

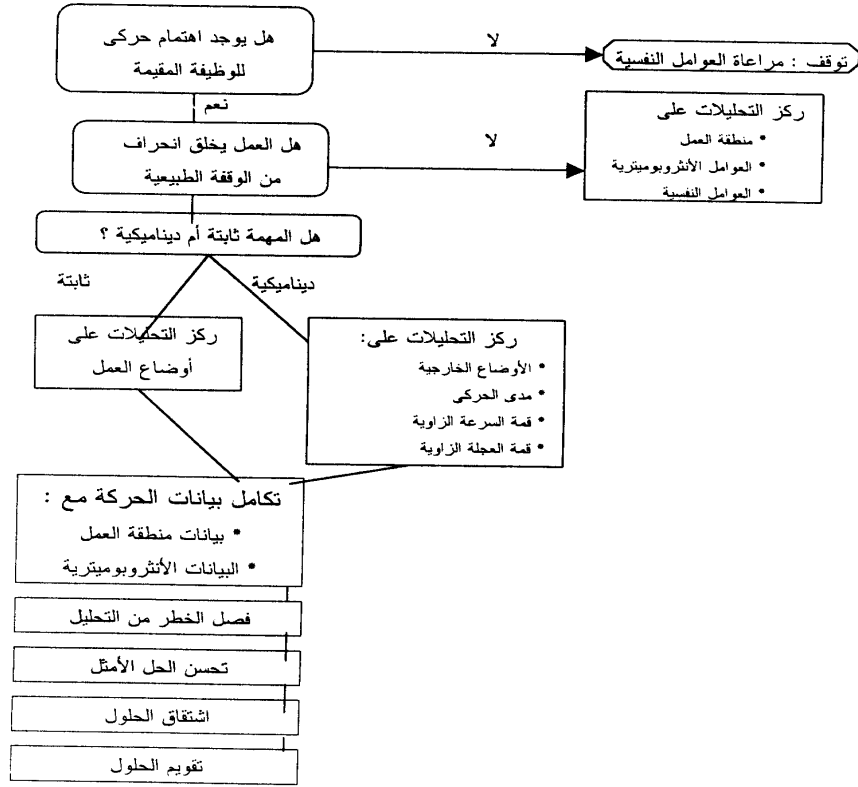
العوامل الفرضية للتحكم في ارتفاع تكرارات حركة الجسم

يعرض الشكل (٤-١٤) خريطة التتابع التي يمكن أن تستخدم في ترجمة البيانات المجمعة خلال تقويم حركي بعد ملاحظة موقع العمل، وعلى الباحث أن يقرر إذا كان هناك خطر حركي. كذلك لو لم توجد أخطار، ولكن مشكلة موقع سبق تحديدها من تقارير إصابة أو من سرعة تبديل العاملين فيها. كما أن هناك عوامل نفسية يجب أخذها في الاعتبار (أنظر بيجوس وآخرون Bigos et al (١٩٩١م).

نفترض أنه توجد مشكلة بيوميكانيكية ولحل هذه المشكلة نطرح السؤال التالي ما هي سبب هذه المشكلة وللإجابة يجب تحديد ما إذا كانت الأوضاع هي السبب أم الحركات وفي كلا الحالتين نقوم بفحص إذا كان يوجد انحراف من وضع الاسترخاء الطبيعي للمفصل. ونجد أنه إذا وجد انحراف فمن ثم يجب أن يركز التحليل الحركي على موضع العمل والعوامل الأنثروبومترية التي تساهم في القوى العاملة على المفصل قيد البحث. إذا انحرفت الأوضاع من الوضع الطبيعي يعتمد التحليل في التركيز على أن المهمة أساساً ثابتة أو ديناميكية. في وضع العمل وفي المهام الأكثر ثباتاً وفي المهام الأكثر ديناميكية يكون التركيز على كمية الوضع، ومدى الحركة، والسرعة والعجلة في كل محور من محاور الحركة. إن ترجمة التحليل الديناميكي لحركة العمل يكون أكثر صعوبة. وبالرغم من أن بعض الحركات يجب أن تحدث خلال أغلب مهام التعامل مع الخامات إلا أن الباحث يجب أن يقوم أخطاء الحركة تحت البحث. وأكثر من ذلك إذا ما زالت الحركة في وضع ثابت يؤدي إلى مشاكل حركية أخرى (مثل التعب العضلي) - ومثل هذه المشاكل تتزايد. ثم استخدام

طرق التحليل الجنيوميتر الالكتروني Electrogoniometric عن طريق مارس وشونماركلين Marras & Schoenmarklin (١٩٩٣م) لقياس كمية حركة الرسغ في الأفراد الذين يؤدون مهام صناعية، والذين تعرضوا لتاريخ خطر من أعراض اختناق العصب الأوسط- المقارنات بين التعرض الأقصى ومدى الحركة أظهر اختلاف ضئيل مرتكز على مجموعة الخطر. ومع ذلك، أظهر فحص السرعات انفصال كبير بين المجموعتين وأيضاً أظهرت العجلة للرسغ في الثنى والمد والمحاور الزندية الكعبرية اختلاف كبير بين مجموعات الخطر العالي والمنخفض ولوحظت نتائج مشابهة في دوران الذراع وحركات الكب- والبطح لليد. وهناك نماذج الانحدار المنطقي أشارت إلى أن العجلة في محاور الثنى- وحركة المد كانت أكبر مؤشر على مجموعة الخطر (ماراس ١٩٩٢م).

وعند تقويم الحركة في كل محور، يوجد هناك معيار مهم هو انسيابية الحركات. وتزيد قوى الحركة العاملة على المفصل تغير الحركة. وعامة، نجد أن السرعات الصغيرة مع نمط عجلة انسيابية يجب أن تؤدي إلى قوة عضلية صغيرة والحمل الميكانيكي الصغير العامل على المفصل. وحساب العبور الصفري لعجلة المفاصل هو وسيلة لتقويم انسيابية الحركة.



شكل (١٤-٤)

عرض بطاقة تتابع عملية القرار المستخدمة عندما تعتقد أن أوضاع العمل وحركات الجسم تساهم في إصابات العمل

وللمهام الثابتة والديناميكية ، وبيانات الحركة والوقوف إذا طبقت يجب أن تدمج مع قياسات منطقة العمل والقياسات الأنثروبومترية. واستخدم ماركس وآخرون (١٩٩٣م) جينوميتر الكتروني لقياس كمية الحركة في العمود الفقري في التعامل المتكرر اليدوي مع الخامات. لكل من ٤٠٠ وظيفة التي تقاس فيها حركة الجذع، الخطر التاريخي لاصابة الظهر يحصل عليها من سجلات الحوادث. والوظيفة التي لا يوجد فيها اصابات ظهر ولا يوجد معدل تغيير عمال صنفت كخطر منخفض. والوظائف عالية الخطر لها معدل اصابات ظهر ١٢ أو أكثر في كل ٢٠٠,٠٠٠ ساعة تعرض. متغيرات منطقة العمل مثل معدل الرفع ، والثقل المرفوع، وعزم الذراع بين الشئ المرفوع والعمود الفقري، والارتفاع الذي تتولد وتنتهي فيه كل رفعة. وأيضاً القياسات الأنثروبومترية لكل موظف. ومن خلال نموذج تحليل الانحدار المنطقي من قياسات موضع العمل والثني الأمامي وقمة سرعة الثني للجانب، ومتوسط سرعة الدوران تكون مكونات الجذع. ونجد أن معدل الرفع (الرفعات كل ساعة) وقيمة العزم المؤول من الشئ المتداول (وزن الشئ × المسافة بين مركز الشئ والعمود الفقري) تكون المتغيرات موضع العمل. وتظهر في شكل (٤-١٥) وظيفة في مصنع مشروبات تم مقارنتها في النموذج. ونجد أن كل من المقاييس في الصورة تمثل واحد من الخمس متغيرات، والعمود يشير إلى القيمة الملحوظة للمهمة المقصودة. والنموذج بها يشير إلى أي المتغيرات ترتبط أكثر مع خطر اصابة عالي. وكمثال، العلامات تظهر القياسات من مهمة نقل المنتج في حالات القصير أينما يتحرك من منصة منخفضة عن مستوى الركبة إلى منصة أخرى تقريباً في مستوى الوسط. بوضوح، نجد أن

معدل أداء الرفع وكمية الثنى للأمام كانت عالية فى هذه المهمة. وقيمة احتمال كلية يمثلها الخط المقطع يمكن الحصول عليها من متوسط قيم الاحتمال لكل متغير من المقياس. وهذا الاحتمال الكلى يشير أن محاولات المهمة تشبه المهام عالية الخطورة التى ارتكز عليها النموذج. ولكن الأكثر أهمية هو النموذج الذى يشير إلى المتغيرات الأساسية التى يجب تحديدها بالتدخل الحركى.

وبالرغم من أن القياسات الأنثروبومترية لم تدخل فى النموذج الذى وضعه ماراس وآخرون (١٩٩٣م)، باحثون آخرون وجدوا أن الأفراد الأطول يكون عندهم حمل ميكانيكى أكبر على العمود الفقرى عن الأقصر (ماجنوسون وآخرون ١٩٩٠م). وفى مثل هذه العوامل يجب أخذها فى الاعتبار عند ترجمة بيانات حركية لفصل الخطر الحركى. وذلك مرتكزاً على هذا النوع من التحليل، وحلول حركية يمكن وضعها.

٣. تطبيق على التحليل الحركى فى تصميم الحلول لمشاكل حركية : Application of motion analysis in design solutions to ergonomic problems

نجد ان الحلول الحركية يمكن أن تنتوع فى الشكل والتعقيد من اعادة توجيه الأجزاء فى خط الانتاج لاعادة تصميم محطة العمل الكلية. وكمثال، لو أن مهام التكوين تتطلب من الموظفين أن يدمجوا دوران الساعد مع ثنى الرسغ، يجب أن تحدد عناصر المهمة الأساسية المسئولة عن الحركة. وربما بتغيير توجيه الأجزاء أو تتابع خطوات التكوين، وأيضاً حركات المفصل فى محطة العمل يمكن تقليلها.

معدل الرفع (رفعات/ساعة) ٢٩٥	٢٥٥	٢٢٩	٢٠٧	١٨٧	١٦٧	١٤٦	١١٩	٧٩
المتوسط سرعة اللف (ث/) ١٢,٨	١١,١	٩,٩	٨,٩	٨,١	٧,٢	٦,٣	٥,٢	٣,٤
أقصى عزم (ن/م) ٨١,٨	٧٠,٨	٦٣,٤	٥٤,٧	٥١,٩	٤٦,٣	٤٠,٣	٣٢,٩	٢١,٩
أقصى فتحة سهمي () ٢٢,٥	١٩,٥	١٧,٦	١٥,٨	١٤,٣	١٢,٨	١١,١	٩,١	٦,٠
أقصى سرعة جانبية (ث/) ٦٥,٧	٥٦,٨	٥٠,٩	٤٦,١	٤١,٦	٣٧,٢	٣٢,٤	٢٦,٤	١٧,٦
جميع الاحتمالات								
	%٩٠	%٨٠	%٧٠	%٦٠	%٥٠	%٤٠	%٣٠	%٢٠

شكل (٤-١٥)

نموذج المتعدد الاختلافات المطور لماراس Marras وآخرون (١٩٩٣م) والذي يتوقع مجموعة إصابة الظهر مرتكزاً على متغيرات قياسات حركة الجذع ومنطقة العمل. تشير الأعمدة الأفقية إلى القيم لكل من المتغيرات المتحصل عليها من البيانات في وظائف التعبئة في مصنع مشروب. والاحتمال الكلى أن تكون هذه الوظيفة مرتفعة الخطر (معدل أكبر من ١٢ لكل ٢٠٠,٠٠٠ ساعة تعرض) والتي يتركز فيها النموذج الممثل بالخط الرأسى المتقطع

والتقييمات الحركية التي تركز على مشاكل أسفل الظهر يجب أن تدمج العوامل التي تولد الحركات مع التي تتولد بحمل ميكانيكي للعمود الفقري. ومناطق العمل التي تتطلب الرفع، وكمثال، نجد أنه تشمل حركات الظهر وتطبيق حمل خارجي، وكل منهم يزيد الحمل على العمود الفقري. وأكثر من هذا، نجد أن مناطق العمل التي تتطلب حركات جذع في المحور العرضي (اللف) والمحور الأمامي (الثني الجانبي) ربما ترتبط بزيادة معدل خطر إصابة أسفل الظهر، ومثل هذه التجميعات الحركية يجب أن تقلل (أندرسون Anderson 1991م، فريموير Frymoyer وآخرون 1983م). والتدخل الحركي الواقعي المستخدم يعتمد على الموقف. وكمثال، أن الحلول الحركية المثلى للمواقف التي فيها إصابات الظهر منتشرة وتشمل استخدام الرفعات، والذراعين المتصلبين، وأجهزة التوصيل، وأرصعة العمل التي تعدل، والمناضد الدائرية. وفي مثل هذه الظروف، نجد أن الحلول تشير إلى مناطق العمل والعوامل الأنثروبومترية الموصوفة في شكل ٤-١٤ بتقليل حركة الجذع والحمل البيوميكانيكي على العمود الفقري. واستخدام هذه التحكمات الهندسية يعتبر طريقة التدخل الأكثر فعالية لتقليل معدل مشاكل أسفل الظهر (سنوك Snook، كامبانيلي Campanelli وهارت Hart 1978م). وقال سنوك (1987م) أنه يقترح أنه بالرغم من أن اختيار العامل يركز على اختبار قوة الظهر إلا أنه فعال، يجب أن يستخدم في الوظائف التي لا تتعرض لتحكم هندسي. وفي مناقشة أكثر على التدخلات المحتملة يمكن أن توجد في نصوص حركية مثل شافين Chaffin وأندرسون Andrsn 1991م، جراندجين Grandjean 1969م، كوداك Kodak 1982م، تيشور Tichauer 1978م.

وبمجرد الوصول إلى الحلول وتنفيذها، يجب أن نقيم باستخدام طرق اجرائية مشابهة للمستخدم في التحليل المبدئي. ولحلول أبسط، يجب أن تعدل مناطق العمل أو المحطات الموجودة لدمج طرق التدخل المفترضة. وهذه الطرق للتدخل يمكن أن تختبر قبل تنفيذ كاملة التكلفة. وأكثر من هذا نجد أن التغذية الرجعية من الموظف بخصوص التدخل المفترض مهم. وبدون قبول نجد أن العامل للتدخل ربما لا يستخدمه أو لا يستخدمه بطريقة صحيحة. وأكثر من هذا، يجب أن التقييم يحدد لو المشاكل الأصلية تم حلها، وأيضاً إذا كان مشاكل أخرى مازالت موجودة، وإذا كان هناك مشاكل جديدة تستخدم من خلال التدخل.

اتجاهات مستقبلية في تطبيق تحليل حركة الإنسان :

Future trends in the application of human movement analysis to ergonomics

الطرق المستخدمة للوصول إلى كمية حركة الإنسان في منطقة العمل مازالت تتطور. والبرامج الحركية في الصناعة أصبحت معقدة أكثر، كجزء ومقادة بحاجة الكثير من الهيئات لوصف كمى جيد للمشاكل الحركية قبل وضع البرامج المختلفة. ونجد أن الأدوات الحالية لقياس حركة الجذع، الرسغ-الساعد، مدموجة مع النماذج التى تتوقع أفراد الخطر غالباً تعطى معلومات التى تحتاجها الإدارة لعمل قرارات تأسيس. والنماذج تسمح لعملاء الحركة بسرعة تقييم التصميم المقترح بخصوص التأثيرات المتوقعة للمتغيرات. وأينما هذا لا يمكن تقديره نظرياً، أن المحاكاة يمكن وضعها لقياس الحركة الواقعية.

ومثل هذه التقييمات تحدد اذا كان التعديل المفترض سيكون ناجح، وبدون الحاجة لانتظار تراكم معدل الاصابة.

وفى النهاية، نجد أن هذه النماذج سوف تدمج فى برامج كمبيوتر تتبر مناطق الخطر خلال تحليل بيانات الحركة. وفى هذه النقطة، نجد أن النموذج البيوميكانيكية الديناميكية يمكن أن تترجم أكثر البيانات لتقدير الحمل الميكانيكى للمفصل فى الظروف الملاحظة. وقواعد البيانات التى تشمل قدرات قوة المجتمع، ومصنفة على أساس متغيرات الحركة يمكن أن تدمج مع بيانات الحركة المجمعة من منطقة العمل. ومعاً، مثل هذه التحليلات سوف تمد الأخصائى بالمعلومات الضرورية لفهم القدرات المتوقعة والمحددات لأى عمل تحت ظروف العمل المقاسة والمتنوعة.

المراجع :

- 1- Anderson, G.B.J. : (1991), The epidemiology of spinal disorders. In J.W. Frymoyer (Ed.). The adult spine: Principles and practice (pp.107-146). New York: Raven Press.
- 2- Armstrong, T.J. : (1983), An ergonomic guide to carpal tunnel syndrome. AIHA Ergonomic Guide Series. Akron, OH: American Industrial Hygiene Assn.

- 3- Bigos, s.J., Battie, : (1991), A prospective study of
M.C., Spengler, D.M., work perceptions and
Fisher, L.D., Fordyce, psychological factors affecting the
W.E., Hansson, T.H., report of back injury. Spine, 16, 1-
Nachemson, A.L. & 5.
Wortley, M.D.
- 4- Chaffin, D.B., & : (1991), Occupational biomechanics.
Andersson, G.B.J. New York, Wiley.
- 5- Frymoyer, J.W., Pope, : (1983), Risk factors in low-back
M.H., Clements, J.H., pain. Journal of Bone & Joint
Wilder, D.G., Surgery, 65-A, 213-218.
MacPherson, B. &
Ashikaga, T.
- 6- Grandjean, E. : (1969), Fitting the task to the man.
London: Taylor & Francis.
- 7- Kodak : (1982), Ergonomic design for
people at work: Volume 1, New
York: Van Nostrand Reinhold.
- 8- Kumar, S. : (1990), Cumulative load as a risk
factor for back pain. Spine, 15,
1311-1316.

- 9- Magnusson, M., : (1990), The loads on the lumbar spine during work at an assembly line: The risks for fatigue injuries of vertebral bodies. *Spine*, 15, 774-779.
- 10- Marras, W.S. : (1992), Toward an understanding of dynamic variables in ergonomics. *Occupational Medicine: State of the Art Reviews*, , 655-677.
- 11- Marras, W.S., : (1993), The role of dynamic three-dimensional trunk motion in occupationally- related low back disorders: the effects of workplace factors, trunk position, and trunk motion characteristics on risk of injury. *Spine*, 18, 617-628.
- 12- Marras, W.S. & : (1993), Wrist motions in industry. *Ergonomics*, 36, 341-351.
- 13- Osborne, D.J. : (1982), *Ergonomics at work*. Chichester, Wiley.
- 14- Priemer, R. : (1991), *Introductory signal processing*. Singapore: World Scientific.

- 15- Snijders, C.J., van : (1987), Continuous measurements of Riel, M.P.J.M., & spine movements in normal work situations over periods of 8 hours or more. *Ergonomics*, 30, 639-653.
- 16- Snook, S.H. : (1978), A study of three preventive approaches to low back injury. *Journal of Occupational Medicine*, 20, 478-481.
- 17- Snook, S.H., : (1987), Comparison of different Campanelli, R.A. & approaches for the prevention of low back pain. In *ergonomic interventions to prevent musculoskeletal injuries in industry* (pp.57-72), Chelsea, MI: Hart, J.W. Lewis.
- 18- Tichauer, E.R. : (1978): The biomechanical basis of ergonomics: Anatomy applied to the design of work situation. New York: Wiley.

رابعاً: دقة وضبط نظم تحليل الفيديو والتصوير السينمائي :
Precision and accuracy of video and cinfilm digitizing system

المقدمة : Introduction

غالباً تتطلب دراسة حركة الإنسان تسجيل وتحليل الحركة باستخدام التصوير أو تسجيل الفيديو وعممت طرق التحليل اليدوي لكل تسجيل للحصول على تحليل البيانات الكينماتيكية. في الوقت الحاضر أصبح التصوير بالفيديو مقبولاً في التحليلات البيوميكانيكية، وتعتبر مشكلة دقة وضبط نظم التحليل سواء باستخدام التصوير بكل من الفيديو والسينما من أهم المشاكل التي تهم العاملين في مجال الميكانيكا الحيوية لذا تهدف هذه الدراسة إلى مقارنة كل من التصوير بالفيديو والسينما لتحديد دقة وضبط الإجراءات وفي سبيل تحقيق ذلك تم تصوير مجموعتين إحداها بنظام التصوير بالفيديو بأدنى نقطة خاطفة Sobpixl cursor والأخر بنظام التصوير السينمائي بهدف دراسة اختبار تأثير تشويه العدسة، نوعية الصورة وقياس وضوح النظامين. بالإضافة إلى التعزيز بالخصائص الجديدة لأعلى وضوح لنظام التحليل بالفيديو وفق اكتشاف تارجيت وكيروين Target and Kerwin (١٩٩٥م) (٥).

النظري والدراسات السابقة : Review studies and theory

عرض كل من شابيرو وآخرون Shapiro et al. (١٩٨٧م) (٧)، كينيدي وآخرون Kennedy et al. (١٩٨٩م) (٢)، أنجولو ودابيننا Angulo and Dapene (١٩٩٢م) (١) أن البيانات الحاصلين عليها من تلك المشتقة من صور الفيديو كانت أقل دقة من المشتقة من التصوير السينمائي.

هناك عالمن اقترحوا لمدى دقة التحليل بالفيديو، نوعية الصورة وحجم النقطة. وتتأثر نوعية صورة الفيديو بنوعية العدسات ومكونات تسجيل الفيديو، ولوحة نزع الصورة ووضوح شاشة الفيديو. يعزو بولينير Poliner وآخرون (١٩٩٢م) (٦)، كثير من ملازمة الخطأ فى نظام الفيديو إلى تشويه العدسات، أقر كل من أنجولو Angulo وآخرون (١٩٩٢م) أن تشويه العدسات وكل رداءة فى نوعية الصورة وانخفاض وضوح القياس عن أكبر الأخطاء عند استخدام الفيديو.

اعترف إنجليز Inglis (١٩٩٣م) (٣) بانخفاض الوضوح ولكن شدد على الحصول على الفهم الذكى للفيديو يقيد كبر حجم النقطة للقياسات الخاطفة بالعدد الصحيح لأحجام الخطوة. استخدم مؤخراً النصف نقطة الكاذبة، واختيارات لتكبير الصورة ولكن الوضع النهائى لقياس الفيديو القياسى لم يظهر إتمام اكتشافه.

الإجراءات : Procedures

تم مقارنة التصوير السينمائى المقاس العادى ١٦م بشكلين لتسجيل الفيديو ونظامين التحليل الأخير بأدنى دقة للحركة الخاطفة- استخدم علامات الرجوع الثابتة وجرى الفرد سجل من خلال رؤية تسعة متر. وتم اختبار تأثير تصحيح العدسة لضبط ودقة بيانات الفيديو والتصوير السينمائى. استخدم متوسط الجذر التربيعى بين المتوسط والقيم المعيارية واختبارات التجانس والتباين لتحديد الاختلافات بين النظم.

Results : النتائج

تغيرات صغيرة في طريقة وحجم السرعة، التنوع في صناعة تصوير الفيديو واستخدام استقاء خط الفيديو يمكن الأداء لنظام الفيديو المحدد ليكون مثالياً. حددت دقة وضبط العلامات الثابتة ولكن بيانات الضبط لم يكن استخدامها كمعيار مستقل. عندما يتضمن أى تصحيح مفرد لاصطلاح لانتظام العدسة بيانات الفيديو متوسط الخطأ في x,y يقلل الدلالة الاحصائية (ب) عرضت من قبل (وود مارشل Wood Marshal ١٩٨٦م) (٨) وتشالز وكيروين Challis and Kerwin (١٩٨٩م) (٢) اصطلاحات تصحيح العدسة مع بيانات التصوير السينمائي اشتمل على تحسين بسيط أو عدم تحسين في الدقة.

جدول (١-٤)

الحركة (الجرى) Movement (running)		
الضبط		النظام
y	x	
٢٠,٢	٢٠,١	VHS/ P
١٩,١	١٧,٥	VHS / P + LC
١٢,٠	١١,٤	HI-8 / T + LCO
١٣,٣	١٥,٥	16MM / TDS

جدول (٢-٤)

الأوضاع الثابتة Static points

النظام		الدقة		الضبط	
		y	x	y	x
VHS/ P		٧,٤	١٥,١		
VHS / P + LC		٤,٥	٧,٠	١٣,٩	٨,٨
HI-8 / T + LCO		٢,١	٢,٦	٣,٠	٣,٥
16MM / TDS		٢,٧	٣,٥	٦,٠	٦,٢

حيث أن +LC = تضمن اصطلاح تصحيح العدسة المنفردة في إنتاج الانتقال الخطي المباشرة (DTL)

+O = مع مثالين هدف خصائص المحلل

P = نظام فيديو ألوان لمعان ٨ بايت

T = نظام فيديو ألوان ٢٤ هدف بايت

TDS = نظام الإزاحة الأولية منضدة تحليل HR 48 مع عاكس صور NAC 16MM

جدول (١-٤) مقارنة متوسط الخطأ المعياري (م م) لنظام تحليل

الفيديو الملون لمعان ٨ بايت ونظام تحليل فيديو ملون ٢٤ بايت مع نظام التصوير السينمائي ١٦ مم. تحسين نوعية العدسة وتكوين تسجيل الصورة عن طريق استخدام أعلى تركيبة كاميرا/عدسة وأعلى وضوح لشريط تسجيل فيديو (HI-8VHS) ينتج تحسين الدقة بنسبة ٤٥%. توظيف ٢٤ بايت أفضل من ٨

بايت في الفيديو لتخزين الإطار وأدنى نقطة خاطفة للقياسات حسنة الدقة بحوالى ١٠%. وجد أنه مع ربط ارتفاع الوضوح لشريط التسجيل المتوسط، وتصحيح اصطلاح العدسة من خلال الانتقال الخطى المباشر ينتج بيانات أكبر دقة وضبط من التصوير السينمائي مقاس ٦مم.

المناقشة : Discussion

العاملان السابق تحديدهما لمدى الدقة في الفيديو هما نوعية الصورة، حجم النقطة. استخدام تصحيح العدسة من أجل نوعية الفاعلية البصرية لعدسات الفيديو وتحسين إمكانية وضوح المحلل عن طريق إحلال ربع حجم خطوة حركة النقطة تلك الحدود لتحسين نظام الفيديو قادرة على الدقة والضبط أكفاً من التصوير بالسينما.

المراجع :

- 1- Angulo, R.M., et al. : (1992), Int. J. Sport Biomech., (8, 145-151).
- 2- Challis, J.H., et al. : (1989), J. Sports Sciences, 7, 1, 6.
- 3- Inglis, A.F. : (1993, Video engineering, New York: McGraw Hill.
- 4- Kennedy et al. : (1989), Int. J. Sport Biomech., 5, 457-465.
- 5- Kernin, D.G. : (1995), Biomech, Bases, 20, 1-4.
- 6- Poliner, J. et al. : (1994), J. Biomech., 27, 5, 625.
- 7- Shapiro, R. et al. : (1989), Int. J. Sport Biomech., 2, 80-86.
- 8- Wood, G.A., et al. : (1986), J. Biomech., 19, 781-785.

خامساً : تقدير قوى العضلة والمفصل :

Estimation of muscle and joint forces :

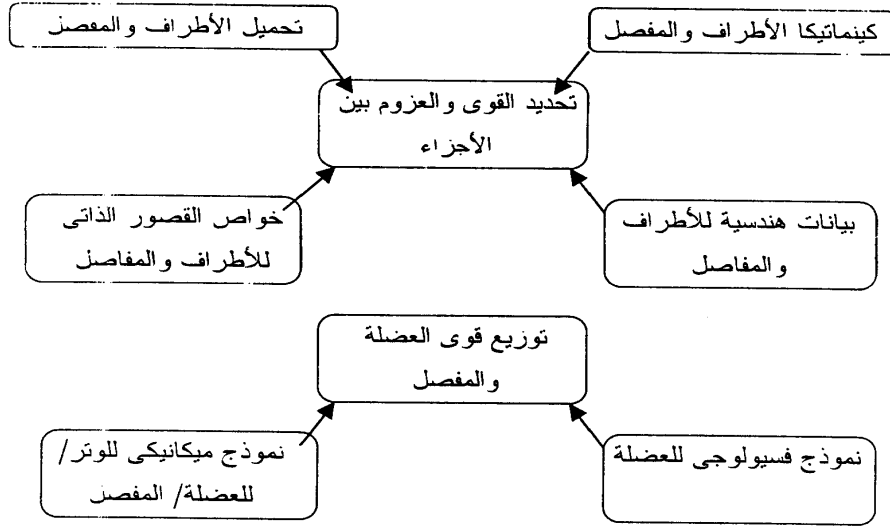
الأحمال الواقعية التى تحملها المفاصل لها تأثيرها. غالباً يرتبط تأكل غضروف المفصل وتراخى رباط الكبسولة Capsuloligamentous بمدى ونمط انتقال الحمل عند المفصل. فى استبدال المفصل الكلى، يرتبط الاستخدام والتشوه فى سطح التمثيل، وتوزيع الحمل فى المفصل المزروع، والسلوك الميكانيكى لسطح العظمة- المفصل وسمات الحمل لثبات العظمة- بحمل المفصل ويلعب تحميل العضلة والمفصل دور هام جداً فى التئام كسور العظام. إن معرفة مدى وطريقة تحميل المفصل فى جسم الإنسان مهم فى تحديد الميكانيزم الممكن لمنع الإصابة خلال نشاط رياضى أو مهنى.

إن حساب القوة الداخلية للعضلة والمفصل تمدنا بالمعلومات الإضافية المفيدة فى تصميم زرع المفاصل Implants، والجراحة Surgery، وبرامج التأهيل Rehabilitation programs، فى آخر عقدين تطورت العديد من الطرق التجريبية والتحليلية لتقدير قوة العضلة والمفصل.

يشتمل التحليل لتحديد قوة العضلة والمفصل على خطوتين - شكل (٤-١٦) - هما :

- (١) تحديد القوة بين الأجزاء والعزوم فى المفصل معتمداً على بيانات كينماتيكية وكيناتيكية محسوبة أو مقاسة (مشكلة ديناميكية معكوسة).
- (٢) تقسيم القوى بين الأجزاء والعزوم فى العضلة والمفصل (مشكلة توزيع القوى).

ويناقش ويوضح هذا الفصل مفاهيم هاتين الخطوتين



شكل (٤-١٦)

تحليل تحديد قوى العضلة والمفصل الممكن تنفيذها في خطوتين:
تحديد القوى، والعزوم بين الأجزاء وتوزيع القوى

١- تحديد القوى والعزوم بين الأجزاء :

Determination of intersegmental forces and moments

يتم تحديد قوة العضلية والمفصل المجهولة في البيوميكانيكا حسابياً، وذلك لعدم إمكانية قياسها مباشرة، وبمعنى آخر، يمكن قياس الحركة باستخدام طرق فنية تجريبية.

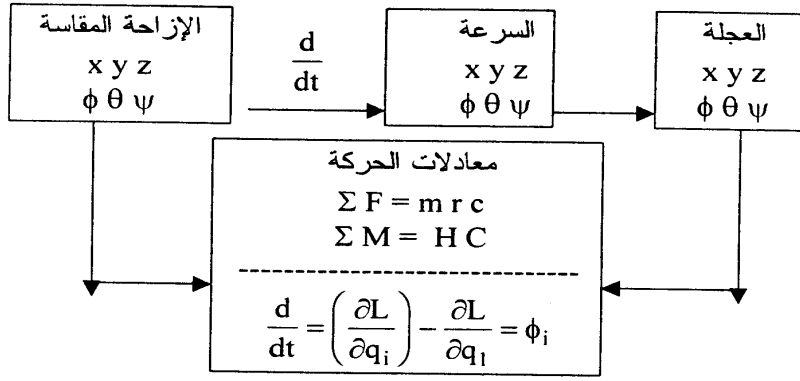
يتطلب تحديد القوى والعزم المؤسس على بيانات كينماتيكية حل مشكلة ديناميكية عن شرو وريم Chao & Rim (١٩٧٣م)، شكل (٤-١٧) ويمكن أن يعتمد اشتقاق معادلات الحركة إما على معادلات نيوتن أو لاجرانج .Newton or Lagrang

حل بسيط يفترض أن التأثيرات الكينماتيكية مهملة، وتسمح بالتحليل الثابت، التوازن الثابت هو حالة يكون فيها الجسم في حالة ثبات (راحة) - أعني بدون حركة في علاقته بالبيئة المحيطة به- وجميع القوى الداخلية والخارجية والعزوم متوازنة. توازن كل من الانتقال والدوران مطلوب للحفاظ عليها لكل جزء من الجسم. لذا فإن معادلات التوازن الثابت هي :

$$\Sigma F = 0 \quad (1)$$

$$\Sigma M = 0 \quad (2)$$

لكل جزء من أجزاء الجسم.



شكل (١٧-٤)

مشكلة ديناميكية عكسية

يشمل مجموع القوى والعزوم القوة F_1 بين الأجزاء، والعزوم M_1 بين الأجزاء والقوة المطبقة خارجياً والعزم على الجزء الأبعد من المفصل. لتوضيح الأجزاء، تبسيط مشكلة البعدين توضع في الاعتبار. فمثلاً في الشكل (١٨-٤)، عندما يمسك الفرد في اليد وزن ٢٠ نيوتن على مسافة ٣٠ سم من مفصل المرفق (الكوع)، إذن يمكن حساب القوة بين الأجزاء من معادلات

توازن القوة :

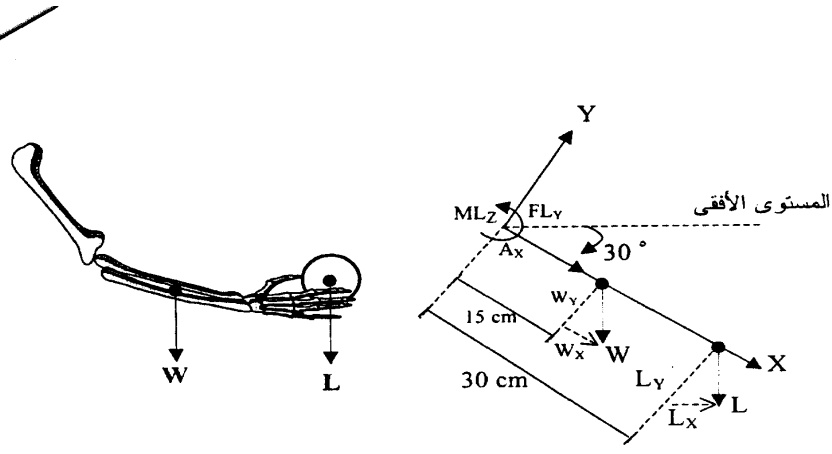
$$F_{1x} + L_{1x} + W_x = 0 \quad (3)$$

$$F_{1y} + L_{1y} + W_y = 0 \quad (4)$$

حيث أن $W = W_x$ جا ٣٠، $W = W_y$ جتا ٣٠، $L = L_x$ جا ٣٠،

$L = L_y$ جتا ٣٠، $W = ١٥$ ن، $L = ٢٠$ ن، والتي تعطى FL_y ، FL_x

وتكون -١٧,٥ ن، ٣١,٣٠ ن على التوالي.



شكل (١٨-٤)

مشكلة القوة الثابتة مع وزن في اليد عندما تكون
زاوية الذراع ٣٠ تحت المستوى الأفقى

من أجل حالات ديناميكية، الهيكل العضلى للجسم يمكن نمذجته بعدد
من الأجزاء الصلبة متصلة عند المفاصل فى الحركة. لو مسارات الإزاحة،
وخواص كتلة الأجزاء والقوى الخارجية المطبقة معروفة، يمكن تحديد القوى
الداخلية والعزوم بين الأجزاء التى تعمل على الطرف بتطبيق معادلات الحركة
على النظام. إذا وضعت مشكلة الأبعاد الثلاثة فى الاعتبار تضاف ثلاث
معادلات التوازن سوف تشتمل على حساب القوة فى الاتجاه z (F_{1z}) والعزم
فى الاتجاه x (M_{1x})، العزم فى اتجاه y (M_{1y}).

يمكن اعتبار أن محصلة القوة والعزم بين الأجزاء تعمل عند النهاية
القريبة Proximal end والنهاية البعيدة Distal end لكل جزء من الجسم.

هذه القوة والعزوم هي التأثير الصافى الكيناتيكي لكل محصلة من أجزاء الجسم على الآخر. من المهم ملاحظة أن هذه المحصلات بين الأجزاء كميات كيناتيكية مفهومها ليس بالضرورة أن تظهر بدنياً فى أى تركيب تشريحي مقرر. محصلة القوة والعزم بين الأجزاء تمثل مجموع متجه كل القوى فى التركيب التشريحي ومجموع متجه العزوم الناتجة عن طريق تلك القوى.

يمكن تحديد المحصلة بين الأجزاء معتمداً على كتلة الجسم المعروفة والأحمال الخارجية للقصور الذاتى. مبدئياً محصلة القوى والعزم بين الأجزاء العامة تسمى مشكلة توزيع القوة، لسوء الحظ عدد المتغيرات المجهولة للقوة العضلية وقوة الضغط على المفصل والعزوم عادة تزيد المعادلات المتوافرة. ويتأسس سبب ذلك على الطبيعية المتسعة للتركيب التشريحي: يوجد عضلات عديدة يمكنها تنفيذ وظائف متناغمة حسابياً ينتج هذا مشكلة لا يوجد لها حل مفرد. تمثل درجة التعدد الاختلافات بين عدد المتغيرات المجهولة وعدد المعادلات ولكى تحل هذه المشكلة يجب أن تقلل درجة التعدد إما بإدخال معدلات ضغط أو تقليل عدد المتغيرات المجهولة.

لذلك يعتبر حساب عدد المتغيرات المجهولة مقابل الضغط فى معادلات الحركة هاماً عند تحديد قوة العضلة والمفصل عامة، هذا الإجراء للتفكيك ينجز معتمداً على مفهوم درجة الحرية (DOF). يمكن أن تتحرك مفاصل الإنسان التى لها كل من ضغط الرباط والكبسولة و سطح المفصل بحرية فى اتجاهات عديدة للانتقال والدوران. الأنماط الممكنة لحركة المفصل تمثل درجة الحرية

(DOF) لانتقال ودوران المفصل فمثلاً، مفصل الكتف والمرفق (الكوع) يعتبر لهما درجة حرية (DOF) ٣، ١ على التوالي، لهذا معادلات توازن العزم المرتبطة تكون فقط من متغيرات قوة العضلة المجهولة. ومن خلال تحديد قوة العضلة، قوة ضغط المفصل والعزم يمكن من ثم تحديدها باستخدام المعادلات الباقية للحركة.

تفكيك معادلات الضغط تصنع الإجراء للحل الأسهل والأكثر قبولاً، ومع ذلك في بعض الظروف من غير المناسب استخدام إجراء التفكيك لحل قوى العضلة والمفصل مستقلاً. فمثلاً وضح أن هيمنو An Himeno تسومورا Tsumura، كاواي Kawia وشاو Chao (١٩٩٠م) حديثاً أن مدى واتجاه محصلة قوة المفصل المحددة عندما يشترك النظام الهيكلي العضلي في وظائف ثابتة أو ديناميكية، تنشيط ثلاثة أنواع من القوى هي: قوة الوتر والعضلة، قوة اتصال المفصل، قوى الرباط والكبسولة، للثقة في النمذجة والحساب يجمع اتصال المفصل وقوى الرباط لتشكل محصلة القوة والعزم. يمكن التفكير في مشكلة حساب القوى داخل التراكيب التشريحية كمسألة.

٢- توزيع قوى العضلة والمفصل :

Distribution of muscle and join forces

يمكن من خلال حساب محصلة القوة بين الأجزاء والعزم حساب قوة العضلة، قوة الضغط على المفصل، وعزم الضغط على المفصل معتمداً على مفهوم التوازن.

$$F_1 = \Sigma F_m + F_j \quad (6)$$

$$M_1 = \Sigma M_m + M_j \quad (7)$$

بهذه الطريقة ربما ينتج عنها مفصل غير ثابت، ولذلك يتطلب الأمر قوة عضلية مضادة إضافية لتحقيق الثبات.

٣- طريقة التقليل : Reduction method

تهدف طريقة التقليل إلى تقليل درجة التعدد بتقليل عدد القوى المجهولة حتى يكون عدد القوى المجهولة يساوى عدد المعادلات. يمكن تجميع العضلات ذات الوظائف المتشابهة أو المنشأ والاندغام التشريحي في مجموعة واحدة بينما يمكن استخدام البيانات الكمية للرسم العضلي الكهربى في إزالة العضلات غير النشطة. بالرغم من أن هذه الطريقة تعطى قوة المفصل، إلا أن تفاصيل السلوك الفردى للعضلات يفقد من الحل. فى مثال رفع وزن فى اليد، دعنا نفترض أن كل مثنيات المرفق تجمع كعضلة واحدة، شكل (٤-١٨) تشتمل معادلة عزم الاتزان المثنية والمادة على متغيرين فقط، العزم بين الأجزاء الذى يسحب من مشكلة ديناميكية عكسية، وقوة العضلة المجهولة. فى هذه الحالة التبسيط يمكن أن يحدد قوة الثنى كوحدة من :

$$M_{1z} = 714.5 \text{ N.cm} - F_F \times \sin 45^\circ \times 3 \text{ cm}$$

Hence

$$F_F = 337 \text{ N.}$$

خلال تحديد قوة العضلة، قوة الضغط على المفصل، F_{jx} ، F_{jy} يمكن

عندئذ تحديدها بالاعتماد على معادلتى قوة الاتزان :

$$F_{1z} = -17.5 \text{ N} = F_{jx} - F_{Fx} \cos 45^\circ,$$

Hence

$$F_{jx} = 220.5N$$

لليمين،

$$F_{ly} = 30.31 N = F_{jy} + F_F \times \sin 45^\circ,$$

Hence,

$$F_{LY} = -208.0 N$$

وهي ٢,٨ نيوتن لأسفل.

الطريقة البديلة لتقليل درجة التعدد هو زيادة معدلات الضغط- عادة ينفذ هذا بافتراض توزيع القوى بين العضلات مرتكزاً على اعتبار تشريحي لمساحة المقطع الفسيولوجي للعضلة أو مرتكزاً على الملاحظة الفسيولوجية مثل قياسات كمية من رسام الجهد الكهربى للعضلى (EMG).

دعنا نضع فى الاعتبار نفس المثال لرفع ثقل فى اليد، فى هذه الحالة فى النموذج عوض عن ثلاث عضلات ذات الرأسين العضدية Biceps، العضدية Brachialis، العضدية الزندية Brachioradialis، شكل (٤-١٩).

من خلال عرض وضع الساعد، أذرع الرافعة لكل من العضلة ذات الثلاث رؤوس (BIC)، العضلة العضدية (BRA)، والعضلة العضدية الزندية (BRD) هي ٤,٦ سم، ٣,٤ سم، ٧,٥ سم على التوالي، ما هي القوة العضلية المطلوبة للحفاظ على الساعد فى الوضع المعروض؟

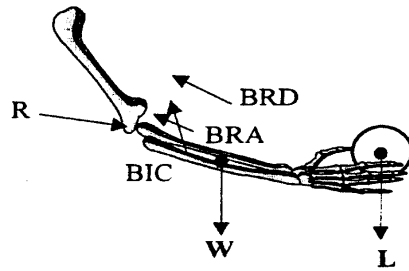
عن طريق توازن العزوم حول المرفق :

$$M_{Iz} = 714.5 N.cm = 4.6 \times F_{BIC} + 3.4 \times F_{BRA} + 7.5 \times F_{BRD}.$$

لاحظ أنه يوجد هناك معادلة واحدة، ولكن هناك ثلاث مجاهيل، ليس من الممكن حل هذه المشكلة، التي تسمى مشكلة غير المحددة. بمعنى أن المعادلة تشمل قيم غير معروفة للقوى في التركيب التشريحي أكبر منها في معادلات وصف سلوك المفصل. يسمح الضغط الفسيولوجي لنا بإزالة أى حلول فيها قوى العضلية سلبية أو عالية بصورة غير طبيعية. ولكن مازال يوجد عدد غير منتهى من الحلول يمكن أن تفي بمطالب المعادلة، ولكن ربما يكون صعب أو غير ممكن أن تعرف أى حل يكون صحيح، لكى توزع القوى فى العضلات والمفصل للحصول على حل مفرد، يجب أن تدخل معادلات ضغط إضافية، فمثلاً، بالاعتماد على الاعتبارات الفسيولوجية، ربما يفترض أن قوة العضلة تكون متناسبة مع مساحة المقطع الفسيولوجي للعضلات (أن هوى An Hui، Morrey، لنشيد Linscheid، شاو Chao (١٩٨١م) (٢٢) :

$$F_{BIC} / F_{BRD} = 4.6 / 1.5$$

$$F_{BIC} / F_{BRA} = 4.6 / 7.0$$



شكل (١٩-٤)

تحديد قوى العضلة على مفصل المرفق مع ٣ مسميات هم ذات الرأسين العضدية (BIC)، العضدية (BRA)، والعضدية الزندية (BRD)

الآن يوجد هناك ثلاث معادلات التي تجعل المشكلة قابلة للحل، قوى العضلة F_{BIC} , F_{BRD} , F_{BRA} وقيمها وجد أنها ٥٨,٥ نيوتن، ١٩,١ نيوتن، ٨٩,٠ نيوتن على التوالي.

يجب أيضاً أن نتذكر أن عدد معادلات الضغط يمكن أن تزيد بوضع ظروف المفاصل المتجاورة في الاعتبار. في الحالات التي فيها العضلات تتقاطع في مفصلين، من المهم أن نحل معادلات التوازن لكل مفصل بنفس القيمة لكل قوة عضلية.

٤- أمثل الطرق : Optimization method

مشكلة التوزيع عند المفصل هي مشكلة غير محددة، بسبب عدد العضلات، الأربطة، سطوح الاتصال المتوافرة لنقل القوة عبر المفصل، في العديد من الحالات تزيد عن العدد الأدنى للمعادلات المطلوبة لتوليد الحل المحدد، عدد غير محدود لإخراج الحلول الممكنة للمعادلات غير المحددة. يمكن تحديد الحلول فقط من خلال تبسيط وظيفة التشريح. الطريقة الوحيدة للحل بدون مثل هذا التبسيط هي البحث عن حل أمثل أو الحل الذي يصل إلى أقصى أو أدنى عملية أو عمل.

في هذه الطريقة لنظام المعادلة المتعدد هو الحصول على صياغة وظيفية غرضية واستخدام طريقة حسابية مثلى، تعد الوظيفة الغرضية الأساس للمقارنة بين الحلول، أفضل حل يبحث عنه أمثل لوغاريتم، يفترض المدخل للمثالية ان الحمل المشارك بين العضلات يتبع بعض القواعد المصممة خلال

النشاطات الحركية المتعلمة وأن استراتيجية توظيف العضلات يتحكم فيها بعض المعايير الفسيولوجية التى تنجز كفاية وظيفية. يجب أن تتناسب الوظيفة الغرضية مع هذه المعايير الفسيولوجية. فمثلاً: يبدو منطقياً أن العملية المتحكم فيها فى حركة الإنسان تشتمل على مثالية وظيفية الجسم. هذه الملاحظة العامة ذكرت أولاً عن طريق الأخوان ويبر Weber brothers (١٨٣٦م) (٢٠) الذين ذكروا أن الإنسان يمشى بطريقة تقدم لنا أقل انفاق للطاقة لأطول وقت وأفضل نتيجة. مفترضاً نشاط بدنى معين يودى بعدد كبير من مفاصل حمل القوى، الفرد ربما يمارس توليد القوة فى العضلات المتحكم فيها بنشاط.

المعيار أن الفرد يختار بوعى أو بدون وعى تحديد التحكم فى عمل العضلة ربما يتنوع مع طبيعة النشاط البدنى المؤدى والقدرات البدنية للفرد، التحكم العضلى فى العدو السريع ربما يخدم فى الوصول لأقصى سرعة. بينما فى المشى عملية التحكم ربما تخدم فى أقصى تحمل. فى الظروف المرضية المؤلمة، مثل مرض تأكل المفاصل التحكم العضلى ربما يخدم فى تقليل الألم. لو الألم ناتج عن ضغط على سطح المفصل معيار المثالية المناسب ربما هو تقليل قوى احتكاك سطح المفصل.

ربما أيضاً يخدم التحكم العضلى فى تقليل القوى المنقولة بواسطة المفصل السلبية، مثل الأربطة، معيار المثالية الممكن عديد واختيار المعيار لحل مشكلة توزيع خاصة ربما لا يكون ملحوظ،

لكي تحل مشكلة المثالية، يجب تخصيص صيغته ويتم هذا عن طريق:

- تحديد تكلفة الوظيفة.
- تحديد وظائف الضغط.
- تخصيص متغيرات التصميم.
- وضع الحدود المناسبة لمتغيرات التصميم.

يمكن تلخيص وظائف هذه الطريقة كما يلي :

الأدنى

$$\begin{aligned} J &= F(x_1, x_2, \dots, x_n) \\ g_i(x_1, x_2, \dots, x_n) &= 0 \quad (i=1, 2, \dots, m) \\ 0 &\leq x_i \leq U_i \quad (i=1, 2, \dots, n) \end{aligned}$$

حيث أن J هي معيار المثالية (وظيفة التكلفة)، الذي يمكن أن يكون وظيفة خطية أو غير خطية للمتغيرات. الوظيفة g تمثل معادلات الحركة وبعض علاقات الضغط المتساوية. x_i تعني متغيرات مستقلة، التي هي قوى مفصل وعضلة مجهولة. هذه المتغيرات ربما أيضاً أن تكون عرضة لضغوط غير متساوية، مع أي من الوظائف الخطية وغير الخطية، مشكلة المساواة يمكن حلها حسابياً. وعدد الأنظمة الرقمية والبرامج التي تطور لهذا الغرض.

من المهم تفهم كل من السلوك الحسابي والدلالة الفسيولوجية لهذه الطريقة العامة لحل مشكلة توزيع غير المحدد. الطريقة التي بها يوجد الحل الأمثل والسمات العامة لهذا الحل تقدم أفضل بمثال بسيط، اعتبر المشكلة:

Minimize

$$J = 2x + y$$

Subject to

$$2x - y = 2$$

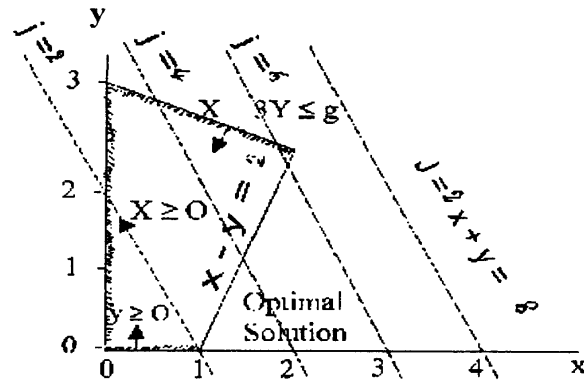
$$x + 3y \leq 0$$

$$x \leq 0$$

$$y \geq 0$$

التمثيل البياني لهذه المشكلة وحلها يظهر في شكل (٤-٢٠). وظيفة الأجزاء توصف بالخط (القيمة) تنقص بينما يتحرك اليسار إلى منطقة الضغط غير المتساوى. أى تقدم أكثر لهذا الخط تنتج عنه ضغط أكبر من صفر لهذا القيمة الأدنى لوظيفة الأجزاء وجدت في $x=1$ ، $y=0$ عندما $j=2$.

اختيار وتضبيب معيار المثالية له مشاكل كبيرة تستخدم تنو متسع من وظائف التكلفة مع درجات مختلفة من النجاح وهذا يناقش باتساع في الجزئين التاليين. المعيار يجمع تبعاً لطبيعة طريقة المثالية خطية أو غير خطية. أكثر من هذا، هذه المعايير ربما تشمل وظائف عرضية مقررّة أو عديدة.



شكل (٢٠-٤)

الحل البياني لمشكلة المثالية = الأدنى $y+x2$ ، يتوقف على
 $2x-y=2; y \geq 0; x+3y \leq 9; x \geq 0$ المنطقة المظلمة تشير إلى
 منطقة الحل الممكن للضغوط المتناسبة.

٥- معيار خطي : Linear criteria

الصياغات الحسابية للمعيار الفسيولوجي لمشاركة الحمل بدأ في
 الظهور من ٢٥ عاماً، ماك كونال MacConaill (١٩٦٧م) (١٤) حدد مبدأ
 الحد الأدنى الكلي للقوة العضلية، الذي افترض أنه ليس من الضروري
 للاحتفاظ بالوضع المناسب أو أداء الحركة المستخدمة أن تكون القوة العضلية
 الأكثر. تبعاً لذلك يقلل هذا مجموع قوى العضلة، الوظيفة الغرضية التي
 استخدمت باتساع (بيودتي Pedotti، كرشنان Krishnan، ستارك Stark)
 (١٩٧٨م) (١٦)، سيارج Seereg، أرفيكار Arvikar (١٩٧٥م).

كمثال: فى مثال رفع الوزن باستخدام ثلاث مثنيات للمرفق، يمكن توزيع قوة العضلة وتحديدھا عن طريق :

Minimize

$$J, F_{Bic} + F_{BRD} + F_{BRA}$$

Subject to

$$M_{iz} = 714.5N.cm = 4.6 F_{Bic} + 3.4 F_{BRA} + 7.5 F_{BRD}$$

Thus

$$F_{Bic} = 0, F_{BRA} = 0 \text{ and } F_{BRD} = 95.27N$$

من الواضح فى هذا المثال المرتكز على الوظيفة الغرضية الخطية أن اثنين من المتغيرات المجهولة لهما قيمة صفر فقط عضلة واحدة هى العضدية الزندية تعطى قوة.

هذه السمة للبرمجة الخطية، وبذلك فى الحمل فقط عضلات نشطة قليلة مع قيم غير صفرية متوقعة بتزامن ليس دائماً ثابتاً فسيولوجياً. فى المثال السابق، عندما يستخدم نموذج المستوى لمفصل مفرد التقليل لوظيفة الغرض الخطية ينتج عنها توقع أن عضلة واحدة فقط- العضلة مع أكبر ذراع رفع- تكون نشطة. ومع ذلك فى أغلب النشاطات المرتكزة على الملاحظة للرسم العضلى الكهربى، معروف أن عدة عضلات تتقاطع فى المفصل وتكون نشطة فى تزامن واحد.

إن صياغة ضغوط إضافية هى الطريقة الوحيدة لتحسين التوضيح للقوى العضلية مع معيار خطى يحدد الضغوط غير المتساوى لكل وحدة

مساحة فى كل عضلة استخدم عن كراونينتشيلد Crowninshield (١٩٧٨م) (٨)، وكراونينتشيلد، براند Brand (١٩٨١م)، بيدوتى وآخرون Pidotti et al. (١٩٧٨م) (١٦)، باترياركو Patricarco، مان Mann، سيمون Simon، مانسور Mansour (١٩٨١م) (١٥).

ينتج عن هذا الضغط توقع أن عضلة واحدة تبدأ النشاط عندما عضلة أخرى تصل لأقصى تعب. مبدئياً العضلة بأكبر منتج حسابى لذراع العزم ومساحة المقطع الفسيولوجى تنشط فقط تصل لحدودها التى عندها تنشط ثان عضلة للمنتج الأكبر.

حديثاً الثلاث مداخل الجديدة المتشابهة بعض الشئ اقترحت أن شدة العضلة هى الحل. شولتز Schultz، هاردرشبيكت Harderspeck، فارفيك Warwick، بورتيلو Portillo (١٩٨٣م) (١٨) وضعوا نماذج المنطقة القطنية بالذراع. Lumbar trunk models التى تقلل الضغط على العمود الفقرى بينما يقل شدة أقصى انقباض للعضلة.

وحلوا هذه المشكلة باستخدام سلسلة من البرامج الخطية كل منها الحد الأعلى للشدة المختلفة للعضلة اختيرت عن طريق إجراء التحليل المنطقى خطوة خطوة: حيث بدوا بشدات عضلية منخفضة وزيادتها بالتدريج حتى وصلوا إلى الحل. الصعوبات فى هذا المدخل كانت المتطلبات الحسابية وعدم ثبات الحلول لأن الشدة تتغير. وبرغم هذا القصور فإن النموذج أعطى نتائج تم الموافقة عليها بالتجارب بالمقارنة بتلك النتائج للنماذج الأقل تعقيداً.

اقترح كواك، شاو، موري (١٩٨٤م) (٤) طريقة فنية محسنة تركز على تقليل الحد الأعلى للضغط العضلي، في هذا المدخل تم إضافة ادخال حالات عدم المساواة بالاسم :

$$F_m / PCSA_m \leq \sigma$$

الجانب الأيسر يمثل تحسن الضغط على العضلة عن طريق كتلة العضلة، حيث أن F_m = القوة، $PCSA_m$ هي مساحة المقطع الفسيولوجي للعضلة. والمتغير المنفرد على الجانب الأيمن يمثل الحد الأعلى لكل الضغوط العضلية. ومن ثم تم الحصول على الحل المنفرد لتوزيع القوى العضلية بتقليل σ (الحد الأعلى لكل الضغوط العضلية).

هذه المداخل تجعل استخدام الطريقة المثلى الخطية ومن ثم حماية الحل الذي يغطي الحد الأدنى لمعيار الغرض لكل العضلات. لزيادة واقعية النموذج يوضع في الاعتبار فسيولوجية العضلة المعتمدة على علاقات الطول- التوتر أو السرعة- للتوتر وتطبق في الضغوط غير المتساوية

$$0 \leq \hat{F}_m^a \leq (\alpha \hat{F}_m^a + \hat{F}_m^p) \cdot PCSA \cdot \sigma$$

حيث أن σ تمثل أقصى ضغط عضلي الذي يخصص: \hat{F}_m^a وهي معيار القوة العضلية النشطة المعتمدة على علاقة الطول- السرعة- التوتر، \hat{F}_m^p وهي خصائص القوة العضلية السالبة، تمثل α الحد الأعلى لمستوى تنشيط العضلة عن أن An، كوفمان Kaufman، شاو Chao (١٩٨٩م) (٣)، كوفمان، آن، لايتشي Litchy، تشاو (أ١٩٩١م، ب١٩٩١م) (١٢)، (١٣)-

سوف يحصل على الحل المنفرد للقوى العضلية بتقليل α الحد الأعلى لمستوى تنشيط العضلة.

المعيار غير الخطي : Non-linear criteria

الوظائف الغرضية غير الخطية يمكن عن طريقها توضيح التناغم Synergism، حتى بدون صياغة ضغوط إضافية. جراكوفتسكى Gracovetsky، فارفان Farfan، لامي Lamy (١٩٧٧م) (١١) حددوا وظيفة الغرضية لمجموع ضغوط الاستهلاك في العمود الفقري والقوى المتوقعة خلال رفع الوزن. كما استخدم بيدوتى وآخرون Pedotti et al. (١٩٧٨م) (١٦) مجموع مربعات القوى العضلية لتحليل المشى $\Sigma (F_m)^2$,

حيث تعطى معادلة من الدرجة الثانية.

بخصوص الاختيار الأمثل للقدرة، العديد من الباحثين بحثوا تجريباً عن تميز العلاقة بين القوة العضلية والتحمل. وعامة هذه الدراسات اتفقت على أن رمن التحمل تقريباً يتناسب عكسياً مع قيمة القوى العضلية مرفوعاً لأس ولكن مع انتشار قيم هذا الأس. كورننشييلد Crowninshield، براند Brand (١٩٨١م) (٦) افترضاً تكلفة يعبر عنها مجموع ضغوط العضلة مرفوعاً لأس ثالث، يبدو أنه يتناسب مع أقصى تحمل للعضلات.

٦- معيار الأداء المتعدد : Multiple performance criteria

حديثاً، عرض بين Bean، شافين Chaffin، شلوتز Shultz (١٩٨٨م) (٥) نموذج جديد لاستخدام برمجة خطية لحساب قوى الانقباض العضلى فى النماذج البيوميكانيكية لنظام الهيكل العضلى. وقد اقترحوا مشكلة غرض مزدوج مع برنامجين خطيين متسلسلين كل منهما له حل منفرد. أولاً، أن وآخرون (١٩٨٤م) قللوا الحد الأعلى لضغط العضلة لتحديد قيمة الشدة المثلى العضلية من هذا الحمل، وثانياً، حلوا برنامج خطى لتقليل مجموع القوى العضلية باستخدام شدة العضلة المثلى المتوقعة فى أول مرحلة. بهذا أول برنامج خطى حدد شدة العضلة المنخفضة، التى تسمح بحلول ممكنة، البرنامج الثانى يختار هذه الحلول لتقليل القوة العضلية ومن ثم هذا النظام يحدد الأغراض المذكورة.

ملاحظات عامة : General remarks

تبرز نقطتان هامتان استجابة لتحديد قوة العضل والمفصل تحليلياً. أولاً : عامة يمكن تحديد قوة العضلية والمفصل باستقلال بالاعتماد على المجموعات المفككة لمعادلات التوازن وظروف الضغط مفترضاً أن محصلة قوة الضغط على المفصل ومحصلة العزوم ليس لها محددات. لسوء الحظ أن هذا الافتراض ربما لا يكون حقيقى. كمثال، لو أياً من سطوح التمثيل أو الرباط والكبسولة أصيبت بضغط الحل ربما تحتاج إلى تعديل. فى هذه الحالة، قوة العضلة لا تكون مستقلة لتحديد محصل القوى المفصلية. اتجاه ومدى محصلة قوى المفصل تعتمد على

توزيع القوى العضلية. لهذا الحل لقوى العضلة باستقلال لا يكون مناسباً.

ثانياً : طريقة للحل يمكن أن تكون هامة. عند استخدام طريقة الأمثل، يمكن استخدام الإجراء الخطى أو غير الخطى. لو النظام الكلى للوظيفة الغرضية، وظروف الضغط تتكون من متغيرات مجهولة، من ثم لوغاريتم البرنامج الخطى يمكن استخدامه للحصول على الحل. على العكس، الأمثل غير الخطى عادة تشمل أكثر وبكفاية أقل عن البرمجة الخطية. أيضاً تقارب الحل للأدنى غير مضمون.

وفى رأينا، ربما يكون الحل لتوزيع القوى العضلية هو الحساب بالطريقة المثلى الخاصة أو الوظيفة الغرضية. وبمعنى آخر مدى محصلة قوى المفصل ربما لا يختلف كثيراً عن براند Brand، بيدرسون، فريدرش Friedrich (١٩٨٦م) (٦).

لذا ربما لا يكون اختيار معيار الأمثل حيوى بالاعتماد على غرض الدراسة. وأكثر من ذلك يمكن تحسين طريقة حل مشكلة عدم التحديد والتأكيد التجريبى للحل بقياس مباشر (شويند Schuind، جارسيلياس Gariaelias، كوني Cooney، وأن An (١٩٩٢م) (١٧). أو غير مباشر لفونك Funk، آن، مورى، دوابى Daube (١٩٨٧م) (١٠)، باستخدام نشاط فى المستقبل. ويجب مراجعة كل حل مفترض نقدياً.

المراجع :

- 1- An, K.N., Himeno, : (1990), Pressure distribution on S., Tsumura, H., articulars: Application to joint Kawai, T. & Chao, stability evaluation. Journal of E.Y. Biomechanics, 23, 1013-1020.
- 2- An, K.N., Hui, F.C., : (1981), Muscles across the elbow Morrey, B.F., joint: A biomechanical analysis. Linscheid, R.L. & Journal of Biomechanics, 124: 659- Chao, E.Y. 669.
- 3- An, K.N., Kaufman, : (1989), Physiological considerations K.R., & Chao, E.Y. of muscle force through the elbow joint. Journal of Biomechanics, 22, 1249-1256.
- 4- An, K.N., Kwak, : (1984), Determination of muscle and B.M., Chao, E.Y. joint forces: A new tew to solve the & Morrey, B.F. indeterminate problem. Transactions of the American Society of Mechanical Engineering, 106, 364- 367.

- 5- Bean, J.C., : (1988), Biomechanical model
Chaffin, D.B. & calculations of muscle contraction
Schultz, A.B. forces: A double linear programming
method. Journal of Biomechanics.
21(1), 59-66.
- 6- Bran, R.A., : (1986), The sensitivity of muscle force
Pedersen, D.R., & predictions to changes in physiological
Friedrich, J.A. cross-sectional area. Journal of
Biomechanics, 19(8), 589-596.
- 7- Chao, E.Y., & : (1973), Application of optimization
Rim, K. principles in determining the applied
moments in human leg joints during gait.
Journal of Biomechanics, 6, 497-510.
- 8- Crowninshield, R.D. : (1978), Use of optimization
techniques to predict muscle
forces. Journal of Biomechanical
Engineering, 100, 88-92.
- 9- Crowninshield, : (1981), A physiologically based
R.D., & Brand, R.A. criterion of muscle force prediction in
locomotion. Journal of biomechanics,
14, 793-801.

- 10- Funk, D.A., An, : (1987), Electromyographic analysis of muscles across the elbow joint. K.N., Morrey, B.F. & Daube, J.R. Journal of Orthopaedic Research, 5, 529-538.
- 11- Gracovetsky, S., : (1977), A mathematical model of the lumbar spine using an optimization system to control muscles and ligaments. Orthopaedic clinics of North America, 8, 135-153. Fafan, H.F., & Lamy, C.
- 12- Kaufman, K.R., : (1991a), Physiological prediction of muscle forces- 1. Theoretical prediction. An, K.N., Litchy, W.J. & Chao, E.Y. Neuroscience, 40(3), 781-792.
- 13- Kaufman, K.R., : (1991b), Physiological prediction of muscle forces- II. Application to isokinetic exercise. Neuroscience. An, K.N., Litchy, W.J., Chao, E.Y. 40(3), 793-804.
- 14- MacConaill, M.A. : (1967), The ergonomic aspects of articular mechanics. In F.G. Evans (Ed.), Studies on the anatomy and function of bones and joints (pp.69-80), Berlin: Springer.

- 15- Patriarco, A.G., : (1981), An evaluation of the approaches of optimization models in the prediction of muscle forces during human gait. *Journal of Biomechanics*, 14(8), 513-525.
- 16- Pedotti, A., : (1978), Optimization of muscle force sequencing in human locomotion. *Mathematical biosciences*, 38, 57-76.
- 17- Schuind, F., Garcia- : (1992), Flexor tendon forces: In vivo measurements. *Journal of Hand Surgery*, 17A, 291-298.
- 18- Schultz, A., : (1983), Use of lumbar trunk muscles in isometric performance of mechanically complex standing tasks. *Journal of Orthopaedic Research*, 1(1), 77-91.
- 19- Seireg, A. & : (1975), The prediction of muscular load bearing and joint forces in the lower extremities during walking. *Journal of Biomechanics*, 8, 89-102.
- 20- Weber, W., & : (1836), *Mechanik der menschlichen Gehwerkzeuge* (Mechanics of Human locomotion apparatus), Gottingen. Fisher-Verlag.

سادساً : أساليب الحركة الفطرية لدى الإنسان

Inherent movement patterns in man

لا يختار الإنسان بنيته- بمعنى آخر- ميراثه ممن سبقه من الجنس البشرى. كما أنه لا يختار أساليب حركته الأساسية لأنها أيضاً موروثه ولكن يمكن إجراء التعديل عليها وليس تغييرها من أساسها.

ولدراسة حركة الإنسان لابد من تحديد أساليبه الأساسية (١). ويمكن تعريف الأساليب الحركية الأساسية لدى الإنسان على أنها مجموعة من العناصر الحركية الموروثة مرتبة في تتابعات زمانية مكانية. وفي عام ١٩٥٠ حاول كل من كابات Kabat ونوت Knott وفوس Voss (باحثين وممارسين في مجال طب الأعصاب والعلاج الطبيعي) تحديد أساليب الحركة الرئيسية لدى الإنسان (٢). وتركز اهتمامهم في إثبات وإعادة إثبات النشاط الحركي الرئيسي لمرضى الجهاز العصبي العضلي. ويجب على الباحثين والممارسين تحديد الأساليب الحركية الرئيسية لدى الإنسان العادى قبل بلورة فكرهم العلاجي وأساليبهم في التعامل مع هؤلاء المرضى. وبعد إجراء الملاحظات الموسعة على الإنسان أثناء أدائه لمختلف الأنشطة الحركية أثناء حياته اليومية يمكنهم تحديد الأساليب الرئيسية التي يعتقدون أنها تكون النسيج الأساسى أو لفة الحركة. وقد تم وصف عناصر الحركة الرئيسية في كتب العلاج الطبيعي على أنها: "أساليب حركة الكتلة" أساليب تسهيل الحركة الذاتية للجهاز العصبي العضلي (PNF)، "الأساليب الاشعاعية" وأحدث تعريف هو الأساليب القطرية أو القطرية اللولبية- الحلزونية (٥). وقد اكتشف الممارسون والباحثون في

مجالات: العلاج الطبيعي - العلاج بالعمل - الطب التأهيلي. أن تعليم مرضى الجهاز العصبي العضلي للأساليب القطرية يؤدي إلى نجاح إعادة تأهيلهم، وشفاءهم. كما لوحظ أنه عندما يتعلم المرضى المقومات الرئيسية للأساليب القطرية فإنهم يتمكنون من ربط أو تغيير العناصر المختلفة زمانياً ومكانياً طبقاً للأسلوب الحركي المراد. ويبدو وكأن هؤلاء المرضى يتعلمون من جديد مبادئ الحركة الأساسية والتي كانت قد تعطلت بسبب المرض أو الإصابة.

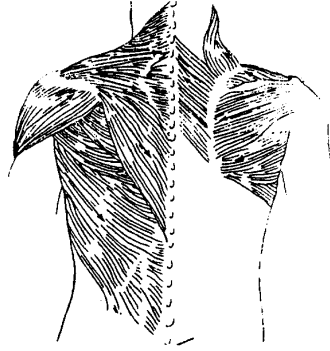
وقد سجل كل من كابات ونوث (٥) ملاحظاتهم عند متابعتهم لأداء الإنسان الحركة لأنشطة: المشي - رمي الكرة وركلها - قطع الأخشاب - رياضة الجولف. كما لاحظ فوس فيما بعد أن التطور المرحلي للطفل - من الزحف على بطنه ثم الانبطاح ثم الزحف على اليدين والركبتين ثم المشي ببطئ ثم المشي ثم الجري ثم القفز - يتكون من تركيبات لولبية، ولهذا تبدو الكثير من المهارات الحركية في الأفلام أو الرياضات أو أنشطة الحياة اليومية وكأنها تحتوى على قاسم مشترك يمكن تسميته "القطرية". (٥)

١ - النماذج القطرية للأطراف العلوية والسفلية :

Diagonal patterns of the upper and the lower extremities

إن أساليب الحركة التي حددها كل من كابات ونوث وفوس تتجه جميعاً في اتجاه قطري لولبي، كما ترتبط هذه الخصائص بالتنظيم الدائري القطري التشريحي والقدرات الوظيفية للنظام العضلي للهيكل العظمي (٢). إن التخطيط الطبوغرافي لأربطة العضلات محورياً وبعدياً يؤكد وجودها في الشكل القطري التقاطعي كما هو موضح بالشكل (٤-٢١) وعلى ذلك يبدو أن الأداء الأمثل

للعضلة يحدث من خلال تقلص العضلات فى اتجاهات دائرية محورية، ونادرا ما تحدث حركة العضلة والمفصل فى الأسطح الرئيسية أثناء الثنى والمد والتباعد والتقريب. أنظر الشكل (٤-٢١). وقد أشار نوث وفوس (٢) إلى أن هناك حركتين محوريتين للأطراف العليا والأطراف السفلية، والنماذج القطرية للأطراف تتكون من ثلاثة عناصر للحركة التى تحدث للوصلات القريبة أو محاور الحركة- الأكتاف والحوض ويشتمل كل نموذج طرفى على عناصر دورانية للثنى والمد القريب والبعيد- الداخلية والخارجية. وتظل الوصلات الوسطية- المرفق والركبة- مستقيمة ويمكن أن تتثنى وتمد. وترتبط العناصر البعيدة للحركة بالنصوص البعيدة بغض النظر عن أداء الوصلة الوسطية (٢) ويمكن وصف الأربعة نماذج المحورية بحركات العضلات التى تحدث للوصلات البعيدة أو المحورية.



شكل (٤-٢١)

الشكل التشريحي للنظام العضلى للكتف والجذع
موضحاً به خطوط الشد العضلى

وأول نموذج قطري من الأطراف العلوية والسفلية يتكون من تمدد الكتف والفخذ، وعناصر التقريب والتباعد والحركات التبادلية في التمدد والدوران البعيد الداخلي، وتتشابه العناصر الحركية البعيدة مع النماذج القريبة، وتكون الوضلات إما منثنية أو ممتدة، والنماذج القطرية للذراعين والساقين تبدو موضحة في شكل (٢٢-٤).

ويختلف النموذج المحوري الثالث في الأطراف العليا والسفلى. فالنموذج الثانى للأطراف العليا يتكون من ثنى الكتف وإبعاده والدوران الخارجى مع الحركات التبادلية لتمدده وتقريبه ودورانه الداخلى، أما حركات المفاصل الإبعادية فتترتبط مع نماذج المفصل القريبة ويكون الكوع إما منثنياً أو ممتداً. ونموذج الانثناء القطري الثانى للذراع وتمدده موضحة بالرسم فى الشكل (٢٣-٤).

أما النموذج القطري الثانى فيتكون من انثناء الفخذ وإبعاده ودورانه الداخلى وحركاته الانعكاسية -٠- وهى: تمدد الفخذ وتقريبه ودورانه الخارجى. هذه النماذج نراها مصورة فى الشكل (٢٣-٤)



(A)



(B)



(C)



(D)

شكل (٢٢-٤)

النماذج القطرية الأولى للذراع والساق

(A) الانثناء القطري الأول للذراع- انثناء الكتف- التقريب- الدوران الخارجي، (B) عناصر التمدد القطري الأول للذراع- تمدد الكتف، التباعد، الدوران الخارجي، (C) عناصر الانثناء القطري الأول للساق- انثناء الفخذ- التقريب- الدوران الخارجي، (D) الامتداد الأول لمركبات الفخذ المادة، والمبعدة والدوران الخارجي.

وغالباً ما يقوم نشاط كل حركة بتوظيف نماذج للحركة الانعكاسية (٢). ويمكن الاستفادة من حركات العضلة الانعكاسية أو التبادلية في مختلف الأنشطة مثل: رمي الكرة- التجديف- العزف على البيانو أو الكمان- المشي- القبض على الأشياء وتركها- وإذا لم يتم الاستفادة من الحركات التبادلية في مختلف الأنشطة الحركية فإن الحركات ستتأثر انعكاسياً، مؤثرة في ذلك على القدرة والمهارة والتوافق.



(A)



(C)



(B)



(D)

شكل (٤-٢٣)

النماذج القطرية الثانية للذراع والساق

(A) عناصر الانثناء القطري الثانى للذراع- انثناء الكتف- التقريب- الدوران الخارجى، (B) عناصر التمدد القطري الثانى للذراع- المد للكتف- التباعد- الدوران الخارجى، (C) عناصر الانثناء القطري الثانى للساق- انثناء الفخذ- التقريب- الدوران الخارجى، (D) المد القطري للساق- مد الفخذ- التباعد- الدوران الخارجى.

٢- النماذج القطرية فى المهارات المتطورة الرياضية :

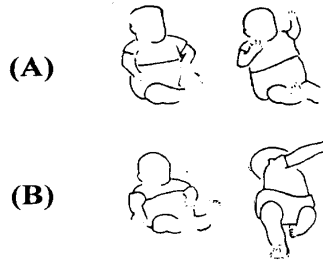
Diagonal patterns in developmental and sport skills

هناك الكثير من صور النماذج القطرية التى تحدث بصفة طبيعية فى كل من الأنشطة المتطورة والمهارات الرياضية. ويمكن التعرف على عناصر شبيهة لذلك فى حركات الأطفال والصغار والكبار- رغم اختلاف هذه النماذج وخصائصها المكانية والزمانية.

أ- الأنشطة المتطورة : Developmental activities

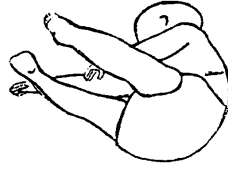
أثناء مرحلة نضج الجهاز العصبى فى الطفل البشرى تظهر ردود الفعل الانعكاسية اللاإرادية التى تحتوى على عناصر النموذج العكسى القطري الأول لى تتطور أو لا. وهذا النموذج يستخدم خلال الشهور القليلة الأولى من الحياة (من اليد إلى الفم) كما فى الشكل (٤-٢٤A). وأثناء ممارسة أوضاع التدرج من الرقود الظهرى إلى الرقود الجانبي، ويرتبط الظهور المبكر لهذه النماذج الانعكاسية للذراعين والساقين والجذع بسيطرة انقباض نغمة العصب.

عند التدحرج من وضع الاستلقاء إلى وضع الانقلاب على الوجه يظهر ارتباط عناصر الانتشاء الأول مع تمدد ودوران الرأس كما هو مبين في الشكل (B٢٤-٤). وعلى هذا تتكامل حركات الذراع والساق تدريجياً مع الحس المتزامن الذى يربط حركات الرأس والأطراف والجذع بشكل متناسق متقن ينتج عنه أساليب الحركة الكلية. ومع استمرار ردود الفعل الصحيحة للجسم ونضجها ينتج عنه أساليب الحركة الكلية. ومع استمرار رودود الفعل الصحيحة للجسم ونضجها يستطيع الطفل النجاح فى وضع الجلوس بثنى جذع والدوران من وضع الاستلقاء على الظهر. ويرتبط أسلوب ثنى الجذع مع أسلوب التمدد القطرى الثانى للذراع كما فى الشكل (٢٥-٤). هذه الإحساسات المتزامنة يبدو وكأنها فطرية فى التطور الإنسانى ويمكن ملاحظتها فى الثدييات العليا مثل القرد الهندى قصير الذيل.



شكل (٢٤-٤)

النماذج القطرية الأولى للأنشطة المتطورة، (A) الشهور القليلة الأولى من الحياة، (B) نماذج التدحرج



شكل (٢٥-٤)

أسلوب التدحرج لطفل عمره خمسة أشهر ونصف
مستخدماً أسلوب التمدد القطرى الثانى للذراع

وترتبط نماذج الانثناء القطرية للذراع بصفة طبيعية مع حركات التمدد للجذع والرقبة، أما نماذج التمدد القطرى فيتم استخدامها مع انثناء الجذع والرقبة. ويمكن ملاحظة هذه الأساليب فى كل من الحركات الانعكاسية البدائية وفى ردود الفعل الصحيحة للطفل. كما يمكن ملاحظة هذه الائتلافات فى البالغين الذين يؤدون نماذج الذراع القطرية الأولى على الجانبين دون أى تعليمات مسبقة لوضع الرأس والجذع. وتنفيذ حركات الذراع الانثنائية القطرية على الجانبين مع الكبار توضح ودون وعى- التمدد المحدود للجذع والرقبة. أما نماذج الذراع التمددية القطرية على الجانبين فتسبب الانثناء المتناسق للرقبة والجذع.

وتشمل المراحل التابعة لتطور الحركة والتي تؤدى إلى الاستقامة فى الوضع الرأسى- الدوران الانبطاحى مركزياً- الزحف فى وضع الانبطاح- الزحف على اليدين والركبتين- وأخيراً المشى ثم الجرى. ويمكن حدوث تداخل من مرحلة أخرى ولكن ما ذكرناه يبدو أنه المراحل الأساسية. وتحتاج كل

مرحلة من هذه المراحل إلى تطوير كبير في توازن ردود الفعل والقوة في المفصل القابض لمقاومة قوة الجاذبية. وخلال الشهور الأولى من حياة الطفل يمارس مقاومته لقوة الجاذبية في الوضع المنبسط بتمديد الذراعين والساقين. وعندما يحدث التوالى الأخير للوضع المنبسط يحدث الزحف في شكل دائرة أو الدوران كما في الشكل (٤-٢٦A) مع الارتباط التبادلي بين الساقين والذراعين.

وتختلف أساليب الزحف على البطن والزحف على الأرض اختلافاً كبيراً بعد الأهم من بين أساليب التطور الحركي. ولكن مع ذلك يمكن تحديد عناصر النماذج الولبية القطرية. وكما أشار كل من ميلاني كامباريتي Milani Camparetti وجيدوني Gidoni (٤) إلى أن ممارسة الوضع الساكن (الاستاتيكي) لليدين والركبتين يتم تنظيمه عن طريق رد الفعل المتناسق في امتداد الذراعين وانشاء القدمين مع تمدد الرأس كما في الشكل (٤-٢٦B) والعكس.

ومع هذا يجب حدوث رد الفعل الانعكاسي المتناسق للرقبة قبل أن يبدأ الزحف على اليدين والركبتين طالما أن هذا الزحف هو نشاط حركي يتطلب حركة لولبية قطرية من الأطراف. ويمكن تعميم هذه الملاحظات على الأساليب المتطورة الأخرى مثل: الجلوس والمشي طالما أن هذه الأنشطة منظمة بتناسق في مراحل تطورها الأولى. وبعد ذلك تقوم هذه الأساليب المتناسقة بإخلاء الطرق للتتابع القطري اللولبي لأن الحركات البالغة ستبدأ في الظهور.



(B)



(A)

شكل (٢٦-٤)

أنشطة الحركة المتوالية للوضع المنبطح في طفل عمره خمسة أشهر ونصف
(A) الزحف على البطن في شكل دائرة أو المحور الرابط لأساليب
الذراع والساق القطرية، (B) وضع اليدين والركبتين باستخدام
رد الفعل الانعكاسي المتناسق مع الرقبة

والمتطور في أساليب المشي والجرى خير مثال للتطور المحوري
المتناسق. وتحدث الخطوات المستقلة القليلة الأولى للطفل برفع الذراعين في
وضع انتقائي متناسق وتقدم القدمين إلى الأمام في وضع دائري إيعادي بدائي
كما في الشكل (٢٧-٤) والقاعدة الأساسية للدعم في مراحل المشي الأول
توضح عدم قدرة الطفل على ردود الفعل الاتزانة في هذا السن - والعكس من
ذلك فإن الطفل الذي يبدأ المشي ولديه ثقة في نفسه يقوم بأرجحة الذراعين
بشكل متوازن مع حركة الساقين اللولبية والقطرية في الاتجاه المشار إليه في
الشكل (٢٧-٤). ومن المهم ملاحظة الشكل (٢٨-٤) والشكل (٢٩-٤) حيث
تبدو نفس الحركات المتطورة مع التناسق والميل إلى المحورية ويظهر ذلك في
حركة الذراعين أثناء المراحل الأولى لتعلم هذه المهارات الحركية مثل ركل
الكرة ورميها.



(B)

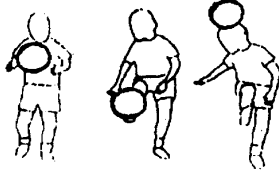


(A)

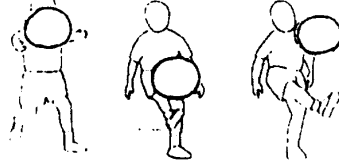
شكل (٢٧-٤)

المراحل المتطورة لحركة الاعتدال

(A) طفل عمره عشرة أشهر ونصف يظهر حركات متناسقة وأسلوب دوران خارجي بدائي للساق المتباعدة أثناء المراحل الأولى للمشي، (B) طفل عمره سنتان يظهر أساليب متناسقة محورية للذراع والساق أثناء مراحل بعيدة للمشي



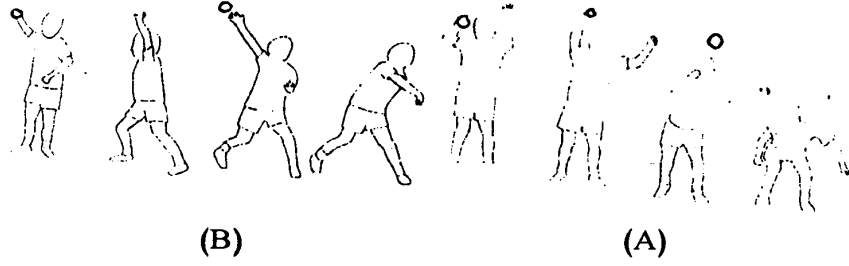
(B)



(A)

شكل (٢٨-٤)

أساليب الذراع المتطورة في ركل الكرة لنفس الطفل من ٩ أشهر : ٢ سنة،
ومن ٩ أشهر : ٣ سنة
(A) المتناسقة إلى (B) المحورية.

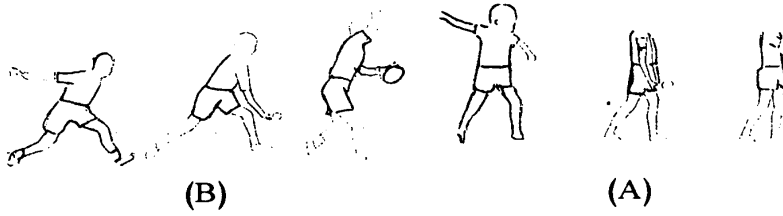


شكل (٢٩-٤)

أساليب الذراع المتطورة في رمى الكرة لنفس الطفل من ٩ أشهر : ٢ سنة،
ومن ٩ أشهر : ٣ سنة
(A) المتناسقة إلى (B) المحورية.

ب) أنشطة المهارة الرياضية : Sport skill activities

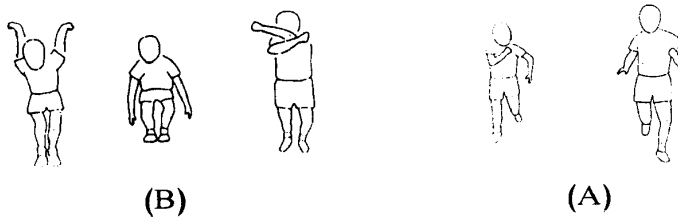
إن التقسيم التصنيفي لمعجم الإنسان الحركي إلى أساليب محورية رئيسية ليس ملائماً لمجالات العلاج الطبيعي- طب الأعصاب- التطور الحركي - ولكن أيضاً في التربية الرياضية حيث أن معلومات المركبات اللولبية يمكن أن تفيد في تحليل تكنيك الكثير من مهارات الرياضة. ويبدو أن الأنشطة الرياضية المستخدمة للذراع كثيراً ما تستخدم أسلوب الذراع المحور الأول. وقد لوحظت أفعال وتصرفات مشابهة للمفصل في الرميات للساعد للأطفال أثناء الجري والتوقف وأثناء الوثب الطويل، وجميع هذه الأنشطة موضحة بالرسم في الشكل (٣٠-٤)، (٣١-٤).



شكل (٣٠-٤)

أساليب متشابهة للحركة الأولى المحورية للذراع مرحلة إنتاج القوة فى الرميات للساعد لطفل عمره ٥ سنوات وأربعة أشهر (A) ولبالغ (B).

ويتكون أسلوب الرمى للساعد من ردود أفعال عضلية انعكاسية. ولذلك فإن مرحلة الأرجحة الخلفية التى لم يتم تصويرها- تتكون من أسلوب التمدد المحورى الأول ومرحلة إنتاج القوة تستخدم أسلوب الانثناء المحور الأولى.



شكل (٣١-٤)

حركات الذراع المحورية الأولى والتى يمكن ملاحظتها أثناء الجرى (A) وأثناء الوثب الطويل (B). أثناء الجرى يقوم الذراعان بأداء الأسلوب المحور الأول. أما أثناء الوثب الطويل فكلتا الذراعين تؤديان نفس الأسلوب معاً.

ويمكن ملاحظة أساليب الذراع القطرية الثانية فى مراحل الأربعة الخلفية وإنتاج القوة فى الأنشطة الرياضية مثل: الرميات للعضد- والذراعية الجانية- القاء رمية الإرسال فى التنس- والضربة الساحقة فى كرة الريشة- ورمى الرمح كما فى الشكل (٣٢-٤) ومن الأمور الهامة ملاحظة أنه عندما يتم استخدام العناصر المحورية اللولبية عند تحليل الأنشطة الرياضية سنجد أن حركات اليد الأمامية واليد الخلفية فى لعبة التنس تبادلية فعلاً، وهى نفس الحركات المصورة فى الشكل (٣٣-٤).



شكل (٣٢-٤)

عناصر الذراع المحورية الثانية والملاحظة فى مراحل إنتاج القوة فى لعبة رمية الرمح (A) وفى لعبة كرة الريشة (B)



شكل (٣٣-٤)

مرحلة إنتاج القوة لحركة الذراع الأمامية فى لعبة التنس بالاستفادة من أسلوب الانثناء المحورى الأول للذراع (A) وأثناء حركة الذراع الخلفية مستفيدة من أسلوب التمدد المحورى الأول (B)

ويمكن أن تشترك مختلف الأساليب المحورية اللولبية فى المهارات الرياضية أو فى أنشطة الحياة اليومية. مثلاً نجد أن الارتباط بين الأسلوبين الأول والثانى المحوريين يستخدم فى لعبة الكريكت كما فى الشكل (٣٤-٤). وأكثر من ذلك يمكن أن يشترك الأسلوبان فى الأنشطة الأخرى مثل: المشى- الجرى- ركل الكرة- التزحلق السريع- فيما عدا أن التوقيت والمدى الحركي سيختلف فى كل نشاط.



شكل (٣٤-٤)

إدماج الأسلوبين الأول والثانى المحورى للذراع فى لعبة الكريكت. فنستخدم الذراع اليسرى أسلوب التمدد القطرى الأول بينما تستفيد الذراع اليمنى من أسلوب التمدد القطرى الثانى

وفى تعليم الأنشطة المختلفة تتم ملاحظة أخطاء يمكن ألا تكون أكثر من توضيح لأساليب قطرية تظهر عند تقديم أهداف حركة معينة للمتلقى مثلاً: يقوم لاعبى التنس المبتدئين بتوجيه الذراع المتقدمة إلى الأرض أثناء مرحلة إنتاج القوة لحركة اليد المتقدمة بدلاً من ترك المضرب فى المواجهة مفتوحاً حتى التصاق الكرة به. ويجب على مدرب التنس التحقق من أن توجيه الذراع المتقدمة إلى الأرض، ويجب التدريب على هذا التعديل حتى تبدو الحركة طبيعية بالنسبة للمبتدئ.

وعلى ذلك يبدو أن أساليب الحركة القطرية الصليبية تشكل الأعمدة الأساسية التي تبنى عليها الحركات المتناظرة، وقد أشار ويس Weiss عام ١٩٤١م إلى أن الأساليب الأساسية للحركة يتم اكتسابها وراثياً أو فطرياً من خلال الجهاز العصبي (٦).

وطالما أن الأساليب المحورية الأربعة لكل من كابلات ونوث وفوس قد تم ملاحظتها عالمياً في الأنشطة الانعكاسية والتطورية والرياضية والأنشطة الحركية في الحياة اليومية، يبدو أن هذه الأساليب الأساسية تكون الأساس الحركي الفطري للإنسان.

المراجع :

- 1- Cooper, J.M. & : (1972, Kinesiology, St. Louis, C.V. Glassow, R.B. Mosby Co, p.(5, 6).
- 2- Knotto, M. & : (1968). Proprioceptive neuromuscular facilitation, New York: Harper and Voss, D.E. Row, Publishers, p.(9).
- 3- Hines, M. : (1942). The development and regression of reflexes. postures and progression in young macaque. contributions to embryolog. 30 (153-210).

- 4- Milani-Comaretti. A. : (1967), routine development & Gidoni, E.A. examination in normal and retarded children, Developmental Medicine and child Neurology, 9 (631-638).
- 5- Voss, D.E. : (1967), Proprioceptive neuromuscular facilitation, American Journal of Physical Medicine, 46 (838-898).
- 6- Weiss, P. : (1941), Self-differentiation of the basic patterns of coordination. comparative psychology Monographs. 17:4. Serial Number 88, September.

سابعا : موضع مركز الكتلة : Mass center location

لكى يتمكن الفرد من تحديد التغيير فى مكان كتلة جسم الإنسان بالنسبة للمكان والزمان بطريقة دقيقة يتحتم عليه معرفة موضع مركز ثقل كتلة الجسم بالنسبة للأوضاع المختلفة التى يتخذها الإنسان بالإضافة إلى ضرورة معرفة عزم القصور الذاتى للكتلة بالنسبة لمختلف الأوضاع التى يتخذها الجسم فى حالة الحركة الدورانية.

لذا فقد شغلت الرغبة فى التوصل إلى معرفة مركز ثقل كتلة جسم الإنسان الباحثين منذ زمن بعيد، حيث قام الكثيرون منهم بوريللى Borilli (١٦٨١م) (٣)، موسو Mosso (١٩٨٤م) (١٤)، مير Meyer (١٨٥٣م) (١٢)، وبير Weber (١٨٣٦م) (١٧)، ديمنى Demney (١٩٠٠م) (٨)، ريشير Recher (١٩٢١م) (١٥)، هاى كرافت وشين Haycraft & Sheen (١٩٠٠م) (١١)، هارلس Harles (١٨٦٠م) (١٠)، ريشير Richer (١٩٢١م) (١٥)، شايدير Scheider (١٩٢٢م) (١٦)، برون وفيش Braun & Fischer (١٨٨٩م) (٤)، كنول Knol، ايجيرز Eggers عن عادل (١٩٩٧م) (١)، دى - بوزرايموند Du-Bois Reymond (١٩٠٠م) (٨)، بازلى Basler (١٩٢٩م) (٢)، بإجراء وتطوير طرق البحث المختلفة لمعرفة ذلك.

ويتطلب حساب مركز ثقل كتلة الجسم فى الحالات الديناميكية إجراءات مختلفة أول أشكالها أن يكون الجسم فى حالة ثبات. عند اكتشاف مركز ثقل

كتلة الجسم باستخدام لوح الاتزان كان الجسم فى وضع ثابت ومستقر على قاعدة مرتكزة ومثبتة كما فى شكل (٣٥-٤).

وطريقة استخدام لوحة الاتزان كانت تستهدف تحديد مركز ثقل كتلة الجسم كله، كوحدة واحدة. بالإضافة لذلك يمكننا عن طريق معرفتنا بموضع مركز ثقل كتلة كل من أجزاء الجسم حساب مركز ثقل كتلة الجسم كله لذا تسمى هذه الإجراءات بطريقة الأجزاء أو الطريقة التحليلية.

نتيجة للأبحاث التى أجريت على أجزاء جثث آدمية لتحديد مراكز ثقلها وأوزانها تم التوصل فقط إلى متوسطات حسابية عامة تلخصها فى الجدول (٣-٤) التالى :

جدول (٣-٤)

الوزن النسبى لأجزاء جسم الإنسان بالنسبة لوزن الجسم كله

(عن فيشر وبراون، ديمبستر Dempester)

أجزاء الجسم		فيشر وبراون (١٨٨٩م)		ديمبستر (١٩٥٥م)	
الرأس	Head	٠,٠٦٩٥	(%٦,٩٥)	٠,٠٧٩	(%٧,٩)
الذراع	Trunk	٠,٤٦٠٥	(%٤٦,٠٥)	٠,٤٨٦٠	(%٤٨,٦)
العضد	Upper arm	٠,٠٣٣٠	(%٣,٣٠)	٠,٠٢٦٥	(%٢,٦٥)
الساعد	Forearm	٠,٠٢١٠	(%٢,١٠)	٠,٠١٥٥	(%١,٥٥)
اليدين	Hand	٠,١٠٨٥	(%١٠,٨٥)	٠,٠٠٦٠	(%٠,٦)
الفخذ	Thigh	٠,١٠٧٥	(%١٠,٧٥)	٠,٠٩٦٥	(%٩,٦٥)
الساق	Leg	٠,٠٤٨٠	(%٤,٨٠)	٠,٠٤٥٠	(%٤,٥٠)
القدم	foot	٠,٠١٧٠	(%١,١٧)	٠,٠١٤٠	(%١,٤٠)

وتمكن كلاوسير Clauser (١٩٦٩م) (٥) من تحديد نسبة أوزان أجزاء الجسم بالنسبة لوزن الجسم الكلى وفق الجدول (٤-٤) التالى :

جدول (٤-٤)

الوزن النسبى لأجزاء الجسم المختلفة بالنسبة لوزن الجسم كله

(عن كلاوسير)

أجزاء الجسم	الرأس	الذراع	العنق	الساعد	اليدين	الفخذ	الساق	القدم
الوزن النسبى	٠,٠٧٢	٠,٠٢٦	٠,٠١٦	٠,٠٠٧	٠,٠١٣	٠,٠٤٣	٠,٠١٥	٠,٠٠٧

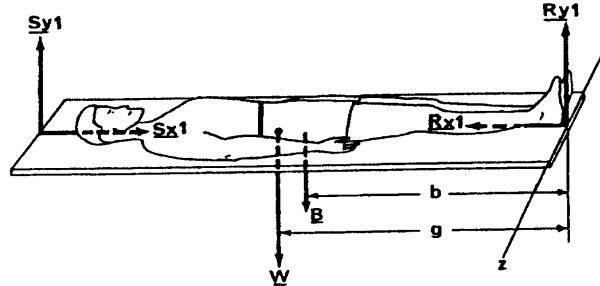
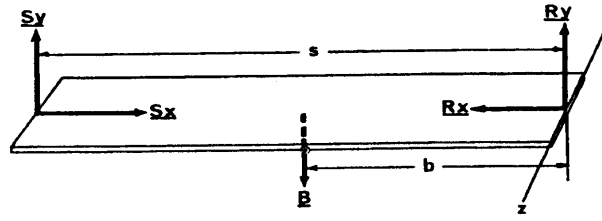
كما أمكن التوصل إلى أن مركز ثقل كتلة الأطراف تقع على محاورها الطولية تماماً بينما المسافة الخاصة بمركز ثقل كتلة كل عضو تؤخذ من المفصل العلوى والذى تعتبر كنصف قطر الحركة وهى فى نفس الوقت علاقة ثابتة بالنسبة للطول الكلى للعضو كما فى شكل (٤-٣٦)، أما مركز ثقل كتلة الذراع فإنه يقع على الجزء الموضح فى شكل (٤-٣٧) أى على المسافة بين منتصفى الخط الواصل بين مفصلى الكتفين والخط الواصل بين مفصلى الفخذين، وفى هذه الحالة أما بالنسبة للرأس فإن مركز ثقلها يقع خلف عظم الخابور.

كما تمكن كلاوسير من تحديد مراكز ثقل كتلة كل جزء من أجزاء جسم الإنسان بالنسبة لطول محاورها الطولية كما فى جدول (٤-٥).

جدول (٤-٥)

نسبة أنصاف أقطار مراكز ثقل كتلة كل جزء من أجزاء جسم الإنسان
بالنسبة لمحاورها الطولية (عن كلاوسير)

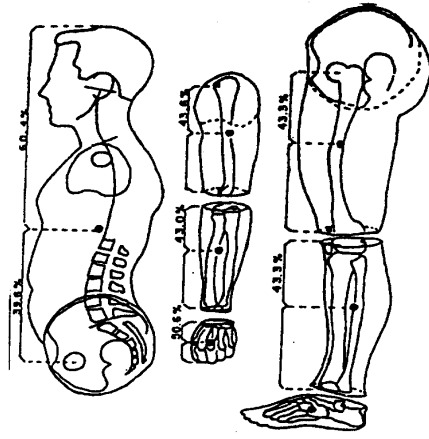
أجزاء الجسم	نسبة أنصاف أقطار مراكز ثقل كتلة كل جزء من أجزاء الجسم على المحور الطولى لها
الرأس	٤٦,٤% عن قمة الرأس أو ٥٣,٦% من تقاطع الذقن والرقبة
الجذع	٥٢,٦% عن محور الكتف أو ٤٢,٧% عن محور المقعدة (الفخذ)
العضد	٣٨% عن محور الكتفين أو ٦٢% عن محور المرفقين
الساعد	٣٩% عن محور العضد أو ٦١% عن محور الرسغ
اليد	١٨% عن محور الرسغ أو ٨٢% عن السلامية الثالثة
الفخذ	٣٧,٢% عن محور المقعدة أو ٦٢,٨% عن محور الركبة
الساق	٣٧,١% عن محور الركبة أو ٦٢,٩% عن محور رسغ القدم
القدم	٤٤,٩% عن العقب أو ٥٥,١% عن قمة الأصبع الأطول



S_x, S_y	Reaction Force Components at the Scale End
S_{x1}, S_{y1}	Reaction Force Components at the Nonscale End
R_x, R_y	
R_{x1}, R_{y1}	
B	Weight of the Board
W	Weight of the Subject
s	Length of the Board between Supports
b	Distance from ZZ axis to the Line of Action of B
g	Distance from ZZ axis to the Line of Action of W

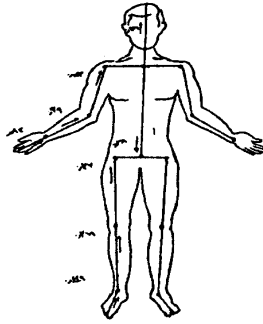
شكل (٣٥-٤)

طريقة لوح الإتزان لتحديد مركز ثقل الكتلة



شكل (٣٦-٤)

موضع مركز ثقل كتلة أجزاء الجسم بالنسبة لطول كل جزء (عن ديمبستر)



شكل (٣٧-٤)

موضع مركز ثقل كتلة كل جزء من أجزاء الجسم
بالنسبة لطول كل جزء (عن كلاوسير)

مركز ثقل الكتلة كدالة لموضع الجسم :

Mass center as a function of body position

مركز ثقل كتلة الجسم كله هو النقطة التي حولها تساوى مجموع عزوم القوى صفر. كل جزء له وزنه (F_{seg}) الذي يتحرك مسافة (d_{seg}) عن مركز ثقل كتلة الجسم كله. كل جزء ينتج عزم حول مركز ثقل كتلة الجسم كله الذي يساوى وزن الجزء فى المسافة بينه وبين مركز كتلة الجسم.

$$T_{seg} = F_{seg} \times d_{seg}$$

مجموع جميع عزوم الأجزاء حول مركز ثقل كتلة الجسم كله يساوى صفر.

$$\Sigma T_{seg} = \Sigma (F_{seg} \times d_{seg}) = 0$$

لحساب موقع مركز ثقل كتلة الجسم تستخدم طريقة الأجزاء أو الطريقة التحليلية، نختار نقطة الأصل والتي حولها تحسب جميع عزوم الأجزاء. سوف تعادل مجموع عزوم هذه الأجزاء حول نقطة الأصل عزم مركز ثقل كتلة الجسم كله حول هذه النقطة الأصلية. وحيث أننا نمتلك معلومات لإيجاد مجموع عزوم الأجزاء حول نقطة الأصل ونحن نعرف وزن الجسم كله، يمكننا تحديد أين يعمل وزن الجسم كله ليعادل مجموع عزوم الأجزاء.

$$T_{origin} = F_r \times d_{CG} = \Sigma (F_{seg} \times d_{seg})$$

حيث T_{origin} = العزم حول النقطة الأصلية

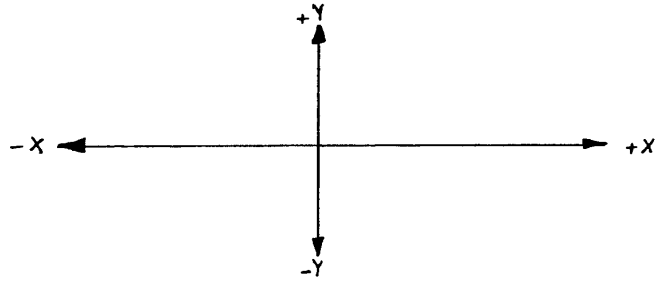
F_r = القوة الناتجة عن وزن الجسم الكلى

d_{CG} = المسافة بين مركز ثقل كتلة الجسم والنقطة الأصلية

F_{seg} = وزن العضو

d_{seg} = المسافة بين العضو ومركز ثقل كتلة العضو والنقطة الأصلية.

ولإتمام حساب تحديد مركز ثقل كتلة الجسم، من المهم ملاحظة إذا كانت المسافة من النقطة الأصلية إلى كل من مراكز ثقل الأعضاء موجبة أو سالبة في نظام الإحداثيات الكرتيزية، والنقط على يمين المحور الرأسى وفوق المحور الأفقى موجبة والنقاط على شمال المحور الرأسى وأسفل المحور الأفقى سالبة، أنظر الشكل (٣٨-٤).



شكل (٣٨-٤)

نظام الإحداثيات الكرتيزية المرجعى لتمييز الاتجاه فى المكان

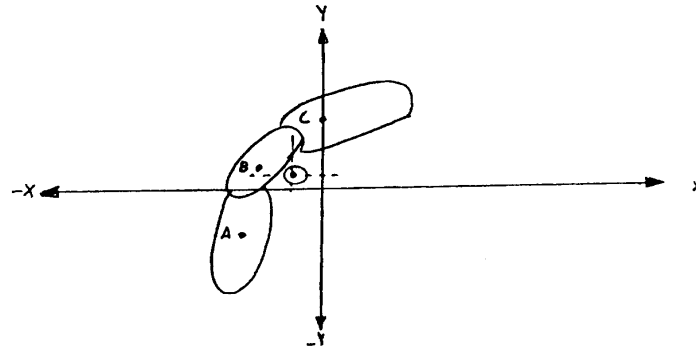
ويكون حساب الإحداثى x ، والإحداثى y لمركز ثقل كتلة الجسم كله منفصلاً. أولاً نحدد الوضع الأفقى لمركز ثقل العضو ونحسب الإحداثى x . ثم نكرر الإجراءات بالنسبة لحساب الإحداثى y لمركز ثقل كتلة كل عضة وبالتالي حساب إحداثى مركز ثقل كتلة الجسم كله.

مثال : لحساب مركز ثقل كتلة الجسم.
يوضح الشكل (٣٩-٤) نظام يتكون من ثلاث حلقات حدد مركز ثقل النظام بطريقة الأجزاء أو الطريقة التحليلية.

الحل

يجب أن نعرف وزن (F_{seg}) ووضع كل من مركز ثقل كتلة الجزء في كلا الإحداثيين (x, y) واتجاه كل من (dx_{seg}) ، (dy_{seg}) :

الجزء	الوزن بالنيوتن	الإحداثى x	الإحداثى y
A	٢٥	٢٦-	١٠-
B	٥	٢٢-	١٠+
C	٢٠	صفر	٢٩+



شكل (٣٩-٤)

تحديد موضع مركز ثقل كتلة نظام مكون من ثلاثة أجزاء

تحديد الإحداثي لمركز ثقل كتلة الجسم :

١- محصلة القوة (F_r) هي القوة الناتجة بواسطة وزن الجسم كله أو ببساطة مجموع أوزان الثلاث أجزاء :

$$F_r = 25N. + 5 + 20N = 50 N.$$

٢- العزم الناتج حول النقطة الأصلية وبواسطة مركز ثقل كتلة الجسم كله سوف يساوى وزن الجسم كله (F_r) فى الإحداثي (x) لمركز ثقل كتلة الجسم عن نقطة الأصل (dx_{CG}) :

$$T_{CG} = F_r * dx_{CG} = \Sigma T_{seg}$$

حيث أن T_{CG} = عزم مركز ثقل الجسم كله حول نقطة الأصل، $F_r = 50$ نيوتن، ΣT_{CG} = مجموع عزوم الأجزاء الثلاثة حول نقطة الأصل.

٣- مجموع عزوم الأجزاء الثلاثة هو :

$$\Sigma T_{seg} = T_A + T_B + T_C$$

$$\Sigma T_{seg} = (F_A * dx_A) + (F_B * dx_B) + (F_C * dx_C)$$

حيث أن مجموع عزوم الأجزاء الثلاثة حول نقطة الأصل يساوى عزم مركز ثقل كتلة الجسم كله حول نقطة الأصل :

$$F_r * dx_{CG} = (F_A * dx_A) + (F_B * dx_B) + (F_C * dx_C)$$

٤- بناء على ما سبق :

$$50N. * dx_{CG} = (25 * -26) + (5 * -22) + (20 * 0)$$

$$dx_{CG} = \frac{-650 + 110 + 0}{50} = -15.2$$

٥- الإحداثي y لمركز ثقل كتلة الجسم للنظام يساوى :

$$F_r * dy_{CG} = (F_A * dy_A) + (F_B * dy_B) + (F_C * dy_C)$$

$$50N \cdot dy_{CG} = (25 \cdot -10) + (5 \cdot 10) + (20 \cdot 29)$$

$$dy_{CG} = \frac{-250 + 50 + 580}{50} = 7.6$$

عندما نستخدم طريقة الأجزاء Segments method أو الطريقة التحليلية لحساب مركز ثقل كتلة الجسم، تكون F_r مساوية لمجموع أوزان الأجزاء أو الأعضاء. لتسهيل الحساب يمكننا اعتبار أن المجموع الكلى لوزن الجسم هو ١,٠ أو ١٠٠% وأن كل وزن عضو يمثل نسبة بالنسبة لهذا الوزن. فمثلاً، بالنظر في البيانات في الجدول (٤-٥) نسبة الرأس تساوى ٧,٣% من وزن الجسم الكلى. إذا اعتبرنا أن وزن الجسم الكلى ١,٠ إذن وزن الرأس يساوى ٠,٠٧٣. عندما نقوم بحساب هذه الأعضاء نحن نسلم بأن $F_r = ١,٠$ ، لذلك معادلة إيجاد مركز ثقل كتلة الجسم في الاتجاه (x) تصبح كما يلي :

$$F_r \cdot dy_{CG} = \sum (F_{seg} \cdot dy_{seg})$$

$$1.0 \cdot dy_{CG} = \sum (F_{seg} \cdot dy_{seg})$$

وفي الاتجاه الرأسى تصبح كما يلي :

$$F_r \cdot dx_{CG} = \sum (F_{seg} \cdot dx_{seg})$$

$$1.0 \cdot dx_{CG} = \sum (F_{seg} \cdot dx_{seg})$$

حيث أن :

$$F_r = ١٠٠\% \text{ من وزن الجسم أو } ١,٠$$

$$F_{seg} = \text{نسبة وزن العضو بالنسبة لوزن الجسم الكلى}$$

$$dx_{seg} = \text{المسافة من نقطة الأصل حتى مركز ثقل كتلة العضو في الاتجاه الأفقى}$$

$$dy_{seg} = \text{المسافة من نقطة الأصل حتى مركز ثقل كتلة العضو في الاتجاه الرأسى}$$

$$dx_{CG} = \text{المسافة الأفقية من نقطة الأصل حتى مركز ثقل الجسم الكلى}$$

$$dy_{CG} = \text{المسافة الرأسية من نقطة الأصل حتى مركز ثقل الجسم الكلى}$$

المراجع :

- ١- عادل عبد البصير على : (١٩٩٧م)، الميكانيكا الحيوية فى تكنيك الحركات الرياضية، المؤلف، (١٢٠-١٣١).
- 2- Basler, Adolf. : (1929), Zur physiologie des hockens, zeitschrift fur biologie 88: (523-530).
- 3- Borelli, G.A. : (1681), De motu animalium, Lugduni Batavorum.
- 4- Brown, W. & Fischer, O. : (1989), Uber den shwerpunk des menschlichen korperes, mit rucksicht auf die ausrustung des deutschen infanteristen, abhandlun gen der mathematisch-physuschen classe der konigl, sachsischen Gesellshaft der wissenschaften 26: (561-672).
- 5- Clauser, Charles, E., : (1969), Weight, volume and center of mass of segments of the human body, McConville, John, T., & Young, J.W. AMRL Technical Report, (69-70). Wright-Patterson Air Force Base, Ohio.

- 6- Demeny, G. : (1987), Etude des déplacements du centre de gravité dans le corps de L'homme pendant les actes de la locomotion, comptes rendus, hebdomadaires des séances de L'Académie des Sciences, 105 (679-682).
- 7- Dempster, Wilford, : (1955), Space requirements of the seated operator. WADC Technical Report, 55-159, Wright-Patterson Air Force Base, Ohio.
- 8- DuBois-Reymond, : (1900), Die Grenzen der Untersuchungsfäche beim Menschen, Archiv für Anatomie und Physiologie, 23:562-564.
- 9- Hanavan, Ernest, : (1964), A mathematical model of the human body. AMRL Technical Report, 64-102, Wright-Patterson Air Force Base, Ohio.
- 10- Harless, E. : (1860), Die statischen Momente der menschlichen Gliedmassen. Abhandlungen der mathematisch physikalischen Klasse der Königlich Bayerischen Akademie der Wissenschaften, 8, 69-96, 257-294.

- 11- Haycraft, J.B. : (1900), Animal mechanics. in E.A. Schafer (Ed.). Textbook of physiology, Edinburgh: Young J. Pentland, (228-273).
- 12- Meyer, Hermann : (1853), Die mechanik des kneigelenks. Archiv. Fur anatomie, Physiologie und Wissenschaftliche Medizin, 497-547.
- 13- Miller, Doris, I. : (1970), A computer simulation model of the airborne phase of diving. Ph.D Dissertation, Pennsylvania State University.
- 14- Mosso, A. : (1884), Application de la balance a l'etude de la cirulation du sang chez l'homme, Archives Italienne de Biologie, 5: 140-143.
- 15- Richer, P. : (1921), Nouvelle anatomie. artistique. Physiologia III: Attitudes et mouvements, Paris.
- 16- Scheider, W. : (1922), Untersuchungen uber die massenproportionen les menschlichen korpers. Zeitschrift fur Konstitutions Lehrer. 8: 259-268.

- 17- Weber, Wilhelm, & : (1836), Mechanik der menschlichen
Weber, E. gehwerkzeuge, Gottingen.
- 18- Willems, E. & : (1968), Apparatus for determining
Swalus, R. the center of gravity of the human
body, Biomechanics I. New York:
S. Karger, pp.72-77.

ثامناً : تقدير الأثقال الإضافية المستخدمة فى تمارينات المنافسة التى

تستخدم الأدوات الرياضية

Estimation of additional weights used in competitive exercises which used sports instruments

تعتبر تمارينات المنافسات باستخدام أثقال إضافية من أهم الوسائل ذات الفعالية فى التأثير على تطوير كل من القدرات الخاصة بتنوع النشاط الممارس.

وهناك اتجاه يشير إلى أن الثقل الإضافى الذى يجب استخدامه فى تمارينات المنافسات بصفة عامة فى جميع الأنظمة الرياضية ينحصر ما بين ٣ % إلى ٥% من وزن اللاعب، إلا أن هذا الاتجاه عند تطبيقه على بعض الأنشطة الجماعية والفردية تقابله مشكلة طبيعة أداء المهارات فى هذه الأنشطة، حيث أن ألعاب الكرة على سبيل المثال عند تقدير الأوزان الإضافية المستخدمة فى تمارينات المنافسة يجب الوضع فى الاعتبار أن اللاعب يتعرض عند أدائه مهارات ألعاب الكرة إلى العمل ضد مقاومة وزن الجسم كله بالإضافة إلى وزن الكرة بالنسبة للأطراف السفلى (الرجلين) أما بالنسبة للأطراف العليا (الذراعين) تعمل ضد مقاومة وزن الذراعين + وزن الكرة (كأداة). كما أن لاعب الجلة أو القرص أو الرمح يعمل ضد مقاومة وزن جسمه مضافاً إليه وزن كل من الجلة أو القرص أو الرمح على التوالى، وذلك بالنسبة للطرف السفلى (الرجلين) فى حين أنه بالنسبة للطرف العلوى يعمل ضد وزن الذراع بالإضافة لوزن الأداة سواء كانت جلة أو قرص أو رمح على التوالى.

كما أن هناك أنشطة يستخدم فيها اللاعب الذراعين + الأداة (مثل كل من أنشطة هوكى الميدان، هوكى الانزلاق، والبيسبول، بالإضافة إلى بعض الأنشطة الأخرى التى يستخدم فيها اللاعب الذراع بالإضافة للمضرب والكرة مثل التنس الأرضى، تنس الطاولة، كرة الريشة الطائرة).

لذا يطلب الأمر لحل هذه المشكلة الخاصة بتقدير الأثقال الإضافية المستخدمة فى تمارين المنافسات فى الألعاب التى تستخدم أداة أو أكثر، وضع نموذج رياضى يمكن عن طريقه تقدير الأثقال الإضافية المستخدمة فى تمارين المنافسات فى تلك الألعاب.

لذلك تستهدف هذه الدراسة فى المقام الأول إلى وضع نموذج رياضى لحل مشكلة تقدير الأثقال الإضافية لكل من الجسم كله والأطراف المستخدمة، بطريقة يمكن تطبيقها بسهولة وفى إطار فنية أداء المهارات المختلفة فى الأنشطة المختلفة.

النموذج الرياضى : The Mathematical model

اعتمدنا فى وضع النموذج الرياضى لحساب الثقل الإضافى المستخدم فى تمارين المنافسات فى الألعاب الجماعية التى تستخدم أداة أو أكثر على نسب أوزان كلاوسير وآخرون (٢) مع التسليم بما يلى :

- ١- يتكون جسم الإنسان من ١٤ وصلة هى الرأس والجذع واليد اليسرى والساعد الأيسر والعضد الأيسر، اليد اليمنى والساعد الأيمن والعضد

الأيمن، الفخذ الأيسر، الساق الأيسر، القدم اليسرى، الفخذ الأيمن والساق الأيمن والقدم اليمنى.

٢- جميع وصلات جسم الإنسان متصلة ببعضها عن طريق مفاصل تسمح بتحريكها بحرية.

٣- يعتبر كل من الرأس مجسم بيضاوى، وأعلى وأسفل الجذع اسطوانة بيضاوية قائمة، واليد جسم دائرى أجوف، وباقى الأعضاء على شكل مخروط دائرى قائم.

ولتسهيل حساب الأتقال الإضافية قسمنا وصلات الجسم وفق طبيعة أداء مهارات كل نشاط رياضى قيد الدراسة إلى النظم التالية :

النظام الأول :

يتكون من وزن الجسم الكلى، وأوزان كل من أعضاء الجسم (الأجزاء)، ويتم حسابها عن طريق استخدام المعادلتين التاليتين :

$$W_{Body} = \sum W_{segi} \quad (1)$$

$$W_{segi} = W_{Body} * R_{segi} \quad (1-a)$$

حيث أن W_{Body} = وزن الجسم كله، W_{segi} = وزن العضو، R_{segi} = نسبة وزن العضو بالنسبة لوزن الجسم الكلى بوحدة ثقل الكيلوجرام.

النظام الثانى :

ويتضمن حساب الثقل الذى يمثل ٣% من وزن كل من الطرف العلوى (الذراعين) والأداة (سواء كانت كرة أو مضرب أو مضرب وكرة) فى الأنشطة التى تستخدم الذراع (أو الذراعين) باستخدام المعادلة التالية :

$$W_{add} = 3\% (W_A + W_{Im}) \quad (2)$$

حيث أن W_{add} = الوزن الإضافي الذي يمثل ٣% من مجموع وزني كل من الذراع المستخدمة والأداة، W_A = وزن الذراع المستخدمة، W_{Im} = وزن الأداة المستخدمة.

وفي حالة استخدام الذراعين وأداة تصبح المعادلة (٢) كما يلي :

$$\overline{W}_{add} = 3\% (W_A * 2) + (W_{im} * 3\%) \quad (2-a)$$

حيث أن \overline{W}_{add} = الوزن الإضافي الذي يمثل ٣% من أوزان كل من الذراعين + المضرب + الكرة، W_{im} = وزن المضرب + وزن الكرة.

النظام الثالث :

ويتضمن حساب الثقل الإضافي الذي يمثل ٣% من أوزان كل من الطرف السفلي (الرجلين) والأداة في الأنشطة التي تستخدم الرجل (أو الرجلين) باستخدام المعادلة التالية :

$$W_{add}^* = 3\% (W_{Leg} + W_{im}) \quad (3)$$

حيث أن W_{add}^* = الوزن الإضافي الذي يمثل ٣% من مجموع أوزان كل من الرجل المستخدمة + الكرة، W_{Leg} = وزن الرجل المستخدمة.

النظام الرابع :

يشتمل على حساب الثقل الإضافي الذي يمثل ٣% من أوزان كل من الطرفين العلوي والسفلي والأداة في الأنشطة التي تستخدم الطرفين العلوي والسفلي والأداة باستخدام المعادلة التالية :

$$W_{add}^{**} = 3\% * W_{h.t.legs} + 3\% (W_A + W_{im}) \quad (4)$$

حيث أن W_{add}^{**} = الوزن الإضافي الذي يمثل ٣% من مجموع أوزان الرأس + الجذع + الرجلين، و ٣% من مجموع وزني الذراع المستخدم + الكرة (الأداة).

أمثلة تطبيقية :

١- ألعاب الكرة التي تستخدم الطرف العلوي والكرة مثل (كرة اليد) :
١/١ الهدف :

تحديد الثقل الإضافي للاعب كرة يد وزنه ٦٤ ثقل كيلوجرام.

٢/١ الإجراءات :

تتبع الخطوات التالية :

١/٢/١ نحدد وزن كل من الذراعين باستخدام المعادلة (١) كما يلي :

$$W_{seg} = W_{Body} \& R_{seg} \quad (1)$$

حيث أن وزن الذراع = نسبة وزن العضد + نسبة وزن الساعد
+ نسبة وزن اليد

$$\therefore \text{نسبة وزان الذراع} = ٠,٠٢٦ + ٠,٠١٦ + ٠,٠٠٧ = ٠,٠٤٩$$

وحيث أن وزن الجسم الكلي = ٦٤ ثقل كيلوجرام

$$\therefore W_{seg} = 64 * 0.049 = 3.136 \text{ kgm/sec}^2$$

٢/٢/١ حساب الثقل الإضافي الذي يمثل ٣% من وزن كل من الذراع

المستخدم + الأداة المستخدمة باستخدام المعادلة (٢) كما يلي :

$$W_{add} = 3\% (W_A + W_{im}) \quad (2)$$

حيث أن وزن كرة اليد = ٠,٤٧٥ ثقل كيلوجرام، وزن الذراع المستخدمة (الذراع اليسرى) يساوى ٣,١٣٦ ثقل كيلوجرام.

$$\begin{aligned}\therefore W_{add} &= .03 (3.136 + 0.475) \\ &= 0.03 * 3.611 \\ &= 0.1083 = 0.108 \text{kg/sec}^2\end{aligned}$$

أى أن الثقل الإضافى الذى يمثل ٣% من مجموع وزن كل من الذراع المستخدمة والكرة يساوى ٠,١٠٨ ثقل كيلوجرام تقريباً، ويوضع هذا الثقل على كل من الذراعين حيث يستخدم اللاعب كلاً من الذراعين خلال أداء مهارات كرة اليد.

٢- فى ألعاب المضرب والكرة التى تستخدم الطرف العلوى + المضرب + الكرة كما فى هوكى الميدان :

١/٢ الهدف : تحديد الثقل الإضافى للاعب هوكى الميدان وزنه ٦٤ ثقل كيلوجرام.

٢/٢ الإجراءات :

تتبع نفس الإجراءات فى ٢/١ مع ملاحظة أن لاعب الهوكى خلال أدائه يقبض على المضرب بكلا اليدين معاً، لذا يوضع فى الاعتبار وزن الذراعين كوحدة واحدة فى النظام، حيث يحسب وزنه كما يلى :

وزن الذراعين = الوزن النسبى للذراع اليسرى + الوزن النسبى للذراع اليمنى × وزن الجسم الكلى

$$64 \times (0.049 + 0.049) =$$

$$= 64 \times 0.098 = 6.272 \text{ ثقل كيلوجرام}$$

وحيث أن وزن مضرب هوكي الميدان ينحصر ما بين 0.340 ثقل

كيلوجرام، 0.794 ثقل كيلوجرام، وزن كرة الهوكي ينحصر ما بين 0.1767

ثقل كيلوجرام، 0.1833 ثقل كيلوجرام.

$$\begin{aligned} \therefore W_{add}^* &= 0.03 (6.272 + 0.794 + 0.1833) \\ &= 0.03 * 7.2495 \\ &= 0.217479 = 0.2180 \text{kgm/sec}^2. \end{aligned}$$

أى أن الثقل الإضافى الذى يمثل 3% من مجموع وزن كل من

الطرف العلوى + مضرب الهوكي + كرة الهوكي (الحد الأعلى) المستخدمة

يساوى 0.2180 ثقل كيلوجرام تقريباً.

ويوضع هذا الثقل الإضافى على كل من الذراعين.

3- فى ألعاب الكرة التى تستخدم الطرف السفلى + الكرة كما فى كرة القدم

1/3 الهدف :

تحديد الثقل الإضافى للاعب كرة قدم وزنه 64 ثقل كيلوجرام

2/3 الإجراءات :

نتبع نفس الخطوات المتبع فى 2/1 مع ملاحظة استخدام المعادلة (3)

لتحديد الثقل الإضافى الذى يمثل 3% من أوزان كل من الرجل المستخدمة +

كرة القدم :

$$\begin{aligned}
W_{add}^{**} &= 3\% (W_{seg} + W_{lm}) \\
&= 0.03 (64 * 0.161 + 0.450) \\
&= 0.03 (10.304 + 0.450) \\
&= 0.03 * 10.754 = 0.32260 \\
&= 0.3230 \text{kgm/sec}^2
\end{aligned}
\tag{3}$$

أى أن الثقل الإضافى الذى يمثل ٣% من وزن كل من الرجل المستخدمة + كرة القدم يساوى ٠,٣٢٣٠ ثقل كيلوجرام تقريباً، ويوضع هذا الثقل على كل من الرجلين حيث يستخدم لاعب كرة القدم الرجلين بالتبادل خلال أداء مهارات كرة القدم.

٤- فى الألعاب التى تستخدم الطرف السفلى والطرف العلوى بالإضافة للأداة مثل الكرة الطائرة :

١/٤ الهدف :

تحديد الثقل الإضافى للاعب كرة الطائرة الذى يزن ٦٤ ثقل كيلوجرام

٢/٤ الإجراءات :

تتبع الخطوات التالية :

١/٢/٤ نحدد الثقل الإضافى الذى يمثل ٣% من وزن الرأس + الجذع + الطرف السفلى (الرجلين) باستخدام المعادلتين (١)، (٤) كما يلى :

$$W_{Body} = \sum_{i=1}^N W_{seg} \tag{1}$$

$$\begin{aligned}
W_{h.t.legs} &= (64 * 0.073) + (64 * 0.507) + (64 * 0.322) \\
&= 4.672 + 32.448 + 20.608 \\
&= 57.728 \text{kgm/sec}^2.
\end{aligned}$$

$$\begin{aligned}
 & \text{***} \\
 & W = 3\% W_{h.t.legs} + 3\% (W_A + W_{Im}) \quad (4) \\
 & 3\% W_{h.t.legs} = 0.03 * 57.728 \\
 & = 1.73184 = 1.7320 \text{kgm/sec}^2.
 \end{aligned}$$

أى أن الثقل الإضافى الذى يمثل ٣% من مجموع وزن كل من الرأس والجذع والرجلين يساوى ١,٧٣٢ ثقل كيلوجرام تقريباً، ويوزع هذا الثقل الإضافى على حزام الأثقال الإضافية أو قميص الأثقال الإضافية.

يحسب الثقل الإضافى الذى يمثل ٣% من مجموع وزن كل من الذراع والكرة الطائرة كما يلى :

$$\begin{aligned}
 3\% W_{A. Im} &= 0.03 (W_A + W_{Im}) \\
 &= 0.03 (3.137 + 0.280)^* \\
 &= 0.10248 = 0.1030 \text{kgm/sec}^2.
 \end{aligned}$$

أى أن الثقل الإضافى الذى يمثل ٣% من مجموع أوزان كل من الذراع المستخدم+ الكرة ويساوى ٠,١٠٣ ثقل كيلوجرام تقريباً، ويوزع هذا الثقل الإضافى على كل من الذراعين حيث تتطلب طبيعة أداء مهارات الكرة الطائرة استبدال عمل الذراعين أو الذراعين معاً.

ويصبح مجموع الثقل الإضافى الذى يمثل ٣% من مجموع أوزان الرأس والجذع والرجلين، والذراعين والكرة يساوى :

$$\begin{aligned}
 & \text{***} \\
 & W_{add} = 1.7384 + 0.10248 \\
 & = 1.84088 = 1.8410 \text{kgm/sec}^2.
 \end{aligned}$$

* وزن الكرة الطائرة ينحصر ما بين ٠,٢٦٠ ثقل كيلوجرام، ٠,٢٨٠ ثقل كيلوجرام

المراجع :

^{١-} عادل عبد البصير على : (١٩٩٨م)، الميكانيكا الحيوية والتكامل بين النظرية والتطبيق، الطبعة الثانية، مركز الكتاب للنشر، القاهرة، ص(١٤٧-١٥٢).

- 2- **Clauser, Charlers, E.,** : (1969), Weight, volume and center
McConville, John T., mass of segments of the human
& Young, J.W. body, AMRL, Technical Report
69-70, Wright-Patterson Air Force
Base, Ohio.

الفصل الخامس

مبادئ البحث فى بيوميكانيا الرياضة

Research fundamental in biomechanics of sport

Planning	أولاً : التخطيط
Pilot study	ثانياً : الدراسة الاستطلاعية
Main study	ثالثاً : الدراسة الأساسية
Documentation	رابعاً : التعليق
Instrumentations	خامساً : التجهيزات
Experimental error	سادساً : خطأ التجريب
Statistical analysis	سابعاً : التحليل الاحصائى
Dissemination results	ثامناً : نشر النتائج
Evaluation	تاسعاً : التقويم
Summary	عاشراً : الملخص

الفصل الخامس

مبادئ البحث فى بيوميكانىكا الرياضة

Research fundamental in biomechanics of sport

البحث عنصر ضرورى فى نشأة البيوميكانىك لى يصبح قابل للتطبيق كفرع من المعرفة (نظام)، وسوف تلقى زيادة فى مستويات المبادئ الأساسية والتطبيقية، النظرية، ويتطلب التوغل فى برامج البحث العناية بالتخطيط، بالأدوات، بالتقويم، إذا كنا نريد المساهمة بفعالية لتطوير البيوميكانىك بسرعة قياسية، بينما يمكن نشر المعلومات العامة لتواصل البحث، هناك حاجة إلى الاهتمام الخاص بتواصل بحث تجهيزات مشاكل البيوميكانىك فى الرياضة لذلك المناقشة المطروحة اهتمت بالتعرض لهذه الاحتياجات وتساعد بالتركيز على اظهار تأثير البحث فى ميكانيكية حركة الإنسان.

أولاً : التخطيط : Planning

أول خطوة فى بحث البيوميكانىك هى الحدود التطبيقية للمشكلة لدراساتها، الخبرة الشخصية فى التدريب، التدريس، والبحث الجيد المتشابه لدراسة حركة الإنسان سوف يبرز عدد من الأسئلة تتطلب بحث دلالتها الاحصائية. هدف الدراسة إذن ربما يكون تقسيمياً نظرياً، أسس أو تطبيقات طبيعية، تعتمد على أغراض جوهرية من أجل نتائج مطلوبة.

عندما يتحدد هذا المستوى، يتضح الغرض وتلقى أعضاء البحث على أعداد الغرض التجريبي. يجب تحديد حدود العوامل والانتها من التصميمات التجريبية. ويركز بعد ذلك على عدد ونوع اختيار أفراد العينة وبالمثل طرق اختيارهم. ويجب التخطيط لعدد مراحل الاختيار. والحالات التطبيقية وتتابع التدريبات الفردية. تحتاج معدات مجموعة الاختبار إلى حفظها للمستقبل.

ثانياً : الدراسات الاستطلاعية : Pilot study

قبل إجراء الدراسة الرئيسية، من الممكن إجراء دراسة مصغرة أو دراسة استطلاعية، عادة تحدث في حدود عدد من الأشخاص في محاولة للتعرف على فعالية الإجراءات في الدراسات العملية. اختبار البيئة الخارجية سوف يجهز تقريباً البيئة المحيطة بالأشخاص بقدر الإمكان. عندما تدرس المهارة الرياضية عند مستوى عملي، الاختبار ربما يكون بين أقل تناسق ولكن في أكثر بيئة طبيعية محيطة للرياضة، وأيضاً أحسن حكم، صناعي معلمي.

يجب أن يكون الباحث يقظ للعوامل مثل البراعة، والأجهزة المعملية الغريبة، وعمل التشويش العملي للأجهزة ورفض مساعدات البحث التي ربما تؤثر في أداء الأشخاص، وتسجيل البيانات، وإجراءات تحليل المتغيرات البيوميكانيكية المختارة وتجميع البيانات، وتطوير برامج الحاسب الآلي، وإتمام الحسابات والتحليل الأولى للبيانات سيكون بالتفصيل. التدريب على مساعدات البحث خلال الدراسة الاستطلاعية يساعد على التأكد من التوحيد القياسي، والاستقرار خلال التجربة الرئيسية. نتيجة للهدف الابتدائي، يكون من الممكن

تجديد والتخلص من وضع المصادر الصعبة مثل تبسيط الإجراءات، تقدير الزمن المطلوب لكل مراحل الدراسة الفعلية، التكلفة الكلية للشخص وعدد الأشخاص المطلوبة.

ثالثاً : الدراسة الرئيسية : Main study

يتأسس التخطيط التفصيلي للدراسة الرئيسية على الخبرة التي تم الحصول عليها من الدراسات الاستطلاعية. يجب أن ينصب التركيز على اعطاء التعليق، الإجراءات موضع مصادر الخطأ التجريبي، التحليل الاحصائي، عرض النتائج وتقويمها.

رابعاً : التعليق : Documentation

تسجيل التركيبات الخاصة لكل مرحلة من مراحل الدراسة يجب أن تعد كما في تخطيط الإجراءات وتكون بدقة. تحفظ الدراسات اليومية خلال مواصلة الدراسة وأى تعديلات غير عادية تسجل بصفة دورية. كل معلومة ربما تظهر التيسير من أجل التجريب المستقبلي وسوف تحتاج إلى كتابة تقرير عن الهدف. والتوصية ببقاء الرسومات البيانية لمجال الاختبار. الأجهزة والأشخاص تؤخذ بينما تكون الدراسة قائمة. كلا الشرائح الملونة المستخدمة في استعراض نتائج البحث في المقابلات المتخصصة والأبيض والأسود المطبوعة المتضمنة أوراق النشر مطلوبة أيضاً.

خامساً : التجهيزات : Instrumentation

التقدم الحديث فى نظام التجهيزات ساهم مساهمة عظيمة فى كمية ونوعية البحث فى السبيوميكانيكا فى المجال الرياضى. قبل توظيف هدف البحث، الباحث سوف يقوم بعمل تقويم من خلال نظم القياس الممكنة. من الممكن تجميع الرسم البيانى الالكترونى والمصور الشخصى للتحديد أى كان تركيب أو ميكانيكية الجهاز الجديد أو المعدل، وكذلك الذى يكون مستعداً للاستخدام سوف يقابل أفضل متطلبات أهداف الدراسة. التركيز أيضاً يجب أن يهتم بالتكلفة، الدقة واستقرار العمليات وتسجيل المركبات، وتبسيط معدل السرعة، سهولة العمليات والحفظ، قابلية انتقال الجهاز إذا كانت متطلبات الدراسة تستدعى نقل الجهاز.

عندما يتم اختيار خصائص التجهيز، يصبح الباحث جاهزاً لإجراء عملياته. يجب أن تجرى معايرة الأجهزة بانتظام خلال مواصلة التجربة للتأكد من أنها معدة لأداء وظيفتها. يطبق هذا على كل من الأجهزة مثل قوة محولات الطاقة Force transducers، والكاميرات Cameras، جهاز التسارع Accelerometers، منصة القوة Force plate، الجنيوميتر الكهربى Electrogoniometer، جهاز رسم التيار الكهربى والعضلات Strobtoelectrogoniometer.

سادساً : خطأ التجريب : Experimental error

تحديد خطأ التجريب مهم جداً لتحديد وفصل العوامل التي تساهم في خطأ التجريب. على سبيل المثال، نظام معايرة الأجهزة تؤكد للباحث أن الخطأ الجهاز يكون أقل ما يمكن. اختبار البيئة الخارجية بذاته ربما يساهم في تغير الأداء إذا كانت الحالة المعيارية ليست ثابتة. هذا يدعو إلى أن العناية بالتسجيلات يجب أن تحفظ في الوضع المضبوط لجهاز القياس لدرجة أنها يمكن إعادة عرضها عند الضرورة. المعاملات المرجعية لجسم الشخص يجب أن يكون مكانها ثابت ودقيق من يوم لآخر.

المطابقة المعيارية بخاصة في الدراسات الطولية حيث يتطلب ذلك منهم تكرار متعددة لنفس الاختبار في نفس الحالات. عند مجموعة فترات زمنية. القدرة على أن البيانات يجب ان تكون مضمونة في حالة عدم اتباعها لأسس محددة عن طريق التجريب. ويمكن أن يحدث هذا بمهارة خلال مراحل الاختبار، وتحليل البيانات والنماذج في ترجمة النتائج. بالنسبة لحالة كبر معامل ثبات الاختبار يمكن ظهوره إذا روعى الحد الأدنى لاتصال الباحثين بالعينات. يتبع نفس أساس تطبيق تحليل البيانات، عمل القياسات من فيلم تسجيل البيانات، وعمل التحليل الاحصائي.

تقويم الاختلافات في أداء الأشخاص يمكن تقويمها في معظم الدراسات البيوميكانيكية. وحقيقة خصائص تنوع الاختلافات يكون غالباً هام في مساعدة المركبات البيوميكانيكية للأداء في الرياضة. في معظم اللحظات يكون من المهم دراسة أكثر من محاولة في اليوم وأيضاً تكرار الاختبار بالتتابع لأكثر

من مرة أو لعدة أيام متتالية وأحسن تقدير للأداء العادى يمكن تسجيله إذا كرر فى التجربة.

سابعا : التحليل الاحصائى : Statistical analysis

البحث فى معظم فروع المعرفة له بصمة مؤثرة عن طريق التأكد الاستنتاجى الاحصائية لمعالجة البيانات. التربية الرياضية أيضاً تأثرت بهذا الاتجاه، يجب تطوير الميكانيكا الحيوية فى الرياضة بعمل معلومات احصائية جيدة لتكون قادرة على قراءة وفهم المحاضرة واستخدام هذه الوسيلة فى أبحاثنا. نخدم المعالجة الاحصائية للبيانات بصفة أولية فى مساعدة الباحث فى مناقشته للنتائج، ولا يمكن تجاهلها خلال تقويم البيانات ودلالاتها الاحصائية العملية.

قدرة معظم برامج الاختبارات الاحصائية للحاسب الآلى على امتلاك الاختصار الهائل للزمن المطلوب لاتمام مرحلة الحساب، ومع ذلك، استخدام الحساب الآلى نصيحة ناقصة حتى يفهم الباحث تماماً المعالجات النظرية ويؤديها. عندما ندخل كمية كبيرة من البيانات فى التفاعل، بعض الحسابات سوف تكون مزدوجة عن طريق الحساب اليدوى لجعل نتائج الحاسب الآلى بذلك دقيقة. يمكن حدوث الأخطاء عندما تكون تركيبات المدخل دقيقة أو عندما يكون عرض البيانات الخام خاطئ، أو الخطأ فى قراءتها. قبل إجراء التحليل الاحصائى، ننصح بمضاهاة البيانات بتلك التى قررت فى المراجع وتفحص من موضع وضعها. الرسم البيانى اليدوى للمجموعة أو القيم المنفردة للمتوسط الحسابى بالنسبة لفصول التدريب أو بعض العوامل الأخرى تعطى الباحث

بعض الشعور بهذه البيانات. اختبارات الاحصاء الاستنتاجي تستخدم دائماً في تثبييت احتمال تصديق حدوث الاختلافات واعتماد الكميات المستخلصة من الرسم.

اختيار الإجراءات الاحصائية للاستخدام يتأثر بعدد أفراد العينة المشتركين في البحث. الدراسات التي تشتمل على عدد أفراد عينة قليلة تفضل في حالة المدخل في دراسات الفحص الرديء بصورة منفصلة. ويحدث ذلك على سبيل المثال، في الدراسات الطولية لمجموعات حركية لمهارات عالية للرياضيين أو للأطفال الصغار. إذا استخدمت عينة من مجموعات صغيرة ويكون الاستنتاج عند إذن بطرق الإحصاء اللابارومتري مناسبة. هذه الاختبارات تفضل عند توزيع الحر أو اختبارات الرتب، شرحت في المراجع مثل سيجل Seigle (١٩٥٦م). الميزة الرئيسية في الانتفاع بالعينات الصغيرة لا تحتاج إلى مسلمات عن التوزيع الذي أخذت فيه الدرجات. في الدراسات التي تشتمل على مجموعة عينات، التصميم التجريبي يكون أكثر تعقيداً ويتطلب اختلاف اتباع أوامر العمل، وتأثير التدريب بالإضافة إلى أن المسببات الفردية يجب تحديدها وتؤخذ في الحساب. هذه العوامل اعتبرت في اختبار الثبات في نظام التجارب المعملية مناسبة في المعالجة الاحصائية وتكون معتمدة على التصميم التجريبي. تفاصيل وصنف التصميمات المتنوعة وتعدد مجموعة الاختبار الاحصائية متاحة في ستيل وتوري Steel & Torrie (١٩٦٠م)، وينر Winer (١٩٧٢م)، رينون وهابير Runyon & Haber (١٩٧١م)، محمد رضوان (١٩٨٩م).

ثامناً : نشر النتائج : Dissemination results

يمكن استخدام نتائج بحث الميكانيكا الحيوية بطرق متنوعة. في الدراسة العملية ربما نتائج التعامل مع قليل من اللاعبين المهرة تزجج المدرس أو المدرب الذى بالتبعية يمكنه تطبيقها لاثبات الأداء الفردى لها. نتائج الدراسة العملية المحتوية على عدد كبير من الأفراد ربما تضمن استخراج فكرة عامة. وكذلك تنتشر عن طريق نشرها فى مجلات تكتيك التدريب والرياضة وأيضاً خلال عرضها عند عمل ورش العمل والطب التعليمى. عادة تقرر المبادئ الأولية والنظرية للعمل فى المقابلات العلمية وفى مجالات البحث المقترحات التفصيلية. لتخطيط وعرض البحث نشرت عن طريق ويليامز Williams (1965م) (9) حيث أنها مسئولية مهنية فى مشاركة كمية العمل مع باحثين آخرين، البحوث المنشورة تقرأ عن طريق المهتمين بهذا الجزء الخاص بحركة الإنسان. فى معظم الأوقات البحث الثانى المغطى بنفس المادة ربما كتب بلغة غير فنية وتتضمنه مجلة متخصصة أو منشورة.

يجب أن تنصب العناية فى التركيز على إعطاء اختيار المجلة المناسبة وإعداد الطباعة. الدراسة يجب أن تتسجم مع وضع كتابة النشر أو سوف تصبح شاذة. يجب مراعاة أن يؤخذ فى الاعتبار أن طريقة الكتابة تواجه بالمستويات العلمية للنشر. المقترحات الخاصة لإعداد البحث التى صيغت بواسطة سميث ومساعديه (1971م) (7) ربما تكون القيمة الهامة. قبل إعداد المسودات النهائية، النصيحة الكبرى أن إثنان أو ثلاثة من النقاد الجامعيين يراجعون الطباعة. أيضاً المسودة الأخيرة سوف تصحح عن طريق شخصين

على الأقل لتجنب أخطاء الطباعة. العدد المطلوب من المسمودات الأصلية ربما عندئذ تصنع باستخدام الطابع النوعى. ومن تواجد امتلاك العرض مثل إعداد القوائم البيانىة، والخط البيانى عن طريق متخصص فى الرسم البيانى. العدد الخاص للعروض ومسمودة الصور الذى تحتوىها النسخة المطلوبة للطبع تكون تمت. محتويات صفحة المراءة تشتمل على عنوان البحث واسم الباحث ووظيفته.

عدم المحافظة على مستوى البحث وجعل النتائج فى متناول الآخرين مسئولية. عملية الإعداد والحصول على الطبع يؤخذ فى الاعتبار عند النشر وتظهر كوسائل هامة فى تحكيم نوعية العمل. حيث أن الأبحاث السابقة عادة تحدث عن طريق الباحثين الخبراء فإن توصياتهم لها قيمة علمية. من خلال عملية عرض البحث، نشر نتائج البحث والتفاعل المهنى بين الأشخاص المتخصصين البيوميكانيكيين الرياضيين يصبحون أعضاء فى أكثر مجموعة مخصصة مهنية.

تاسعا : التقييم : Evaluation

ثبات استمرار برنامج البحث يعتمد على تأثير تقييم هدف كل بحث منفرداً بناء على معظم نتائج العمل المنتجة من تعاقب الدراسات المنظمة، وكل التى ثبتت على النتائج والخبرة السابقة للبحث توصى بضرورة العناية بأى من الصعوبات العكسية والإجراءات والنتائج السابقة عند التخطيط للبحث التالى.

عاشراً : الملخص : Summary

تطبيق البحث البيوميكانيكى، المبادئ الأولية، والمستويات النظرية زادت بوضوح فى السنوات العشرة السابقة حيث أصبح هذا العمل أكثر تعقيداً وصعوبة. من الضرورى للباحثين تحسين نظم أجهزتهم، والإجراءات التجريبية، وتسجيل البيانات، طرق التحليل، ووسائل نشر النتائج. النجاح المطلق لبحث الميكانيكا الحيوية (Biomechanic research) فى الرياضة سوف يعتمد كلية على اكتشافات وحسابات الباحثين فى استمرار جهودهم للنضال من أجل وسائل تأثيرها أكثر فى دراسة أو بحث حركة جسم الإنسان.

المراجع :

- ١- فؤاد البهى السيد : (١٩٧٩م)، علم النفس الاحصائى وقياس العقل البشرى، ط٣، دار الفكر العربى، (٤٧٩-٤٩٨).
- ٢- محمد نصر الدين رضوان : (١٩٨٩م)، الإحصاء اللابارومتري فى بحوث التربية الرياضية، دار الفكر العربى، (١٣٣-٢٤٥).
- 3- AAHPER : (1909), Research methods in health. physical education, and recreation.. Washington: AAHPER.
- 4- AAHPER : (1972), Research quarterly evaluative criteria. Res. Q. Amer. Assoc. Health Phys. Ed., 43,(253-266).

- 5- Clarke, D.H. & Clark, H.H. : (1970), Research processes in physical education, recreation and health. Englewood Cliffs, NJ.: Prentice-Hall.
- 6- Myers, J.L. : (1972), Fundamentals of experimental design. 2nd ed., Boston, Mass: Allyn & Bacon.
- 7- Runyon, R.P., & Haper, A. : (1971), Fundamentals of behavioral statistics, 2nd ed., Reading, Mass: Addison-Wesley.
- 8- Siegel, S. : (1956), Non-parametric statistic for behavioral sciences, New York: McGraw- Hill.
- 9- Smith, O.W., Smith, P.C., Scheffers, J. & Steinmann, D. : (1971), Common errors in reports of psychological studies. Res. Q. Amer. Assoc. Health. Phys. Ed., (42, 466-470).
- 10- Steel, R.G.D., & Torrie, J.H. : (1960), Principles and procedures of statistics, New York: McGraw-Hill.

- 11- Williams, P.C. : (1965), Suggestions for speakers and standers for studies, Institute of Biology Journal, 1-8.
- 12- Winer, B.J. : (1972), Statistical principles in experimental design, 2nd ed., New York: McGraw-Hill.

ملحق (أ)

مراجعة حساب المثلثات Trigonometry Review

معظم مشاكل التحليل الحركى يدخل فيها استخدام المثلثات وبخاصة المثلث القائم الزاوية (right triangles). والمثلث قائم الزاوية هو المثلث الذى فيه أحد زواياه يساوى ٩٠ (درجة) ويكون مجموع زواياه ١٨٠ (درجة)، وأيضاً كل زاوية من الزاويتين الأخريتين تكون أقل من ٩٠ (درجة) وتسمى بالزاوية الحادة (Acute angle). أى زاوية تزيد عن ٩٠ (درجة) تسمى زاوية منفرجة (Obtuse angle). إذا كان مجموع الزاويتين ٩٠ (درجة) تسمى الزاوية متممة للأخرى وعلى ذلك أن كل من الزاويتين الحادتين متممة كل منهما للأخرى فى المثلث القائم الزاوية النسبة بين كل زوج من الأضلاع تكون ثابتة إذا كان حجم الزاوية الحادة يظل ثابت تلك النسب تسمى دوال حساب المثلثات وهى كما يلى :

$$\text{Sine A or Sin A} = \frac{\text{Side Opposite angle A}}{\text{hypoteneuse}}$$

$$\text{Cosine A or cos A} = \frac{\text{Side adjacent to angle A}}{\text{hypoteneuse}}$$

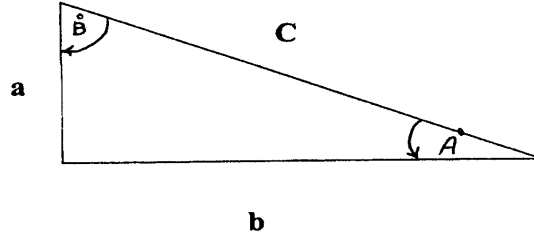
$$\text{Tangent A or tan A} = \frac{\text{Side Opposite angle A}}{\text{Side adjacent to angle A}}$$

$$\text{Cosecant A or Csc A} = \frac{\text{hypoteneuse}}{\text{Side Opposite angle A}}$$

$$\text{Secant A or Sec A} = \frac{\text{hypoteneuse}}{\text{Side adjacent to angle A}}$$

$$\text{Cotangent } A \text{ or } \cot A = \frac{\text{Side adjacent to angle } A}{\text{Side Opposite angle } A}$$

حيث أن $\sin A$ or $\sin A$ = جيب الزاوية (أ) أو جتا الزاوية (أ)،
 $\cos A$ or $\cos A$ = جيب تمام الزاوية (أ) أو جتا الزاوية (أ)،
 $\tan A$ or $\tan A$ = ظل الزاوية (أ) أو ظا الزاوية (أ)،
 $\sec A$ or $\sec A$ = قاطع تمام الزاوية (أ) أو قتا الزاوية (أ)،
 $\cot A$ or $\cot A$ = معكوس ظل الزاوية (أ) أو ظتا الزاوية (أ).



شكل (أ-١)

المثلث قائم الزاوية

حيث A = واحدة من الزاويتين الحادتين في المثلث القائم الزاوية والوتر أكبر ضلع ودائماً يقابل الزاوية القائمة.

$$\begin{array}{lll} \sin A^\circ = \frac{a}{c} & \cos A^\circ = \frac{b}{c} & \tan A^\circ = \frac{a}{b} \\ \cos B^\circ = \frac{a}{c} & \sin B^\circ = \frac{b}{c} & \tan B^\circ = \frac{a}{b} \end{array}$$

الزاويتان الحادتين فى المثلث القائم الزاوية تتم كل منهما الأخرى حيث أن مجموعهم يساوى ٩٠ (درجة). حيث أن مجموع زوايا المثلث تساوى ١٨٠ (درجة) دائماً وحيث أن الزاوية (C) هى الزاوية القائمة إذن الزاوية A والزاوية B متممتان لبعضهما. ومن الأمثلة يمكن رؤية أن جيب تمام أى زاوية (cosine) يعادل جيب الزاوية (sine) المتممة لها، وفى الحقيقة يلعب استخدامهما الدور الرئيسى فى تحديد قيم جا (sin)، جتا (cos).

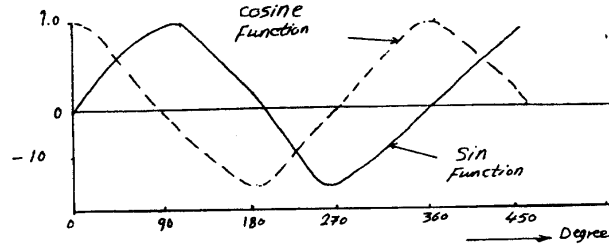
إن الدوال المثلثية الستة ثابتة بالنسبة لأى زاوية فى المثلث قائم الزاوية على الرغم من حجم الزاوية ، ويمكن أن تشتمل على التكوين فى الجدول (أ-١).

جدول (أ-١)

الدوال المثلثية

Degrees	Sines	Cosines	Tangents	Degrees	Sines	Cosines	Tangents
0	0.0000	1.0000	0.0000	46	0.7193	0.6947	1.0355
1	0.0175	0.9998	0.0175	47	0.7314	0.6820	1.0724
2	0.0349	0.9994	0.0349	48	0.7431	0.6691	1.1106
3	0.0523	0.9986	0.0524	49	0.7547	0.6561	1.1504
4	0.0698	0.9976	0.0699	50	0.7660	0.6428	1.1918
5	0.0872	0.9962	0.0875	51	0.7771	0.6293	1.2349
6	0.1045	0.9945	0.1051	52	0.7880	0.6157	1.2799
7	0.1219	0.9925	0.1228	53	0.7986	0.6018	1.3270
8	0.1392	0.9903	0.1405	54	0.8090	0.5878	1.3764
9	0.1564	0.9877	0.1584	55	0.8192	0.5736	1.4281
10	0.1736	0.9848	0.1763	56	0.8290	0.5592	1.4826
11	0.1908	0.9816	0.1944	57	0.8387	0.5446	1.5399
12	0.2079	0.9781	0.2126	58	0.8480	0.5299	1.6003
13	0.2250	0.9744	0.2309	59	0.8572	0.5150	1.6643
14	0.2419	0.9703	0.2493	60	0.8660	0.5000	1.7321
15	0.2588	0.9659	0.2679	61	0.8746	0.4848	1.8040
16	0.2756	0.9613	0.2867	62	0.8829	0.4695	1.8807
17	0.2924	0.9563	0.3057	63	0.8910	0.4540	1.9626
18	0.3090	0.9511	0.3249	64	0.8988	0.4384	2.0503
19	0.3256	0.9455	0.3443	65	0.9063	0.4226	2.1445
20	0.3420	0.9397	0.3640	66	0.9135	0.4067	2.2460
21	0.3584	0.9336	0.3839	67	0.9205	0.3907	2.3559
22	0.3746	0.9272	0.4040	68	0.9272	0.3746	2.4751
23	0.3907	0.9205	0.4245	69	0.9336	0.3584	2.6051
24	0.4067	0.9135	0.4452	70	0.9397	0.3420	2.7475
25	0.4226	0.9063	0.4663	71	0.9455	0.3256	2.9042
26	0.4384	0.8988	0.4877	72	0.9511	0.3090	3.0777
27	0.4540	0.8910	0.5095	73	0.9563	0.2924	3.2709
28	0.4695	0.8829	0.5317	74	0.9613	0.2756	3.4874
29	0.4848	0.8746	0.5543	75	0.9659	0.2588	3.7321
30	0.5000	0.8660	0.5774	76	0.9703	0.2419	4.0108
31	0.5150	0.8572	0.6009	77	0.9744	0.2250	4.3315
32	0.5299	0.8480	0.6249	78	0.9781	0.2079	4.7046
33	0.5446	0.8387	0.6494	79	0.9816	0.1908	5.1446
34	0.5592	0.8290	0.6745	80	0.9848	0.1736	5.6713
35	0.5736	0.8192	0.7002	81	0.9877	0.1564	6.3138
36	0.5878	0.8090	0.7265	82	0.9903	0.1392	7.1154
37	0.6018	0.7986	0.7536	83	0.9925	0.1219	8.1443
38	0.6157	0.7880	0.7813	84	0.9945	0.1045	9.5144
39	0.6293	0.7771	0.8098	85	0.9962	0.0872	11.43
40	0.6428	0.7660	0.8391	86	0.9976	0.0698	14.30
41	0.6561	0.7547	0.8693	87	0.9986	0.0523	19.08
42	0.6691	0.7431	0.9004	88	0.9994	0.0349	28.64
43	0.6820	0.7314	0.9325	89	0.9998	0.0175	57.29
44	0.6947	0.7193	0.9657	90	1.0000	0.0000	∞
45	0.7071	0.7071	1.0000				

لكون أن الوتر في المثلث القائم الزاوية أطول الأضلاع إذن مقدار جا (sin)، جتا (cos) يجب أن ينحصر ما بين $(-1, 000, +1, 000)$. بالإضافة إلى أن الظل (tangents) غير محدد، يعرض الشكل (أ-٢) شكل منحنى دوال جيب وجيب تمام الزاوية. ويعرض الشكل (أ-٢) مساعدة دوال حساب المثلثات للزاويا المنفرجة في اختصار قيمة الزاوية الحادة المتممة لها. كذلك جيب تمام $(\alpha - 180) = -$ جيب تمام الزاوية α ، جيب $(\alpha + 90) =$ جيب تمام α حيث أن α هي زاوية أقل من 90 .



شكل (أ-٢)

تمثيل بياني للجيب وجيب التمام

العلاقتين اللتان تطبقان على أى مثلث أيضاً ثبتت صلاحيتهما في تحليلات الميكانيكا الحيوية. وهي قانون الجيب (Sine law)

$$\frac{a}{\sin A} = \frac{b}{\sin B} = \frac{c}{\sin C}$$

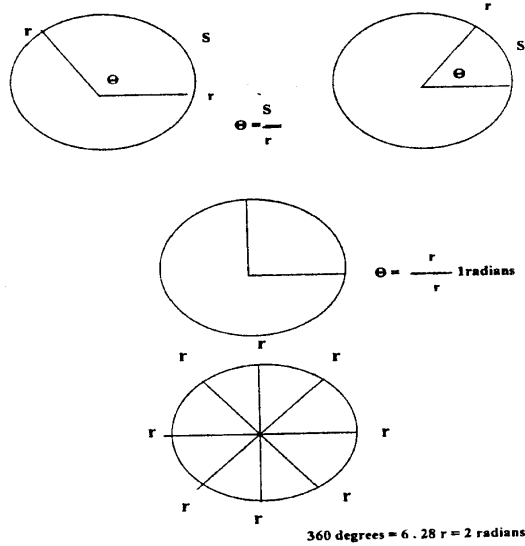
وقانون جيب التمام (cosine law)

$$a^2 = b^2 + c^2 - 2bc \cos A$$

حيث أن a, b, c تشير إلى أضلاع الزاوية المقابلة a, b, c على التوالي. عندما يستخدم الحاسب الآلى الرقعى لتفاعل البيانات أو عندما البارميترات الخطية والزاويا ترتبط، الزوايا يجب أن يعبر عنها بالزاوية النصف قطرية بدلاً من الدرجة الستينية. قيمة أى زاوية (θ) بالتقدير الدائرى (النصف قطرى) تحسب من نسبة طول القوس (S) إلى نصف القطر (r).

$$\theta = \frac{S}{r}$$

أنظر الشكل (أ-٣)



شكل (أ-٣)

العلاقة بين الدرجة الستينية والتقدير الدائرى

جدول (أ-٢)

معادلة اختصار حساب المثلثات

Degrees	Sin جا	Cos جتا	Tan ظا	Cot ظتا	Sec قا	Csc قتا
$-\alpha$	$-\sin \alpha$	$+\cos \alpha$	$-\tan \alpha$	$-\cot \alpha$	$+\sec \alpha$	$-\csc \alpha$
$90^\circ + \alpha$	$+\cos \alpha$	$-\sin \alpha$	$-\cot \alpha$	$-\tan \alpha$	$-\csc \alpha$	$+\sec \alpha$
$90^\circ - \alpha$	$+\cos \alpha$	$+\sin \alpha$	$+\cot \alpha$	$+\tan \alpha$	$+\csc \alpha$	$+\sec \alpha$
$180^\circ + \alpha$	$-\sin \alpha$	$-\cos \alpha$	$+\tan \alpha$	$+\cot \alpha$	$-\sec \alpha$	$-\csc \alpha$
$180^\circ - \alpha$	$+\sin \alpha$	$-\cos \alpha$	$-\tan \alpha$	$-\cot \alpha$	$-\sec \alpha$	$+\csc \alpha$
$270^\circ + \alpha$	$-\cos \alpha$	$+\sin \alpha$	$-\cot \alpha$	$-\tan \alpha$	$+\csc \alpha$	$-\sec \alpha$
$270^\circ - \alpha$	$+\cos \alpha$	$-\sin \alpha$	$+\cot \alpha$	$+\tan \alpha$	$-\csc \alpha$	$-\sec \alpha$
$360^\circ + \alpha$	$+\sin \alpha$	$+\cos \alpha$	$+\cot \alpha$	$+\cot \alpha$	$+\sec \alpha$	$+\csc \alpha$
$360^\circ - \alpha$	$-\sin \alpha$	$+\cos \alpha$	$-\tan \alpha$	$-\cot \alpha$	$+\sec \alpha$	$-\csc \alpha$

حيث أن وحدة قياس نصف قطر (r)، والقوس (s) هي البوصة (in)،
القدم (ft)، السنتيمتر (cm) وهكذا يمكن حذفها من خارج النسبة وكذلك اعتبار
أنصاف الأقطار كمية بدون وحدة. عندما $r=s$ ، الزاوية تساوي نصف قطر
واحد. كذلك، نصف القطر الواحد يعرف كزاوية مقابلة لقوس في الدائرة
طوله يعادل نصف قطر الدائرة، حيث أن محيط الدائرة يعادل 2π ط نق
($2\pi r$) إذن :

$$2\pi \text{ radians} = 360 \text{ degrees}$$

$$1 \text{ radian} = \frac{360}{2\pi}$$

وعلاقة أخرى لها فائدة تشتمل على :

$$\pi \text{ radians} = 180 \text{ degrees}$$

$$\pi/2 \text{ radians} = 90 \text{ degrees}$$

$$\pi/3 \text{ radians} = 60 \text{ degrees}$$

$$\pi/4 \text{ radians} = 45 \text{ degrees}$$

$$\pi/6 \text{ radians} = 30 \text{ degrees}$$

$$1 \text{ degree} = 0.017453... \text{ radians}$$

$$\pi = 3.1415926 = 3.14 \text{ تقريباً.}$$

ملحق (ب)
مبادئ جبرية أولية لكمية المتجه
Elements of vector algebra

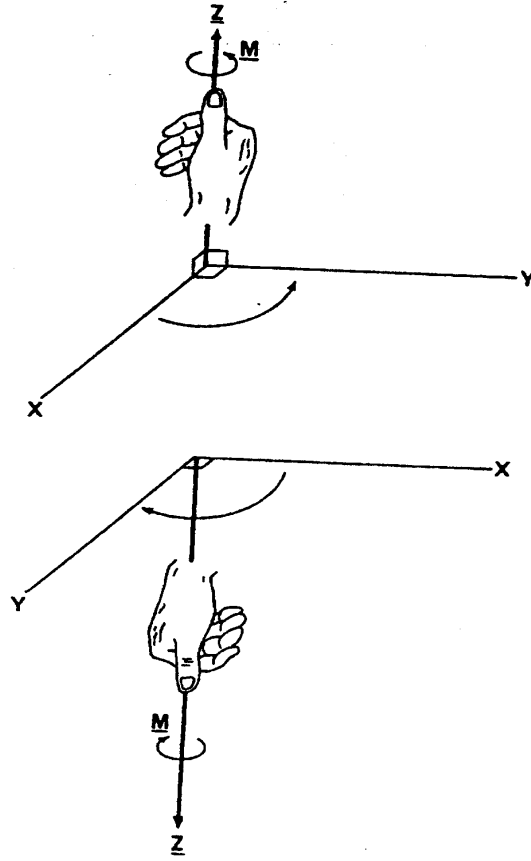
تتطلب تفاصيل تحليل البيوميكانيكية فى أكثر من مستوى واحد (non-coplanar) فهم قاعدة عناصر الكمية المتجه جبرياً.

قاعدة اليد اليمنى : Right hand rule

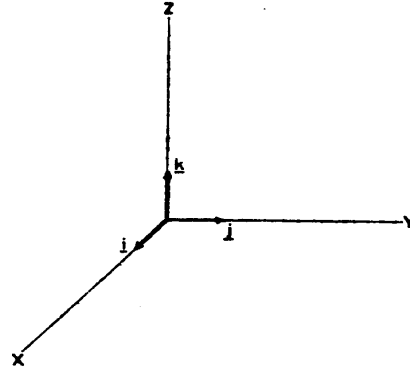
من المؤلف استخدام نظام إحداثى قاعدة اليد اليمنى فى معظم التحاليل البيوميكانيكية شكل (ب-أ). إذا كانت أصابع اليد اليمنى تلف فى اتجاه الدوران الضرورى الموجب للمحور الأفقى (x) العمودى على المحور الموجب الرأسى (y) سوف يشير أصبع الإبهام thumb نحو الاتجاه الموجب للمحور (z). عرف مثل هذا الإحداثى للإطار المرجعى بمصطلح اليد اليمنى right handed.

وحدة الكميات المتجهة : Unit vectors

الكميات المتجهة vectors، إحدى وحدات الطول استخدمت كمؤشر للاتجاه الخاص. المتجه i, j, k يشير إلى وحدة الكميات المتجهة مباشرة على طول المحاور x, y, z الموجبة على التوالى، شكل (ب-٢).



شكل (ب-١)
الإطارات المرجعية لإحداثيات اليد اليمنى



شكل (ب-٢)
وحدة الكميات المتجهة

توجيه الكميات المتجهة : Vectors notation

تكون الكميات المتجهة غالباً مخصصة لمصطلحات وحدة الكميات المتجهة i, j, k مع ضرب كل منها عن طريق القيمة القياسية. توجيه الكميات الموجهة في الاتجاه الخطي من $M(M_x, M_y, M_z)$ إلى $N(N_x, N_y, N_z)$ هو

$$MN = (N_x - M_x)i + (N_y - M_y)j + (N_z - M_z)k$$

إذا كان اتجاه الكمية المتجهة من N إلى M ، عندئذ يجب أن تعدل

المعادلة كما يلي :

$$NM = (M_x - N_x)i + (M_y - N_y)j + (M_z - N_z)k$$

بافتراض أن إحداثيات M, N كانت $(2, 1, -2)$ ، $(5, -3, 10)$ على

التوالي، ويكون اتجاه القيمة المتجهة من M إلى N هي :

$$\begin{aligned} MN &= (5-2)i + (-3-1)j + (10+2)k \\ &= 3i - 4j + 12k \end{aligned}$$

ويمكن حساب مقدار MN باستخدام مصادر الأبعاد الثلاثة لنظرية
فيثاغورث : Pythagorean theorem

$$MN = \sqrt{3^2 + 4^2 + 12^2} = \sqrt{169} = 13$$

، MN يمكن التعبير عنها كوحدة للكمية المتجهة كما عن طريق قسمة
كل من مركباته على مقدار المتجه، حيث أن :

$$u = \frac{MN}{MN} = \frac{3_i - 4_j + 12_k}{13}$$

الجمع والطرح : Addition and subtraction

يمكن ربط المتجهات عن طريق إضافة أو طرح كل من الثلاث
مركبات المتعامدة the three orthogonal components، فمثلاً إذا كان

$$F = Fx_i + Fy_j + Fz_k,$$

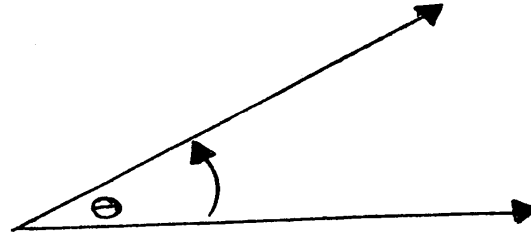
$$G = Gx_i + Gy_j + Gz_k,$$

$$F + G = (Fx + Gx)_i + (Fy + Gy)_j + (Fz + Gz)_k$$

مقياس حاصل ضرب متجهين : Dot or scalar product

مقياس حاصل ضرب متجهين هو الكمية القياسية المساوية لحاصل
ضرب مقداري كلا المتجهين في جيب تمام الزاوية الصغرى المحصورة
بينهما وعلى ذلك إذا كان : $\|\vec{M}\| = M$ ، $\|\vec{N}\| = N$ ، θ = قياس الزاوية
الكبرى بين \vec{M} ، \vec{N} فإن :

$$\vec{M} \odot \vec{N} = M N \cos \theta \quad \text{كما في شكل (ب-3)}$$



شكل (ب-٣)

حاصل ضرب متجهين

يعطى هذا اتجاه مركبة M على طول N مضروبة في مقدار N . وهي على ذلك حالة ثابتة لعملية الكمية المتجهة لتحديد العمل الذي يتساوى مع مركبة القوة في اتجاه الإزاحة مضروباً في الإزاحة. وحاصل ضرب (\odot) وحدة الكميات المتجهة i, j, k هي :

$$i \cdot i = (1)(1) \cos \theta = 1$$

وبالمثل :

$$j \cdot j = k \cdot k = 1$$

$$\therefore j \cdot k = (1)(1) \cos 90 = 0$$

وبالعكس

$$i \cdot j = k \cdot i = j \cdot i = i \cdot k = k \cdot j = 0$$

ويستخدم هذا التعريف لتوضيح $M \cdot N$

$$\begin{aligned} M \cdot N &= (Mx_i + My_j + Mz_k) \cdot (Nx_i + Ny_j + Nz_k) \\ &= Mx Nx + My Ny + Mz Nz \end{aligned}$$

القيمة المتجهة أو ناتج ضرب الطرفين : Vector or cross product

يعرف حاصل ضرب الطرفين لقيمتين متجهتين M, N بأنه قيمة المتجه \underline{v} الذى يعمل فى اتجاه عمودى على مستوى نقطة تقاطع الاحداثيات الثلاثة المتعامدة للمتجهين وفقاً لقاعدة اليد اليمنى، شكل (ب-٤). مقدار v يعادل حاصل ضرب مقدارى M, N فى جيب الزاوية بينهما.

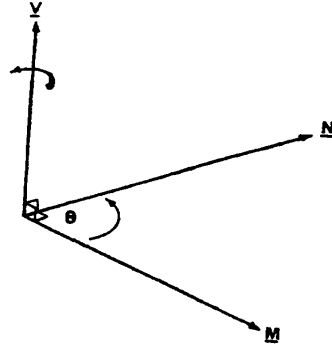
وحدة حاصل ضرب الطرفين لقيم المتجهات i, j, k تكون :

$$\begin{array}{lll} i \times i = (1)(1) \sin \theta = 0 & j \times j = 0 & k \times k = 0 \\ i \times j = k & j \times k = i & k \times i = j \\ j \times i = -k & k \times j = -i & i \times k = -j \end{array}$$

ويمكن استخدام هذا التعريف لحاصل ضرب الطرفين $M \odot N$ فى M

توضيح :

$$\begin{aligned} M \odot N &= (Mx_i + My_j + Mz_k) \cdot (Nx_i + Ny_j + Nz_k) \\ &= Mx Ny_k - Mx Nz_j - My Nx_k + My Nz_i \\ &\quad + Mz Nx_j - Mz Ny_i \\ &= (My Nz - Mz Ny)_i + (Mz Nx - Mx Nz)_j \\ &\quad + (Mx Ny - My Nx)_k \end{aligned}$$



شكل (ب-٤)
ضرب الطرفين

هذه العلاقة يمكن أن تكون أكثر بساطة في شكل مصفوفة :

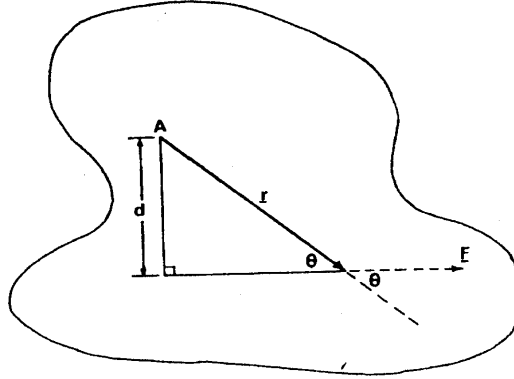
$$M \times N = \begin{vmatrix} i & j & k \\ M_x & M_y & M_z \\ N_x & N_y & N_z \end{vmatrix}$$

عزم القوة حول أى نقطة : Moment of about a point

حاصل ضرب القيمة المتجهة $\vec{r} \times \vec{F}$ تعبر عن عزم القوة F حول أى نقطة التى فيها r المسافة المتجهة العمودية على خط عمل القوة F . كلا المقدارين والاتجاهين للعزم يمكن الحصول عليهما عن طريق توضيح المصفوفة التالية :

$$\mathbf{r} \times \mathbf{F} = \begin{bmatrix} i & j & k \\ r_x & r_y & r_z \\ F_x & F_y & F_z \end{bmatrix}$$

يوضح الشكل (ب-٥) مثال في مستوى واحد، لمقدار عزم القوة F حول النقطة A وهو يعادل مقدار القوة مضروباً في المسافة العمودية على خط عملها d ، وبواسطة حساب المثلثات يمكن رؤية ما يلي :



شكل (ب-٥)

عزم القوة حول أى نقطة

$$d = r \sin \theta$$

ويمكن القول أن المقدار :

$$\mathbf{r} \times \mathbf{F} = r F \sin \theta = F r \sin \theta$$

عزم القوة حول أى محور : Moment of a force about axis

يستخدم حاصل ضرب الكميات القياسية الثلاثة فى تحديد عزم القوة F حول أى محور جزئى N . يجب أولاً أن يوضح المحور شكل وحدة القوة المتجهة. إذن عزم القوة F حول المحور N تكون $r \times F \cdot N$ حيث أن r هى أى وضع يربط القيمة المتجهة N , F مباشرة نحو F . وتحدد الثلاث قيم القياسية بحاصل ضربها كما يلى :

$$r \times F \cdot N = \begin{bmatrix} r_x & r_y & r_z \\ F_x & F_y & F_z \\ N_x & N_y & N_z \end{bmatrix}$$

ويكون حاصل ضرب القيم القياسية الثلاثة هو حاصل ضرب نقطة قيمتى المتجهين، والتي إحداها يكون حاصل ضربها مع الأخرتين. فى حساب عزم القوة حول المحور، حاصل ضرب الثلاث قيم القياسية تعطى مركبة الدوران فى اتجاه المحور الخاص.

أمثلة : Examples

نستعرض الأمثلة التالية لبعض قواعد مفاهيم الكمية المتجهة جبرياً والتي يتطلبها التحليل البيوميكانيكى.

المعطيات : قوة ١٠٠ باوند تمر خلال النقطة $D(1,2,3)$ و $E(10, 10,12)$ واتجهت من D إلى E . كانت الإحداثيات بالياردة.

المطلوب : عزم القوة بالنسبة للمحور المار بـ $G(-1, -6, -12)$ ، $H(-3, 10, -20)$. اتجاه المحور من G إلى H .

الحل

(١) نوضح القوة في شكل متجه.

(أ) اتجاه القوة.

$$\begin{aligned} DE &= (10-1)_i + (10-3)_j + (12-5)_k \\ &= 9_i + 7_j + 7_k \end{aligned}$$

(ب) نوضح القوة كمتجه :

$$u = \frac{9_i + 7_j + 7_k}{\sqrt{9^2 + 7^2 + 7^2}} = \frac{1}{\sqrt{179}} (9_i + 7_j + 7_k)$$

(جـ) أضرب وحدة المتجه في مقدار القوة لتحديد متجه القوة :

$$F = \frac{100}{\sqrt{179}} (9_i + 7_j + 7_k)$$

وكذلك إحداثيات القوة في الاتجاهات المتعامدة هي :

$$F_x = \frac{900}{\sqrt{179}} \quad F_y = \frac{700}{\sqrt{179}} \quad F_z = \frac{700}{\sqrt{179}}$$

٢- حساب وضع القيمة المتجه r المتصلة بالمحور وفي اتجاه خط عمل القوة F

(أ) من الإمكانات المختلفة المناسبة، عادة GD ، GE ، HD ، HE ، والقيمة

المتجهة GD عادة تختار :

$$\begin{aligned} r &= (1+1)_i + (3+6)_j + (5+12)_k \\ &= 2_i + 9_j + 17_k \end{aligned}$$

٣- يوضح المحور في شكل وحدة القيمة المتجهة

أ-

$$\begin{aligned} GH &= (-3+1)_i + (-10+6)_j + (-20+12)_k \\ &= -2_i - 4_j - 8_k \end{aligned}$$

ب- حيث أن وحدة القيمة المتجهة، N

$$N = \frac{-2i + -4j + -8k}{\sqrt{2^2 + 4^2 + 8^2}} = \frac{1}{\sqrt{84}} (-2i - 4j - 8k)$$

(جـ) استخدم حاصل ضرب الثلاث قيم القياسية لتحديد عزم القوة حول المحور

$$M = r \times F \cdot N$$

$$= \frac{1}{\sqrt{84}} * \frac{100}{\sqrt{179}} \begin{vmatrix} 2 & 9 & 17 \\ 9 & 7 & 7 \\ -2 & -4 & -8 \end{vmatrix}$$

$$= \frac{100}{\sqrt{84} \sqrt{179}} (2(-56+28) - 9(-72+14) + 17(-36+14))$$

$$= \frac{100}{9.165 * 13.379} (-2*28 + 9*58 - 17*22)$$

$$= \frac{9200}{122.62} = 75.03 \text{ pound - inches.}$$

ملحق (ج)

تهذيب البيانات فى البيوميكانيك

Data Smoothing in biomechanics

يهتم الباحثون فى البيوميكانيك غالباً بتفاضل البيانات التجريبية- قيم الإزاحة التى حصلنا عليها من الفيلم أو الجنيوميتر تشكل أساس حساب السرعة والعجلة. تلك المتغيرات الكينماتيكية الهامة هى المشتقات الأولى والثانية للإزاحة بالنسبة للزمن. حيث أن كل مشتقة تمثل انحدار المنحنى السابق الشاد فى الدالة الأصلية بحسب تكبير خارج التناسب كدوال فرعية

ويكون من الصعب تقدير جميع مصادر الخطأ من النتائج التجريبية الحاصلين عليها. ومع ذلك، تكنيك تمهيد المنحنى أو تهذيب البيانات يجب تطبيقه كمحاولة لتعويض عدم الدقة والاقتراب من الدالة الحقيقية*.

ربما تستخدم كلا الطرق اليدوية أو الحاسب الآلى الرقوى لهذا الغرض وطريقة الحاسب الآلى الرقوى هى الأكثر انتشاراً حيث أنه يوجد العديد من البرامج لأداء الحسابات الضرورية فوراً، بموضوعية وبدقة.

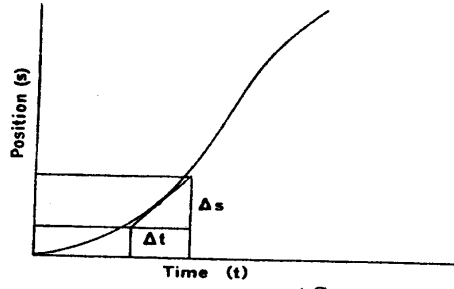
* لمزيد من المعلومات حول شرح نظريات تلك الطرق، يطلع القارئ على كتب
Numerical analysis.

الطريقة اليدوية : Manual method

الطريقة اليدوية لتهديب البيانات الخام للاقتراب من المنحنى. أولاً نوضع القيم الخام المقابلة للزمن. وعندئذ نرسم منحنى التهذيب ماراً من خلال معظم النقاط الممكنة. ربما تستخدم مسطرة المنحنى French curve لهذا الغرض. الخطوة التالية هي تحويل المماسات إلى منحنى عند الفترات الزمنية البيئية المتساوية (شكل ج-١). عن طريق التحديد، سوف يملس المماس بالصبط المنحنى عند النقطة المأخوذة ولا يلغيها. يمكن حساب خط الانحدار من مقياس الانحراف المناسب على ورقة الرسم البياني.

$$\text{Slope} = \frac{\text{Change in position}}{\text{change in time}} = \text{velocity}$$
$$\frac{\text{التغير فى الوضع}}{\text{التغير فى الزمن}} = \text{الانحدار (الميل)} = \frac{\text{السرعة}}{\text{التغير فى الزمن}}$$

توقع إذن السرعة مقابل للزمن على الرسم البياني الثانى ونرسم المنحنى الممهد ويشمل معظمها بقدر الإمكان. وللتأكد من دقة النتائج، يمكن تكامل دالة السرعة- الزمن بيانياً بتحديد المساحة تحت المنحنى ومقارنة تطابق التكامل مع الإزاحة فيلكيل Felkel (١٩٥١م). وبنفس الأسلوب يمكن متابعة الحصول على بيانات العجلة من منحنى السرعة- الزمن. هذه الطريقة البيانية بالإضافة إلى أنها تكون إلى حد ما مستهلكة للزمن وتتطلب شخصاً مدرباً جيداً على إنجاز النتائج الصادقة إلا أن الخبير يسهل توالى اعاقاة إعادة أفضل تمثيل للمنحنى.



$$\text{Velocity} = \frac{\Delta S}{\Delta t}$$

شكل (ج-١)

التفاضل البياني

التفاضلات المحدودة : Finite differences

طرق التفاضلات المحدودة المؤسسة على مجموعات تفكك تايلور Taylor، أعدت معادلة لحساب المشتقات الأولى والثانية والأعلى للدوال، وضع كل من James، سميث Smith، ولفورد Welford (١٩٦٤م).
تكنيكات تقريبية حيث استفادوا من بيانات النقاط على كلا الجانبين للنقطة الواحدة. فمثلاً معادلة حساب المشتقة الأولى x_i كدالة للزمن (velocity) هي:

$$x'_i = \frac{x_{i+1} - x_{i-1}}{2(\Delta t)}$$

والمشتقة الثانية لـ x_i بالنسبة للزمن (العجلة acceleration) هي :

$$x''_i = \frac{x_{i+1} - x_{i-1}}{(\Delta t)^2}$$

$$\begin{aligned}
& \text{حيث أن} \quad x_i = \text{النقطة الخاصة} \\
& x_{i+1} = \text{النقطة على يمين النقطة } x_i \\
& x_{i-1} = \text{النقطة على شمال النقطة } x_i \\
& \Delta t = \text{الفترة الزمنية البينية بين نقطتين}
\end{aligned}$$

خلال هذه الطريقة من الضرورة لاستخدام تقدم المشتقة الأولى عند البداية حيث لا بيانات متاحة يسار النقطة الأولى :

$$\begin{aligned}
x'_i &= \frac{x_{i+1} - x_i}{(\Delta t)} \\
x''_i &= \frac{x_{i+2} - x_{i+1} + x_i}{(\Delta t)^2}
\end{aligned}$$

وبالمثل يجب استخدام معادلا التفاضل الأول العكسية عند النهاية :

$$\begin{aligned}
x'_i &= \frac{x_i - x_{i-1}}{(\Delta t)} \\
x''_i &= \frac{x_i - 2x_{i-1} + x_{i-2}}{(\Delta t)^2}
\end{aligned}$$

معادلة التقدم الثانية، والتفاضل المركزى والعكس تستخدم لنقطتين على كل جانب لـ x_i لإيضاح أكثر لتأثير التهذيب ومعادلات التفاضل التقدمية وهى:

$$\begin{aligned}
x'_i &= \frac{-x_{i+2} + 4x_{i+1} - 3x_i}{2(\Delta t)} \\
x''_i &= \frac{-x_{i+3} + 4x_{i+2} - 5x_{i+1} + 2x_i}{(\Delta t)^2}
\end{aligned}$$

معادلات التفاضل المركزية الثانية وهى :

$$x_i' = \frac{-x_{i+2} + 8x_{i+1} - 8x_{i-1} + x_{i-2}}{12(\Delta t)}$$

$$x_i'' = \frac{-x_{i+2} + 16x_{i+1} - 30x_i + 16x_{i-1} - x_{i-2}}{12(\Delta t)^2}$$

ومعادلات التفاضل العكسية الثانية وهى :

$$x_i' = \frac{3x_i - 4x_{i-1} + x_{i-2}}{2(\Delta t)}$$

$$x_i'' = \frac{2x_i - 5x_{i-1} + 4x_{i-2} - x_{i-3}}{(\Delta t)^2}$$

أيضاً برامج الحاسب الآلى الرقمية المتنوعة مناسبة لحساب استخدام مبادئ التفاضل المحدود. هذه الطريقة ربما لا تجهز التهذيب الوافى الملائم للتغيير المفاجئ للأخطاء فى البيانات المسجلة.

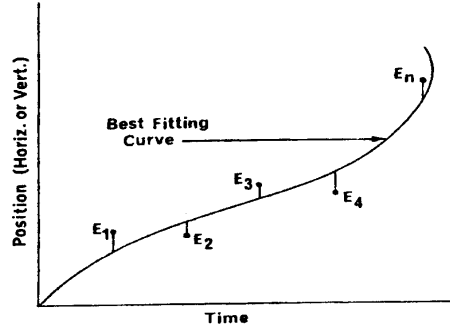
طرق بيانية - رقمية : Grapho-numerical method

الطرق البيانية الرقمية تتركب من أفضل خصائص تكتيكات التفاضل المحدود واليدوى فيكلت (Fleket ١٩٥١م)، بيانات الوضع مبدئياً تمهد يدوياً، وعندئذ يشير هذا الإنجاز لقيم الوضع إلى "أفضل حدود" "Best-fitting" للمنحنى وتستخدم فى معاملات التفاضل المحدود لحساب السرعة والعجلة.

أقل مربع تقريبي : Least square approximations

من المرغوب فيه غالباً إيضاح العلاقة بين المتغيرات كمعادلات نظرية. وتستخدم البيانات الخام كأساس لاشتقاق كل معادلة وتصبح المشكلة هي اختبار الدالة المناسبة. ربما تجهز طريقة أقل تربيع كحل مناسب.

تعتبر أى مجموعة نقاط للبيانات التى تمثل الوضع كدالة بالنسبة للزمن. أيضاً أى عدد من المعادلات متعددة الحدود المعطاة بأى درجة يمكن تقود إلى هذه العلاقة التقريبية، ويكون هناك أفضل منحنى محدود واحد والذى فيه أدنى مجموع لمربع الانحرافات ، شكل (ج-٢).



شكل (ج-٢)

أقل مربع تقريبي

تتطلب أول درجة متعددة الحدود نقطتين للبيانات تكون فى خط مستقيم، وثانى درجة متعددة الحدود تمثل بمنحنى متكافئ. وثالث درجة متعددة الحدود تعادل المنحنى التكعيبى. اعطاء العدد النونى (ن) من نقاط البيانات،

(ن-١) لدرجة متعدد الحدود سوف تجهز حد تام للمسار خلال كل النقاط (ن).
فى معظم الحالات، ومع ذلك، يكون استخدام الموضوعية كخفض درجة تعدد الحدود ممكن.

سوف يقدر خطأ أقل تربيع تجهيز بعض التوجيهات فى اختيار درجة احتمال تمثيل البيانات وإنتاج كمية معينة للتهذيب بدون غموض حقيقى تجاه البيانات. هذه الطريقة تعد أحد وسائل موضوعية المنحنى المناسب ولا تتطلب تساوى مدى نقاط البيانات. برامج الحاسب الآلى متعددة وقادرة على إنتاج معادلات أقل تربيع من البيانات الخام. توالى تفاضل الوضع- وتعدد حدود الزمن للحصول على السرعة والعجلة يكون بإنتاج تقدم- الاستقامة.

المراجع :

- 1- Felkle, E.O. : (1951), Determination of acceleration from displacement. Time data, prosthetic devices research project series 11. Issue 16. Institute of Engineering Research. University of California, Berkeley.
- 2- James, M.L.; Smith, G.M. & Wolford, J.C. : (1964), Analogy and digital computer methods in engineering analysis. Scranton: International Textbook Company.

- 3- Spiegel, M.R. : (1961), Theory and problems of statistics, New York: McGraw-Hill.
- 4- Widule, G.J. & Gossard, D.C. : (1971), Data modeling techniques in cinematographic research, Res. Q. Amer. Assoc. Health Phys. Ed., 42 9103-111).

ملحق (د)

العدسات Lenses

تعقيد ونوعية العدسات متنوعة الانتشار. يفترض إهمال سمكها عند تمثيلها بيانياً بنقطة منفردة تشير إلى مركزها. لذلك، المسافات من العدسة إلى الصورة ومن العدسة إلى الهدف المصور تقاس من هذه النقطة. كل عدسة لها محور أساسي (بصرى) والذى تقريباً يكون متماثل - عندما تدخل أشعة الضوء من مسافة بعيدة (بالتقريب اللانهائية) فى عدسة مجمعة بسيطة، تعكس الأشعة للداخل وتقطع المحور البصرى عند أى نقطة معروفة كبؤرة أساسية. إذن يحدد البعد البؤرى لكل عدسة بالمسافة من مركز العدسة إلى البؤرة الأساسية.

تركيب العدسات، الذى عادة تصحح اقلال التشويه، لها سمك لا يمكن التغاضى عنه. وبالتبعية يجب قياس كل من المسافة بين العدسة والهدف، وبين العدسة والصورة، أولاً أو من أمام النقطة العقدية وثانياً أو من خلف النقطة العقدية على التوالى، وذلك من مركز العدسة. تأثير البعد البؤرى للعدسة يقاس فيما بين خلف البؤرة الأساسية والنقطة العقدية الثانية أو فيما بين البؤرة الأساسية والنقطة العقدية الأولى. تحصل على نفس النتيجة من كلا الطريقتين.

على أى حال التغاضى عن التركيب البسيط أو المعقد للعدسة يناقش

بتطبيقات العلاقة التالية :

$$\frac{1}{u} + \frac{1}{v} = \frac{1}{f}$$

حيث أن u = المسافة بين العدسة والهدف، v = المسافة بين العدسة والصورة، f = البعد البؤري أو تأثير البعد البؤري. ونود التنويه إلى أن خصائص تصنيع البعد البؤري، التي تظهر ضخمة وتطبق عندما تكون الأهداف بؤرية عند ما لانهاية، تكون فقط دقيقة من خلال نسبة $\pm 4\%$ من القيمة الحقيقية (Focal Encyclopedia of Photography) (١٩٦٩م).

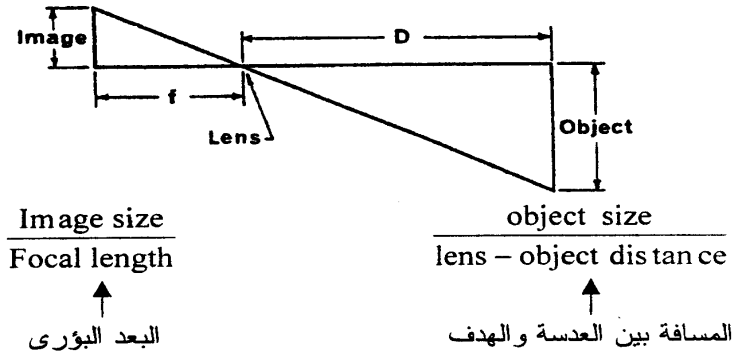
عند اختيار أى عدسة من أجل إجراء عملية التصوير الخاصة أول ما يفكر فيه الباحث هو البحث عن البعد البؤري للعدسة. سوف يقوده فهم المبادئ الأساسية للبصريات إلى عمل الإعداد للاختيار. فى الأمثلة المعروضة فيما يلى، عرضت العدسة البسيطة وبعدها البؤري مع التسليم بتعادل المسافة بين العدسة والصورة. كذلك نفس المفاهيم تطبق فى نظام العدسة المركبة.

يعرض الشكل (د-١) انتقال الأشعة الضوئية من الهدف (O) خلال مركز العدسة. تعطى المسافة بين العدسة والهدف (I) عن طريق الطول البؤري (f) بينما خصصت المسافة بين العدسة - الهدف برمز (D) المثلثان على يمين ويسار العدسة متشابهان. لذلك اشتقت المعادلة التالية :

$$\frac{I}{f} = \frac{O}{D}$$

$$I = \frac{O * f}{D} \text{ and } O = \frac{I * D}{f}$$

وبالاحظ أنه عن طريق زيادة البعد البؤرى يمكن زيادة حجم الصورة عند ثبات المتغيرات الأخرى. إذا اعتبرنا O تمثل اتساع التصوير فإننا نجد أيضاً أنه كلما زاد البعد البؤرى قل اتساع مجال التصوير، شكل (د-١).

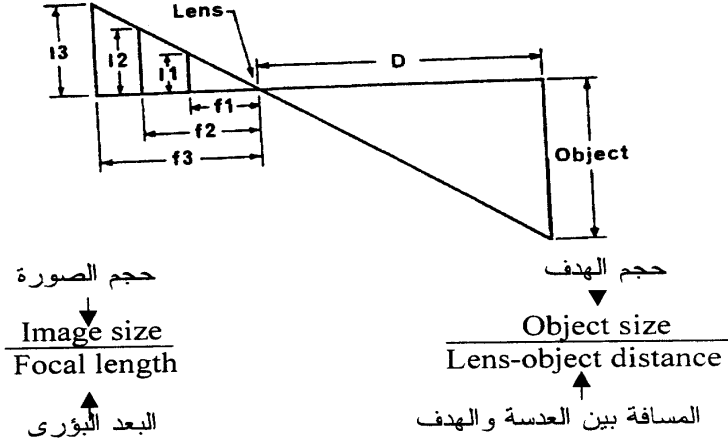


شكل (د-١)

تأثير تنوع البعد البؤرى على حجم الصورة

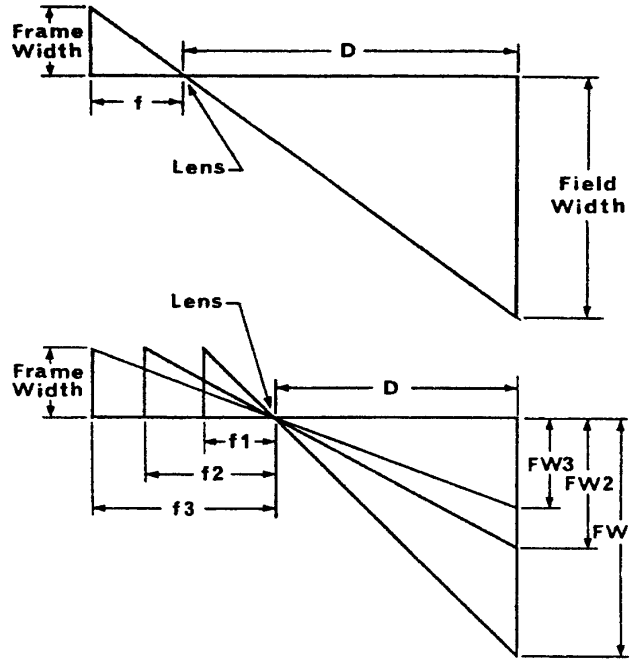
لذلك، بالنسبة لاعطاء مسافة بين العدسة - الهدف، اتساع الزاوية أو قصر البعد البؤرى للعدسة (١٣ مم إلى ١٧ مم) ستصور بأكبر مجال من التصوير من بعد أو بعيد بؤرى طويل للعدسة (٥٠ مم أو أكثر). لتغطية نفس المجال من خلال ٢٥ مم (البعد البؤرى العادى) وبعده ٥٠ مم، كاميرا التصوير بالعدسة ٥٠ مم سوف توضع على بعد ضعف المسافة خلف الهدف.

عندما تؤخذ البيانات الكمية من الفيلم، من المهم أن تكون الصورة كبيرة بقدر الإمكان بالنسبة للإطار. وهذه يمكن إنجازها بصورة أفضل عن طريق استخدام بعد بؤرى طويل للعدسة. قبل التصوير الحقيقى، يمكن تقدير حجم الصورة من معلومات البعد البؤرى، مسافة بين العدسة والهدف، وحجم الهدف، وبشرط التكبير عن طريق عاكس الصور المستخدم فى التحليل.



شكل (د-٢)

تأثير تنوع البعد البؤرى على حجم الصورة



اتساع الإطار اتساع المجال

$$\frac{\text{Frame width}}{\text{Focal length}} = \frac{\text{Field width}}{\text{Lens - object distance}}$$

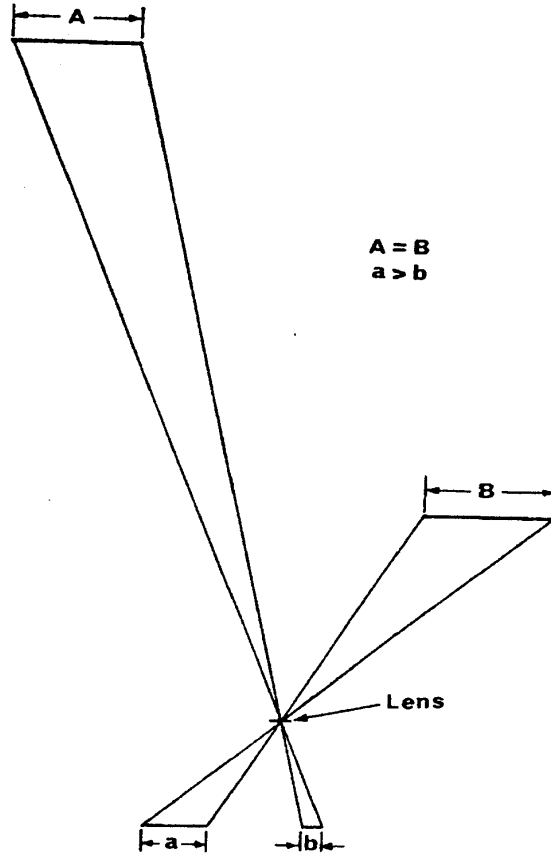
شكل (د-٣)

تأثير تنوع البعد البؤري تبعاً لاتساع المجال

أنه أيضاً من المرغوب فيه تقليل خطأ الرسم المنظورى الذى يحدث عندما يخرج خط جزء من الجسم أو الأداة الرياضية عن مستوى التصوير. عادة، صورة الذراع أو الرجل القريبة من الكاميرا سوف تكون أكبر من الطرف المطابق لها فى الجانب العكسى المستوى للجسم وأيضاً ربما يتماثل ذلك فى الحياة الحقيقية، شكل (د-٣)، هذا النوع من الخطأ يظهر أيضاً عندما يكون العضو بزاوية مع مستوى التصوير ومن هنا يظهر أقصر من عندما يكون قائم بالضبط على المستوى. أيضاً الخطأ لا يمكن تقديره تماماً، ويمكن إقلاله عن طريق وضع الكاميرا بعيد بقدر الإمكان خلفاً من المؤدى بقدر المستطاع، جدول (د-١)، شكل (د-٤) زيادة المسافة بين العدسة والهدف سوف لا تصاحب بأى فقد فى حجم الصورة المتجهزة على طول البعد البؤرى للعدسة المستخدمة. ويجب ملاحظة أن العكس شائع فى الحياة، الحركات التى تؤدى فى أى مكان فى المستوى المختار للتصوير العمودى على المحور البصرى للكاميرا سوف لا يوجد خطأ منظورى فى الهدف، شكل (د-٤).

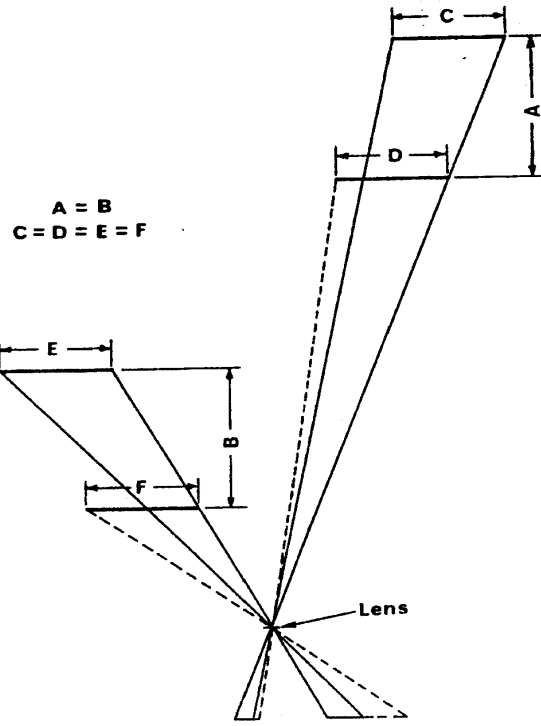
خطأ الاختلاف المنظرى، الذى يعزى إلى ظهور تناقض فى موضع هدفين، يحدث عندما الهدفين يلاحظان من نقطتين مختلفتين. مثل الخطأ التجريبى عندما لا تجهز الكاميرا من خلال رؤية انعكاس ضوء العدسة. كنتيجة، رؤية أوضاع الأهداف تماماً عن طريق العدسة وفتح وغلق شباك الرؤية ليس متماثل. عند تجاوز المسافة بين العدسة والهدف ستة أقدام أو سبعة أقدام، مع ذلك، هذا التناقض غير جاد (1969)، Focal encyclopedia of photography فى التصوير السينمائى، ومع ذلك خطأ الخلاف المنظرى لا

يحتاج إلى تعليق الباحث حيث تعامل مع نسبة كبر المسافات بين العدسة والهدف. يمكن استثناء التصوير بتوقيت أو كرونوسكوب عند مدى غلق. في هذه الحالة الاحتياط واجب بالتأكيد على أن الهدف حقيقة يشتمل عليه مجال التصوير.



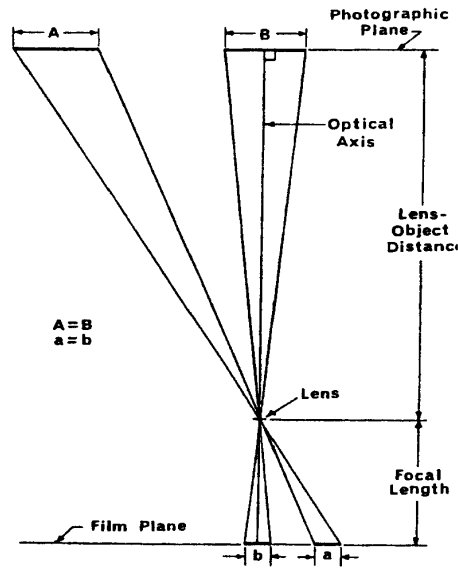
شكل (د-٤)

العلاقة العكسية بين حجم الصورة والمسافة بين العدسة- الهدف



شكل (د-٥)

تقليل الخطأ النسبي من خلال زيادة المسافة بين الهدف والعدسة



شكل (د-٦)

توليد تعادل حجم صور الفيلم عن طريق تعادل الأبعاد في أى مكان في المستوى، عند التعامد على المحور البصرى

فى معظم الكاميرات مقاس ١٦ مم، العدسات يمكن تبادلها لتتناسب مع تجهيزات الحالة التجريبية العمودية. الكاميرات ٢٥ مم ربما الأكثر انتشاراً فى الاستخدام فى أبحاث الميكانيكا الحيوية. وهى تجهز مجال حوالى ١٦ قدم، عندما توضع الكاميرا على مسافة ٤٠ قدم من الهدف. بينما أطول بعد يورى للعدسات مرغوب. يستخدم عامة لاكتساب مسافة بين العدسة والهدف تتجاوز

٦٠ قدم. أيضاً من المحتمل أن هذا سوف يلائم عند التصوير فى خارج الصالات. وربما أنها غير ملائمة فى الصالات أو حمام السباحة. التقريب أو متغير طول بعد العدسة ربما تلائم حمل هذا القياس. فى الماضى، تقريب العدسات يعتبر أدنى درجة بسبب تمثيل التشويش عند أوضاع معينة من خلال مدى التقريب.

جدول (د-١)

العلاقة العكسية بين الخطأ المنظورى والمسافة بين الهدف والعدسة

$$I = \frac{O * F}{D}$$

صورة الفيلم I (mm)	البعد بين الكاميرا والهدف D (Ft)	البعد البؤرى F (mm)	حجم الهدف O (Ft)
١٠	١٥	١٥	١٠
٩,٣٨	١٦	١٥	١٠
١٠	٤٥	٤٥	١٠
٩,٧٨	٤٦	٤٥	١٠
١٠	٩٠	٩٠	١٠
٩,٨٩	٩١	٩٠	١٠

الآن أفضل نوعية للعدسات متماثلة، مع ذلك، هذه لا تمثل مشكلة كما فيما سبق. فى جميع الأحوال، العدسات عالية النوعية سوف توظف لدرجة أن الانحرافات يمكن تقليلها إلى الحد الأدنى. بالإضافة إلى البعد البؤرى، تشير خاصية العدسات إلى المقدرة على تحويل الضوء.

ملحق (هـ)

أسئلة عامة فى التحليل البيوميكانيكى لحركات جسم الإنسان

أولاً : أسئلة الفصل الأول :

- ١- اشرح باختصار ما يلى :
 - أ- مفهوم التحليل البيوميكانيكى.
 - ب- مبادئ التحليل البيوميكانيكى.
- ٢- ماذا يعنى اصطلاح "النظم" فى محتوى البيوميكانيك ؟
- ٣- اشرح باختصار ما يلى :
 - أ- الوزن.
 - ب- رد الفعل.
 - ج- الاحتكاك
- ٤- العضلات هى المحرك الداخلى والمسبب للحركات الانسيابية الهادفة.
ناقش العبارة السابقة فى إطار ما يلى :
 - أ- محصلة عزوم القوة العضلية.
 - ب- التمثيل البيانى للجسم الحر فى حالة فصل أجزاء الجسم.
- ٥- أكمل ما يلى :
 - أ- تكون قوة..... نتيجة لاصطدام أو أكثر.
 - ب- فى الرياضة يحدث عندما تضرب كرة بالمضرب أو كرة الجولف
 - ج- تمثل قوة على الرسم البيانى الحر بوضع بجانب الممثل لاتجاه الحركة
 - د- حسب قاعدة يتناسب حجم قوة مع وزن المزاح.

٦- "تتأثر بعض الأنشطة الرياضية بمقاومة الموانع والبعض الآخر تهمل مقاومة الموانع عند تحليلها"

ناقش العبارة السابقة فى إطار ما يلى :

- أ- تحليل القوة المبذولة حول الجسم أو الشئ عن طريق المائع.
- ب- العوامل المؤثرة على مقاومة المائع.

ثانياً : أسئلة الفصل الثانى :

١- "التحليل البيوميكانيكى ليس له نمط جامد حيث يرتبط إلى حد كبير بظروف إجرائه، وبمدى توافر الأجهزة والمعدات اللازمة له".
ناقش العبارة السابقة.

٢- "تهتم الديناميكا بالفرد فى الحركة وربما امتدت لتشمل الأدوات التى يتعامل معها باليد أو يقذفها، وربما تفحص ديناميكية المهارات الرياضية من نقطة الوقوف فى ثلاث مستويات".

ناقش العبارة السابقة فى إطار ما يلى :

- أ- التحليل الزمنى.
- ب- التحليل الكينماتيكى.
- ج- التحليل الكيناتيكى.

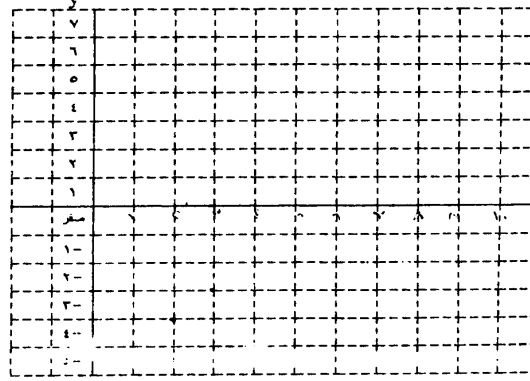
٣- اشرح تقسيم الحركة.

٤- اشرح كيف يمكن حساب الإزاحة الخطية والسرعة والعجلة لأى نقطة على أى عضو للجسم من البيانات الأساسية لوصف ميكانيكا الأداء.

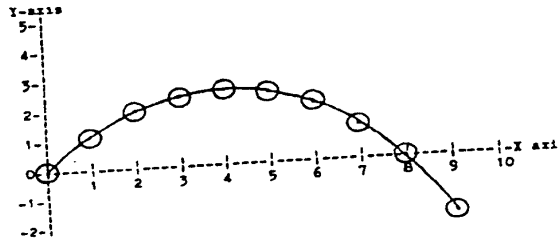
٥- اشرح الخطوات التى يجب اتباعها بصفة مبدئية كمدخل لحل مشاكل الكيناتيكا المنفردة.

٦- ضع النقاط التالية على نظام الإحداثي (y, x) : $(-3, 2)$ ، $(-1, 0)$ ، $(1, 0)$ ، $(2, 0)$ ، $(0, 0)$ ، $(4, 6)$ ، $(0, 0)$ ، $(9, 5)$ ، $(4, 1)$ ثم وصل النقاط برسم الخطوط البيانية باستخدام المسطرة.

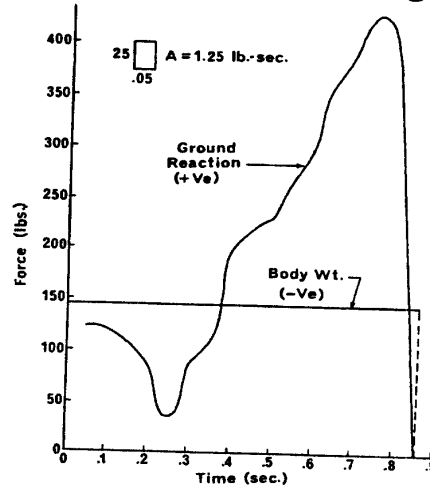
٧- إذا انتقل مركز ثقل كتلة جسم العداء من النقطة $(2, 2)$ ، $(2, 0)$ إلى النقطة $(6, 4)$ ، $(1, 8)$ ما هي الإزاحة الأفقية إذا كان مقياس الرسم اسم: ٨، ٠ متر؟ (ملحوظة: اعتبر أن الاتجاه هو الاتجاه الأفقي فقط)



٨- ارسم منحنى السرعة اللحظية كدالة بالنسبة للزمن في كل من الاتجاهين الرأسى، الأفقى باستخدام مسار مركز ثقل الكرة الموضح في الشكل التالى:



- ٩- وثب لاعب وزنه ٧٠٠ نيوتن لأعلى وكانت قوة رد فعله ١٩٠٠ نيوتن، أوجد مقدار عجلة مركز ثقل كتلته لحظة الدفع؟
- ١٠- احسب منحني الدفع كدالة بالنسبة للوزن من منحني القوة دالة بالنسبة للزمن في الشكل التالي :



- ١١- أذكر الإجراءات التي يجب اتخاذها لإنجاز مشتملات التمثيل البياني الحر للجسم ولتسهيل عملية الحاسب الآلي وتحليل البيانات.
- ١٢- "في دفع الجلة، ارتفاع الرمي عند الانطلاق يرتبط مباشرة بالمسافة الأفقية المنجزة للجلة". ناقش العبارة السابقة.
- ١٣- "كلما كبرت زاوية القذف كلما زاد انحدار شكل القطع المكافئ". ناقش العبارة السابقة في إطار تأثير كل من :
- أ- قوة الجاذبية الأرضية.
- ب- قوة مقاومة الهواء.

١٤- أكمل ما يأتي :

- أ- يعتبر لاعب الوثب العالي خلال مقذوفاً ينطبق عليه
لذا فإن المسار الهندسى خلال طيرانه يأخذ شكل
ب- تعمل قوة على تباطؤ السرعة خلال
والتي يكتسبها اللاعب بفعل قوة الاستمرار خلال
ج- يتوقف حركة CG للاعب الوثب العالي على وفعل
قوة الجاذبية.
د- لا يمكن للاعب الوثب العالي تغيير حركة CG خلال
ولكن يمكن لأجزاء الجسم حول مركز ثقل كتلة الجسم بدون
تغير قيمة الحركة الزاوية لمركز ثقل كتلة الجسم كله.
١٥- ما هو فعل قوة مقاومة الهواء على عداء يجرى بسرعة ١٠ م/ث علماً
بأن: $Cd = 0.8$ ، $A = 1.2 \text{ م}^2$ (تقريباً) ، $P = 1.2 \text{ كجم/م}^2$ (عند مستوى البحر).
١٦- لوحظ أن السرعة الزاوية للساعد خلال رمى السهم كانت ٩٥ درجة/ثانية.
احسب السرعة الزاوية بالدوران فى الثانية (rev.s) وبالزاوية النصف قطرية
فى الثانية (rad/s). إذا بقيت حركة الرمى ٠.٨ ثانية والسرعة الزاوية كانت
ثابتة خلال الحركة، ما هى الزاوية الكلية لتحرك الساعد خلال الرمى.
١٧- خلال رمى المطرقة، السرعة الزاوية قبل الانطلاق بالضبط كانت ٤.٥ I
/ث، وكانت السرعة الزاوية صفر. إذا كان الزمن من بدأ الرمى حتى قبل
الانطلاق ٣.٥ ثانية، ما هى العجلة الزاوية المتوسطة خلال هذه المرحلة، إذا
علمت أن نصف قطر الدوران من مركز ثقل كتلة كرة المطرقة كان حوالى
١.٨ متر، ما هى السرعة الخطية تقريباً للكرة عند نقطة الانطلاق؟

١٨- صور لاعب جمباز خلال الوثب لأعلى من وضع الجلوس على أربع وتم
جدولة كل من زوايا الركبتين والفخذين في فترات زمنية كل ٠,٠٤ ثانية في
الجدول التالي. احسب السرعة الزاوية لكل من الركبتين والفخذين خلال
الأربعة فترات الزمنية بالجدول، ثم احسب العجلة الزاوية منها أيضاً؟

الجدول

الزمن (ث)	زاوية الركبة (°)	زاوية الفخذ (°)
صفر	١٢٩	١١٦
٠,٠٤	١٢٤	١١٧
٠,٠٨	٨٨	٨٣
٠,١٢	١٣٢	١٣١
٠,١٦	١٧٠	١٨٥

ثالثاً : أسئلة الفصل الثالث :

- ١- تناول مقياس الإزاحة لأعضاء الجسم بالشرح ؟
- ٢- ناقش استخدامات الجينيوميتر الضوئي ؟
- ٣- ناقش استخدامات البحث الآلي لصور التليفزيون في مجال التحليل الميكانيكي؟
- ٤- اشرح كيف استفاد مجال التحليل البيوميكانيكي من استخدام النظم المؤسسة على الليزر؟
- ٥- اشرح كيف استفاد الباحثون في مجال التحليل البيوميكانيكي من تصوير لصمام الجانبي الثنائي؟

٦- "قدرات الحاسب الآلى أدت إلى الاقتصاد فى تطور النماذج الرياضى للجسم". ناقش العبارة السابقة.

رابعاً : أسئلة الفصل الرابع :

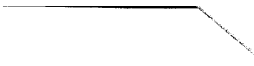
- ١- "بعد أكثر من ١٠٠ عام فى تطوير تكنيك المشى أصبح تحليل المشى يمتلك وسائل إكلينيكية نافعة الآن". ناقش هذه العبارة فى إطار ما يلى :
 - أ- وصف نمط المشية.
 - ب- المعايير العامة للمشية وزوايا المفصل.
 - ج- محصلة قوى العضلات الداخلية العضوية وعزومها.
 - د- نشاط العضلات.
- ٢- "دراسة المشية المرضية يتم لعدد من الأسباب". ناقش هذه العبارة فى إطار ما يلى : أ- صنع القرار. ب- التقويم والبحث العلمى.
- ٣- أذكر العوامل التى تساهم فى حدوث الاصابات العضليهيكلية فى بيئة العمل.
- ٣- أذكر الأساليب الفنية للقياس فى مكان العمل؟
- ٤- أشرح قواعد أنظمة تحليل الحركة بالفيديو؟
- ٥- أشرح متطلبات مركبات أجهزة الحاسب الآلى فى موضع العمل؟
- ٦- أذكر عيوب ومميزات الجينوميتر وأسس أنظمة الفيديو؟
- ٨- أذكر العوامل الفرضية للتحكم فى ارتفاع تكرارات حركة الجسم.
- ٩- ما هى الاتجاهات المستقبلية فى تطبيق تحليل حركة الإنسان ؟

- ١٠- "تعتبر مشكلة دقة وضبط نظم التحليل سواء باستخدام التصوير بكل من الفيديو والسينما من أهم المشاكل التي تهم العاملين في مجال الميكانيكا الحيوية: ناقش هذه العبارة السابقة في إطار ما يلي :
- أ- دقة نظم التحليل باستخدام تصوير الفيديو.
- ب- دقة نظم التحليل باستخدام تصوير السينمائي.
- ج- مقارنة دقة نظم التحليل باستخدام كل من التصوير بالفيديو والسينما.

- ١١- يشتمل التحليل لتحديد قوة العضلة والمفصل على خطوتين اختار إحداهما وتناولها بالشرح؟
- ١٢- اشرح كيف يمكن توزيع قوى العضلة والمفصل؟
- ١٣- اشرح كيف يتم تقليل درجة التعدد بتقليل عدد القوى المجهولة حتى يكون عدد القوى المجهولة يساوي عدد المعادلات.
- ١٤- أذكر مخصصات حل مشكلة المثالية، وتناول إحداها بالشرح؟
- ١٥- أذكر النماذج القطرية للأطراف العليا والسفلية.
- ١٦- ماهي النماذج القطرية في المهارات المتطورة والرياضة.
- ١٧- أشرح كيف يمكن تحديد موضع مركز كتلة الإنسان؟

خامساً : أسئلة الفصل الخامس :

- ١- ما هي مبادئ البحث عن بيوميكانيكا الرياضة.



رقم الايداع : $\frac{٧٤٢٣}{٢٠٠٠}$

التجهيزات الفنية والطباعة

بالمطبعة المتحدة سنتر

بيورفؤاد ت : ٤٠٥٢٩٠